

615.068  
114 5

UNIVERSITATEA TEHNICĂ DIN TIMIȘOARA  
FACULTATEA DE ELECTROTEHNICĂ

ing. IOAN BERE

**CONTRIBUȚII LA STUDIUL CÂMPULUI MAGNETIC  
PRIN METODE NUMERICE, CU APLICAȚII LA  
CALCULUL UNOR SISTEME CU MAGNEȚI PERMANENȚI**

*Conducător științific  
prof.dr.doc.ing. CONSTANTIN ȘORA*

BIBLIOTECA CENTRALĂ  
UNIVERSITATEA "POLITEHNICA"  
TIMIȘOARA

1995



**CUPRINS**

<b>INTRODUCERE . . . . .</b>	<b>4</b>
<b>1. UNELE ASPECTE DE BAZĂ LA SISTEME CU MAGNEȚI PERMANENȚI . . . . .</b>	<b>7</b>
1.1. Mărimi și relații specifice . . . . .	7
1.2. Materiale pentru magneți permanenți	17
1.3. Considerații privind magnetizarea, demagnetizarea și stabilitatea magnetilor . . . . .	22
<b>2. DETERMINAREA PUNCTULUI DE FUNCȚIONARE, FOLOSIND UNELE SCHEME ECHIVALENTE . . . . .</b>	<b>30</b>
2.1. Considerații introductive . . . . .	30
2.2. Scheme echivalente de calcul . . . . .	34
2.3. Calculul unor sisteme neliniare . . . . .	38
2.3.1. Stabilirea punctului de funcționare . . . . .	39
2.3.2. Aplicații . . . . .	47
<b>3. DETERMINAREA CÂMPULUI PE CALE NUMERICĂ LA SISTEME CU MAGNEȚI PERMANENȚI . . . . .</b>	<b>57</b>
3.1. Aplicarea metodei elementelor finite. Funcționala utilizată . . . . .	57
3.1.1. Domeniu cu magnetizație permanentă . . . . .	58
3.1.2. Domeniu fără magnetizație permanentă . . . . .	65
3.2. Stabilirea ecuațiilor corespunzătoare metodei elementelor finite . . . . .	66
3.2.1. Nod din interiorul rețelei de discretizare . . . . .	72
3.2.2. Noduri cu poziții particulare . . . . .	77
<b>4. EXEMPLE DE CALCUL NUMERIC ȘI UNELE ASPECTE DE OPTIMIZARE REZULTATE . . . . .</b>	<b>82</b>
4.1. Calculul câmpului în exteriorul magnetului . . . . .	82

---

4.1.1. Condiții pe frontieră . . . . .	83
4.1.2. Discretizarea domeniului în elemente finite . . . . .	87
4.1.3. Organigramă și program de calcul	87
4.1.4. Rezultate de calcul	91
4.2. Calculul câmpului în magnet și exteriorul său . . . . .	97
4.2.1. Precizări privind condițiile pe frontieră	97
4.2.2. Rețeaua elementelor finite	98
4.2.3. Organigrame și programe de calcul	100
4.2.4. Rezultate de calcul . . . . .	104
<b>5. VERIFICĂRI DE CALCUL SI EXPERIMENTALE.</b>	
<b>REALIZAREA UNUI RELEU CU SENSIBILITATE MĂRITĂ . . . . .</b>	119
5.1. Verificări de calcul și experimentale . . . . .	119
5.2. Realizarea unui releu cu sensibilitate mărită, cu magnet permanent cilindric . . . . .	124
5.2.1. Direcții de creștere a sensibilității releului . . . . .	124
5.2.2. Variante realizate . . . . .	127
<b>CONCLUZII . . . . .</b>	129
<b>ANEXE . . . . .</b>	132
<b>BIBLIOGRAFIE . . . . .</b>	178

## INTRODUCERE

Magnetismul în general și sistemele cu magneți permanenți în particular reprezintă un domeniu vechi al cunoașterii științifice și al aplicațiilor tehnice, dar care mereu este în actualitate, atât prin continua descoperire de materiale cu proprietăți și utilizări tehnice noi, cât și prin metodele de abordare și calcul tot mai perfecționate.

Magneți permanenți sunt folosiți pe scară largă în tehnica, fiind componente esențiale în realizarea unei mari variații de echipamente [21, 23, 24, 37, 46, 70, 89, 100, 127]. Astfel, o bună parte din producția mondială de magneți permanenți este utilizată la realizarea sistemelor de acționare electromecanică (motoare, dispozitive de ridicat, cuplaje, lagare, separatoare magnetice etc.). O altă categorie este utilizată în sisteme de automatizare (relee, traductoare etc.), în telecomunicații, informatică, dispozitive electroacustice, tehnica de prelucrare a datelor precum și în dispozitive de măsură și control. Pe lângă acestea, există și alte domenii de utilizare (medicina, ghidarea fasciculelor de particule încărcate, microunde etc.), dar trebuie precizat că mereu apar noi realizări, care largesc continuu spectrul direcțiilor de utilizare a magneților permanenți.

Literatura de specialitate pe plan mondial arată că în ultimii ani există preocupări sistematice și ample orientate în scopul obținerii unor materiale pentru magneți permanenți cu proprietăți deosebite [17, 21, 51, 65, 70, 127, 133, 134], respectiv preocupări legate de modernizarea și diversificarea metodelor de calcul a sistemelor cu magneți permanenți [2, 4, 12, 26, 31, 47, 67, 77, 82, 83, 118, 119].

În contextul în care utilizarea sistemelor cu magneți permanenți captează tot mai mult interes - având în vedere și descoperirile relativ recente privind materialele pe bază de pământuri rare - preocupările legate de completarea și modernizarea metodelor de calcul apar justificate. Motivația interesului manifestat pentru dezvoltarea metodelor numerice de calcul este complexă. Dintre elementele justificative se pot aminti: nevoia diversificării variantelor de rezolvare a unei probleme concrete, ținând seama de faptul că eficiența unei metode numerice nu este aceeași pentru toate tipurile de probleme și că este important să se aplique algoritmi potriviti pentru fiecare problemă în parte;

---

necesitatea de a corela rezultatele obținute prin diferite metode pentru probleme de câmp fără soluție analitică și cu posibilitate de verificare practică limitată.

În teza de doctorat, autorul consideră materialele magnetice cu proprietăți date, urmărind ca printr-un calcul cât mai exact să obțină o cunoaștere cât mai bună, mai completă a sistemelor cu magneți permanenți, iar pe această bază să se poată realiza o mărire a performanțelor acestor sisteme. Dacă până nu demult calculul sistemelor cu magneți permanenți era afectat de aproximări destul de importante, în ultimii ani se dezvoltă noi metode de calcul, mai adecvate, care pornesc de la problema de câmp pentru sistemele respective [5, 10, 16, 33, 46, 62, 63, 69, 71, 104, 109], utilizând în acest scop calculatoare de capacitate mare. Pe această cale se poate aborda rezolvarea problemei de câmp care apare pentru sisteme neomogene, neliniare și anizotrope. Stăpânirea acesteia conduce la o cunoaștere mai exactă a mărimilor macroscopice de stare ale câmpului și a altor mărimi globale, de interes, ce se pot apoi determina. Se ajunge astfel la reducerea etapelor intermediare între proiectare și realizarea tehnică propriu-zisă, respectiv se obțin performanțe superioare la materiale date. Aceasta este direcția esențială în care se înscrie și studiul abordat în prezenta lucrare.

În legătură cu îmbunătățirea calculului sistemelor cu magneți permanenți se menționează mai multe preocupări și rezultate ale autorului. Astfel, se poate menționa preocuparea privind stabilirea automată, prin program de calcul, a punctului de funcționare, folosind unele scheme echivalente. Se consideră atât materiale liniare cât și neliniare. În ultimul caz se ține seama atât de neliniaritatea jugurilor feromagnetice cât și de neliniaritatea curbei de demagnetizare a magnetului permanent. Pentru determinarea mai exactă a câmpului magnetic se dezvoltă și se aplică un calcul de câmp pe cale numerică, folosind metoda elementelor finite. O atenție deosebită este acordată funcționalei folosite, care se prelucrează și se aduce la o formă adecvată scopului urmarit, respectiv prezenței magneților permanenți. Este important de relevat că metoda analizată și aplicată de autor permite determinarea câmpului magnetic atât în exteriorul, cât și în interiorul magneților permanenți. Importanța determinării câmpului magnetic și în interiorul magneților permanenți constă, în principal, în faptul că permite cunoașterea condițiilor de frontieră necesare calculului câmpului magnetic în spațiul exterior magnetului permanent. Dacă aceste condiții de frontieră nu se cunosc prin determinarea câmpului magnetic din interior, ele ar trebui stabilite prin măsurători, adică, în acest caz,

---

sistemul ar trebui să fie realizat fizic și metoda nu s-ar putea utiliza în faza de proiectare. Desigur, condițiile pe frontieră pot fi, uneori, approximate.

În ceea ce privește îmbunătățirea performanțelor unor sisteme cu magneți permanenți, atenția autorului s-a îndreptat îndeosebi asupra unor relee magnetoelectrice folosite pe scara largă în protecțiile sistemului energetic sau în alte scheme de automatizare. S-a avut în vedere ideea de bază conform căreia, la materiale cu proprietăți date, performanțele sistemelor cu magneți permanenți depind esențial de geometria stabilită de proiectant. Metoda de calcul prezentată în teză oferă un grad de precizie ridicat pentru calculul mărимilor de stare ale câmpului magnetic, iar pe această bază se pot determina direcțiile în care se poate acționa pentru îmbunătățirea performanțelor acestor sisteme cu magneți permanenți. În acest context, în colaborare cu S.C. Relee S.A. Mediaș, s-a realizat un releu cu sensibilitate mare, necesar în protecțiile sistemului energetic și cu perspective de a fi folosit ca element sensibil cu foarte bună fiabilitate și în alte scheme de automatizare.

\*  
\* \* \*

Elaborarea acestei lucrări s-a făcut sub îndrumarea generoasă, competență și exigentă a conducerii științific *prof.dr.doc.ing. Constantin Șora*. Sfaturile și observațiile de înaltă ținută, sprijinul profesional și moral de durată au fost elemente esențiale nu numai în elaborarea tezei, ci și în activitatea de cercetare în general, în activitatea didactică, în formarea profesională a autorului. Pentru toate acestea, îmi exprim întreaga stima și considerație pentru Domnia sa, împreună cu cele mai respectuoase mulțumiri.

Pentru disponibilitatea mereu prezentă, pentru sprijinul generos și discuțiile fructuoase, autorul aduce calde mulțumiri Domnului *conf.dr.ing. Dumitru Radu*.

Tuturor colegilor din catedra de Bazele electrotehnicii, ori de la alte catedre sau din cercetare și producție, care l-au sprijinit în diferite momente pe durata elaborării lucrării, autorul le adresează mulțumiri.

De asemenea, îtin să mulțumesc conducerii S.C. Relee S.A. Mediaș pentru cooperare, pentru înțelegerea superioară arătată în legătură cu necesitatea colaborării între cercetarea universitară și producție.

---

C a p i t o l u l 1  
UNELE ASPECTE DE BAZĂ LA  
SISTEME CU MAGNETI PERMANENȚI

Literatura de specialitate consultată conține numeroase observații cantitative și calitative referitoare la feromagnetism în general și la magneti permanenti în particular [1, 19, 21, 24 32, 35, 74, 86, 100, 114, 127], din care se trec în revistă câteva dintre cele legate de utilizările și dezvoltările ulterioare din lucrare.

### 1.1. MĂRIMI ȘI RELAȚII SPECIFICE

Forma generală a legii magnetizației temporare este exprimată de relația

$$\bar{M}_t = f(\bar{H}). \quad (1.1)$$

Forma explicită a acestei dependențe este funcție de materialul considerat. În cazul unor medii izotrope, legea magnetizației temporare se scrie sub forma cunoscută [1, 19, 35, 74, 114],

$$\bar{M}_t = \chi_m \bar{H}, \quad (1.2)$$

în care susceptivitatea magnetică  $\chi_m$  este o mărime scalară, adimensională, specifică materialului. La materialele liniare  $\chi_m = const.$ , iar la cele neliniare  $\chi_m = f(H)$ .

Înănd seama de legea magnetizației temporare, legea legăturii dintre  $\bar{B}$ ,  $\bar{H}$  și  $\bar{M}$  devine:

$$\bar{B} = \mu_0 (\bar{H} + \bar{M}) = \mu_0 \mu_r \bar{H} + \mu_0 \bar{M}_p = \mu \bar{H} + \mu_0 \bar{M}_p. \quad (1.3)$$

În subdomeniile ce nu conțin magneti permanenti  $\bar{M}_p = 0$ , iar relația (1.3) are forma particulară cunoscută  $\bar{B} = \mu \bar{H}$ .

Pentru materialele anizotrope liniare, legea magnetizației temporare este data [35, 74, 114] de relația

$$\bar{M}_t = \bar{\chi}_m \bar{H}, \quad (1.4)$$

unde  $\bar{\chi}_m$  este tensorul susceptibilității magnetice, iar legea legăturii devine

$$\bar{B} = \bar{\mu} \bar{H} + \mu_0 \bar{M}_p, \quad (1.5)$$

$\bar{\mu}$  fiind tensorul permeabilității absolute. Se poate observa că, în cazul materialelor anizotrope, vectorii  $\bar{M}_t$  și  $\bar{H}$  respectiv  $\bar{B}$  și  $\bar{H}$  nu au, în general, aceeași direcție, cum aveau la materiale izotrope, când  $\chi_m$  și  $\mu$  erau mărimi scalare. Vectorii au însă componente cu aceeași orientare după trei direcții ortogonale ale cristalului, numite direcții principale de magnetizare [35, 74, 114].

Ecuatiile câmpului magnetic al magnetilor permanenți, referitoare la inducția magnetică, sunt:

$$div \bar{B} = 0 \quad (1.6)$$

$$rot \bar{B} = \mu_0 rot \bar{M}, \quad (1.7)$$

iar pentru intensitatea câmpului magnetic sunt valabile [35, 74, 114] ecuațiile:

$$div \bar{H} = - div \bar{M} \quad (1.8)$$

$$rot \bar{H} = 0. \quad (1.9)$$

Spre deosebire de câmpul inducției magnetice  $\bar{B}$ , câmpul lui  $\bar{H}$  nu este, în general, solenoidal, deoarece  $div \bar{M} \neq 0$ .  $div \bar{M} = div (\chi_m \bar{H} + \bar{M}_p) = \chi_m (-div \bar{M}) + \bar{H} grad \chi_m + div \bar{M}_p$ , de unde rezultă

$$div \bar{M} = \frac{grad \chi_m}{1 + \chi_m} \cdot \bar{H} + \frac{div \bar{M}_p}{1 + \chi_m}. \quad (1.10)$$

Deci, pentru cazul general  $div \bar{H} \neq 0$ , adică  $\bar{H}$  are o componentă potențială  $\bar{H}_v$ , corespunzătoare unei distribuții echivalente de sarcini magnetice fictive, de calcul. Prin analogie cu câmpul electrostatic [114], se poate scrie

$$div \bar{H} = div \bar{H}_v = \frac{\rho'_{vm}}{\mu_0}, \quad (1.11)$$

relație prin care se definește densitatea de volum  $\rho'_{vm}$  [Wb/m<sup>3</sup>] a sarcinii magnetice

fictive, care are expresia

$$\rho'_{vm} = -\mu_0 \cdot d i v \bar{M}. \quad (1.12)$$

Dacă există suprafete de discontinuitate pentru componenta normală a lui  $\bar{M}$ , pe aceste suprafete se consideră, în scop de calcul, o distribuție superficială a sarcinii magnetice fictive, cu densitatea

$$\rho'_{sm} = -\mu_0 \cdot d i v_s \bar{M} \quad (1.13)$$

Relația (1.9) arată că, în acest caz, câmpul magnetic derivă dintr-un potențial scalar:

$$\bar{H} = -g r a d V_H, \quad (1.14)$$

în care  $V_H$  [A] este potențialul magnetic scalar. În magnetostatică, intensitatea câmpului magnetic are numai componentă potențială ( $\bar{H} = \bar{H}_v$ ), componenta solenoidală fiind nula.

Pentru exemplificare se poate considera [114] un magnet permanent cilindric, omogen, presupus uniform magnetizat după direcția axei sale (fig. 1.1.a).

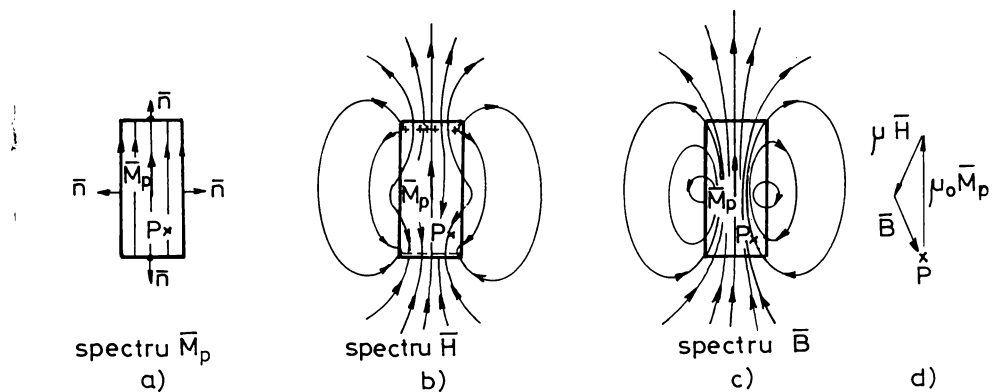


Fig.1.1.

Intensitatea câmpului magnetic corespunde sarcinilor magnetice fictive situate pe polii magnetului, având densitatea  $\rho'_{sm} = \mu_0 \cdot M_p$ . Spectrul intensității câmpului magnetic

$\vec{H}$  este dat în figura 1.1.b, iar al inducției magnetice  $\vec{B}$  în figura 1.1.c.

Se observă că în exteriorul magnetului liniile de câmp ale intensității câmpului magnetic și inducției magnetice coincid ( $\vec{B} = \mu_0 \vec{H}$ ), în interiorul magnetului există, însă, o diferență mare între spectrele celor două câmpuri, verificându-se în fiecare punct relația (1.3). Se poate menționa faptul că, în interiorul magnetului, vectorul intensitate de câmp magnetic  $\vec{H}$  are tendința de demagnetizare a magnetului.

O categorie aparte de substanțe paramagnetiche o constituie materialele feromagnetic. Ca și materialele paramagnetic, cele feromagnetic au  $\chi_m > 0$  și  $\mu_r > 1$ , dar ies în evidență, în primul rând, prin valorile mult mai mari. Dintre cristalele de elemente pure, numai nouă prezintă proprietăți feromagnetic [127], și anume: trei metale de tip 3d (Fe, Co, Ni) și șase metale de tip 4f (Gd, Dy, Tb, Ho, Er, Tm). Numărul de aliaje și de compuși cu proprietăți feromagnetic este, însă, foarte mare. Se poate spune că această categorie - a materialelor feromagnetic - este constituită preponderent din metale, din aliaje metalice și din compuși ai metalelor cu alte elemente nemetalice. Cristalele diferitelor materiale au direcții preferențiale de magnetizare (direcții de magnetizare ușoară) diferite. Astfel, la fier direcția de magnetizare ușoară este (100) - după direcția muchiei cubului -, la nichel este (111) - după direcția diagonalei cubului -, la cobalt este (0001) - de-a lungul axei hexagonului [92, 127].

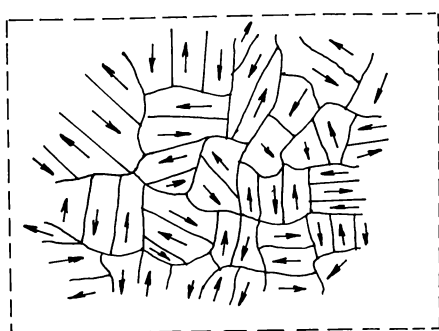


Fig.1.2

Magnetizarea materialelor feromagnetic corespunde unui proces complex. Din punct de vedere macroscopic, feromagnetismul este cel mai bine explicat de teoria domeniilor [92, 114]. Sub temperatură critică (punctul Curie) un corp feromagnetic este constituit din mici domenii magnetizate spontan (fig. 1.2), până la saturare. În interiorul corpului este un număr foarte mare de mici cristale, care nu coincid cu domeniile. În absența unui câmp magnetic exterior, orientarea dome-

niielor este diferită, astfel că în ansamblu corpul apare demagnetizat. În prezența unui câmp magnetic, peretii domeniilor încep să se mișe, iar domeniile care au o direcție favorabilă de magnetizare ușoară cresc. Această creștere este reversibilă atât timp cât câmpul rămâne mic, iar dacă se suprime câmpul exterior, magnetizarea globală a eșantionului redevine nulă (v. porțiunea a din curba prezentată în fig. 1.3.a). Pentru câmpuri mai intense (în regiunea b a curbei din fig. 1.3.a) situația se complica.

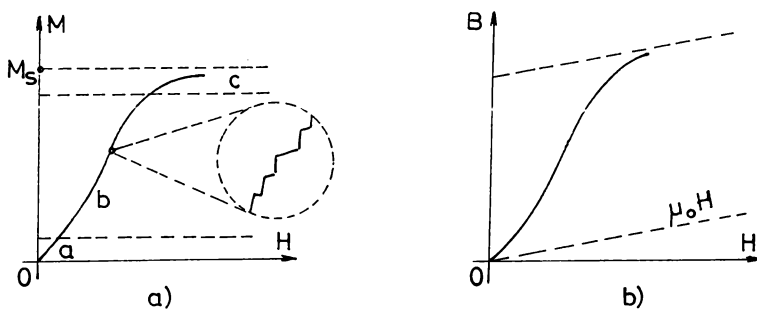


Fig.1.3

În fiecare mic cristal al substanței există tensiuni și dislocări, există impuritați, praf și imperfecțiuni. Pentru câmpurile din aceasta zonă, peretele domeniului, mișcându-se, se "îlovesc" de acestea. Există o energie de interacțiune între peretele domeniului și o dislocație sau o frontieră în formă de grăunte de impuritate. Peretele domeniului rămâne blocat lângă o astfel de imperfecțiune atât timp cât câmpul nu depășește anumite valori. Dacă intensitatea câmpului exterior crește în continuare, la un moment dat peretele se desprinde brusc. Deci, mișcarea peretelui domeniului nu este lină, așa cum era într-un cristal perfect, ci se mișcă în salturi, iar magnetizația se modifică cu intensitatea câmpului magnetic conform detaliului reprezentat la scara mare.

Pentru câmpuri destul de intense (porțiunea c a curbei), atunci când toți peretii de domenii s-au modificat, există cristale care au direcțiile lor de magnetizare ușoară diferite de direcția câmpului magnetic exterior. Crescând în continuare câmpul, magnetizarea crește lin, deoarece "magneții atomici" se rotesc continuu (fără salturi) în câmpul intens.

Experiența arată că valoarea magnetizării de saturație  $M_s$  depinde relativ slab de deformațiile elastice și plastice ale rețelei cristaline și de alte "defecți" ale cristalului.

atunci când ele nu afectează o porțiune mare din volumul total al substanței feromagnetice. Totuși, anumite modificări structurale în constituția substanței pot duce la modificări foarte puternice ale mărimii  $M_s$  și chiar la dispariția completă a magnetizării, sau, dimpotrivă, pot duce la apariția magnetizării. De exemplu, la aliaje, dacă se modifică disponerea atomilor diferitelor componente în nodurile rețelei cristaline, magnetizarea de saturare se poate modifica în limite foarte largi. Starea de saturare magnetică poate fi distrusă și prin încălzirea probei feromagnetice peste punctul de fiercare este  $774^0\text{ C}$  la Fe,  $372^0\text{ C}$  la Ni,  $1131^0\text{ C}$  la Co [114].

Curbele din figura 1.3, obținute plecând de la starea de material nemagnetizat, se numesc curbe de primă magnetizare. Dupa ce s-a obținut curba de prima magnetizare, modificând corespunzător  $H$ , se poate obține ciclul de histerezis  $B(H)$  sau cel referitor la magnetizație  $\mu_0 \cdot M(H)$  (fig.1.4). Se remarcă mărurile: inducția magnetică remanentă

$$B_r = B \Big|_{H=0} = \mu_0 \cdot M_r \text{ și câmpul coercitiv } H_{CB} = H \Big|_{B=0} \text{ sau } H_{CM} = H \Big|_{M=0}.$$

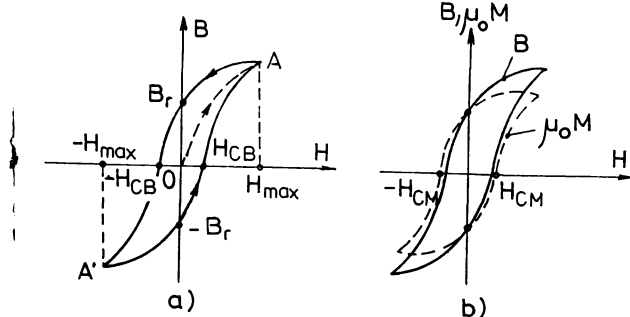


Fig.1.4

Din punctul de vedere al formei ciclului de histerezis, materialele se împart în materiale magnetice moi (fig. 1.5 curba 1) și materiale magnetice dure (curba 2). Materialele magnetice dure au ciclul de histerezis lat, respectiv câmp coercitiv mare, fiind folosite la construcția magnetilor permanenti (v. par. 1.2).

Dacă se consideră mai multe valori extreme ale intensității câmpului magnetic ( $H_{max}$  și  $-H_{max}$ ) se obțin diferite cicluri de histerezis. Curba care se obține prin unierea punctelor de întoarcere ale diferitelor cicluri de histerezis se numește curba de magnetizare; ea diferă relativ puțin de curba de prima magnetizare și se determină pe

cale experimentală, fiind diferită de la material la material.

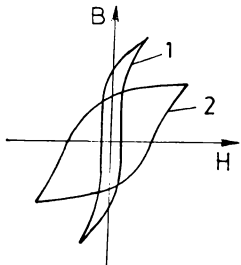


Fig.1.5

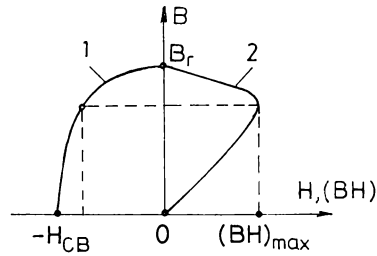


Fig.1.6

Porțiunea din ciclul de histerezis cuprinsă în cadranul doi (fig. 1.6 curba 1) - curba de demagnetizare - precum și dependența produsului ( $B H$ ) de inducția magnetică (curba 2) sunt caracteristici importante ale magneților permanenti. Valoarea maximă  $(B H)_{\max}$  se numește energie specifică maximă sau cifra (indice) de calitate.

Pentru caracterizarea comportării materialului feromagnetic neliniar se introduc diferite tipuri de permeabilități.

Permeabilitatea relativă [114] corespunzătoare unui punct P de funcționare pe curba de magnetizare (fig. 1.7) se definește cu relația (1.15) și este proporțională (printr-o constantă de scară  $k_s$ ) cu tangenta unghiului  $\alpha$  făcut de dreapta OP cu abscisa.

$$\mu_r = \frac{B}{\mu_0 H} = k_s \operatorname{tg} \alpha \quad (1.15)$$

Permeabilitatea relativă este reversibilă cu  $H$ , plecând de la o valoare nenulă în origine (v. permeabilitatea inițială, rel. 1.16), trecând printr-un maxim și tindé spre 1 atunci când  $H \rightarrow \infty$ .

Permeabilitatea relativă în origine, numită permeabilitate inițială [114], se definește cu relația

$$\mu_i = k_s \operatorname{tg} \alpha_0 . \quad (1.16)$$

Pentru materiale cu magnetizație permanentă (magneți permanenti) legea legăturii se poate scrie

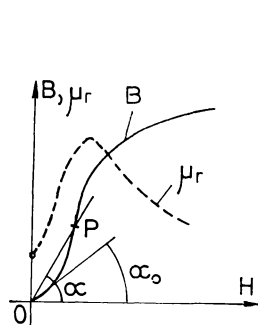


Fig. 1.7  
itate relativă cu relația

$$\bar{B} = \mu_0 \bar{H} + \mu_0 \bar{M}_t + \mu_0 \bar{M}_p = \\ \mu_0 \mu_{rp} \bar{H} + \mu_0 \bar{M}_p = \\ \mu_0 \bar{H} + \mu_p \bar{M}_p . \quad (1.17)$$

unde s-a notat cu  $\mu_p$  permeabilitatea absolută a magnetului permanent. Deoarece  $\mu_0 \bar{M}_p = \bar{B} \Big|_{H=0}$ , termenul corespunzător magnetizației permanente este inducția magnetică remanentă  $\bar{B}_r = \mu_0 \bar{M}_p$ . Prin urmare, pentru magneți permanenți se poate defini o permeabilitate relativă cu relația

$$\mu_{rp} = \frac{B - B_r}{\mu_0 H} . \quad (1.18)$$

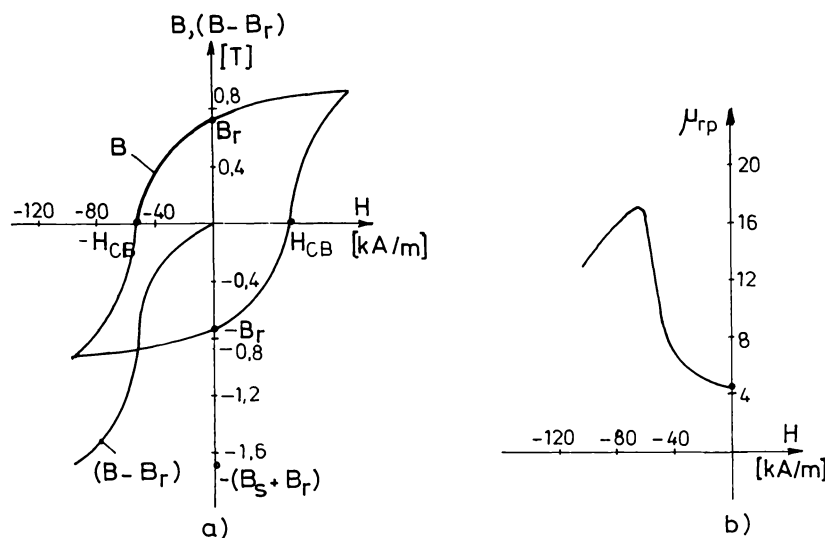


Fig. 1.8

Spre deosebire de materialele fără magnetizație permanentă, unde  $\mu_r = B / (\mu_0 H)$ ,

relația de definiție pentru  $\mu_{r,p}$  conține un termen ( $B_r$ ) ce depinde de magnetizația permanentă. Ținând seama că punctul de funcționare al unui magnet permanent este în cadrul doi al ciclului de histerezis (fig. 1.8.a) rezultă că  $\mu_{r,p} > 0$ . Dacă se cunoaște ciclul de histerezis pentru materialul din care este confectionat magnetul permanent, se poate determina, punct cu punct, graficul funcției  $(B - B_r) = f(H)$  (fig. 1.8.a), iar din acesta, conform relației (1.18), se deduce  $\mu_{r,p} = f(H)$ . De exemplu, prin extensia curbei de demagnetizare [133] pentru ALNiCO 13 / 5 se obține ciclul de histerezis aproximativ, iar apoi curba  $\mu_{r,p} = f(H)$  (fig. 1.8.b). Valoarea în origine ( $B = 0, H = 0$ ) pentru  $\mu_{r,p}$  se obține determinând derivata în origine a funcției  $(B - B_r) = f(H)$ .

Din relație (1.17, 1.18), pentru cazul în care termenul  $\mu_0 M_i$  este neglijabil, rezultă că  $\mu_{r,p} = 1$ . În această situație ( $\mu_0 M_i = 0$ ),

curba de demagnetizare neliniară 1 (fig. 1.9) este înlocuită cu dreapta 2, care are pantă  $\phi$ , unde

$$k_s \cdot \operatorname{tg} \phi = \mu_0. \quad (1.19)$$

Dacă curba de demagnetizare 1 se aproximează cu dreapta 3, de pantă  $\phi'$  (rel. 1.20), magnetizația temporară nu este neglijată, dar se aproximează  $\mu_{r,p} = \text{const.}$

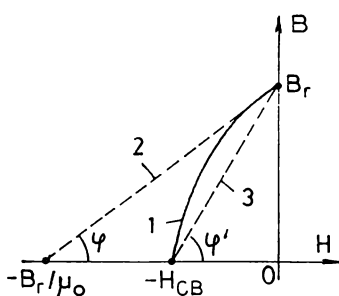


Fig. 1.9

$$\begin{aligned} k_s \cdot \operatorname{tg} \phi' &= \frac{B_r}{H_{CB}} = \\ \frac{B_r}{B_r / \mu_0 \mu_{r,p}} &= \mu_0 \mu_{r,p} \end{aligned} \quad (1.20)$$

Deci, magnetizația temporară din magnetul permanent poate fi neglijată numai dacă se admite aproximația

$$\operatorname{tg} \phi \approx \operatorname{tg} \phi' = k_s^{-1} \cdot \frac{B_r}{H_{CB}} \approx k_s^{-1} \mu_0. \quad (1.21)$$

Este interesant de precizat că pentru magneți permanenți pe bază de pământuri rare (de ex.  $SmCo_5$ )-care pot avea curba de demagnetizare practic o dreaptă-raportul  $B_r / H_{CB}$

este aproximativ egal cu  $\mu_0$ . Introducerea noțiunii de permeabilitate relativă la magneti permanenti, pe baza relației (1.18), se dovedește o operațiune utilă, deoarece prin mărimea de calcul astfel introdusa se ține seama în mod convenabil de neliniaritatea curbei de demagnetizare (v. cap. 3, 4).

Permeabilitatea reversibilă [24, 86, 114] se definește astfel: presupunem că materialul feromagnetic are o stare de magnetizare diferită de zero, de exemplu cea corespunzătoare punctului P din figura 1.10:

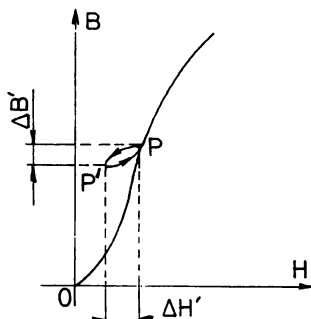


Fig. 1.10

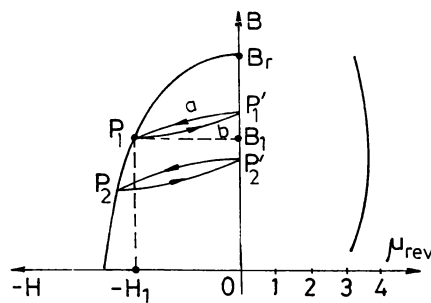


Fig. 1.11

Dacă se scade câmpul cu o valoare mică  $\Delta H'$  și apoi se mărește din nou cu  $\Delta H'$ , se descrie un mic ciclu de histerezis, foarte îngust, care se poate approxima cu segmentul de dreapta PP'. Această transformare, practic reversibilă, este caracterizată de permeabilitatea magnetică reversibilă

$$\mu_{\text{rev}} = \lim_{\Delta H' \rightarrow 0} \left( \frac{1}{\mu_0} \cdot \frac{\Delta B'}{\Delta H'} \right)_{\text{rev}} . \quad (1.22)$$

La un magnet permanent magnetizat și apoi scos de sub polii electromagnetului care a produs câmpul de magnetizare, punctul de funcționare coboară pe curba de demagnetizare (fig. 1.11) într-o poziție căreia îi corespunde o inducție magnetică mai mică decât  $B_r$ , de exemplu în  $P_1$  ( $B_1 < B_r$ ). Poziția punctului  $P_1$ , caracterizată de câmpul demagnetizant  $(-H_1)$ , datorat polilor magnetului permanent, este în funcție de forma magnetului permanent și de circuitul magnetic exterior acestuia. Dacă polii magnetului

permanent se scurtcircuitează magnetic (cu un material de permeabilitate foarte mare), practic  $H = 0$  și se parcurge curba  $P_1 \rightarrow P'_1$ , nu curba  $P_1 B_r$ . Dacă acum îndepărtează scurtcircuitarea, se parcurge curba  $P'_1 \rightarrow P_1$ , obținându-se astfel ciclul  $P_1 \rightarrow P'_1 \rightarrow P_1$ , foarte îngust. Practic, acest ciclu îngust poate fi aproximat cu segmentul de dreapta  $P_1 P'_1$  (dreapta de revenire), care va avea coeficientul unghiular proporțional cu permeabilitatea reversibilă [24]. În figura 1.11 este prezentat un exemplu pentru curba  $\mu_{rev}(B)$ . Permeabilitatea reversibilă poate fi folosită mai ales la aprecierea stabilității magnețiilor permanenți. Cu cât  $\mu_{rev}$  se apropie de valoarea 1, cu atât magnetul este mai stabil; la o variație dată a intensității câmpului magnetic, variația inducției magnetice este mai redusă dacă  $\mu_{rev}$  este mai mic.

## 1.2. MATERIALE PENTRU MAGNEȚI PERMANENȚI

În cele ce urmează se face o trecere în revistă a principalelor tipuri de materiale pentru magneți permanenți, de fabricație internă sau externă, inclusiv și categoria pământurilor rare, care prin puternica dezvoltare din ultimii ani a condus la revigorarea producției în domeniu. Odată cu noile materiale create, parametrii s-au îmbunătățit spectaculos [21, 100, 127, 133, 134]. Astfel, azi se produc materiale cu câmp coercitiv  $H_{CM} > 3200$  kA/m, iar cifra de calitate  $(BH)_{max} > 360$  kJ/m<sup>3</sup>. Variațatea de materiale pentru magneți permanenți este deosebit de bogată și se extinde mereu, iar denumirile lor comerciale - la compozиii foarte apropiate sau chiar identice - sunt diferite, în funcție de firma producătoare.

a. *Magneți permanenți de tip alni și alnico.* Aliajele pe bază de fier, aluminiu și nichel se pot împărtăși în două grupe mari: prima - fără conținut de cobalt, numită alni (sau nial) și a doua - cu conținut de cobalt, numită alnico (sau nialco ori conial). Magneții de acest tip, împreună cu cei pe bază de pământuri rare, domină categoric piața mondială de magneți permanenți [21]. Aliajele alni și alnico au stabilitate relativ bună la variații de temperatură, la șocuri, la vibrații și câmpuri demagnetizante. Dezavantajul principal al

615. 061  
114 5

acestor aliaje constă în fragilitatea lor, prelucrându-se mecanic destul de greu. Pe lângă elementele de bază (Fe, Al, Ni, Co), există și elemente care, în proporții bine determinate sunt favorabile, îmbunătățind proprietățile aliajului. Varietatea de materiale obținute prin turnare este mare, dar, în ultimul timp, ponderea meșteșugilor obținuți prin sinterizare crește. Aceasta se datorează cerinței de a obține forme relativ complicate, care sunt mai dificil de realizat prin turnare, precum și tendinței de a avea un consum mic de material. În tabelul 1.1 sunt prezentate caracteristici mai importante pentru unele aliaje alni și alnico de producție indigenă sau externă [21, 24, 133].

**Tabelul 1.1. Magneți de tip alni și alnico**

Denumirea	Producător	Inducția remanentă $B_r$ [T]	Câmpul coercitiv $H_{cb}$ [kA/ml]	Cifra de calitate $(BH)_{max}$ [kJ/m³]	Punct Curie $T_c$ [°C]	Densitate $\rho$ [kg/cm³]
Alnico 50/6	EI-mag. Buc.	1,26	56	50	850	7,2
Alnico 28/10	EI-mag. Buc.	0,8	100	28	870	7,3
Alnico F	EI-mag. Buc.	1,35	58	61	850	7,2
Alnico 750	ICPE Buc.	1,3-1,34	55,7-63,7	55,7-63,7	870	7,2
Alnico 1500C	ICPE Buc.	0,7-0,8	115,5-127	27,9-33,4	880	7,3
Alnico 1500	ICPE Buc.	1,0-1,1	115,5-127	55,7-71,6	880	7,3
Alnico 56/6	Sinterom Cluj	1,3	56	56	850	7,2
Alnico 56/7	Sinterom Cluj	1,22	65	56	850	7,2
Alnico 35/5	Sinterom Cluj	1,18	48	35	850	7,2
IUND K 35-T5	URSS	0,8	87	35,2	870	7,3
IUND K 25 BA	URSS	1,28	62	66,3	850	7,2
Alcomax II	Anglia	1,3	46,2	43	840	7,35
Alcomax III	Anglia	1,26	51,7	43	860	7,35
Alcomax IV	Anglia	1,15	59,7	35,8	860	7,35
Alnico 8	SUA	0,8	111	31,8	845	7,25

Din marea varietate de aliaje de tip alni și alnico produse, în figura 1.12 sunt prezentate curbele de demagnetizare la scară ale unor materiale utilizate [133] (v. cap.4, 5).

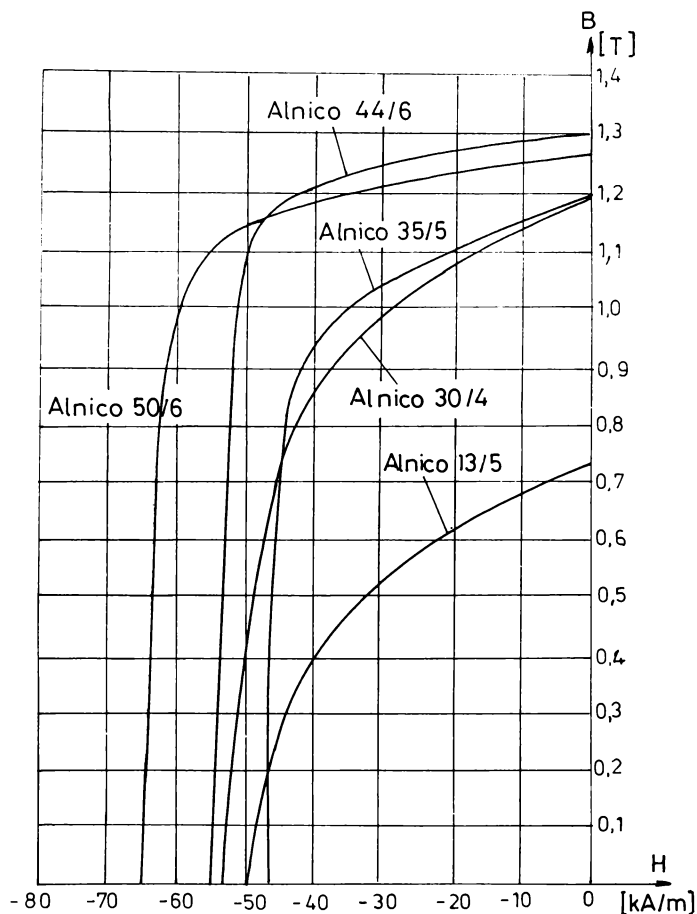


Fig.1.12

*b. Magneți permanenți pe bază de pământuri rare.* Primele aliaje care conțin metale numite pământuri rare (PR), cu proprietăți specifice magnetilor permanenți, au fost obținute pe bază de gadoliniu - fier și gadoliniu - cobalt [21]. Apoi s-au realizat compuși PR - Co (unde PR = Y - itriu, Sm - samariu, Ce - ceriu, La - lantan, Nd - neodim, Pr - praseodim, Gd - gadoliniu, Tb - terbiu, Dy - dysprosiu, Er - erbiu), respectiv amestecuri de pământuri rare, cunoscute sub denumirea de mishmetal (MM). În condiții favorabile de preparare și magnetizare, se pot obține curbe de histerezis aproape rectangulare, cu

inducția remanentă aproape egală cu cea de saturare. Cele mai mari valori ale câmpului coercitiv și cifrei de calitate obținute până în prezent aparțin magneților pe bază de pamânturi (21). Sm-Co, s-a comunicat că

$H_{CM} = 3,2 \text{ MA / m}$  și o cifră de calitate peste  $360 \text{ kJ / m}^3$ . Din varietatea foarte mare de compuși realizati se disting două grupe: b1) magneți de tip PR - Co; b2) magneți de tip PR - Fe - B.

b1. Magneți de  $H_{CM} < 1 \text{ T}$  au proprietăți care variază considerabil: rezistență la tratare, proprietăți chimice și termice, gradul de mărunțire (se obțin particule de  $1 \mu\text{m}$ ), gradul de compactizare etc. În tabelul 1.2. sunt prezentate proprietăți de bază, iar în figura 1.13 curbele de demagnetizare pentru unele combinații PR - Co [21, 134].

Tabelul 1.2. Compuși PR - Co

Compusul	Inducția remanentă $B_r [\text{T}]$	Câmpul coercitiv $H_{CB} [\text{kA/m}]$	Cifra de calitate $(BH)_{max} [\text{kJ/m}^3]$	Punctul Curie $T_c [{}^\circ\text{C}]$
$\text{Sm}_{0,53}\text{Gd}_{0,47}\text{Co}_5$	0,65	520	84,8	750
$\text{Sm}_{0,7}\text{Tb}_{0,3}\text{Co}_5$	0,78	528	107,2	720
$\text{Sm}_{0,65}\text{Dy}_{0,35}\text{Co}_5$	0,76	592	114,4	690
$\text{Sm}_{0,8}\text{Er}_{0,2}\text{Co}_5$	0,82	608	128	720
$\text{SmCo}_5$	0,92	736	168	750
RES 190 (Sm,Co)	0,89	670	154	720

Tabelul 1.3. Compuși PR - Fe - B sinterizați

Compusul	Inducția remanentă $B_r [\text{T}]$	Câmp coercitiv $H_{CM} [\text{kA/m}]$	Cifra de calitate $(BH)_{max} [\text{kJ/m}^3]$	Punct Curie $T_c [{}^\circ\text{C}]$
$\text{Nd}_{15}\text{Fe}_{77}\text{B}_8$	1,23	260	290	585
$\text{Nd}_{15}(\text{Fe}_{0,9}\text{Co}_{0,1})_{77}\text{B}_8$	1,23	800	290	671
$\text{Nd}_{15}(\text{Fe}_{0,8}\text{Co}_{0,2})_{77}\text{B}_8$	1,21	820	260	740

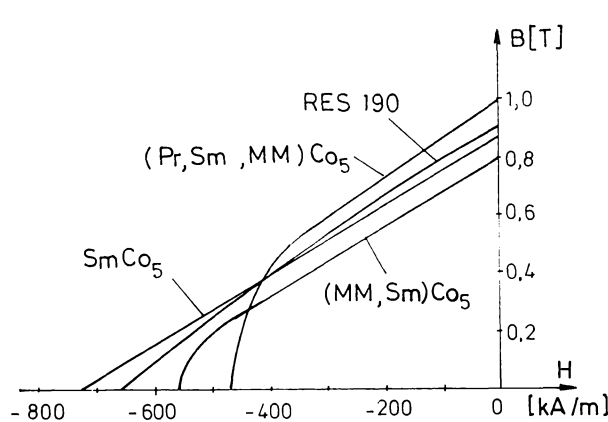


Fig. 1.13

Categoriile de magneți permanenți prezentate mai sus au ponderea covârșitoare în producția mondială de profil. Pe lângă acestea, însă, există o varietate foarte mare de alte tipuri prezente în diverse aplicații. Dintre aceste aliaje se amintesc:

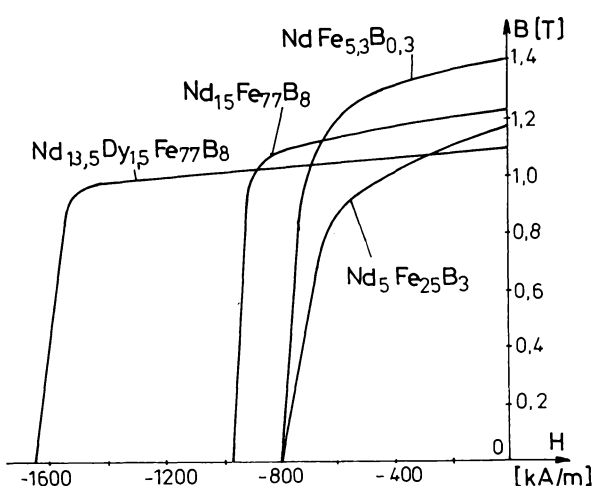


Fig. 1.14

b2. Magneți de tip PR - Fe - B sunt de data mai răspândiți general, au proprietăți superioare celor de tip PR - Co. În tabelul 1.3 și figura 1.13 sunt prezentate proprietăți de bază, respectiv curbele de demagnetizare pentru unele combinații PR - Fe - B [21].

c. Alte tipuri de magneți permanenți.

c1. Magneți pe bază de fier - crom - cobalt, a căror elaborare prin turnare a fost sugerată de Kaneko și colaboratorii în 1972, fiind deci de data relativ recentă. Avantajul lor principal, comparativ cu magneți de tip alnico, constă în faptul că majoritatea compozițiilor sunt ductile, oferind astfel posibilitatea prelucrării mecanice mai

ușoare, în timp ce principalele caracteristici magnetice sunt comparabile. Valorile de vârf ale parametrilor magnetici prezentați în literatura de specialitate [21] sunt:

$B_r = 1,56 \text{ T}$ ,  $H_{CB} = 82 \text{ kA/m}$ ,  $(BH)_{max} = 76 \text{ kJ/m}^3$ , cu precizarea că cele trei mărimi nu sunt prezente la aceeași compoziție, ci la amestecuri diferite.

c2. Feritele sunt compuși ce conțin (M, Fe, O), unde M poate fi Ba, Sr sau Pb și au o inducție remanentă și o cifră de calitate relativ mici.

c3. Magneții de tip cupru-nichel-fier și cupru-nichel-cobalt au proprietăți magnetice mai modeste decât cele de tipul alnico, dar au o bună ductibilitate.

c4. Magneții de tip fier-cobalt-vanadiu (vicalloy) au duritate și fragilitate mari.

c5. Magneții de tip cobalt-aluminiu (malcalloy) au proprietăți magnetice mai reduse, dar pot fi prelucrați, în cele mai multe cazuri, prin forjare.

c6. Magneții pe bază de mangan-aluminiu, mangan-bismut, fier-paladiu, platină-fier, platină-cobalt, aur-cobalt, precum și alte combinații, au utilizări restrânse.

### 1.3. CONSIDERAȚII PRIVIND MAGNETIZAREA, DEMAGNETIZAREA ȘI STABILITATEA MAGNEȚILOR

a. *Magnetizarea*. Câmpul necesar  $H_s$  pentru a magnetiza un magnet la saturatie este dependent de forma ciclului de histerezis. Astfel, la materialele cu un ciclu mai îngust, deci un câmp coercitiv  $H_{CM}$  mai redus, se recomandă [24, 100] un câmp magnetizant de (4 - 5)  $H_{CM}$  (fig. 1.15.a), iar la materialele cu câmp coercitiv mai mare, de (2 - 3)  $H_{CM}$  (fig. 1.15.b).

La magneții anizotropi, ciclul de histerezis depinde de poziția magnetului în câmpul magnetizant, deci și  $H_s$  este dependent de aceasta. Rezultatul obținut printr-o magnetizare corectă este puternic influențat [117] de eventualele neomogenități parazite ale magnetului (inclusiv cu diverse impurități, goluri de aer, ciobituri sau crăpături ale magnetului etc.).

Un material magnetizat și apoi scos din circuitul în care a fost introdus pentru magnetizare se află în propriul său câmp demagnetizant, punctul de funcționare coborând pe curba de demagnetizare datorită efectului demagnetizant al polilor

magnetului. După montarea acestuia în circuitul de lucru, punctul de funcționare se deplasează pe dreapta de revenire (v. fig. 1.11), inducția magnetică și energia specifică

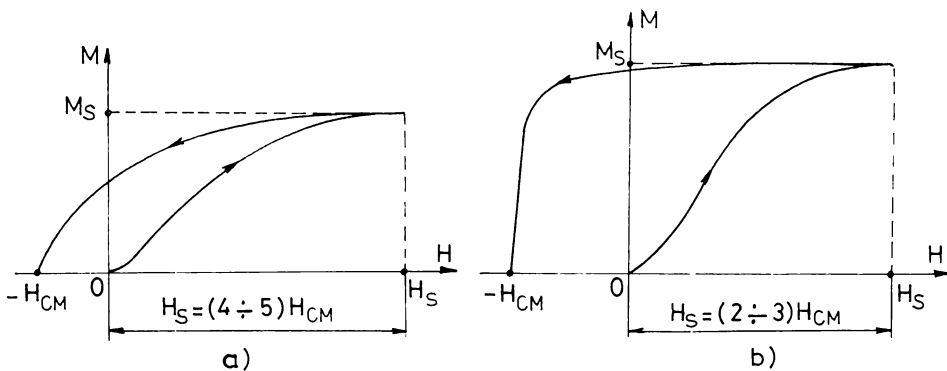


Fig.1.15

fiind mai mici decât în cazul în care magnetizarea se realizează direct în circuitul de lucru. Din acest motiv, se recomandă ca magnetizarea să fie ultima operație asupra magnetului montat în circuitul său de lucru, mai ales la magneții care au o permeabilitate reversibilă sensibil mai mare ca 1. Pe lângă acest aspect, există și motive legate de dificultăți la montare, care recomandă magnetizarea numai după așezarea magnetului în poziția sa finală (apariția forțelor care îngreunează montarea, atragerea piliturii sau a corpurilor mici din materiale feromagnetic aflate pe masa de lucru etc.). La magneții la care, din anumite motive, se impune magnetizarea în exteriorul circuitului de lucru și au o permeabilitate reversibilă sensibil mai mare ca 1, pentru a evita demagnetizarea pronunțată se recomandă scurtcircuitarea polilor magnetului cu o bucătă de fier moale, înainte de a-l scoate de sub polii circuitului care l-a magnetizat. Apoi, atunci când apare necesitatea îndepărțării acestor poli, operația se va executa prin smulgere și nu prin frecare, după ce magnetul a fost montat în circuitul de lucru. Îndepărțarea piesei de scurtcircuitare prin frecare conduce la schimbarea traseului preferențial de închidere al fluxului magnetic (traseul cu reluctanță mică) și apariția unor direcții noi ale liniilor de câmp magnetic, care pot conduce la o nouă orientare (nedorită) a magnetizării domeniilor, diferită de cea inițială.

Un magnet care nu este magnetizat la saturatie are o energie specifică mai mică și este mai puțin stabil față acțiunea câmpurilor demagnetizante. Deci, instalația de magnetizare trebuie să asigure un câmp intens, corespunzător concentrat. Pentru aceasta este de mare importanță folosirea pieselor polare de forme și dimensiuni adecvate, care să micșoreze dispersia și să dirijeze corect câmpul de magnetizare. În practica magnetizării sunt cunoscute formele pieselor polare și poziționarea lor corectă, care să asigure orientarea momentelor magnetice în direcția dorită și nu o orientare haotică. În figura 1.16 sunt ilustrate comparativ câteva cazuri de magnetizări corecte, respectiv greșite [24]; piesele punctate sunt magnetii ce trebuie magnetizați, cele simplu hașurate sunt din fier moale pentru direcționarea fluxului magnetic, iar cele dublu hașurate sunt piese de susținere confectionate din material nemagnetic.

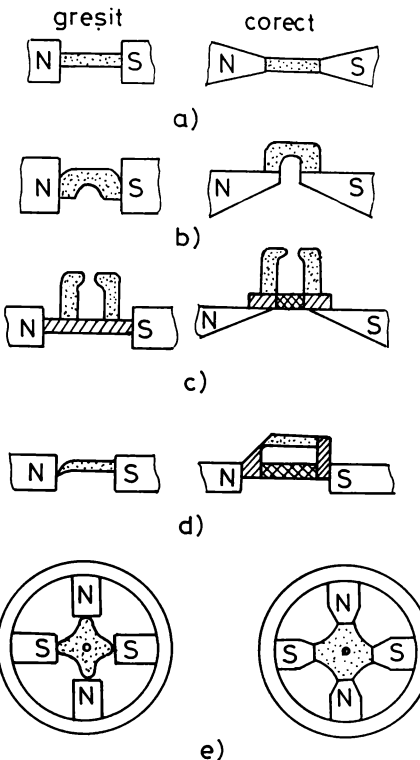


Fig.1.16.

În ceea ce privește modul în care se realizează câmpul magnetic folosit la magnetizare, există mai multe variante. Dintre acestea se amintesc:

a1. Magnetizarea cu magneti permanenti are avantajul independenței față de o sursă de energie exterioară și o întreținere simplă. Cu acest tip de instalații, însă, nu se vor putea magnetiza la saturatie decât materiale ce au un câmp coercitiv relativ mic, în general sub 240 kA/m. Literatura de specialitate prezintă și instalații mai deosebite, în care se poate obține câmp mai intens, cum ar fi valori de 800 kA/m [100].

a2. Magnetizarea cu solenoid este foarte des întâlnită, asigurând o productivitate mare. Pentru cazurile obișnuite se utilizează solenoizi clasică, iar atunci când sunt necesare câmpuri de magnetizare foarte mari (cazul unor magneți pe bază de pământuri rare) se utilizează solenoizi supraconductori.

a3. Magnetizarea prin impuls. Magneți cu câmpuri coercitive foarte ridicate impun condiții grele la magnetizare, mai ales la semirezant. Depășirea acestei dificultăți este posibilă prin reducerea timpului de magnetizare, concomitent cu creșterea curentului, deci a câmpului de magnetizare. După modul de obținere a impulsului se deosebesc mai multe variante: soc de curent controlat din rețea (se utilizează un element de redresare care blochează o semiperioadă), transformator de impulsuri, descărcarea unei baterii de condensatoare etc. Ultima variantă este des întâlnită, mai ales la magnetizări de serie mare. Acest procedeu presupune încărcarea unei baterii de condensatoare și apoi descărcarea rapidă peste o bobină care produce câmpul de magnetizare. În acest mod se pot obține șocuri mari de curent, fără suprasolicitarea rețelei electrice de la care se încarcă bateria de condensatoare. Expresia curentului este data [114] de relația (1.23)

$$i(t) = \frac{U_0}{2\sigma L} (e^{\rho_1 t} - e^{\rho_2 t}), \quad (1.23)$$

Unde:

$U_0$  - tensiunea la care a fost încărcată bateria de condensatoare cu capacitatea C;

L - inductivitatea bobinei de producere a câmpului;

$$\sigma = [(R / 2L)^2 - 1 / LC]^{\frac{1}{2}};$$

R - rezistența echivalentă a circuitului;

$$\delta = R / 2L; \quad \rho_1 = -\delta + \sigma; \quad \rho_2 = -\delta - \sigma.$$

Forma de variație convenabilă a curentului este prezentată calitativ în figura 1.17, dar, pentru aceasta este necesar ca  $R > R_{cr} = 2(L / C)^{\frac{1}{2}}$ . În caz contrar, se inserază o rezistență suplimentară astfel încât regimul de descărcare să nu fie subcritic, situație în care curentul are formă de variație oscilatorie amortizată și nu poate fi folosit la magnetizare. În magneți de dimensiuni mari, datorită duratei relativ reduse a impulsului de magnetizare, deci a vitezei mari de variație în timp, este posibil ca adâncimea de

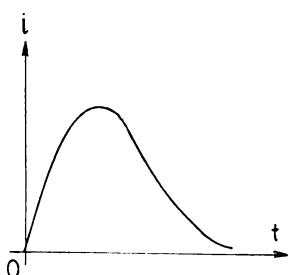


Fig. 1.17

pătrundere a câmpului să nu fie suficient de mare, adică să nu se realizeze o magnetizare completă, în toată masă magnetului. În astfel de cazuri se utilizează un procedeu de magnetizare cu câmp constant în timp, cum ar fi cu solenoizi alimentați în curent continuu.

*b. Demagnetizarea.* Pe parcursul fabricației, manipulării și montării în circuitul final de lucru, magneții sunt deseori magnetizați și demagnetizați. Pentru o demagnetizare completă

se cere ca punctul de funcționare pe curba  $B(H)$  să fie în originea sistemului de axe. Dacă un magnet se introduce într-un câmp magnetic exterior constant, de sens opus celui care l-a magnetizat, egal ca valoare cu  $H_{CB}$ , inducția în magnet devine nulă (fig. 1.18). Magnetul nu este complet demagnetizat, deoarece la anularea câmpului

exterior punctul de funcționare se deplasează pe dreapta de revenire  $(-H_{CB}, B_{r0})$ , inducția nefiind nulă. Pentru o demagnetizare completă, câmpul exterior demagnetizant trebuie să ajungă la valoarea  $H_d > H_{CB}$ , astfel încât, după anularea câmpului demagnetizant, punctul de funcționare să se deplaseze pe dreapta de revenire AO până în originea sistemului de axe. În practică sunt întâlnite mai multe procedee de demagnetizare, din care se amintesc:

#### b1. Demagnetizarea cu curent alternativ.

Se introduce magnetul într-un solenoid alimentat de la rețeaua de curent alternativ sinusoidal și se îndepărtează încet magnetul din solenoid.

Demagnetizarea se poate face și cu magnetul introdus în solenoid, urmat de reducerea treptată a intensității curentului prin solenoid, până la anulare. Pentru o demagnetizare eficace, amplitudinea câmpului variabil trebuie să scadă suficient de lent, astfel încât,

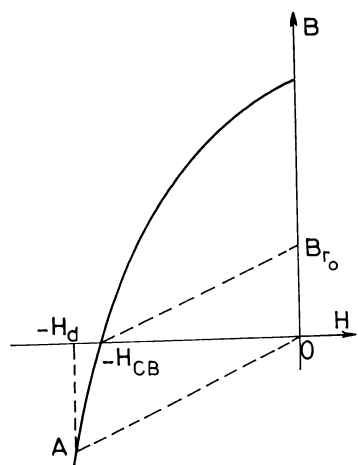


Fig. 1.18

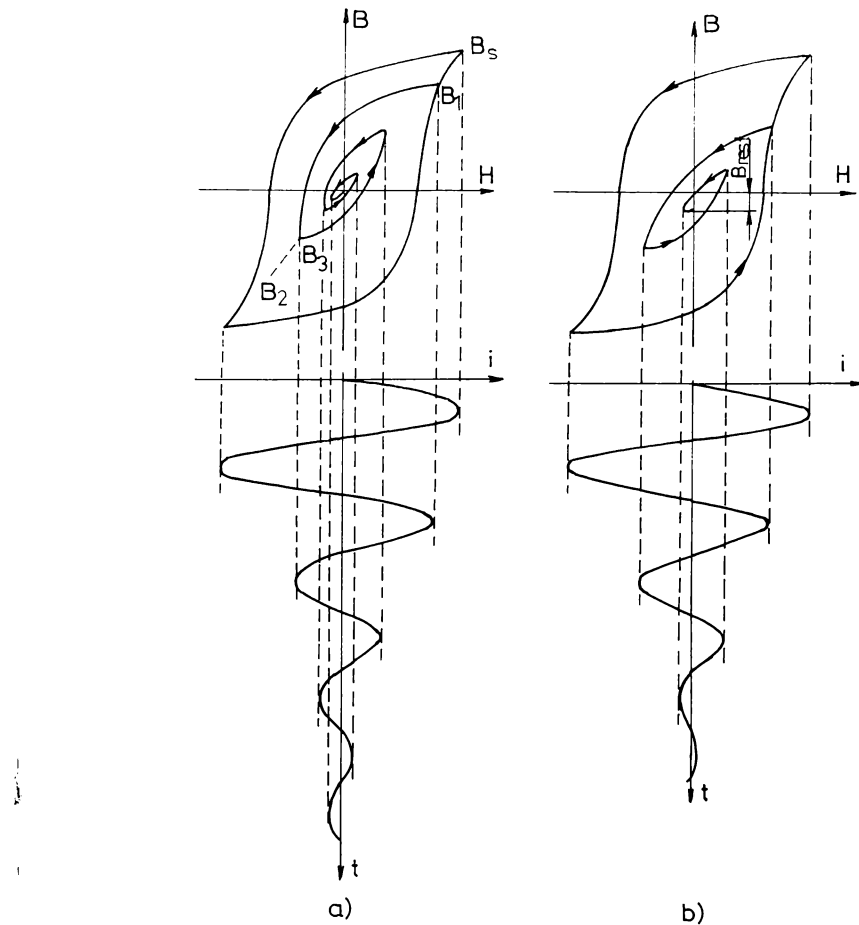


Fig. 1.19

parcurgându-se buclele interioare ale curbei de histerezis să se ajungă în origine (fig. 1.19.a). Dacă micșorarea amplitudinii este prea rapidă, poate să apară situația din figura 1.19.b, unde rămâne inducția  $B_{rest}$ . Se face precizarea că în figura 1.19 se sugerează modul de parcursire a buclelor de histerezis, dar viteza de scădere a amplitudinii curentului de demagnetizare trebuie să fie mult mai mică decât cea care rezultă din desene. Pentru o demagnetizare completă a magnetilor de dimensiuni mari, frecvența tensiunii de alimentare trebuie să fie mică, astfel încât adâncimea de

pătrundere să depășească dimensiunea magnetului. Sunt utilizate în mod curent instalații de (25 - 16) Hz, sau chiar mai mici [100].

b2. Demagnetizarea prin impulsuri. Materialele cu câmpuri coercitive mari presupun intensități de câmp demagnetizant crescute, situație în care se recomandă demagnetizarea prin impulsuri. Principiul este cel al descărcării unui condensator peste o bobină care produce câmpul de demagnetizare, asigurându-se un regim subcritic, adică oscilatoriu amortizat. Expresia curentului de descărcare [114] este dată de relația 1.24.

$$i(t) = \frac{U_0}{\omega L} \cdot e^{-\delta t} \cdot \sin \omega t . \quad (1.24)$$

unde:  $U_0$ ,  $L$ ,  $\delta$  au semnificațiile de la relația (1.23)

$$\omega = [1 / LC - (R / 2L)^2]^{1/2}$$

Forma de variație a curentului ce apare prin descarcarea condensatorului, dacă  $R < R_{cr}$ , este prezentată în figura 1.20. Principal, instalația de magnetizare prin impulsuri poate fi folosită și la demagnetizare, prin schimbarea valorii rezistenței

echivalente  $R$  a circuitului, pentru a realiza regimul aperiodic la magnetizare, respectiv oscilatoriu amortizat la demagnetizare. Sunt cazuri, însă, când bobina folosită la magnetizare este diferită de cea pentru demagnetizare urmărindu-se particularități constructive care să o facă mai eficientă, în funcție de operație.

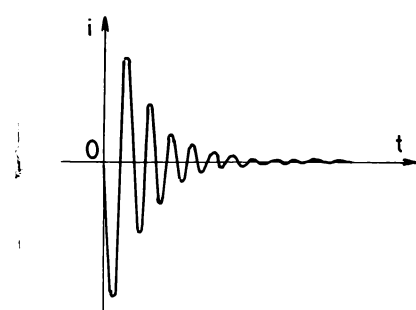


Fig. 1.20

b3. Demagnetizarea cu câmp constant. În cazul magneților de dimensiuni mari, demagnetizarea cu câmp variabil s-ar putea să nu dea satisfacție, câmpul demagnetizant nepătrundând în toată masa magnetului. În astfel de situații se poate realiza demagnetizarea cu ajutorul unui câmp produs de curent continuu, de exemplu.

b4. Demagnetizarea prin încălzire. Demagnetizarea materialelor cu câmpuri coercitive foarte mari este dificila datorită câmpului magnetic foarte intens, necesar în acest caz. Apare astfel tendința de a folosi metoda demagnetizării prin încălzire peste punctul Curie. Se face precizarea că nu la toate materialele se poate aplica această

metodă, fără a întâmpina dificultăți. Astfel, sunt materiale care chiar sub punctul Curie își schimbă structura ce a asigurat bune proprietăți magnetice, fără să mai revină când proba se răcește. În principiu, la astfel de materiale ar trebui reluate toate tratamentele termice în câmp magnetic din ciclul de fabricație, care să asigure din nou proprietăți magnetice bune.

c. *Stabilitatea magnetilor.* O bună stabilitate presupune menținerea în timp a caracteristicilor magnetice ale magnetilor. Nu există o bază teoretică bine pusă la punct pentru modificarea caracteristicilor magnetice în funcție de diversi factori. Literatura de specialitate [21, 24, 127, 134] conține mai multe precizări calitative și cantitative (experimentală) referitoare la principalii factori care influențează stabilitatea magnetilor: temperatura, câmpul magnetic, modificarea (îmbătrânirea) structurală, solicitările mecanice, compoziția chimică etc. Pentru ca influența factorilor amintiți să fie mai redusă după punerea în funcțiune a circuitului cu magnet permanent, în mod obișnuit se procedează la stabilizarea acestuia. Astfel, se aplică un tratament termic, câmpuri demagnetizante, socuri și vibrații etc., înainte ca magnetul să fie pus în funcțiune, obținându-se o mai bună stabilitate în timpul exploatarii.

**Capitolul 2**  
**DETERMINAREA PUNCTULUI DE FUNCȚIONARE**  
**FOLOSIND UNELE SCHEME ECHIVALELENTE**

În acest capitol se abordează problemele specifice circuitelor cu magneti permanenți, pentru cazul în care sunt acceptate aproximările referitoare la lucrul cu valorile medii ale mărimilor de stare în secțiunile circuitului magnetic. Este considerat și cazul unor sisteme neliniare (v. par. 2.3), care, prin particularizări simple, poate include și situația când materialele magnetice au caracteristici liniare.

### 2.1. CONSIDERAȚII INTRODUCTIVE

Se consideră un tor uniform magnetizat, fără întrefier (fig. 2.1.a). Inducția magnetică în tor este inducția remanentă  $B_r$  (fig. 2.1.c). Dacă se practică un întrefier  $\delta$  relativ mic, punctul de funcționare coboară pe curba de demagnetizare în P.

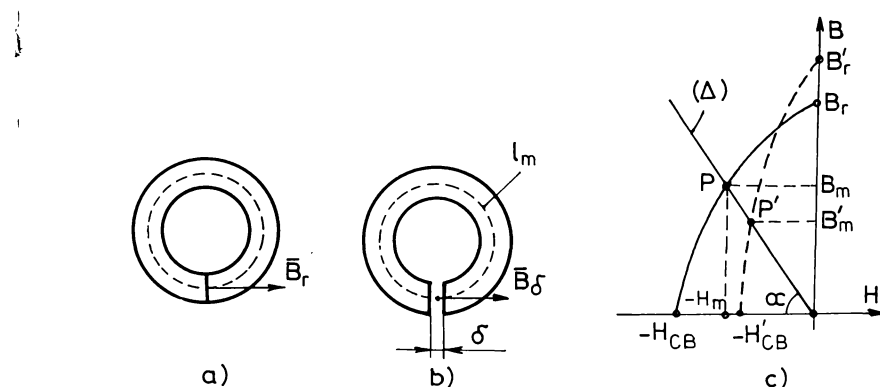


Fig. 2.1

Inducția magnetică în magnet a scăzut de la  $B_r$  la  $B_m$ , iar în magnet apare un câmp

demagnetizant ( $-H_m$ ). Punctul P se află la intersecția curbei de demagnetizare cu dreapta ( $\Delta$ ), specifică circuitului exterior magnetului, adică întrerupătorului practicat. Panta acestuia este dată [35, 114] de relația:

$$\operatorname{tg} \alpha = \frac{B_m}{H_m} \cdot \frac{k_H}{k_B} = \mu_0 \cdot \frac{k_d l_m}{\delta} \cdot \frac{S_\delta}{S_m} \cdot \frac{k_H}{k_B}, \quad (2.1)$$

unde:  $k_H$ ,  $k_B$  - coeficienți de scară pentru H și B;  $k_d = B_m S_m / B_\delta S_\delta$  - coeficient de dispersie supraunitar;  $S_m$ ,  $S_\delta$  - ariile secțiunilor transversale prin magnet, respectiv prin zona utilă a întrerupătorului.

Intensitatea câmpului demagnetizant este

$$H_m = \frac{k'_{dm}}{\mu_0} \cdot B_m, \quad (2.2)$$

în care apare factorul de demagnetizare

$$k'_{dm} = \frac{1}{k_d} \cdot \frac{\delta}{l_m} \cdot \frac{S_m}{S_\delta} < 1. \quad (2.3)$$

Din relația (2.1), respectiv din figura 2.1.c, se poate observa că, dacă întrerupătorul crește, păstrându-se neschimbate celelalte dimensiuni, unghiul  $\alpha$  scade, adică  $B_m$  și  $B_\delta$  scad. La aceeași geometrie a circuitului magnetic (același  $\alpha$ ), punctul de funcționare corespunde unei inducții magnetice cu atât mai mari cu cât materialul magnetic este mai dur, adică are câmp coercitiv mai mare (fig. 2.1.c). Punctului de funcționare P îi corespunde o inducție magnetică  $B_m$  superioară punctului P', cu toate că s-a considerat  $B'_>B'$ . Aceasta relevă importanța utilizării materialelor magnetic dure la construcția magnetilor permanenți. Pentru cazul considerat în figura 2.1, dacă se notează cu  $V_\delta = S_\delta \cdot \delta$  volumul întrerupătorului și cu  $V_m = S_m \cdot l_m$  volumul magnetului, rezultă

$$\frac{V_m}{V_\delta} = \frac{B_\delta^2 \cdot k_d}{\mu_0 (B_m H_m)} \quad (2.4)$$

Deci, pentru  $V_\delta$  și  $B_\delta$  date, volumul magnetului  $V_m$  este cu atât mai mic cu cât produsul  $(B_m H_m)$  este mai mare, adică cifra de caliatate a magnetului  $(B H)_{max}$  este mai bună.

În cazul unui regim static, punctul de funcționare al magnetului se găsește la intersecția curbei de demagnetizare cu dreapta caracteristică circuitului magnetic în care este montat (pentru cazul magnetizării uniforme și presupunând că magnetizarea are loc după montarea magnetului în circuitul său de lucru, așa cum se procedează de cele mai multe ori, din motivele arătate în paragraful 1.3). Într-un regim dinamic, o variație a întrefierului din circuitul magnetic determină schimbarea punctului de funcționare. De exemplu, să presupunem punctul de funcționare  $P_1$  pe curba de demagnetizare (fig. 2.2.a). Dacă întrefierul crește, factorul de demagnetizare crește și el, iar dreapta specifică circuitului devine  $(\Delta)_2$ , caracterizată de  $\alpha_2 < \alpha_1$ .

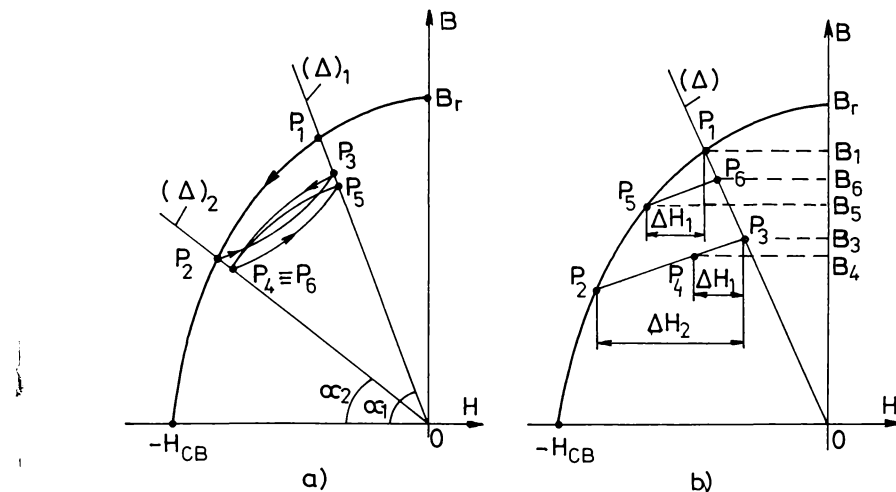


Fig. 2.2

Punctul de funcționare se deplasează pe curba de demagnetizare din  $P_1$  în  $P_2$ . Dacă întrefierul revine la valoarea care a avut-o, din  $P_2$  se va parcurge curba minore  $P_2P_3$ , nu curba de demagnetizare  $P_2P_1$ . Punctul  $P_3$  aparține dreptei  $(\Delta)_1$ . Dacă variația descrisă mai sus se repetă, din  $P_3$  se va ajunge în  $P_4$ , apoi în  $P_5$  și a.m.d. După parcurgerea a (5-8) cicluri minore [24], echilibrul este stabilit, adică punctele de

funcționare pe cele două drepte  $(\Delta)$ , și  $(\Delta)$ , sunt stabile. Din motive care vizează claritatea desenului, în figura 2.2.a s-au reprezentat mai puține cicluri minore, iar acestea sunt construite mai deșajat decât cele reale. De fapt, în practică, în cadrul lui circuitelor cu magneti permanenți, un ciclu minor se înlocuiește cu dreapta determinată de punctele extreme ale ciclului minor final, stabilizat.

În figura 2.2.b este ilustrat efectul unui câmp demagnetizant asupra inducție magnetice din magnet. Se consideră un magnet ce lucrează în punctul de funcționare  $P_1$ , aflat la intersecția dreptei  $(\Delta)$  cu curba de demagnetizare. Se aplică un câmp suplimentar de demagnetizare, impunând ca punctul de funcționare să se deplaseze în  $P_2$ . La înălțarea acestui câmp, punctul de funcționare se va deplasa pe "curba" minoră  $P_2P_3$ , până atinge dreapta  $(\Delta)$ . Acest proces duce la diminuarea inducției magnetice din magnet de la  $B_1$  la  $B_3$ , dar stabilizează magnetul. Pentru a evidenția aceasta, să presupunem că asupra magnetului, în dispozitivul în care este introdus, acționează un câmp suplimentar de demagnetizare de valoare  $\Delta H_1$ . Punctul de lucru se va deplasa pe curba minoră până la  $P_4$  și, atât timp cât câmpul suplimentar  $\Delta H$ , acționează, inducția va fi  $B_4$ . La închiderea acțiunii câmpului suplimentar, punctul de funcționare se deplasează, practic, din nou în  $P_3$ , inducția revenind la valoarea  $B_3$ . În acest sens se vorbește de stabilizarea magnetului în circuitul său de lucru. Să presupunem că  $\Delta H_1$  apare când punctul de funcționare este în  $P_1$ , adică magnetul este nestabilizat. Inducția va scădea de la  $B_1$  la  $B_5$ , iar la închiderea acțiunii câmpului  $\Delta H_1$ , punctul de funcționare se va deplasa din  $P_5$  în  $P_6$ , nu în  $P_1$ , căruia îi corespunde  $B_6 < B_1$ . Se observă că scăderea inducției de la  $B_1$  la  $B_5$  este mai pronunțată decât scăderea de la  $B_3$  la  $B_4$  din cazul când magnetul a fost stabilizat, ambele modificări fiind cauzate de  $\Delta H_1$ . Câmpul de demagnetizare pentru care punctul de funcționare  $P_3$  este stabil are valoarea  $\Delta H_2$ . Cu cât un magnet este mai puternic demagnetizat în faza de stabilizare, cu atât devine mai stabil în funcționare. Desigur, demagnetizarea pentru stabilizare nu poate depăși anumite limite, deoarece prin demagnetizare punctul de funcționare devine stabil, dar la inducții cu atât mai mici cu

cât demagnetizarea este mai puternică. Aici intervine hotărâtor calitatea materialului din care este confectionat magnetul permanent. Dacă câmpul coercitiv și inducția remanentă sunt mari, se va putea realiza o bună stabilizare a magnetului la valori suficiente de mari ale inducției magnetice. Se face precizarea că magneți pentru care curba de demagnetizare este practic o dreaptă (unii magneți pe bază de pământuri rare, cum ar fi  $SmCo_5$  sau ferite de  $Sr$ ) prezintă o bună stabilitate la acțiunea câmpurilor magnetice exterioare, sub aspectul analizat mai sus.

## 2.2. SCHEME ECHIVALELENTE DE CALCUL

Pentru un circuit cu magnet permanent cum este cel prezentat în figura 2.3.a, în literatura de specialitate [118], se dă o schema de calcul (fig. 2.3.b), echivalentă circuitului în raport cu polii magnetului.

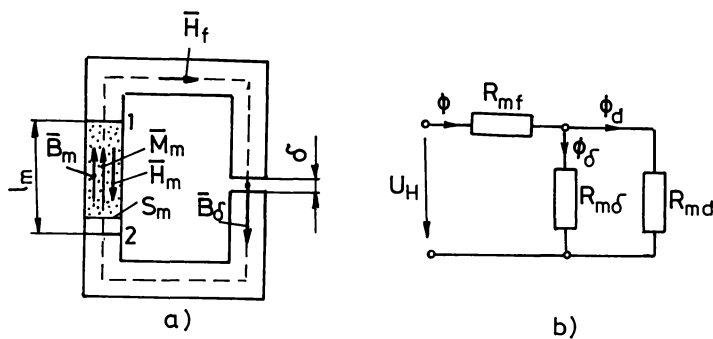


Fig.2.3

Semnificațiile notațiilor sunt:  $U_H$  - tensiunea magnetică între polii magnetului;  $R_{mf}$  - reluctanța jugurilor feromagnetic;  $R_{m\delta}$  - reluctanța întrefierului;  $R_{md}$  - reluctanța echivalentă căilor de dispersie. Determinarea reluctanței echivalente de dispersie este o problemă strict legată de fiecare circuit magnetic în parte. Într-un calcul aproximativ, se obișnuiește ca valoarea acesteia să fie apreciată global, ținând seama, pe baza experien-

tei, de ponderea fluxului de dispersie în raport cu cel util. De asemenea, se poate aplica o metodă grafo-analitică de determinare a reluctanței de dispersie [115]. Pentru o evaluare mai precisă trebuie, însă, rezolvată problema de cimp care apare, așa cum va fi arătat în capituloarele 3 și 4.

În cazul în care circuitul magnetic prezintă o structură mai complexă (de exemplu cu mai mulți magneti permanenti), este avantajos ca și magnetul permanent să fie înlocuit cu o structură echivalentă de calcul [100, 106, 118]. Se consideră situația obișnuită în care punctul de funcționare P este situat pe caracteristica  $\phi(U_H)$  a magnetului (fig. 2.4.b).

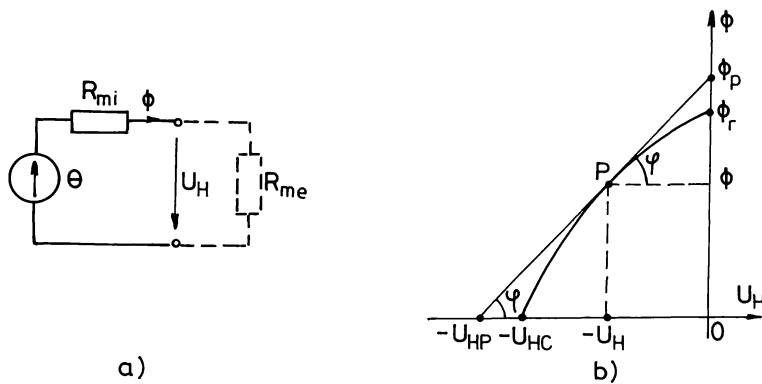


Fig. 2.4

Tangentă dusă în P la caracteristica  $\phi(U_H)$  determină punctul  $\phi_p$  pe ordonată și punctul  $(-U_{HP})$  pe abscisă. Dacă se introduce un coeficient de scără  $k'_s$ , din construcția grafică rezulta

$$k'_s \cdot \operatorname{tg} \varphi = \frac{\phi}{U_{HP} - U_H} = \frac{\phi_p}{U_{HP}} = \left( \frac{d\phi}{dU_H} \right)_p , \quad (2.5)$$

unde toate mărimile sunt pozitive. Din relația 2.5 rezultă

$$U_{HP} = \frac{U_{HP}}{\phi_p} \cdot \phi + U_H . \quad (2.6)$$

Utilizând schema echivalentă din figura 2.4.a, pentru care se poate scrie

$$\theta = \phi \cdot R_{mi} + U_H , \quad (2.7)$$

se pot identifica parametrii magnetului (118):

$$\theta = U_b , \quad R_{mi} = U_{tip} / \phi_b = (dU_b / d\phi)_b . \quad (2.8)$$

La diversele pozitii  $\theta$  parametru  $R_{mi}$  este constantă, deci  $\theta = \phi_b \cdot R_{mi}$ , se modifică. De asemenea, rezultă că sursa din circuitul echivalent nu este independentă, parametrii săi  $\theta$  și  $R_{mi}$  varându-se cu  $\phi$ , respectiv cu  $U_H$ , urmărindu-le pînă și de reluctanță echivalentă față de polii magnetului ( $R_{me}$ ).

Prezintă interes și exprimarea parametrilor  $\theta$  și  $R_{mi}$  ai magnetului în funcție de magnetizația și geometria acestuia. Pentru exemplificare, se consideră un câmp uniform ce se închide prin suprafața  $S_m$  a magnetului (fig. 2.3.a). Integrând termenii legii generale de legătură  $\bar{B}, \bar{H}, \bar{M}$  între cei doi poli ai magnetului, se obține

$$\int_2^1 \frac{\bar{B}_m}{\mu_0} \cdot d\bar{l} = \int_2^1 \bar{H}_m \cdot d\bar{l} + \int_2^1 \bar{M}_m \cdot d\bar{l} . \quad (2.9)$$

Tensiunea magnetică între polii magnetici este:  $U_H = \int_1^2 \bar{H}_m \cdot d\bar{l}$ , deci din (2.9) rezultă

$$\int_2^1 \bar{M}_m \cdot d\bar{l} = \phi \int_2^1 \frac{d\bar{l}}{\mu_0 S_m} + U_H . \quad (2.10)$$

Din relațiile (2.7) și (2.10) rezultă parametrii  $\theta$  și  $R_{mi}$ , care înlocuiesc magnetul în circuitul echivalent (fig. 2.4.a):

$$\theta = \int_2^1 \bar{M}_m \cdot d\bar{l} , \quad R_{mi} = \int_2^1 \frac{d\bar{l}}{\mu_0 S_m} . \quad (2.11)$$

Pentru magnetizare uniformă și  $S_m = \text{const.}$  pe lungimea  $l_m$  a magnetului, se obține:

$$\theta = M_m l_m , \quad R_{mi} = l_m / (\mu_0 S_m) . \quad (2.12)$$

Magnetizația  $M_m$  depinde de punctul de funcționare al magnetului, deci tensiunea magnetomotoare  $\theta$  nu este, în general, constantă. Reluctanța internă  $R_{mi}$ , introdusă

ca o mărime de calcul este constantă pentru un magnet dat, neînținând de fluxul magnetic  $\phi$ . Dacă se consideră orientările veci a magnetului prezentat în figura 2.3.a, legea legăturii, scrisă scalar, devine  $B_m = -\mu_0 H_m + \mu_0 M_m$ , în care toate mărurile sunt pozitive. De aici rezultă că funcția  $B(H)$  poate fi o dreaptă dacă magnetizația este constantă. Cum pentru  $H_m = 0$  inducția este  $B_r$ , iar pentru  $B_m = 0$  intensitatea câmpului magnetic este  $H_{CB}$ , în cazul considerat rezultă

$$M_m = \text{const.} = B_r / \mu_0 = H_{CB}. \quad (2.13)$$

Prin urmare, la magnetii permanenți cu caracteristica de demagnetizare liniară t.m.m. echivalentă  $\Theta = M_m I_m = H_{CB} I_m = \text{const.}$  și reluctanța internă (dacă  $S_m = \text{const.}$ ) este  $R_{mi} = I_m / (\mu_0 S_m) = \text{const.}$ .

La o bună parte din materialele folosite pentru magneti permanenți, curba de demagnetizare nu poate fi înlocuită cu o dreaptă. Aproximarea se poate face, însă, prin segmente de dreaptă și poate fi oricât de bună dacă numărul de segmente crește corespunzător. În figura 2.5.a, între punctele  $P'$  și  $P''$ , curba de demagnetizare se aproximează prin segmentul  $P'P''$ , ale căruia prelungiri determină pe axe inducția  $B_{rj}$ , respectiv intensitatea câmpului magnetic ( $-H_{CBj}$ ) [118].

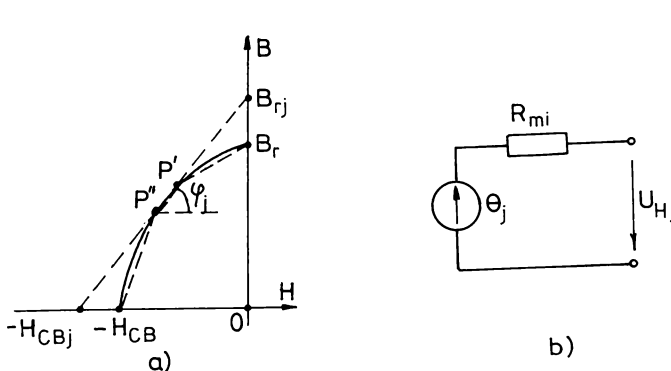


Fig. 2.5

Înlocuirea porțiunii din curbă cu segmentul  $P'P''$  presupune considerarea unei

magnetizații  $M_{mj}$  constantă pe această porțiune. Conform relației (2.13), valoarea acesteia este

$$M_{mj} = \text{const.} = B_{rj} / \mu_0 = H_{CBj}. \quad (2.14)$$

Dacă curba de demagnetizare este cunoscută, mărurile  $B_{rj}$  și  $(-H_{CBj})$  rezultă din construcția grafică. Deci, pe porțiunea P'P'', t.m.m. echivalentă se poate aproxima astfel:

$$\theta_j \approx M_{mj} \cdot I_m = H_{CBj} \cdot I_m = (B_{rj} / \mu_0) \cdot I_m = \text{const.} \quad (2.15)$$

Reluctanța echivalentă magnetului este dată de relația (2.11) sau (2.12), în ambele cazuri rezultând constantă. Procedând astfel, prin aproximarea curbei de demagnetizare cu o succesiune de segmente de dreaptă, pentru fiecare zonă de pe curba de demagnetizare se pot determina parametrii echivalenți ai magnetului. Acest mod de abordare este avantajos pentru o programare numerică a calculului (v. par. 2.3). Dacă punctul de funcționare nu este pe curba de demagnetizare, ci pe o curbă minoră de revenire - în mod obișnuit aproximată cu o dreaptă de revenire - în locul segmentului P' P'' se va considera dreapta de revenire (v. fig. 2.2).

### 2.3. CALCULUL UNOR SISTEME NELINIARE

În acest paragraf se consideră situația când atât curba de demagnetizare a magnetului permanent cât și curba de magnetizare a jugurilor din material feromagnetic sunt neliniare. Dificultatea rezolvării acestei probleme, în cazul unei programări numerice, constă în faptul că ambele curbe de material menționate nu au expresii matematice cunoscute. În această situație, curbele se aproximează pe porțiuni cu funcții care țin seama de gradul de neliniaritate al curbelor și de pretențiile impuse în legătură cu precizia calculului. Desigur, în anumite situații, curba de magnetizare s-ar putea aproxima cu o dreaptă, dacă inducția magnetică are valori relativ mici și materialul magnetic al jugurilor nu a ajuns la saturăție. De asemenea, la unele tipuri de magneți permanenți (v. par. 1.2) curba de demagnetizare este practic o dreaptă. În general însă, dacă se urmărește un calcul cu precizie bună, problemele legate de neliniaritățile curbei de demagnetizare a magneților permanenți și curbei de magnetizare a jugurilor

feromagnetice nu pot fi ocolite.

În acest paragraf se abordează calculul numeric al sistemelor neliniare cu magneti permanenti, lucrând cu valori medii în secțiunea pentru determinarea de stare  $B$  și  $H$  ale câmpului magnetic. Fluxul de dispersie se ia în considerare printr-un coeficient care se apreciază pentru fiecare circuit magnetic în parte. Într-o fază ulterioară (v. cap. 3, 4) va fi abordată problema de câmp care apare în astfel de sisteme, renunțându-se la aproximarea fluxului de dispersie și determinând mărimele de stare ale câmpului magnetic în orice punct al sistemului. Firește, luarea în considerare a problemei de câmp conduce la rezultate mai precise, dar calculul este mai laborios. Programele numerice elaborate de autor rezolvă problema stabilirii automate a punctelor de funcționare specifice magnetilor permanenti aflați într-un sistem neliniar cu geometrie dată. Este evident faptul că trebuie cunoscute curbele de demagnetizare ale magnetilor permanenti, precum și curbele de magnetizare ale materialelor feromagnetice care intră în componența sistemului considerat.

### 2.3.1. Stabilirea punctului de funcționare

În paragraful 2.1 s-au făcut referiri la calculul sistemelor cu magneti permanenti, considerând că porțiunea din circuit exteroară magnetului este caracterizată de o dreapta. Sunt situații când aceasta aproximare nu poate fi acceptată, fiind necesar să se ia în considerare o caracteristică neliniară. Pentru exemplificare se consideră circuitul magnetic din figura 2.6.a. La determinarea punctului de funcționare trebuie să se țină seama de succesiunea operațiilor în realizarea circuitului cu magnet permanent.

Într-o primă variantă, să presupunem că circuitul se realizează cu magnetul 1 demagnetizat, după care acesta se magnetizează până la saturatie, stare careia îi corespunde curba majoră de demagnetizare 1 (fig. 2.6.b). Aceasta este varianta practică foarte des întâlnită (v. par. 1.3). Dacă se neglijă dispersia, intensitatea câmpului magnetic din magnet este data de relația

$$H_m = \frac{1}{l_m} (H_f \cdot l_f + \frac{B_\delta}{\mu_0} \cdot \delta) , \quad (2.16)$$

unde  $l_f$  este lungimea liniei de câmp medii în jugul feromagnetic 2, care are curba de

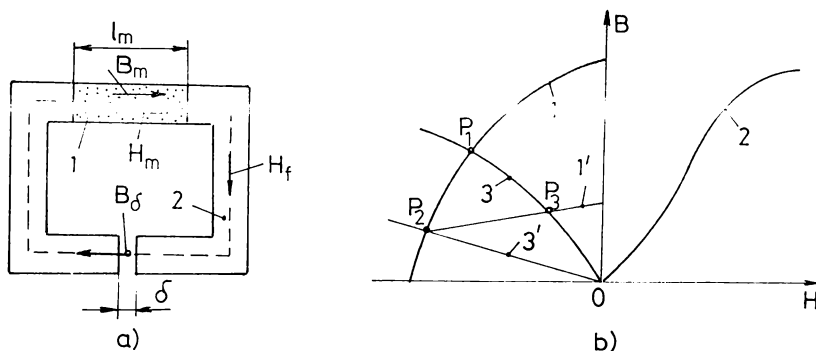


Fig. 2.6

magnetizare neliniară 2 (fig. 2.6.b). În relația (2.16) s-a ținut seama de caracterul demagnetizant al câmpului din magnet și toate mărimele sunt scalari pozitivi. Dacă se neglijeează dispersia rezultă  $B_m = B_t = B_\delta$ , iar pe baza relației (2.16) și a curbei 2 se poate construi, punct cu punct, curba neliniară 3 ce caracterizează jugurile feromagnetice și întrefierul. Punctul de funcționare al magnetului va fi  $P_1$ , la intersecția curbei de demagnetizare 1 cu caracteristica neliniară 3.

Într-o altă variantă, se pune problema determinării punctului de funcționare dacă succesiunea operațiilor realizării circuitului magnetic este alta, și anume: magnetul se magnetizează la saturatie într-un dispozitiv special, apoi este scos din acesta și se introduce în circuitul său de lucru (fig. 2.6.a). Înainte de a fi introdus în circuitul său magnetic, există o fază în care magnetul este izolat, în aer. În acest moment punctul său de funcționare este  $P_2$ , aflat la intersecția curbei de demagnetizare 1 cu dreapta 3' determinată de coeficientul de demagnetizare  $k_{dm}$  al magnetului aflat în aer. Considerând magnetizația  $\bar{M}_m$  și intensitatea câmpului magnetic din magnet  $\bar{H}_m$  vectori coliniari și de sensuri opuse și definind [95]  $k_{dm}$  cu relația (2.17)

$$k_{dm} = - \bar{H}_m / \bar{M}_m , \quad (2.17)$$

ecuația dreptei 3' rezultă din legea legăturii scrisă pentru magnet:

$$\bar{B}_m = \mu_0 (\bar{H}_m + \bar{M}_m) = - \mu_0 \cdot \frac{1 - k_{dm}}{k_{dm}} \cdot \bar{H}_m . \quad (2.18)$$

Dacă se dă geometria magnetului, coeficientul de demagnetizare este fixat, iar ecuația (2.18) va determina dreapta 3'. După ce s-a introdus magnetul în circuitul său de lucru, punctul de funcționare se deplasează pe dreapta 1' până în  $P_3$  (v. par. 1.3).

O situație similară celei descrise mai sus poate să apară și într-un alt caz. De exemplu, dacă magnetul are punctul de funcționare  $P_1$  (conform primei variante descrise) și apare un câmp demagnetizant suplimentar (prin modificarea întrefierului sau un câmp exterior), care face ca punctul de funcționare să coboare în  $P_2$ , la dispariția câmpului demagnetizant suplimentar punctul de funcționare devine  $P_3$ . Desigur, la diverse valori ale câmpului demagnetizant suplimentar, punctul de funcționare final va fi diferit.

 Cazurile analizate conduc la puncte de funcționare diferite, pentru același circuit magnetic. Prin urmare, pentru determinarea corectă a punctului de funcționare este necesar să se cunoască întreaga "istorie" a circuitului magnetic analizat, pe lângă geometria acestuia și curbele specifice magnetului (1 și 1'), respectiv materialului feromagnetic din juguri (2).

Problema care se pune este să se determine, printr-un program de calcul adecvat, punctul de funcționare al magnetului, adică valorile intensității câmpului magnetic  $H_m$  și a inducției magnetice  $B_m$  din magnet, considerându-le constante în secțiune. De asemenea, plecând de la acestea, se pot determina apoi și alte mărimi, cum ar fi: intensitatea câmpului magnetic și inducția magnetică în miezul feromagnetic al jugurilor, inducția magnetică în întrefier, fluxul magnetic, tensiunea magnetică între diverse puncte ale circuitului etc. Cât privește fluxul de dispersie, în aceasta etapa va fi considerat printr-un coeficient global ce se va aprecia pentru fiecare circuit magnetic în parte, respectiv va fi neglijat în anumite situații. Se va ține seama de neliniaritatea magnetului permanent, cât și de neliniaritatea jugurilor feromagnetic.

Deoarece în programul de calcul sunt necesare expresii analitice, curbele neliniare de demagnetizare (pentru magnetul permanent) și de magnetizare (pentru jugurile feromagnetic), determinate experimental, vor fi aproximate prin funcții ai căror coeficienți se determină prin încercare. Prin metoda aproximării pe portiuni se poate obține o bună corespondență între expresia analitică și curba determinată experimental. În acest sens, curbele 1 și 3 (v. fig. 2.6.b) se vor aproxima prin succesiuni de segmente de dreaptă.

Dacă numărul de segmente de dreaptă este foarte mare, aproximarea este foarte bună. Deoarece calculul se face automat, numărul mare de segmente nu creează nici o dificultate majoră. În ceea ce privește rezultatul, se va aproxima prin polinoame, pe porțiuni, împunându-se puncte de coincidență între curba reală și aproximanta analitică [94]. Astfel, s-au considerat 6 zone ale curbei (fig. 2.7), pentru care funcțiile de aproximare propuse de autor sunt:

$$\begin{aligned}
 H &= c_1 B + c_2 (B) & , \quad B \leq B_1 \\
 H &= c_1 B + c_2 (B)^{1/2} + c_3 (B-B_1) + c_4 (B-B_1)^2 & , \quad B_1 < B \leq B_2 \\
 H &= H_2 + c_5 (B-B_2) + c_6 (B-B_2)^2 & , \quad B_2 < B \leq B_3 \\
 H &= H_3 + c_7 (B-B_3)^2 + c_8 (B-B_3)^3 & , \quad B_3 < B \leq B_4 \\
 H &= H_4 + c_9 (B-B_4) + c_{10} (B-B_4)^2 & , \quad B_4 < B \leq B_5 \\
 H &= H_5 + c_{11} (B-B_5) & , \quad B > B_5
 \end{aligned} \tag{2.19}$$

După alegerea punctelor de coincidență  $P_1, P_2, P_3, P_4$  și  $P_5$ , din ecuațiile (2.19) rezultă coeficienții  $c_1, c_2, \dots, c_{11}$ . Procedând în acest mod, pentru fiecare material feromagnetic care ar intra în componența jugurilor se determină coeficienții ecuațiilor (2.19), având la dispoziție curba de magnetizare experimentală. Alegerea punctelor de coincidență este în funcție de forma concreta a curbei  $B(H)$ , urmărindu-se o aproximare analitică cât mai bună pentru toată curba. Pentru diverse materiale,

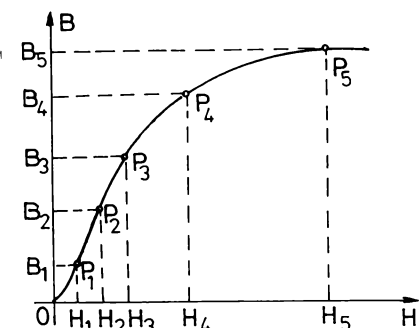


Fig. 2.7

punctele de coincidență adecvate sunt la inducții diferite, respectiv coeficienții  $c_1, c_2, \dots, c_{11}$  sunt diferenți, dar se poate păstra forma ecuațiilor (2.19). Desigur, atunci când interesează o mai bună aproximare într-o anumită zonă, numărul de puncte de coincidență și funcțiile analitice utilizate pot fi modificate. Determinarea valorilor numerice ale coeficienților

$c_1, \dots, c_{11}$  pentru materiale concrete și stabilirea preciziei de aproximare vor fi abordate în paragraful 2.3.2.

Algoritmul de calcul ce trebuie elaborat presupune determinare succesiunii de

segmente care aproximează curba 3 (v. fig. 2.6.b), precum și stabilirea punctului de funcționare  $P_1$  al magnetului, aflat la intersecția curbelor 1 și 3.

și 3, segmente suficient de scurte pentru ca precizia să fie bună. Din motive ce vizează claritatea prezentării, în desen aproximarea s-a făcut cu numai trei segmente, în realitate fiind mult mai multe. Pozițiile punctelor ( $M_1, M_2, \dots, M_{\max}$ ) se fixează pe curba de demagnetizare cunoscută astfel încât aproximarea să nu lătă mai bună, ținând cont de forma concretă a curbei, care este diferita de la material la material.

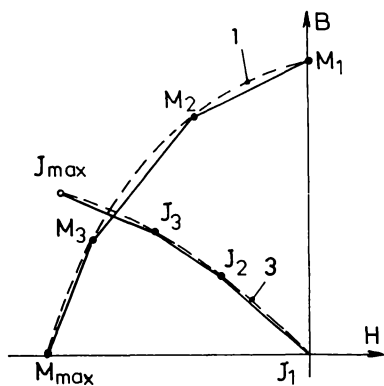


Fig. 2.8

Ecuăția explicită a unei drepte [6] determinată de două puncte  $P_1(x_1, y_1)$  și  $P_2(x_2, y_2)$  este  $y = p \cdot x + a$ , unde coeficientul unghiular are expresia  $p = (y_2 - y_1) / (x_2 - x_1)$ , iar ordonata la origine este  $a = y_1 - p \cdot x_1$ . În cazul nostru,  $y$  este înlocuit cu inducția magnetică  $B$ , iar  $x$  cu intensitatea câmpului magnetic  $H$ . Procedând astfel, se pot scrie ecuațiile tuturor dreptelor determinate de segmentele de aproximare ale curbei de demagnetizare. Forma generală pentru aceasta este

$$BM(m) = PM(m) \cdot HM(m) + AM(m), \quad (2.20)$$

unde:  $m = 1, 2, 3, \dots, m_{\max}$  este indicele punctelor ce determină segmentele de aproximare ale curbei de demagnetizare;  $BM(m)$  sunt ordonatele punctelor de aproximare;  $HM(m)$  sunt abscisele punctelor de aproximare;  $PM(m)$  sunt pantele dreptelor determinate de segmentele de aproximare;  $AM(m)$  sunt ordonatele la origine din ecuațiile dreptelor.

Formele generale ale pantelor și ordonatelor la origine ale dreptelor, pentru  $m = 1, 2, 3, \dots, m_{\max}$  sunt:

$$PM(m) = (BM(m+1) - BM(m)) / (HM(m+1) - HM(m)) , \quad (2.21)$$

$$AM(m) = PM(m)$$

Cât privește coordonatele punctelor ( $J_2, J_3, \dots, J_{\max}$ ), se procedează astfel ( $J_1$  s-a ales în originea sistemului de axe):

- se alege o valoare  $B_\delta$ , pentru inducția din întregier;

- din curba de magnetizare neliniară a materialului jugului feromagnetic 2 (v. fig.

2.6.) se determină, pentru  $B_{12} = B_{\delta 2}$ , intensitatea câmpului magnetic  $H_{12}$  ;

- din relația (2.16) rezultă o valoare probabilă pentru intensitatea câmpului din magnetul permanent,  $H_{m2}$  ; s-au obținut astfel coordonatele punctului  $J_2$  ( $BJ(2)$  ,  $HJ(2)$ ) , unde  $BJ(2) = B_{12}$  iar  $HJ(2) = H_{m2}$  ;

- procedând similar, se află și alte perechi de valori ( $BJ(j)$  ,  $HJ(j)$  ), cu  $j = 1, 2, \dots, j_{\max}$  , care sunt coordonatele punctelor ce vor determina succesiunea de segmente ce aproximează curba 3.

Având coordonatele punctelor ( $J_1, J_2, \dots, J_{\max}$  ), într-un mod asemănător cu cel prezentat pentru curba de demagnetizare, se poate scrie forma generală a ecuației explicite corespunzătoare dreptelor determinate de segmentele de aproximare  $J_1, J_2, J_3, \dots, J_{\max-1}, J_{\max}$  :

$$BJ(j) = PJ(j) \cdot HJ(j) + AJ(j) , \quad (2.23)$$

unde  $j = 1, 2, \dots, j_{\max}$  este indicele punctelor de aproximare. De asemenea, expresiile pentru  $PJ(j)$  , respectiv  $AJ(j)$  sunt date de relațiile:

$$PJ(j) = (BJ(j+1) - BJ(j)) / (HJ(j+1) - HJ(j)) , \quad (2.24)$$

$$AJ(j) = BJ(j) - PJ(j) \cdot HJ(j) . \quad (2.25)$$

Deoarece dreapta 3 trebuie construită numai până la intersecția cu curba de demagnetizare 1, după determinarea coordonatelor punctului  $J_2$  se verifică dacă segmentul  $J_1J_2$  intersectează sau nu segmentul  $M_1M_2$  . În figura 2.9 sunt prezentate variantele posibile de așezare relativă a punctului de intersecție  $I_1$  dintre dreptele determinate de cele două segmente. Coordonatele acestui punct sunt date de expresiile

(2.26) și (2.27) și reprezintă soluția sistemului format din ecuațiile (2.20) și (2.23), în raport cu inducția magnetică  $B$  și intensitatea câmpului magnetic  $H$  (notează  $BM$  și  $HM$  pentru curba  $J$ , respectiv  $PJ$  și  $PM$  pentru curba  $M$ )

$$H = (AM(1) - AJ(1)) / (PJ(1) - PM(1)) = H/I(1) \quad (2.25)$$

$$B = PJ(1) \cdot H + AJ(1) = BI(1) \quad (2.27)$$

În relațiile de mai sus s-au introdus notațiile  $H/I(1)$  și  $BI(1)$ , reprezentând coordinatele punctului de intersecție  $I_1$ . Punctul  $I_1$  poate fi determinat de intersecția

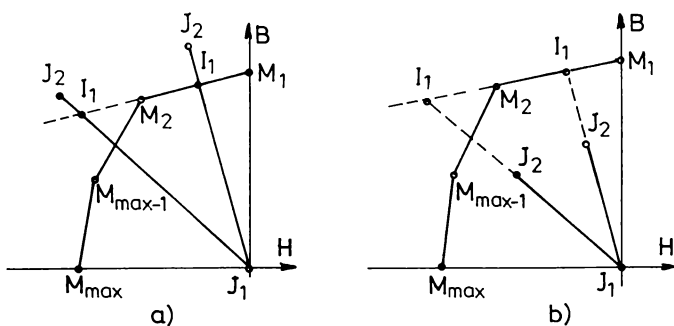


Fig. 2.9

segmentului  $J_1J_2$  cu segmentul  $M_1M_2$  sau cu prelungirea acestuia (fig. 2.9.a). O altă variantă este sugerată în figura 2.9.b, când punctul  $I_1$  se găsește la intersecția prelungirii segmentului  $J_1J_2$  cu segmentul  $M_1M_2$  sau cu prelungirea acestuia. Desigur, ca și cazuri particulare, sunt posibile situațiile în care  $I_1$  să fie identic cu  $M_1$  (numai teoretic, însă), cu  $M_2$  sau cu  $J_2$ . Toate aceste variante trebuie analizate prin programul de calcul și reținută numai varianta în care  $I_1$  se găsește la intersecția segmentelor  $J_1J_2$  și  $M_1M_2$ , nu a prelungirilor acestora. Dacă  $I_1$  nu respectă această condiție, se trece la căutarea punctului de intersecție dintre segmentul  $J_1J_2$  și următoarele segmente  $M_mM_{m+1}$ . Operația se repetă până se găsește un punct de intersecție care să îndeplinească cerința impusă sau sunt epuizate toate segmentele ce

aproximează curba de demagnetizare. În situația în care, după epuizarea tuturor segmentelor  $M_i M_{i+1}$ , nu s-a găsit un punct de intersecție real, urmează determinarea punctului  $J_3$ , deci a segmentului următor,  $J_2 J_3$ . Procedând ca la segmentul  $J_2 J_3$ , se va căuta un nou punct de intersecție dintre  $J_2 J_3$  și segmentele  $M_m M_{m+1}$ . Pentru aflarea ultimului punct ( $J_{\max}$ ) inducția nu trebuie să depășească  $B_i$ .

Forma generală a coordonatelor punctului de intersecție este dată de relațiile

$$HI = (AM(m) - AJ(j)) / (PJ(j) - PM(m)), \quad (2.28)$$

$$BI = PJ(j) \cdot HI + AJ(j), \quad (2.29)$$

unde  $j = 1, 2, \dots, j_{\max}$  iar  $m = 1, 2, \dots, m_{\max}$ .

Organograma care rezolvă problema stabilirii punctului de intersecție  $I(BI, HI)$ , care va fi punctul de funcționare al magnetului, este prezentată în figura 2.10.

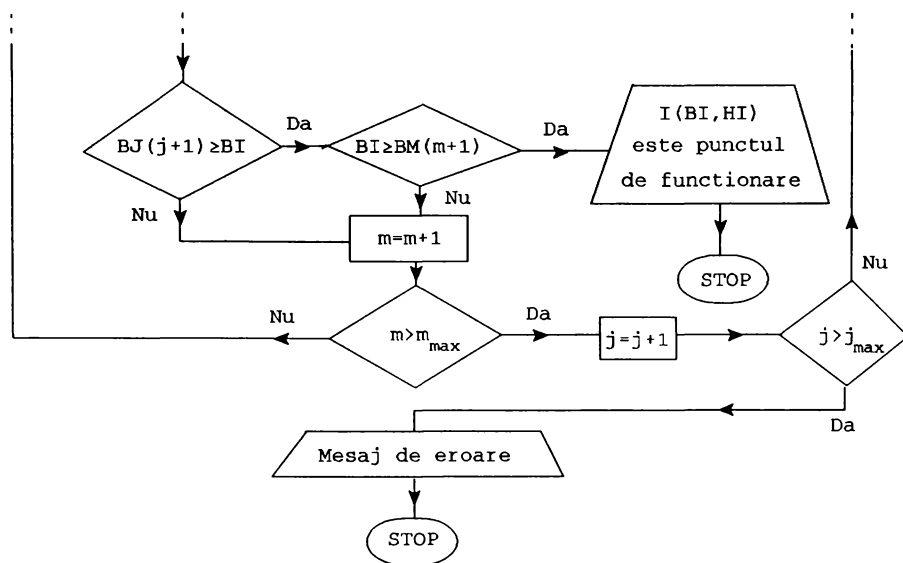


Fig. 2.10

În situația în care s-a ajuns la valoarea maximă  $m_{\max}$  (a indicelui ultimului punct de pe curba de demagnetizare) se revine la calcularea coordonatelor punctului de

intersecție dintre același segment  $J_i J_{i+1}$  și următorul segment  $M_{m+1} M_{m+2}$ . Când indicele  $m$  a depășit valoarea maxima  $m_{\max}$ , se trece la calculul coordonatelor punctului  $J_{i+2}$ , care va determina segmentul  $J_{i+1} J_{i+2}$ .

### 2.3.2. Aplicații

Se consideră circuitul magnetic din figura 2.6.a. Magnetul permanent 1 are geometrie și curba de demagnetizare majoră cunoscute și este uniform magnetizat. Pentru jugul feromagnetic 2 se cunosc dimensiunile și curba de magnetizare. De asemenea, se consideră că magnetul a fost magnetizat până la saturatie, după ce s-a introdus în circuitul său de lucru, aşa cum se întâlnește în majoritatea situațiilor practice. Dacă circuitul se realizează cu magnetul în stare magnetizată - acceptându-se dificultățile amintite la paragraful 1.3 - este necesară și dreapta de revenire a magnetului. În acest ultim caz rezolvarea este mai simplă, deoarece în locul succesiunii de segmente ce aproximează curba (neliniară) de demagnetizare se lucrează cu drepta de revenire. Pentru început, fluxul de dispesie se neglijăza, urmând ca apoi să se abordeze și această problemă. În aceste ipoteze, ținând seama de neliniaritatea circuitului - cauzată de magnetul permanent și jugul feromagnetic - se cere să se determine intensitatea câmpului magnetic și inducția magnetică în magnet și jug, precum și inducția magnetică în întrefier.

În figura 2.11 se prezintă organograma care stă la baza întocmirii programului de calcul ce rezolvă problema propusă mai sus. După alegerea punctelor care determină segmentele de aproximare a curbei de demagnetizare, pe baza relațiilor (2.21) și (2.22) se determină pantele  $PM(m)$  și ordonatele la origine  $AM(m)$ , unde  $m=1,2,\dots,m_{\max}$ . Se trece apoi la determinare coordonatelor punctelor  $J_1, J_2, \dots, J_{\max}$ . Cât privește inducția magnetică  $BJ(j)$ , se pleacă din originea sistemului de axe ( $BJ(1) = 0$ ), iar ulterior se modifică cu un pas  $\Delta B$ , ales. Intensitatea câmpului magnetic  $HJ(j)$  pentru origine este nula, iar pentru celealte puncte se calculează cu relația (2.16), în care intervine și intensitatea câmpului magnetic în miezul feromagnetic ( $H_f$ ), determinată

din curba de magnetizare pe baza relațiilor (2.19). După aflarea coordonatelor punctului  $J_{(j+1)}$  se calculează panta  $PJ$  și ordonata la origine  $AJ$  ale dreptei determinate de segmentul  $J_j J_{j+1}$ . Se trece apoi la determinarea coordonatelor punctului de intersecție  $I(BI, HI)$  prin procedeul descris la paragraful 2.3.1. Ieșirea normală din program are loc atunci când s-a găsit un punct de intersecție  $I$  ale căruia coordonate respectă condițiile impuse.

Programul de calcul elaborat pe baza celor de mai sus (R2MAG1V1) este dat în Anexa 1. Se face precizarea că în instrucțiunea DIMENSION s-au trecut valorile unui caz concret, care va fi prezentat ca exemplu de calcul.

Pentru o tratare coerentă, este esențială definirea exactă a fluxului util, la fiecare circuit magnetic în parte. De exemplu, dacă ne referim la circuitul din figura 2.6.a, fluxul magnetic  $\phi_m$  produs de magnetul permanent are o componentă  $\phi_\delta$ , care se închide prin suprafața utilă  $S_\delta$  a întrefierului, precum și o componentă  $\phi_d$  (flux de dispersie), care se închide prin aer și nu străbate zona utilă a întrefierului. Relația de legătură între acestea este

$$\phi_m = \phi_\delta + \phi_d . \quad (2.30)$$

Dacă se definește coeficientul de dispersie  $k_d$  ca fiind raportul dintre fluxul total dat de magnetul permanent (fluxul prin secțiunea sa neutră) și fluxul util din întrefier

$$k_d = \phi_m / \phi_\delta , \quad (2.31)$$

rezultă  $\phi_m = k_d \cdot \phi_\delta$ , unde  $k_d \geq 1$ . De asemenea, pentru coeficientul de dispersie rezultă și alte forme de exprimare:

$$k_d = 1 + \frac{\phi_d}{\phi_\delta} = \frac{1}{1 - \phi_d / \phi_m} . \quad (2.32)$$

Valorile coeficientului de dispersie depind hotărâtor de forma concretă a circuitului magnetic și de materialele utilizate la construcția acestuia.

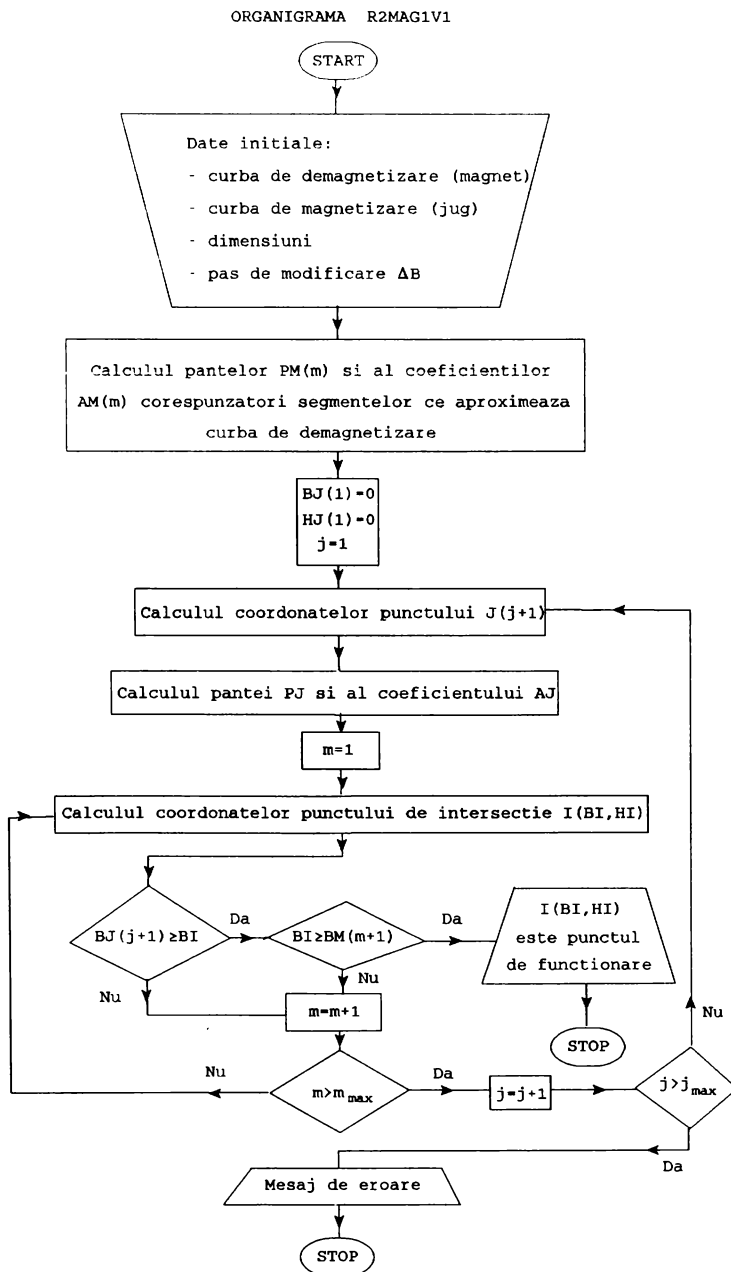


Fig.2.11

Dintre elementele constructive, un rol esențial revine dimensiunii întrefierului; când întrefierul are valori relativ mari, fluxul de dispersie este și el mare, deci și  $k_d$  crește.

În întrefierul va avea valori mici,  $k_d$  dintr-o perspectivă de specialitate domeniul de valori precizat pentru coeficientul de dispersie este destul de larg ( $k_d = 1 - 10$ ) [100], deci pentru o evaluare concretă este necesar să se precizeze și circuitul magnetic. Coeficientul de dispersie se poate determina cu relații empirice, experimental sau prin metode laborioase de calcul. Este important de sesizat că la circuite magnetice cu formă similară, dar dimensiuni diferite, coeficientul de dispersie este aproape același. Această precizare face posibilă utilizarea unor determinări experimentale pe modele de dimensiuni convenabile sau a rezultatelor unui calcul mai laborios și exact - cum ar fi rezolvarea problemei prin metode numerice - la toate circuitele magnetice cu geometrie similară.

În acest context, calculul circuitelor magnetice pe baza schemelor echivalente - relativ simplu și intuitiv în proiectare - capată noi valențe și nu-și pierde actualitatea.

Coeficientul de dispersie se poate exprima și în funcție de permeanțe sau reluctanțe magnetice. Circuitului din figura 2.6.a îi corespunde o schema echivalentă în care permeanța  $\Lambda_d$  (reluctanța  $R_{md}$ ) a tuburilor de câmp de dispersie apare în paralel cu permeanța  $\Lambda_\delta$  (reluctanța  $R_{m\delta}$ ) a întrefierului (v. fig. 2.3.b). În acest caz, raportul dintre fluxul de dispersie  $\phi_d$  și cel util  $\phi_\delta$  este egal cu raportul permeanțelor, respectiv cu raportul invers al reluctanțelor:

$$k_d = 1 + \Lambda_d / \Lambda_\delta = 1 + R_{m\delta} / R_{md} . \quad (2.33)$$

O altă schema echivalentă pentru circuitul magnetic din figura 2.6.a, este aceea în care se consideră o permeanță de dispersie a magnetului  $\Lambda_{dm}$ , în paralel cu acesta, și o permeanță de dispersie pentru jugurile feromagnetice  $\Lambda_{df}$ , de asemenea în paralel. Pentru calculul acestora se pot folosi, uneori, relații empirice [100]:

$$\Lambda_{dm} = 1,8 \mu_0 \sqrt{S_m} \quad [Wb/A] ; \quad \Lambda_{df} = 1,13 p \frac{l}{l+\delta} \mu_0 \quad [Wb/A] , \quad (2.34)$$

unde:  $S_m$  [ $m^2$ ] - jumătate din aria suprafeței libere (laterale) a magnetului;  $p$  [ $m$ ] -

perimetru secțiunii longitudinale a jugurilor;  $l_j$  [m] – lungimea jugurilor;  $\delta$  [m] – lungimea întrefierului.

Deseori, o asemenea apoximativă pentru coeficientul dispersiei se poate determina și printr-o metodă grafo-analitică [116], dar pentru a obține o precizie mai bună trebuie rezolvată problema de câmp.

Dacă se cunoaște coeficientul de dispersie, programul de calcul prezentat mai sus poate fi adaptat la anile condiții, deci se ține seama și de fluxul de dispersie. În acest sens, dacă se consideră schema echivalentă în care se introduce o permeanță de dispersie în paralel cu întrefierul, modificările necesare în programul R2MAG1V1 sunt:

- prima instrucție READ se completează cu coeficientul de dispersie  $k_d$ , notat în program CD;
- după instrucția 50 se adaugă BDELTA = BJ(J+1)/CD, care va purta eticheta 60;
- în instrucția ce purta eticheta 60, care acum nu va mai fi etichetată, se înlocuiește BJ(J+1) cu BDELTA;
- după instrucția GO TO 100 se introduce instrucția BDELTA = BI / CD, care va purta eticheta 140;
- în instrucția ce purta eticheta 140, care acum va rămâne fără etichetă, se înlocuiește BI cu BDELTA;
- ultimul termen al instrucției WRITE (108,50), adică BI, se înlocuiește cu BDELTA.

Prin introducerea acestor modificări, s-a obținut varianta R2MAG1V2, care ține seama de fluxul de dispersie prin coeficientul de dispersie  $k_d$  ales.

În continuare se prezintă unele exemple concrete de calcul în care se lucrează cu programele numerice R2MAG1V1 și R2MAG1V2. Pentru circuitul magnetic cu schema de principiu din figura 2.6.a s-au considerat două categorii de exemple de calcul: a) cu neglijarea fluxului de dispersie; b) cu considerarea fluxului de dispersie prin coeficientul definit de relația 2.3.1. S-a considerat că jugul este realizat din OL 37, pentru care curba de magnetizare (ridicată experimental) este datează în figura 2.12, iar mărimile caracteristice ecuațiilor 2.19, rezultate prin identificare, sunt:

$$c_1 = 1,6100 \cdot 10^3 ; \quad c_2 = 0,7558 \cdot 10^3 ; \quad c_3 = -1,0117 \cdot 10^3 ;$$

$$c_4 = 0,2584 \cdot 10^3 ; \quad c_5 = 1,1250 \cdot 10^3 ; \quad c_6 = 3,1250 \cdot 10^3 ;$$

$$c_0 = 2,1117 \cdot 10^4 ; \quad c_8 = -1,1833 \cdot 10^4 ; \quad c_9 = 0,4667 \cdot 10^5 ;$$

$$c_{10} = -0,8667 \cdot 10^5 ; \quad c_{11} = 1,8400 \cdot 10^5 ;$$

$$B_1 = 0,2 \text{ T} ; \quad B_2 = 0,8 \text{ T} ; \quad B_3 = 1,2 \text{ T} ; \quad B_4 = 1,7 \text{ T} ; \quad B_5 = 2 \text{ T}$$

$$H_1 = 660 \text{ A/m} ; \quad H_2 = 1450 \text{ A/m} ; \quad H_3 = 2400 \text{ A/m} ; \quad H_4 = 6200 \text{ A/m} ; \quad H_5 = 22,8 \text{ kA/m}.$$

Unitățile de măsură pentru coeficienții  $c_1, c_2, \dots, c_{11}$  rezultă din ecuațiile (2.19). Cu valorile de mai sus pentru constante, curba de magnetizare experimentală este bine aproximată analitic de expresiile (2.19), mai ales în intervalul  $(0 - 1,2) \text{ T}$ , care este singura zonă de interes, deoarece inducția remanentă pentru magnetul considerat (ALNICO 35/5) este  $B_r = 1,2 \text{ T}$ . În tabelul 2.1 este ilustrată corespondența între valori calculate cu expresiile analitice și cele experimentale, pentru zona care interesează; se observă că precizia de aproximare este bună.

Tabelul 2.1

$B [ \text{T} ]$		0,03	0,06	0,16	0,3	0,5	0,6	0,7	0,9	1,1	1,2
$H$ [ $\text{A/m}$ ]	calc.	179	282	560	798	1059	1188	1318	1594	2069	2400
	exp.	180	280	570	810	1050	1180	1310	1600	2100	2400
	er. (%)	0,55	0,71	1,75	1,48	0,86	0,68	0,61	0,38	1,48	0

Magnetul permanent se consideră confectionat din ALNICO 35/5 și este magnetizat după introducerea sa în circuit. Pentru un astfel de material, fabrica constructoare livrează curba de demagnetizare prezentată în figura 1.12 [113]. Această curba de demagnetizare s-a aproximat printr-o succesiune de segmente determinate de punctele  $M_1, M_2, \dots, M_8$ , ale căror coordonate sunt date în tabelul 2.2.

Tabelul 2.2

Punct	M1	M2	M3	M4	M5	M6	M7	M8
$B_m [ \text{T} ]$	1,20	1,12	1,03	1,00	0,95	0,90	0,80	0,00
$H_m [\text{kA/m}]$	0	20	33	36,5	40	42,5	44,5	47,5

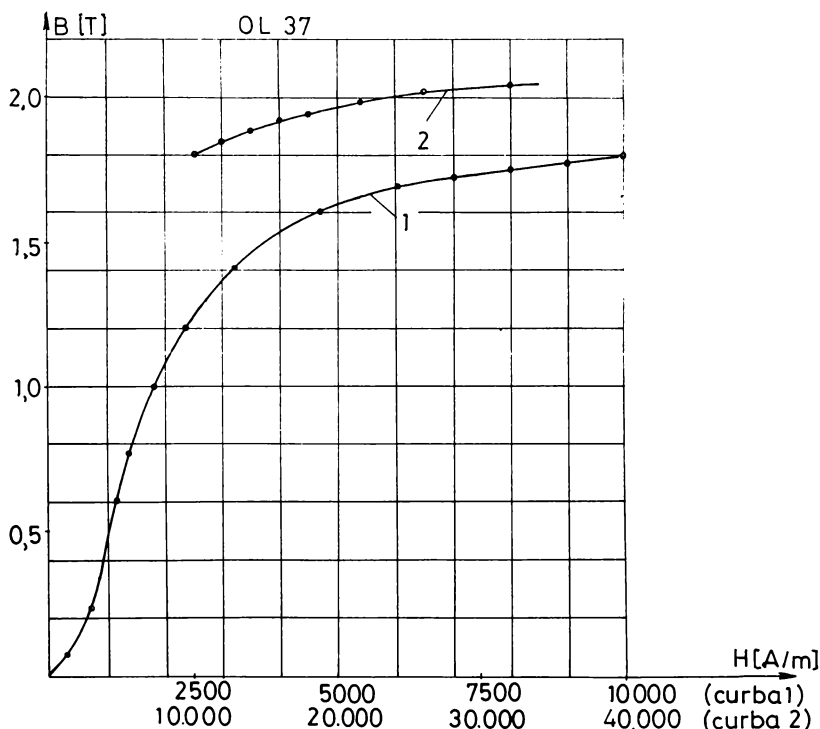


Fig. 2.12

În ceea ce privește dimensiunile circuitului, pentru exemplificare se prezintă variantele în care lungimea magnetului este  $l_m = 5\text{cm}$ , a jugului feromagnetic  $l_f = 20\text{cm}$ , iar întrefierul se consideră parametru, având valorile  $\delta = 1\text{mm}$ ,  $2\text{mm}$  și  $3\text{mm}$ . Pentru toate variantele alese s-au făcut calcule cu neglijarea dispesiei ( $k_d = 1$ ) și cu considerarea acesteia printr-un factor de dispersie ales ( $k_d = 1,4$ ). Rezultatele de calcul obținute cu programele R2MAG1V1 și R2MAG1V2 sunt prezentate în tabele (2.3-2.5), în care s-au păstrat notațiile din programele de calcul, cu semnificațiile: CD - coeficientul de dispersie ( $k_d$ ); BM - inducția magnetică din magnet ( $B_m$ ); HM - intensitatea câmpului magnetic în magnet ( $H_m$ ); BJUG - inducția magnetică în jugul feromagnetic ( $B_f$ ); HJUG -

intensitatea câmpului magnetic în jugul feromagnetic ( $H_t$ );  $\delta$  - adâncimea în intărirea ( $B = BJ(J)$ ,  $HJ(J)$  - coordonatele punctelor  $J = J_{\text{m}}, J_{\text{t}}$ , care determină curba 3 (v. fig. 2.8).

Pentru o apreciere mai intuitivă, valorile obținute cu programele de calcul sunt reprezentate grafic în figura 2.13.

Tabelul 2.3 ( $I_m = 5 \text{ cm}$ ;  $I_t = 20 \text{ cm}$ ;  $k_d = 1$ ;  $\Delta B = 0,1 \text{ T}$ )

J	$BJ(J)$ [T]	$HJ(J)$ [kA/m]		
		$\delta = 1 \text{ mm}$	$\delta = 2 \text{ mm}$	$\delta = 3 \text{ mm}$
1	0,1	3,1915	4,7831	6,3746
2	0,2	5,8231	9,0062	12,1893
3	0,3	7,9666	12,7413	17,5159
4	0,4	10,0862	16,4524	22,8186
5	0,5	12,1937	20,1515	28,1092
6	0,6	14,3013	23,8506	33,3999
7	0,7	16,4128	27,5537	38,6945
8	0,8	18,5324	31,2648	43,9972
9	0,9	20,6999	35,0239	49,3478
10	1,0	23,1155	39,0310	-
11	1,1	25,7830	-	-

Tabelul 2.4 ( $I_m = 5 \text{ cm}$ ;  $I_t = 20 \text{ cm}$ ;  $k_d = 1,4$ ;  $\Delta B = 0,1 \text{ T}$ )

J	$BJ(J)$ [T]	$HJ(J)$ [kA/m]		
		$\delta = 1 \text{ mm}$	$\delta = 2 \text{ mm}$	$\delta = 3 \text{ mm}$
1	0,1	2,7368	3,8736	5,0105
2	0,2	4,9136	7,1873	9,4609
3	0,3	6,6025	10,0129	13,4234
4	0,4	8,2673	12,8146	17,3619
5	0,5	9,9201	15,6042	21,2883
6	0,6	11,5729	18,3939	25,2148
7	0,7	13,2297	21,1875	29,1452
8	0,8	14,8946	23,9891	33,0837
9	0,9	16,6074	26,8388	37,0702
10	1,0	18,5682	29,9364	41,3046
11	1,1	20,7810	33,2861	-
12	1,2	23,2419	-	-

Tabelul 2.5 ( $l_m = 5 \text{ cm}$ ;  $l = 20 \text{ cm}$ )

Mărime Nr.	$H$	$\delta$ [mm]	$B_M$	$H_M$ [A/m]	$B_{HUG}$	$H_{HUG}$	$B_0$
1	1	1	1,087	25,3	1,087	2000	1,087
2	1	2	0,975	38,2	0,975	1791	0,975
3	1	3	0,805	44,5	0,805	1516	0,805
4	1,4	1	1,110	21,0	1,110	2095	0,793
5	1,4	2	1,058	31,9	1,058	1961	0,756
6	1,4	3	0,952	39,4	0,952	1733	0,680

Deoarece punctelor de funcținare le corespund inducții pe zona până la cotul curbei de magnetizare a jugului feromagnetic - unde aceasta nu diferă mult de o dreapă - curbele obținute sunt ușor neliniare. De asemenea, dacă se consideră un coeficient de dispersie mai mare (păstrând dimensiunile circuitului), se constată că inducția magnetică în întregier - zonă de interes practic - nu scade proporțional. Explicația se găsește în neliniaritatea circuitului magnetic considerat.

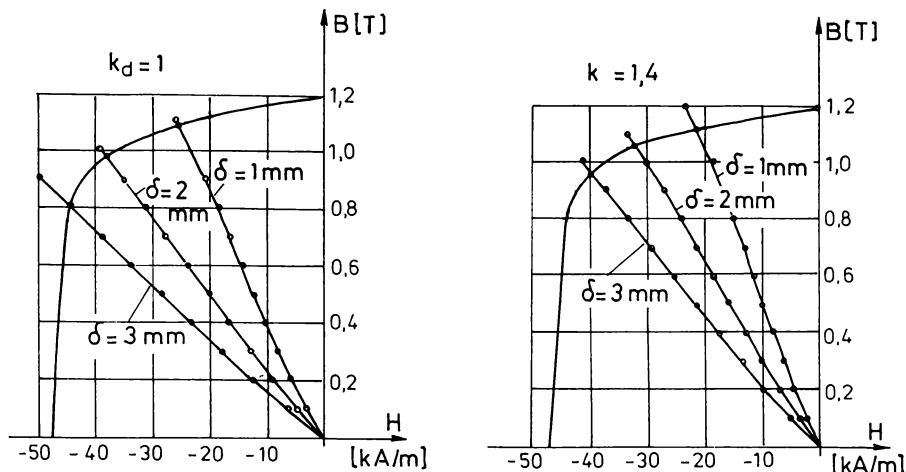


Fig. 2.13

Astfel, în cazurile analizate, atunci când  $k_d$  a crescut de 1,4 ori, inducția

magnetică în întrefier nu scade în același raport, ci mai puțin : pentru  $\delta = 1 \text{ mm}$ , inducția în întrefier scade de 1,37 ori; pentru  $\delta = 2 \text{ mm}$  - de 1,29 ori, iar pentru  $\delta = 3 \text{ mm}$  - de 1,18 ori.

**C a p i t o l u l 3**  
**DETERMINAREA CĂMPULUI PE CALE NUMERICĂ**  
**LA SISTEME CU MAGNEȚI PERMANENȚI**

Dacă varianta de calcul în care mărimele de stare ale câmpului magnetic sunt considerate constante în secțiune nu este satisfăcătoare, respectiv pentru cazuri când sistemul analizat nu este potrivit să fie divizat în zone în care să se lucreze cu valori medii în secțiune, abordarea problemei de câmp este inevitabilă. O proiectare de calitate, fără tatonări și multiple reveniri, cu determinarea precisă a mărimilor de stare ale câmpului magnetic în orice punct din domeniul studiat, este posibilă numai prin rezolvarea problemei de câmp care apare. Cum, în general, sistemele cu magneți permanenți sunt neomogene și neliniare, abordarea problemei de câmp devine o chestiune complexă, inoperantă fără utilizarea sistemelor de calcul moderne, puternice. În principal din acest motiv, preocupările din ultima vreme, legate de completarea și modernizare metodelor de calcul a sistemelor cu magneți permanenți, sunt justificate și tot mai ample.

**3.1. APICAREA METODEI ELEMENTELOR FINITE.**  
**FUNCȚIONALĂ UTILIZATĂ**

Dintre metodele de calcul al câmpului electromagnetic, în mod deosebit se impune metoda elementelor finite. Această metodă se poate aplica avantajos și pentru medii neomogene, neliniare și anizotrope. Prin aplicarea unor principii variaționale, care stau la baza metodei elementelor finite, problema rezolvării ecuațiilor câmpului magnetic se transformă într-o problemă echivalentă - de aflare a funcției care minimizează o anumită funcțională.

Expresia generală a funcționalei asociate câmpului magneților permanenti pentru medii oarecare este [30, 73, 104]:

---

$$\mathcal{F} = \int_{\Omega} \left( \int_0^{\bar{H}} \vec{B} \cdot d\vec{H} \right) \cdot d\vec{v} + \int_{\Sigma_N} \vec{B} \cdot \vec{n} V_h ds$$

unde  $\Omega$  este domeniul (volumul) în care se analizează problema de câmp, iar  $\Sigma_N$  este frontiera cu condiții Neumann a domeniului. Al doilea termen din funcțională ține seama de prezența condițiilor Neumann nenule. Pentru cazurile în care domeniul de studiu are numai condiții Dirichlet sau pentru toată frontiera  $\Sigma_N$  condițiile Neumann sunt nule, funcționala va conține doar primul termen al expresiei (3.1). Deoarece în relația (3.1) sunt trei mărimi necunoscute ( $\vec{B}$  - inducția magnetică,  $\vec{H}$  - intensitatea câmpului magnetic și  $V_h$  - potențialul magnetic scalar), este necesar ca expresia generală a funcționalei  $\mathcal{F}$  să fie prelucrată și adusă la o formă ce se poate utiliza în calcule. În funcție de condițiile referitoare la domeniul în care se rezolvă problema de câmp magnetic, transformarea funcționalei este afectată de particularități, aşa cum rezultă la paragrafele 3.1.1 și 3.1.2.

### 3.1.1. Domeniu cu magnetizație permanentă

În figura 3.1 se consideră domeniul  $\Omega = \Omega' \cup \Omega''$ , în care sursele de câmp sunt magnetii permanenți. Subdomeniul  $\Omega'$  este fără magnetizație permanentă ( $\vec{M}_p = 0$ ), iar subdomeniul  $\Omega''$  este cu magnetizație permanentă ( $\vec{M}_p \neq 0$ ; magnetul permanent). Frontiera  $\Sigma$  a domeniului,

$$\Sigma = \Sigma_N' \cup \Sigma_D' \cup \Sigma_N'' \cup \Sigma_D'', \quad (3.2)$$

se consideră cu condiții mixte, atât pentru zona fără magnetizație permanentă  $\Sigma' = \Sigma_N' \cup \Sigma_D'$ , cât și pentru zona cu magnet permanent  $\Sigma'' = \Sigma_N'' \cup \Sigma_D''$ . Pentru porțiunile de frontieră  $\Sigma_N'$  și  $\Sigma_N''$  sunt date condiții Neumann, iar pentru  $\Sigma_D'$  și  $\Sigma_D''$  condiții Dirichlet. Dacă se consideră mai multe zone cu magnetizație permanentă,

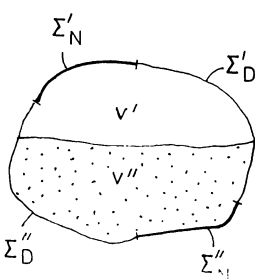


Fig.

atunci  $v''$  este reuniunea acestora, iar  $v'$  este reuniunea tuturor zonelor fără magnetizație permanentă, cu înțeles similar pentru suprafațele de frontieră  $\Sigma''$ , respectiv  $\Sigma'$ .

În general, magnetizația are două componente

$$\bar{M} = \bar{M}_p - \bar{M}_t \quad \text{permanentă} + \bar{M}_t \quad \text{și temporar} \quad (\bar{M}_t).$$

Pentru zona  $v'$  unde  $\bar{M}_p = 0$  rezulta  $\bar{B} = \mu_0 \bar{H}$ , iar

$$\text{pentru zona } v'' , \bar{B} = \mu_0 \mu_{rp} \bar{H} + \mu_0 \bar{M}_p = \mu_p \bar{H} + \mu_0 \bar{M}_p$$

(v.ref. 1.3, 1.17, 1.18). Dacă se ține seama de precizările de mai sus, relația 3.1 se poate scrie:

$$\begin{aligned} \mathcal{F} = & \int_{v'} \left( \int_0^{\bar{H}} \mu \bar{H} d\bar{H} \right) dv + \int_{v''} \left[ \int_0^{\bar{H}} (\mu_p \bar{H} + \mu_0 \bar{M}_p) d\bar{H} \right] dv + \\ & + \int_{\Sigma_N} (\mu \bar{H}) \vec{n} V_H ds + \int_{\Sigma_N''} (\mu_p \bar{H} + \mu_0 \bar{M}_p) \vec{n} V_H ds . \end{aligned} \quad (3.3)$$

În cadrul metodei elementelor finite, volumul  $v$  al domeniului în care se analizează problema de câmp se împarte în  $m$  elemente finite, de dimensiuni suficient de mici, astfel încât precizia de calcul să fie corespunzătoare. Aceste elemente pot fi de diferite dimensiuni și forme, în funcție de configurația domeniului, rețeaua de discretizare fiind mai densă acolo unde se presupune o neuniformitate mai mare a câmpului. Numărul nodurilor rețelei se notează cu  $n$ . Deci funcționala (3.3) devine:

$$\mathcal{F} = \sum_{\lambda=1}^m \mathcal{F}_\lambda , \quad \lambda = \overline{1, m} . \quad (3.4)$$

Notând cu  $m'$  numărul de elemente finite din  $v'$ , cu  $m''$ -numărul de elemente finite din  $v''$  ( $m = m' + m''$ ), cu  $m'_N$ -numărul de elemente finite adiacente frontierei  $\Sigma_N'$  și cu  $m''_N$  - numărul de elemente finite adiacente frontierei  $\Sigma_N''$  ( $m_N = m'_N + m''_N$ ), funcționala este

$$\mathcal{F} = \sum_{\lambda=1}^{m'} \left\{ \int_{v_\lambda'} \left( \int_0^{\bar{H}_\lambda} \mu_\lambda \bar{H}_\lambda d\bar{H}_\lambda \right) dv \right\} + \sum_{\lambda=1}^{m''} \left\{ \int_{v_\lambda''} \left[ \int_0^{\bar{H}_\lambda} (\mu_{p\lambda} \bar{H}_\lambda + \mu_0 \bar{M}_{p\lambda}) d\bar{H}_\lambda \right] dv \right\} +$$

$$+ \sum_{\lambda=1}^{m'_N} \left\{ \int_{\Sigma'_{\lambda N}} (\mu_\lambda \bar{H}_\lambda) \bar{n} V_{H\lambda} ds \right\} + \sum_{\lambda=1}^{m''_N} \left\{ \int_{\Sigma''_{\lambda N}} (\mu_{p\lambda} \bar{H}_\lambda + \mu_0 \bar{M}_{p\lambda}) \bar{n} V_{H\lambda} ds \right\}. \quad (3.5)$$

În expresia (3.5), semnificațiile notațiilor facute rezultă din relațiile:

$$v' = \sum_{\lambda=1}^{m'} v'_\lambda \quad ; \quad v'' = \sum_{\lambda=1}^{m''} v''_\lambda \quad (3.6)$$

$$\sum_{n_i} = \sum_{\lambda=1}^{m'} \left( \sum_{n_\lambda} \right) \quad \sum_n'' = \sum_{\lambda=1}^{m''} \left( \sum_{n_\lambda}'' \right) \quad (3.7)$$

Pentru *jugurile feromagnetice neliniare* conținute în subdomeniul  $v'$  nu se cunosc anticipat punctele de funcționare (într-un fiecare element finit în parte) pe curba de magnetizare  $B(H)$ , curbă ce trebuie cunoscută. Din acest motiv, permeabilitățile  $\mu_\lambda$ , pentru fiecare element finit  $\lambda$ , sunt inițial necunoscute, cu excepția subdomenilor cu aer din  $v'$  (dacă sunt), unde  $\mu_\lambda = \mu_0$ . Procedeul de rezolvare a problemei de câmp în cadrul MEF presupune, în final (v. par. 3.2), rezolvarea unui sistem de ecuații algebrice (obținut prin staționarizarea funcționalei 3.5), în care necunoscutele sunt potențialele magnetice scalare  $V_{H_i}$  ( $i = \overline{1, n}$ ) din cele  $n$  noduri ale rețelei de discretizare a domeniului  $v$  de studiu. Cum valorile  $\mu_\lambda$  sunt la început necunoscute, rezolvarea sistemului presupune mai multe iterații, plecând de la valori inițiale alese pentru  $\mu_\lambda$  ( $\lambda = \overline{1, m'}$ ) și corectându-le la fiecare iteratie. Dacă procesul este convergent, se obțin în final anumite valori pentru  $\mu_\lambda$ , diferite de la un element finit la altul, corespunzătoare punctelor de funcționare pe curbele de magnetizare. Deci, în cadrul unei iterații, rezolvarea sistemului de ecuații ce se obține din relația (3.5) se face pentru  $\mu_\lambda = \text{constant în raport cu } H_\lambda$ , dar diferit pentru  $\lambda$  diferit. Dacă  $v'$  nu conține materiale neliniare,  $\mu_\lambda = \text{constant în raport cu } H_\lambda$  și cunoscut, iar problema se rezolvă într-o singură iteratie.

Pentru *magneții permanenți cu caracteristica neliniară*, conținuți în subdomeniul  $v''$ , problema se pune asemănător, dar cu referire la  $\mu_{p\lambda}$  ( $\lambda = \overline{1, m''}$ ). Pentru magneții permanenți din sistem (sursa de câmp), trebuie să se calculeze polele de demagnetizare. În cadrul unei iterații, calculul se abordează similar, considerând  $\mu_{p\lambda} = \text{constant în raport cu } H_\lambda$  - diferit de la un element finit la altul - și se corectează

iterativ până se obțin valori stabile.

Luând în considerare aceste precizări, se obține:

$$\int_0^{H_\lambda} \mu_\lambda \bar{H}_\lambda d\bar{H}_\lambda = \frac{1}{2} \mu_\lambda H_\lambda^2 \quad (3.8)$$

$$\int_0^{H_\lambda} (\mu_{p\lambda} \bar{H}_\lambda + \mu_0 \bar{M}_{p\lambda}) d\bar{H}_\lambda = \frac{1}{2} \mu_{p\lambda} H_\lambda^2 + \mu_0 \bar{M}_{p\lambda} \bar{H}_\lambda, \quad (3.9)$$

unde s-a ținut seama că magnetizația permanentă  $\bar{M}_{p\lambda}$  este independentă de  $\bar{H}_\lambda$ , în fiecare element finit din  $V''$ , dar poate fi diferită de la element la element. Din relațiile (3.5), (3.8) și (3.9) rezultă

$$\begin{aligned} \mathcal{F} = & \sum_{\lambda=1}^{m'} \left\{ \int_{V'_\lambda} \frac{1}{2} \mu_\lambda H_\lambda^2 dv \right\} + \sum_{\lambda=1}^{m''} \left\{ \int_{V''_\lambda} \left( \frac{1}{2} \mu_{p\lambda} H_\lambda^2 + \mu_0 \bar{M}_{p\lambda} \bar{H}_\lambda \right) dv \right\} + \\ & + \sum_{\lambda=1}^{m'_N} \left\{ \int_{\Sigma'_{N\lambda}} (\mu_\lambda \bar{H}_\lambda) \cdot \bar{n} V_{H\lambda} ds \right\} + \sum_{\lambda=1}^{m''_N} \left\{ \int_{\Sigma''_{N\lambda}} (\mu_{p\lambda} \bar{H}_\lambda + \mu_0 \bar{M}_{p\lambda}) \cdot \bar{n} V_{H\lambda} ds \right\}. \end{aligned} \quad (3.10)$$

Dacă se ține seama de relația (1.14), rezultă transformările evidente:

$$(\mu_\lambda \bar{H}_\lambda) \cdot \bar{n} = \mu_\lambda H_{n\lambda} = -\mu_\lambda (\partial V_H / \partial n)_\lambda \quad (3.11)$$

$$(\mu_0 \bar{M}_{p\lambda}) \cdot \bar{n} = \mu_0 (M_{pn})_\lambda, \quad (3.12)$$

unde  $H_{n\lambda}$  și  $(M_{pn})_\lambda$  sunt componentele normale ale intensității câmpului magnetic pe frontiera  $\Sigma'_N$ , respectiv ale magnetizației permanente pe frontiera  $\Sigma''_N$ , într-un element  $\lambda$  oarecare, adjacent frontierei  $\Sigma'_N$ , respectiv  $\Sigma''_N$ . Dacă se introduc relațiile (1.14), (3.11) și (3.12) în expresia (3.10), funcționala devine

$$\begin{aligned} \mathcal{F} = & \sum_{\lambda=1}^{m'} \left\{ \int_{V'_\lambda} \frac{1}{2} \mu_\lambda (\text{grad } V_H)_\lambda^2 dv \right\} + \\ & + \sum_{\lambda=1}^{m''} \left\{ \int_{V''_\lambda} \left[ \frac{1}{2} \mu_{p\lambda} (\text{grad } V_H)_\lambda^2 + \mu_0 \bar{M}_{p\lambda} (-\text{grad } V_H)_\lambda \right] dv \right\} + \end{aligned}$$

$$\begin{aligned}
 & + \sum_{\lambda=1}^{m_N'} \left\{ \int_{\Sigma_{N\lambda}} \mu_\lambda (-\partial V_H / \partial n)_\lambda V_{H\lambda} ds \right\} + \\
 & + \sum_{\lambda=1}^{m_N''} \left\{ \int_{\Sigma_{N\lambda}} [\mu_{p\lambda} (-\partial V_H / \partial n)_\lambda V_{H\lambda} + \mu_0 (M_{pn})_\lambda V_{H\lambda}] ds \right\}. \quad (3.13)
 \end{aligned}$$

Aceasta este forma utilă a funcționalei exprimată de relația generală (3.1), singura necunoscută fiind potențialul magnetic scalar  $V_H$ .

Pentru *magneți permanenți neliniari și anizotropi* trebuie ținut seama de faptul că aceștia au proprietăți diferite pentru diverse direcții. Astfel, dacă materialul prezintă trei axe (direcții) preferentiale ( $x, y, z$ ), relația (1.18) se scrie pentru cele trei direcții și anume:

$$\mu_{rpv} = \frac{B_v - B_{rv}}{\mu_0 H_v}, \quad v = x, y, z. \quad (3.14)$$

De asemenea, trebuie să cunoască curbele de demagnetizare  $B_v$  ( $H_v$ ) ale magnetului, diferite pentru cele trei direcții. Dacă și *jugurile feromagnetice sunt neliniare și anizotrope*, se vor introduce permeabilități relative după axele preferențiale:

$$\mu_{rv} = \frac{B_v}{\mu_0 H_v}, \quad v = x, y, z. \quad (3.15)$$

Similăr, este necesar să fie cunoscute curbele de magnetizare pentru cele trei direcții.

Cum permeabilitățile relative  $\mu_{rpv}$  și  $\mu_{rv}$  depind de punctul de funcționare pe curbele neliniare - fiind inițial necunoscute - în procesul de rezolvare a ecuațiilor obținute prin minimizarea funcționalei se va urmări obținerea convergenței pentru cele trei axe preferențiale. Procedeul este similar cu cel descris pentru materiale neliniare, dar extins pentru trei direcții.

Minimizarea funcționalei  $\mathcal{F}$  ( $\partial \mathcal{F} / \partial V_H = 0$ ) conduce - prin integralele de suprafață conținute în expresie - la respectarea condițiilor pe frontieră  $\Sigma$  a domeniului de studiu  $v$ . Dacă elementele finite ale domeniului de studiu  $v$  se aleg suficient de mici, atunci funcționala (3.13) poate fi aproximată astfel:

$$\mathcal{F} = \sum_{\lambda=1}^{m'} \left\{ \frac{1}{2} \mu_\lambda (\text{grad } V_H)_\lambda \cdot \mathbf{v}_\lambda \right\} +$$

$$\begin{aligned}
 & + \sum_{\lambda=1}^{m'} \left\{ \left[ \frac{1}{2} \mu_{p\lambda} (\operatorname{grad} V_H)_{\lambda}^2 + \mu_0 \bar{M}_{p\lambda} (-\operatorname{grad} V_H)_{\lambda} \right] v_{\lambda} \right\} + \\
 & + \sum_{\lambda=1}^{m''} \left\{ \mu_{\lambda} (-\partial V_H / \partial n)_{\lambda} V_{H\lambda} S_{N\lambda} \right\} + \\
 & + \sum_{\lambda=1}^{m'''} \left\{ \left[ \mu_{p\lambda} (-\partial V_H / \partial n)_{\lambda} V_{H\lambda} + \mu_0 (M_{pn})_{\lambda} V_{H\lambda} \right] S_{N\lambda} \right\}. \quad (3.16)
 \end{aligned}$$

Se face precizarea că în cazurile concrete (v. cap. 4 și 5) aproximarea de mai sus conduce la rezultate bune, care se verifică experimental.

Pentru un câmp plan-paralel, expresia funcțională se poate obține din relația (3.13), făcându-se înlocuirile:  $v'_{\lambda} \rightarrow S'_{\lambda}$ ,  $v''_{\lambda} \rightarrow S''_{\lambda}$ ,  $\Sigma'_{N\lambda} \rightarrow C'_{N\lambda}$  și  $\Sigma''_{N\lambda} \rightarrow C''_{N\lambda}$ . Semnificațiile notațiilor sunt:

- $S' = \sum_{\lambda=1}^{m'} S'_{\lambda}$  - suprafața fără magnetizație permanentă din domeniul de studiu ( $S'_{\lambda}$  - suprafața elementului  $\lambda$  din  $S'$ );
- $S'' = \sum_{\lambda=1}^{m''} S''_{\lambda}$  - suprafața cu magnetizație permanentă din domeniul de studiu ( $S''_{\lambda}$  - suprafața elementului  $\lambda$  din  $S''$ );
- $C'_N = \sum_{\lambda=1}^{m'} C'_{N\lambda}$  - curba de frontieră a suprafeței  $S'$ , cu condiții Neumann ( $C'_{N\lambda}$  - porțiunea din  $C'_N$  adiacentă elementului  $\lambda$ );
- $C''_N = \sum_{\lambda=1}^{m''} C''_{N\lambda}$  - curba de frontieră a suprafeței  $S''$ , cu condiții Neumann ( $C''_{N\lambda}$  - porțiunea din  $C''_N$  adiacentă elementului  $\lambda$ ).

Deci, funcționala pentru un câmp plan-paralel este

$$\begin{aligned}
 \mathcal{F} = & \sum_{\lambda=1}^{m'} \left\{ \int_{S'_{\lambda}} \frac{1}{2} \mu_{\lambda} (\operatorname{grad} V_H)_{\lambda}^2 ds \right\} + \\
 & + \sum_{\lambda=1}^{m''} \left\{ \int_{S''_{\lambda}} \left[ \frac{1}{2} \mu_{p\lambda} (\operatorname{grad} V_H)_{\lambda}^2 + \mu_0 \bar{M}_{p\lambda} (-\operatorname{grad} V_H)_{\lambda} \right] ds \right\} +
 \end{aligned}$$

$$\begin{aligned}
 & + \sum_{\lambda=1}^{m''} \left\{ \int_{C'_{\lambda}} \mu_{\lambda} \left( - \frac{\partial V_H}{\partial n} \right)_{\lambda} V_{H\lambda} dl \right\} + \\
 & + \sum_{\lambda=1}^{m''} \left\{ \int_{C''_{\lambda}} [\mu_{\rho\lambda} \left( - \frac{\partial V_H}{\partial n} \right)_{\lambda} V_{H\lambda} + \mu_0 (M_{pn})_{\lambda} V_{H\lambda}] dl \right\}. \quad (3.17)
 \end{aligned}$$

Notăriile din relația (3.17) primesc semnificațiile:  $m'$ ,  $m''$  - numărul de elemente finite plane din suprafața  $S'$ , respectiv  $S''$ ;  $m'_1 = m''$  - numărul de elemente finite de frontieră, cu condiții Neumann, din  $S'$ , respectiv  $S''$ .

Dacă elementele finite ale domeniului de studiu plan se aleg suficient de mici, asemănător cazului tridimensional (v. rel. 3.16), funcționala (3.17) se poate approxima cu expresia

$$\begin{aligned}
 & \mathcal{F} = \sum_{\lambda=1}^{m'} \left\{ \frac{1}{2} \mu_{\lambda} (\text{grad } V_H)_{\lambda}^2 S_{\lambda} \right\} + \\
 & + \sum_{\lambda=1}^{m''} \left\{ \left| \frac{1}{2} \mu_{\rho\lambda} (\text{grad } V_H)_{\lambda}^2 + \mu_0 \bar{M}_{\rho\lambda} (- \text{grad } V_H)_{\lambda} \right|^2 \right\} + \\
 & + \sum_{\lambda=1}^{m''} \left\{ \mu_{\lambda} \left( - \frac{\partial V_H}{\partial n} \right)_{\lambda} V_{H\lambda} /_{N\lambda} \right\} + \\
 & + \sum_{\lambda=1}^{m''} \left\{ \mu_{\rho\lambda} \left( - \frac{\partial V_H}{\partial n} \right)_{\lambda} V_{H\lambda} + \mu_0 (M_{pn})_{\lambda} V_{H\lambda} /_{N\lambda} \right\}. \quad (3.18)
 \end{aligned}$$

Relațiile (3.16, 3.18) redau expresiile funcționalei pentru câmpul magneților permanenți în funcție de potențialele magnetice scalare  $V_{H\lambda}$ . În cadrul metodei elementelor finite, funcțiile necunoscute  $V_{H\lambda}$  ( $\lambda = \overline{1, m}$ ) se exprimă în raport cu potențialele magnetice scalare  $V_{Hi}$  ( $i = \overline{1, n}$ ) ale nodurilor rețelei de discretizare a domeniului de studiu (v. par. 3.2). De asemenea, în relațiile amintite intervin și magneți permanenti, prin magnetizațiile permanente  $M_{\rho\lambda}$ , parametrii materialelor circuitului magnetic ( $\mu_{\lambda}$  și  $\mu_{\rho\lambda}$ ), precum și condițiile Neumann pe frontieră domeniului ( $(M_{pn})_{\lambda}$  și  $(-\frac{\partial V_H}{\partial n})_{\lambda}$ ). Sursa de câmp, materialele circuitului magnetic și condițiile pe frontieră trebuie să cunoască pentru ca, la un sistem cu magneți permanenti de geometrie dată, soluția problemei de câmp să fie unică.

Funcționalele (3.16) și (3.18) au un grad de generalitate sporit, fiind utilizabile pentru cazurile în care domeniul unde se determină problema de câmp este neomogen și neliniar, atât în subdomeniul fără magnetizație permanentă, cât și în zona magneților permanenți. De asemenea, funcționalele se pot utiliza și pentru medii anizotrope dacă termenii acestora se descompun după direcțiile preferențiale de magnetizare și se introduc permeabilități relative după aceste direcții (rel 3.14, 3.15). În acest caz, plecând de la valori inițial alese pentru  $\mu_{rv}$  și  $\mu_{rpv}$ , cu referire la cele trei direcții preferențiale de magnetizare ( $v = x, y, z$ ) și pentru toate elementele finite din jugurile ferromagnetice și magneții permanenți, acestea se vor corecta printr-un proces iterativ până se obțin valori stabile. Procedeul este similar cu cel descris la materiale neliniare, dar se extinde pentru cele trei direcții preferențiale de magnetizare.

### 3.1.2. Domeniu fără magnetizație permanentă

Există situații când nu interesează câmpul în magnetul permanent, ci doar într-o anumita zonă restrânsă înafara acestuia (întrefier, juguri feromagnetice). Pentru astfel de cazuri, domeniul în care se rezolvă problema de câmp nu conține zone cu magnetizație permanentă, iar funcționala are o formă particulară. Aceasta poate fi dedusă din expresia funcționalei pentru electrostatică [73, 86, 114] în baza analogiei dintre câmpul magnetostatic și cel electrostatic:  $\vec{H} \leftrightarrow \vec{E}$ ,  $\vec{B} \leftrightarrow \vec{D}$ ,  $V_H \leftrightarrow V$ ,  $\mu \leftrightarrow \epsilon$ ,  $\mu_0 \vec{M}_p \leftrightarrow \vec{P}_p$ ,  $0 \leftrightarrow \rho_v$ ,  $0 \leftrightarrow \rho_s$ . Astfel, pentru un domeniu fără magnetizație permanentă, cu condiții de frontieră mixte, funcționala este

$$\mathcal{F} = \int \frac{1}{2} \mu (\operatorname{grad} V_H)^2 dv - \int_{\Sigma_N} \mu (\partial V_H / \partial n) V_H ds , \quad (3.19)$$

unde  $v$  este volumul domeniului, iar  $\Sigma_N$  porțiunea din frontieră acestuia cu condiții Neumann. Dacă se ține seama de faptul că domeniul este divizat în elemente finite, relația (3.19) devine

$$\mathcal{F} = \sum_{\lambda=1}^m \left\{ \int_{V_\lambda} \frac{1}{2} \mu_\lambda (\text{grad } V_H)_\lambda^2 dv \right\} - \sum_{\lambda=1}^{m_N} \left\{ \int_{\Sigma_{N\lambda}} \mu_\lambda (\partial V_H / \partial n)_\lambda V_{H\lambda} ds \right\}, \quad (3.20)$$

în care s-au făcut notațiile:  $m$  - numărul de elemente finite din domeniu;  $m_N$  - numărul de elemente finite de frontieră, cu condiții Neumann.

Funcționala (3.20) poate fi dedusă și din expresia generală (3.13), în care se ține seama că magnetizația permanentă este nula și se adaptează notațiile referitoare la numărul de elemente finite ( $m' \rightarrow m$ ;  $m'_N \rightarrow m_N$ ).

Pentru câmp plan-paralel într-un domeniu fără magnetizație permanentă, funcționala se poate deduce fie prin particularizarea expresiei (3.20) într-un mod similar cu cel utilizat la obținerea relației (3.17), fie prin particularizarea directă a relației (3.17) pentru domenii ce nu conțin magneti permanenți. Expresia obținută este (3.21), unde  $m$  și  $m_N$  au semnificații similare cu cele din relația (3.20), dar aici se referă la elementele finite din domeniul plan, iar  $S'_\lambda$  și  $C'_{N\lambda}$  se notează cu  $S_\lambda$ , respectiv  $C_{N\lambda}$ .

$$\mathcal{F} = \sum_{\lambda=1}^m \left\{ \int_{S_\lambda} \frac{1}{2} \mu_\lambda (\text{grad } V_H)_\lambda^2 ds \right\} - \sum_{\lambda=1}^{m_N} \left\{ \int_{C_{N\lambda}} \mu_\lambda (\partial V_H / \partial n)_\lambda V_{H\lambda} dl \right\} \quad (3.21)$$

Dacă se ține seama de procedeul de aplicare al funcționalelor (3.13) și (3.17), rezulta că și funcționalele (3.20) și (3.21) pot fi utilizate pentru domenii plane neomogene, neliniare și anizotrope prin extindere. Se face precizarea că la calculul câmpului magnetic s-ar putea utiliza și varianta bazată pe potențialul magnetic vector  $\bar{A}$ .

### 3.2. STABILIREA ECUAȚIILOR CORESPUNZĂTOARE METODEI ELEMENTELOR FINITE

Pentru a obține ecuațiile care permit rezolvarea problemei de câmp, funcțiile

necunoscute  $V_{H\lambda}$  ( $\lambda = \overline{1, m}$ ) -conținute în expresia funcționalei- se exprimă în raport cu potențialele magnetice scalare  $V_{Hi}$  ( $i = \overline{1, n}$ ) ale celor  $n$  noduri ale rețelei prin care s-a împărțit domeniul de studiu în  $m$  elemente finite. Pentru concretizare se consideră un domeniu plan, iar discretizarea acestuia se realizează printr-o rețea de triunghiuri oarecare.

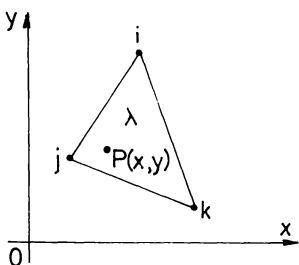


Fig. 3.2

În figura 3.2 este reprezentat un element finit  $\lambda$ , cu notarea nodurilor acestuia. Dacă în elementul  $\lambda$  se consideră o variație liniară a potențialului magnetic scalar  $V_{H\lambda}$ , atunci într-un punct oarecare  $P(x, y)$  din interiorul elementului se poate scrie [94, 114]

$$V_{H\lambda} = (a_1 + a_2x + a_3y)_\lambda = (1 \ x \ y) \begin{pmatrix} a_1 \\ a_2 \\ a_3 \end{pmatrix}_\lambda. \quad (3.22)$$

Alegând elementele finite ale domeniului suficient de mici, aproximarea dată de relația (3.22) este foarte bună. Desigur, în funcție de cazul concret analizat, se va avea în vedere ca în zonele unde variația potențialului magnetic scalar este rapidă, rețeaua elementelor finite să fie foarte fină. Aceeași funcție potențială se exprimă și în raport cu potențialele  $V_{Hi}$ ,  $V_{Hj}$ ,  $V_{Hk}$  ale nodurilor  $i$ ,  $j$ ,  $k$  ce determină elementul  $\lambda$ :

$$V_{H\lambda} = (f_i V_{Hi} + f_j V_{Hj} + f_k V_{Hk})_\lambda = (f_i \ f_j \ f_k) \begin{pmatrix} V_{Hi} \\ V_{Hj} \\ V_{Hk} \end{pmatrix}_\lambda, \quad (3.23)$$

unde coeficienții  $f_i$ ,  $f_j$ ,  $f_k$  se numesc funcții de formă [114]. Pentru determinarea expresiilor acestora se particularizează relația (3.22) pentru cazul când punctul  $P(x, y)$  se află, pe rând, în nodurile  $i$ ,  $j$ ,  $k$ , obținându-se expresia matricială

$$\begin{pmatrix} V_{Hi} \\ V_{Hj} \\ V_{Hk} \end{pmatrix}_\lambda = \begin{pmatrix} 1 & x_i & y_i \\ 1 & x_j & y_j \\ 1 & x_k & y_k \end{pmatrix}_\lambda \cdot \begin{pmatrix} a_1 \\ a_2 \\ a_3 \end{pmatrix}_\lambda \quad (3.24)$$

Din sistemul (3.24) rezultă

$$\begin{pmatrix} a_1 \\ a_2 \\ a_3 \end{pmatrix}_\lambda = \begin{pmatrix} 1 & x_i & y_i \\ 1 & x_j & y_j \\ 1 & x_k & y_k \end{pmatrix}_\lambda^{-1} \cdot \begin{pmatrix} V_{Hi} \\ V_{Hj} \\ V_{Hk} \end{pmatrix}_\lambda \quad (3.25)$$

Ținând seama de (3.25), ecuația (3.22) devine

$$V_{\lambda} = (1 \ x \ y) \cdot \begin{pmatrix} 1 & x_i & y_i \\ 1 & x_j & y_j \\ 1 & x_k & y_k \end{pmatrix}_\lambda^{-1} \cdot \begin{pmatrix} V_{Hi} \\ V_{Hj} \\ V_{Hk} \end{pmatrix}_\lambda \quad (3.26)$$

Relația (3.26) dă expresia potențialului  $V_{\lambda}$  într-un punct oarecare  $P(x, y)$  din elementul  $\lambda$  în funcție de coordonatele  $(x_i, y_i)$ ,  $(x_j, y_j)$ ,  $(x_k, y_k)$  și potențialele magnetice scalare  $V_{Hi}$ ,  $V_{Hj}$ ,  $V_{Hk}$  ale nodurilor i, j, k ce determină elemntul  $\lambda$ . Inversa matricei formată cu coordonatele nodurilor se poate scrie astfel:

$$\begin{pmatrix} 1 & x_i & y_i \\ 1 & x_j & y_j \\ 1 & x_k & y_k \end{pmatrix}_\lambda^{-1} = \frac{1}{2S_\lambda} \cdot \begin{pmatrix} x_jy_k - x_ky_j & x_ky_i - x_iy_k & x_iy_j - x_jy_i \\ y_j - y_k & y_k - y_i & y_i - y_j \\ x_k - x_j & x_i - x_k & x_j - x_i \end{pmatrix}_\lambda, \quad (3.27)$$

unde  $S_\lambda$  este aria triunghiului  $\lambda$ , adică

$$2S_\lambda = [x_i(y_j - y_k) + x_j(y_k - y_i) + x_k(y_i - y_j)]_\lambda. \quad (3.28)$$

Dacă se compară relațiile (3.22) și (3.26), respectiv (3.23) și (3.26) rezultă matricea coeficienților  $a_1$ ,  $a_2$ ,  $a_3$ , respectiv matricea funcțiilor de formă:

$$\begin{pmatrix} a_1 \\ a_2 \\ a_3 \end{pmatrix}_\lambda = \begin{pmatrix} 1 & x_i & y_i \\ 1 & x_j & y_j \\ 1 & x_k & y_k \end{pmatrix}_\lambda^{-1} \cdot \begin{pmatrix} V_{Hi} \\ V_{Hj} \\ V_{Hk} \end{pmatrix}_\lambda, \quad (3.29)$$

$$(f_i \ f_j \ f_k)_\lambda = (1 \ x \ y) \cdot \begin{pmatrix} 1 & x_i & y_i \\ 1 & x_j & y_j \\ 1 & x_k & y_k \end{pmatrix}_\lambda^{-1} \quad (3.30)$$

Dacă în (3.30) se ține seama de (3.27), pentru funcțiile de formă se obțin expresiile:

$$\begin{aligned} f_{i\lambda} &= \frac{1}{2S_\lambda} [(x_jy_k - x_ky_j) + (y_j - y_k)x + (x_k - x_j)y]_\lambda , \\ f_{j\lambda} &= \frac{1}{2S_\lambda} [(x_ky_i - x_iy_k) + (y_k - y_i)x + (x_i - x_k)y]_\lambda , \\ f_{k\lambda} &= \frac{1}{2S_\lambda} [(x_iy_j - x_jy_i) + (y_i - y_j)x + (x_j - x_i)y]_\lambda \end{aligned} \quad (3.31)$$

Întroducând notațiile:

$$\begin{aligned} a_{i\lambda} &= (x_jy_k - x_ky_j)_\lambda ; \quad b_{i\lambda} = (y_j - y_k)_\lambda ; \quad c_{i\lambda} = (x_k - x_j)_\lambda ; \\ a_{j\lambda} &= (x_ky_i - x_iy_k)_\lambda ; \quad b_{j\lambda} = (y_k - y_i)_\lambda ; \quad c_{j\lambda} = (x_i - x_k)_\lambda ; \\ a_{k\lambda} &= (x_iy_j - x_jy_i)_\lambda ; \quad b_{k\lambda} = (y_i - y_j)_\lambda ; \quad c_{k\lambda} = (x_j - x_i)_\lambda , \end{aligned} \quad (3.32)$$

coeficienții din relația (3.22), funcțiile de formă, respectiv expresia potențialului magnetic scalar devin:

$$\begin{aligned} a_{1\lambda} &= \frac{1}{2S_\lambda} (a_i V_{Hi} + a_j V_{Hj} + a_k V_{Hk})_\lambda \\ a_{2\lambda} &= \frac{1}{2S_\lambda} (b_i V_{Hi} + b_j V_{Hj} + b_k V_{Hk})_\lambda \\ a_{3\lambda} &= \frac{1}{2S_\lambda} (c_i V_{Hi} + c_j V_{Hj} + c_k V_{Hk})_\lambda \end{aligned} \quad (3.33)$$

$$\begin{aligned} f_{i\lambda} &= \frac{1}{2S_\lambda} (a_i + b_i x + c_i y)_\lambda \\ f_{j\lambda} &= \frac{1}{2S_\lambda} (a_j + b_j x + c_j y)_\lambda \\ f_{k\lambda} &= \frac{1}{2S_\lambda} (a_k + b_k x + c_k y)_\lambda \end{aligned} \quad (3.34)$$

$$V_{H\lambda} = \frac{1}{2S_\lambda} [ (a_i + b_i x + c_i y) V_{Hi} + (a_j + b_j x + c_j y) V_{Hj} + (a_k + b_k x + c_k y) V_{Hk} ]_\lambda . \quad (3.35)$$

Expresia funcționalei conține și termeni de forma  $(grad V_H)_\lambda^2$ , respectiv

$\mu_0 \bar{M}_{p\lambda} \cdot (-\text{grad } V_H)_\lambda$ , care, de asemenea, trebuie exprimate ca funcție de mărimi cunoscute și potențialele magnetice scalare (necunoscute) ale nodurilor rețelei. Astfel, pentru domeniul plan considerat, ținând seama de relațiile (3.22) și (3.33) se obține:

$$(\text{grad } V_H)_\lambda = \sigma_{2\lambda} \bar{i} + \sigma_{3\lambda} \bar{j}, \quad (3.36)$$

$$(\text{grad } V_H)_\lambda^2 = \frac{1}{4S_\lambda^2} [(b_i V_{Hi} + b_j V_{Hj} + b_k V_{Hk})_\lambda^2 + (c_i V_{Hi} + c_j V_{Hj} + c_k V_{Hk})_\lambda^2], \quad (3.37)$$

unde vectorii  $\bar{i}$  și  $\bar{j}$  sunt versorii sistemului de axe xoy. Dacă magnetizația permanentă  $\bar{M}_{p\lambda}$ , în fiecare element finit  $\lambda$ , se consideră după direcții arbitrară, rezulta (v. notațiile făcute la scrierea rel. 1.18):

$$\mu_0 \bar{M}_{p\lambda} = \mu_0 (M_{px})_\lambda \bar{i} + \mu_0 (M_{py})_\lambda \bar{j} = (B_{rx})_\lambda \bar{i} + (B_{ry})_\lambda \bar{j}, \quad (3.38)$$

$$\begin{aligned} \mu_0 \bar{M}_{p\lambda} \cdot (-\text{grad } V_H)_\lambda &= -\frac{1}{2S_\lambda} [(B_{rx})_\lambda (b_i V_{Hi} + b_j V_{Hj} + b_k V_{Hk})_\lambda + \\ &+ (B_{ry})_\lambda (c_i V_{Hi} + c_j V_{Hj} + c_k V_{Hk})_\lambda]. \end{aligned} \quad (3.39)$$

Ultimele două sume din expresia (3.18) a funcționalei se referă la condițiile Neumann nenele pe frontieră domeniului în care se analizează problema de câmp, condiții ce trebuie cunoscute. Deoarece condițiile pe frontieră sunt specifice problemelor concrete, deci diferite de la caz la caz, acești termeni ai funcționalei nu mai pot fi detaliați într-o tratare generală. Pentru cazuri concrete (v. par. 3.2.2 și 4.1) se vor aborda și acești termeni. Prin urmare, în scopul adâncirii analizei procesului de minimizare a funcționalei și de stabilire a sistemului de ecuații în care necunoscutele sunt potențialele magnetice scalare ale nodurilor rețelei, se vor detalia în continuare primele două sume din relația (3.18). De fapt, anularea ultimelor două sume din funcțională corespunde cazurilor în care condițiile pe frontieră de tip Neumann sunt nule, cazuri frecvent întâlnite în practică.

Deci, dacă se ține seama de cele precizate mai sus și de relațiile (3.37) și (3.39), expresia (3.18) a funcționalei se poate scrie astfel:

$$\mathcal{F} = \sum_{\lambda=1}^{m'} \frac{\mu_\lambda}{8S_\lambda} [(b_i V_{Hi} + b_j V_{Hj} + b_k V_{Hk})_\lambda^2 + (c_i V_{Hi} + c_j V_{Hj} + c_k V_{Hk})_\lambda^2] +$$

$$+ \sum_{\lambda=1}^{m''} \left\{ \frac{\mu_{p\lambda}}{8S_\lambda} [(b_i V_{Hi} + b_j V_{Hj} + b_k V_{Hk})_\lambda^2 + (c_i V_{Hi} + c_j V_{Hj} + c_k V_{Hk})_\lambda^2] - \right. \\ \left. - \frac{(B_{rx})_\lambda}{2} (b_i V_{Hi} + b_j V_{Hj} + b_k V_{Hk})_\lambda - \frac{(B_{ry})_\lambda}{2} (c_i V_{Hi} + c_j V_{Hj} + c_k V_{Hk})_\lambda \right\}. \quad (3.40)$$

Cum  $m' + m'' = m$  (numărul total de elemente finite), primele două categorii de termeni se pot scrie grupat, astfel că relația (3.40) devine:

$$\mathcal{F} = \sum_{\lambda=1}^m \frac{\mu_\lambda}{8S_\lambda} [(b_i V_{Hi} + b_j V_{Hj} + b_k V_{Hk})_\lambda^2 + (c_i V_{Hi} + c_j V_{Hj} + c_k V_{Hk})_\lambda^2] - \\ - \sum_{\lambda=1}^{m''} \left[ \frac{(B_{rx})_\lambda}{2} (b_i V_{Hi} + b_j V_{Hj} + b_k V_{Hk})_\lambda + \frac{(B_{ry})_\lambda}{2} (c_i V_{Hi} + c_j V_{Hj} + c_k V_{Hk})_\lambda \right], \quad (3.41)$$

unde:  $\mu_\lambda = \mu_0 \mu_{r\lambda}$  pentru zona fără magnetizație permanentă ( $\lambda = \overline{1, m'}$ );

$\mu_\lambda = \mu_{p\lambda} = \mu_0 \mu_{rp\lambda}$  pentru zona magnețiilor permanenți ( $\lambda = \overline{1, m''}$ ).

În scopul urmăririi mai simple a procesului de minimizare a funcționalei sunt utile notațiile :

$$\mathcal{F}_\lambda = \frac{\mu_\lambda}{8S_\lambda} [(b_i V_{Hi} + b_j V_{Hj} + b_k V_{Hk})_\lambda^2 + (c_i V_{Hi} + c_j V_{Hj} + c_k V_{Hk})_\lambda^2], \quad (3.42)$$

$$\mathcal{F}'_\lambda = \frac{(B_{rx})_\lambda}{2} (b_i V_{Hi} + b_j V_{Hj} + b_k V_{Hk})_\lambda + \frac{(B_{ry})_\lambda}{2} (c_i V_{Hi} + c_j V_{Hj} + c_k V_{Hk})_\lambda. \quad (3.43)$$

Cu acestea, funcționala (3.41) se poate scrie

$$\mathcal{F} = \sum_{\lambda=1}^m \mathcal{F}_\lambda - \sum_{\lambda=1}^{m''} \mathcal{F}'_\lambda. \quad (3.44)$$

Minimizarea funcționalei se obține prin anularea derivatelor acesteia în raport cu potențialele magnetice scalare ale celor n noduri ale rețelei (necunoscutele problemei):

$$\frac{\partial \mathcal{F}}{\partial V_{Hi}} = 0; \quad i = \overline{1, n} \quad (3.45)$$

sau

$$\sum_{\lambda=1}^m \frac{\partial \mathcal{F}_\lambda}{\partial V_{Hi}} - \sum_{\lambda=1}^{m''} \frac{\partial \mathcal{F}'_\lambda}{\partial V_{Hi}} = 0; \quad i = \overline{1, n}. \quad (3.46)$$

Relațiile (3.45), respectiv (3.46) reprezintă sistemul de n ecuații algebrice ce conțin n necunoscute ( $V_{Hi}, i = \overline{1, n}$ ). Acestea se referă la cazurile când domeniul în

care se analizează problema de câmp conține și magneți permanenți, dar pot fi particularizate și pentru situațiile când domeniul nu conține zone cu magnetizație permanentă, impunându-se condițiile  $\mu_0 M_{px} = \mu_0 M_{py} = 0$ , adică  $B_{rx} = B_{ry} = 0$ .

Pentru scrierea în detaliu a ecuațiilor sistemului (3.46) se vor considera două categorii de noduri ale rețelei ce discretizează domeniul de studiu: noduri din interiorul rețelei și noduri cu poziții particulare.

### 3.2.1. Hod din interiorul rețelei de discretizare

Sistemul (3.46) conține câte o ecuație pentru fiecare nod al rețelei de discretizare a domeniului de studiu, cu excepția nodurilor care se găsesc pe frontieră cu condiții Dirichlet (pentru aceste noduri potențialele magnetice scalare sunt cunoscute).

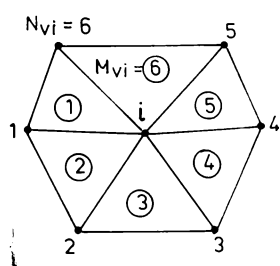


Fig. 3.3

Pentru stabilirea regulilor de scriere detaliată a ecuațiilor sistemului referitoare la nodurile situate în interiorul rețelei, în fig. 3.3 se consideră un nod oarecare  $i$  al acestia. Pentru fiecare nod  $i$  trebuie cunoscute elementele finite adiacente și nodurile vecine. Din acest motiv, pentru scrierea automată a ecuațiilor se introduc două numerotări locale: cu  $N_{vi}$  se notează numărul de noduri vecini nodului  $i$ , iar cu  $M_{vi}$  numărul de elemente finite adiacente nodului  $i$ .

Pentru un nod interior  $i$  de genul celui din figura 3.3

$N_{vi} = M_{vi} = 6$ . Pozițiile nodului 1, respectiv a elementului 1 în numerotările locale sunt arbitrarе, ecuația din sistemul (3.46) referitoare la nodul  $i$  rezultând la fel, indiferent de unde se începe numerotarea. Pentru urmărirea coerentă a scrierii ecuațiilor și în mod special pentru scrierea automată a acestora, printr-un program de calcul, este importantă păstrarea unei anumite succesiuni în numerotare. Dacă se ține seama de numerotările din fig. 3.3, ecuația din sistemul (3.45) care se referă la nodul  $i$  are forma:

$$\frac{\partial \mathcal{F}}{\partial V_{Hi}} = \frac{\partial}{\partial V_{Hi}} (\mathcal{F}_1 + \mathcal{F}_2 + \mathcal{F}_3 + \mathcal{F}_4 + \mathcal{F}_5 + \mathcal{F}_6) - \frac{\partial}{\partial V_{Hi}} (\mathcal{F}'_1 + \mathcal{F}'_2 + \mathcal{F}'_3 + \mathcal{F}'_4 + \mathcal{F}'_5 + \mathcal{F}'_6) = 0 \quad (3.47)$$

Se face precizarea că potențialul magnetic scalar  $V_{Hi}$  al nodului i intervine numai în expresiile funcționalelor elementare  $\mathcal{F}_\lambda$  și  $\mathcal{F}'_\lambda$  aferente elementelor finite adiacente nodului i (v. 3.42 și 3. 43). Din acest motiv, în ecuația (3.47) intervin numai derivatele funcționalelor  $\mathcal{F}_\lambda$  și  $\mathcal{F}''_\lambda$  care au indicele  $\lambda = \overline{1, M_{vi}}$  (pentru cazul concret din fig. 3.3,  $\lambda = \overline{1, 6}$ ). Expresiile funcționalelor elementare din relația (3.47) sunt:

$$\begin{aligned}\mathcal{F}_1 &= \frac{\mu_0 \mu_{r1}}{8 S_1} [(b_i V_{Hi} + b_j V_{Hj} + b_k V_{Hk})_1^2 + (c_i V_{Hi} + c_j V_{Hj} + c_k V_{Hk})_1^2] \\ \vdots \\ \mathcal{F}_6 &= \frac{\mu_0 \mu_{r6}}{8 S_6} [(b_i V_{Hi} + b_j V_{Hj} + b_k V_{Hk})_6^2 + (c_i V_{Hi} + c_j V_{Hj} + c_k V_{Hk})_6^2]\end{aligned}\quad (3.48)$$

$$\begin{aligned}\mathcal{F}_1'' &= [\frac{(B_{rx})_1}{2} (b_i V_{Hi} + b_j V_{Hj} + b_k V_{Hk})_1 + \frac{(B_{ry})_1}{2} (c_i V_{Hi} + c_j V_{Hj} + c_k V_{Hk})_1] \\ \vdots \\ \mathcal{F}_6'' &= [\frac{(B_{rx})_6}{2} (b_i V_{Hi} + b_j V_{Hj} + b_k V_{Hk})_6 + \frac{(B_{ry})_6}{2} (c_i V_{Hi} + c_j V_{Hj} + c_k V_{Hk})_6].\end{aligned}\quad (3.49)$$

Indicele inferior al parantezelor arată că potențialele  $V_{Hi}$ ,  $V_{Hj}$  și  $V_{Hk}$ , respectiv coeficienții  $b_i$ ,  $b_j$ ,  $b_k$ ,  $c_i$ ,  $c_j$  și  $c_k$  corespund elementului finit care are numărul identic cu indicele, succesiunea de numerotare a nodurilor fiind cea trigonometrică (v. fig. 3.2). În relațiile (3.49), termenii  $(B_{rx})_\lambda$  și  $(B_{ry})_\lambda$ , cu  $\lambda = \overline{1, M_{vi}} = \overline{1, 6}$ , sunt nenuli numai dacă elementul finit  $\lambda$  este situat în zona cu magnet permanent (adica pentru  $\lambda = \overline{1, m''}$ ). În relațiile (3.48), termenii  $\mu_{r\lambda}$ , cu  $\lambda = \overline{1, M_{vi}} = \overline{1, 6}$ , sunt permeabilitățile relative ale materialului feromagnetic ( $\mu_{r\lambda}$ ), întrefierului ( $\mu_{r\lambda} = 1$ ) sau magnetului permanent ( $\mu_{rp\lambda}$ ), după cum elementul  $\lambda$  se găsește în zona materialului feromagnetic, întrefierului sau magnetului permanent.

Urmărind relațiile (3.48) și (3.49), respectiv (3.42) și (3.43), pentru formele generale ale celor două categorii de termeni din relația (3.47) se obține:

$$\frac{\partial \mathcal{F}_\lambda}{\partial V_{Hi}} = \frac{\mu_\lambda}{4S_\lambda} [(b_i^2 + c_i^2)_\lambda (V_{Hi})_\lambda + (b_i b_j + c_i c_j)_\lambda (V_{Hj})_\lambda + (b_i b_k + c_i c_k)_\lambda (V_{Hk})_\lambda] \quad (3.50)$$

$$\frac{\partial \mathcal{F}'_\lambda}{\partial V_{Hi}} = \frac{(B_{rx})_\lambda}{2} (b_i)_\lambda + \frac{(B_{ry})_\lambda}{2} (c_i)_\lambda. \quad (3.51)$$

Se constată că pentru o anumită ecuație i a sistemului (3.45), respectiv (3.46), termenul obținut din a doua sumă reprezintă termenul liber al ecuației, deoarece nu conține potențialele magnetice scalare ale nodurilor (necunoscutele sistemului). Cât privește alegerea nodurilor i, j și k pentru fiecare element  $\lambda$ , se face precizarea că trebuie să se respecte succesiunea trigonometrică, fără alte restricții (pentru succesiune trigonometrică relația 3.28 conduce la  $S_\lambda > 0$ ).

Tinând seama de relațiile (3.50) și (3.51), de precizările făcute mai sus și de notațiile din figura 3.3, termenii ecuației 3.47 sunt:

$$\begin{aligned} \frac{\partial \mathcal{F}_1}{\partial V_{Hi}} &= \frac{\mu_1}{4S_1} [(b_i^2 + c_i^2)_1 V_{Hi} + (b_i b_j + c_i c_j)_1 V_{H6} + (b_i b_k + c_i c_k)_1 V_{H1}] \\ \frac{\partial \mathcal{F}_2}{\partial V_{Hi}} &= \frac{\mu_2}{4S_2} [(b_i^2 + c_i^2)_2 V_{Hi} + (b_i b_j + c_i c_j)_2 V_{H1} + (b_i b_k + c_i c_k)_2 V_{H2}] \\ \frac{\partial \mathcal{F}_3}{\partial V_{Hi}} &= \frac{\mu_3}{4S_3} [(b_i^2 + c_i^2)_3 V_{Hi} + (b_i b_j + c_i c_j)_3 V_{H2} + (b_i b_k + c_i c_k)_3 V_{H3}] \\ \frac{\partial \mathcal{F}_4}{\partial V_{Hi}} &= \frac{\mu_4}{4S_4} [(b_i^2 + c_i^2)_4 V_{Hi} + (b_i b_j + c_i c_j)_4 V_{H3} + (b_i b_k + c_i c_k)_4 V_{H4}] \\ \frac{\partial \mathcal{F}_5}{\partial V_{Hi}} &= \frac{\mu_5}{4S_5} [(b_i^2 + c_i^2)_5 V_{Hi} + (b_i b_j + c_i c_j)_5 V_{H4} + (b_i b_k + c_i c_k)_5 V_{H5}] \\ \frac{\partial \mathcal{F}_6}{\partial V_{Hi}} &= \frac{\mu_6}{4S_6} [(b_i^2 + c_i^2)_6 V_{Hi} + (b_i b_j + c_i c_j)_6 V_{H5} + (b_i b_k + c_i c_k)_6 V_{H6}] \end{aligned} \quad (3.52)$$

$$\begin{aligned} \frac{\partial \mathcal{F}'_1}{\partial V_{Hi}} &= \frac{1}{2} [(B_{rx})_1 (b_i)_1 + (B_{ry})_1 (c_i)_1]; \quad \frac{\partial \mathcal{F}'_2}{\partial V_{Hi}} = \frac{1}{2} [(B_{rx})_2 (b_i)_2 + (B_{ry})_2 (c_i)_2] \\ \frac{\partial \mathcal{F}'_3}{\partial V_{Hi}} &= \frac{1}{2} [(B_{rx})_3 (b_i)_3 + (B_{ry})_3 (c_i)_3]; \quad \frac{\partial \mathcal{F}'_4}{\partial V_{Hi}} = \frac{1}{2} [(B_{rx})_4 (b_i)_4 + (B_{ry})_4 (c_i)_4] \\ \frac{\partial \mathcal{F}'_5}{\partial V_{Hi}} &\equiv \frac{1}{2} [(B_{rx})_5 (b_i)_5 + (B_{ry})_5 (c_i)_5]; \quad \frac{\partial \mathcal{F}'_6}{\partial V_{Hi}} \equiv \frac{1}{2} [(B_{rx})_6 (b_i)_6 + (B_{ry})_6 (c_i)_6] \end{aligned} \quad (3.53)$$

Dacă se ține seama de (3.32), relațiile (3.52) și (3.53), scrise desfașurat, devin:

$$\begin{aligned}
 \frac{\partial \mathcal{F}_1}{\partial V_{H_1}} &= \frac{\mu_1}{4S_1} \left\{ [(y_6 - y_1)^2 + (x_1 - x_6)^2] V_{H_1} + [(y_6 - y_1)(y_1 - y_i) + (x_1 - x_6)(x_i - x_1)] V_{H_6} + \right. \\
 &\quad \left. + [(y_6 - y_1)(y_i - y_6) + (x_1 - x_6)(x_6 - x_i)] V_{H_1} \right\} \\
 \frac{\partial \mathcal{F}_2}{\partial V_{H_1}} &= \frac{\mu_2}{4S_2} \left\{ [(y_1 - y_2)^2 + (x_2 - x_1)^2] V_{H_1} + [(y_1 - y_2)(y_2 - y_i) + (x_2 - x_1)(x_i - x_2)] V_{H_1} + \right. \\
 &\quad \left. + [(y_1 - y_2)(y_i - y_1) + (x_2 - x_1)(x_1 - x_i)] V_{H_2} \right\} \\
 \frac{\partial \mathcal{F}_3}{\partial V_{H_1}} &= \frac{\mu_3}{4S_3} \left\{ [(y_2 - y_3)^2 + (x_3 - x_2)^2] V_{H_1} + [(y_2 - y_3)(y_3 - y_i) + (x_3 - x_2)(x_i - x_3)] V_{H_2} + \right. \\
 &\quad \left. + [(y_2 - y_3)(y_i - y_2) + (x_3 - x_2)(x_2 - x_i)] V_{H_3} \right\} \\
 \frac{\partial \mathcal{F}_4}{\partial V_{H_1}} &= \frac{\mu_4}{4S_4} \left\{ [(y_3 - y_4)^2 + (x_4 - x_3)^2] V_{H_1} + [(y_3 - y_4)(y_4 - y_i) + (x_4 - x_3)(x_i - x_4)] V_{H_3} + \right. \\
 &\quad \left. + [(y_3 - y_4)(y_i - y_3) + (x_4 - x_3)(x_3 - x_i)] V_{H_4} \right\} \\
 \frac{\partial \mathcal{F}_5}{\partial V_{H_1}} &= \frac{\mu_5}{4S_5} \left\{ [(y_4 - y_5)^2 + (x_5 - x_4)^2] V_{H_1} + [(y_4 - y_5)(y_5 - y_i) + (x_5 - x_4)(x_i - x_5)] V_{H_4} + \right. \\
 &\quad \left. + [(y_4 - y_5)(y_i - y_4) + (x_5 - x_4)(x_4 - x_i)] V_{H_5} \right\} \\
 \frac{\partial \mathcal{F}_6}{\partial V_{H_1}} &= \frac{\mu_6}{4S_6} \left\{ [(y_5 - y_6)^2 + (x_6 - x_5)^2] V_{H_1} + [(y_5 - y_6)(y_6 - y_i) + (x_6 - x_5)(x_i - x_6)] V_{H_5} + \right. \\
 &\quad \left. + [(y_5 - y_6)(y_i - y_5) + (x_6 - x_5)(x_5 - x_i)] V_{H_6} \right\} \tag{3.54}
 \end{aligned}$$

$$\frac{\partial \mathcal{F}_1''}{\partial V_{H_1}} = \frac{1}{2} [(B_{rx})_1(y_6 - y_1) + (B_{ry})_1(x_1 - x_6)]$$

$$\frac{\partial \mathcal{F}_2''}{\partial V_{H_1}} = \frac{1}{2} [(B_{rx})_2(y_1 - y_2) + (B_{ry})_2(x_2 - x_1)]$$

$$\frac{\partial \mathcal{F}_3''}{\partial V_{H_1}} = \frac{1}{2} [(B_{rx})_3(y_2 - y_3) + (B_{ry})_3(x_3 - x_2)]$$

$$\frac{\partial \mathcal{F}_4''}{\partial V_{H_1}} = \frac{1}{2} [(B_{rx})_4(y_3 - y_4) + (B_{ry})_4(x_4 - x_3)]$$

$$\begin{aligned}\frac{\partial \mathcal{F}_5''}{\partial V_{Hi}} &= \frac{1}{2} [(B_{rx})_5(y_4 - y_5) + (B_{ry})_5(x_5 - x_4)] \\ \frac{\partial \mathcal{F}_6''}{\partial V_{Hi}} &= \frac{1}{2} [(B_{rx})_6(y_5 - y_6) + (B_{ry})_6(x_6 - x_5)]\end{aligned}\quad (3.55)$$

Relațiile (3.54) și (3.55), iar pe baza acestora ecuația (3.47), se pot scrie pentru orice nod  $i$  al rețelei, cu precizarea că elementele și nodurile adiacente acestuia se particularizează corespunzător. Suma relațiilor (3.54) și (3.55), deci ecuația (3.47), rezultă aceeași indiferent de unde se începe numerotarea nodurilor și elementelor adiacente nodului  $i$  (v. fig. 3.3).

În scopul scrierii printr-un program de calcul a tuturor ecuațiilor sistemului (3.45), este utilă stabilirea formei generale a relației (3.47), adică a ecuației care se referă la un nod oarecare  $i$ . Dacă se analizează modul de scriere al termenilor relației (3.47), adică expresiile (3.50) și (3.51), respectiv formele lor desfășurate (3.54) și (3.55), sistemul de ecuații (3.45) devine

$$C_i V_{Hi} + \sum_{l=1}^{N_{Vi}} C_{il} V_{Hl} = TL_i ; \quad i = \overline{1, n} , \quad (3.56)$$

unde:

$$C_i = \sum_{l=1}^{M_{Vi}} \left[ \frac{\mu_l}{4S_l} (b_l^2 + c_l^2)_l \right] \quad (3.57)$$

$$C_{il} = \frac{\mu_l}{4S_l} (b_l b_k + c_l c_k)_l + \frac{\mu_{l+1}}{4S_{l+1}} (b_l b_{l+1} + c_l c_{l+1})_{l+1} \quad (3.58)$$

$$TL_i = \sum_{l=1}^{M_{Vi}} \frac{1}{2} [(B_{rx})_l (b_l)_l + (B_{ry})_l (c_l)_l] . \quad (3.59)$$

Indicele  $l$  din expresiile (3.57 - 3.59) se referă la elementul finit  $\lambda = l$ , care se particularizează corespunzător pentru toate nodurile rețelei de discretizare, identificând elementele (1 - 6) din jurul fiecărui nod  $i$ . Forma desfășurată a relațiilor (3.57 - 3.59) este:

$$C_i = \sum_{l=1}^{M_{Vi}} \frac{\mu_l}{4S_l} [(y_{l-1} - y_l)^2 + (x_l - x_{l-1})^2] \quad (3.60)$$

$$C_{ii} = \frac{\mu_i}{4S_i} [(y_{i-1} - y_i)(y_i - y_{i-1}) + (x_i - x_{i-1})(x_{i-1} - x_i)] + \frac{\mu_{i+1}}{4S_{i+1}} [(y_i - y_{i+1})(y_{i+1} - y_i) + (x_{i+1} - x_i)(x_i - x_{i+1})] \quad (3.61)$$

$$TL_i = \sum_{l=1}^{N_{vi}} \frac{1}{2} [(B_{rx})_l (y_{i-1} - y_i) + (B_{ry})_l (x_i - x_{i-1})]. \quad (3.62)$$

Conform notațiilor din figura 3.3, dacă  $i = 1$ , atunci  $i - 1 = N_{vi}$ , respectiv pentru  $i = N_{vi}$ , nodul  $(i + 1)$  este nodul 1.

În concluzie, pentru fiecare nod din interiorul rețelei de discretizare (v. nodul i, fig. 3.3) se scrie o ecuație de forma (3.56). Este interesant de sesizat că, pentru orice nod

al rețelei, între coeficienții ecuației (3.56) se verifică relația  $C_i = - \sum_{l=1}^{N_{vi}} C_{il}$ .

### 3.2.2. Noduri cu poziții particulare

Există noduri ale căror potențiale magnetice scalare nu se cunosc, noduri ce se află fie pe frontieră cu condiții Neumann a domeniului, fie în alte poziții particulare. În aceste cazuri, ecuația ce se scrie are și ea forme particulare. În continuare se vor preciza expresiile ecuațiilor pentru astfel de noduri din rețea de discretizare.

a. *Nod de colț cu un element adjacent*. Se analizează modul în care se scrie ecuația pentru nodul i (fig. 3.4) cu un singur element adjacent λ. Pentru generalitate, se consideră că elementul λ este adjacent frontierei cu condiții Neumann nenele și are magnetizație permanentă. În acest caz, din funcționala (3.17), respectiv (3.18) se păstrează termenii  $\mathcal{F}_\lambda$  și  $\mathcal{F}_\lambda''$  (v. notațiile 3.42 și 3.43), la care se adaugă

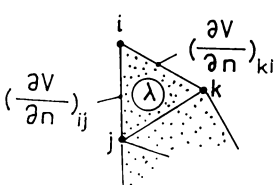


Fig. 3.4

$$\mathcal{F}_{\lambda N}'' = [\mu_{\rho\lambda} (\frac{\partial V_h}{\partial n})_\lambda V_{h\lambda} - \mu_0 (M_{ph})_\lambda V_{h\lambda}] / N_\lambda, \quad (3.63)$$

prin care se ține seama că elementul  $\lambda$ , cu magnetizație permanentă este la frontieră domeniului cu condiții Neumann nenule. Se face precizarea că a treia sumă din relația (3.18) corespunde condițiilor Neumann pe frontieră domeniului fără magnetizație permanentă, deci nu apare în acest caz. Cu acestea, funcționala (3.18) se poate scrie astfel:

$$\mathcal{F} = \sum_{\lambda=1}^m \mathcal{F}_\lambda - \sum_{\lambda=1}^{m''} \mathcal{F}_\lambda'' - \sum_{\lambda=1}^{m''_N} \mathcal{F}_{\lambda N}'' \quad (3.64)$$

Ecuția din sistemul (3.45), respectiv (3.46), care corespunde nodului i cu un singur element adjacente, cu magnetizație permanentă și situat la frontieră cu condiții Neumann nenule este

$$\frac{\partial \mathcal{F}_\lambda}{\partial V_{Hi}} - \frac{\partial \mathcal{F}_\lambda''}{\partial V_{Hi}} - \frac{\partial \mathcal{F}_{\lambda N}''}{\partial V_{Hi}} = 0, \quad (3.65)$$

unde primul termen are expresia (3.50) (cu precizarea că  $\mu_\lambda = \mu_{p\lambda}$ ), iar cel de-al doilea termen are expresia (3.51). Pentru determinarea celui de-al treilea termen se consideră echivalentul acestuia din expresia (3.17) și o variație liniară (fig. 3.5) a potențialului magnetic scalar pe porțiunea de frontieră k-i, respectiv i-j. În acest caz

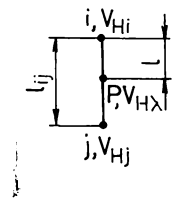


Fig. 3.5

$$V_{H\lambda} = V_{Hi} + \frac{V_{Hj} - V_{Hi}}{l_{ij}} \cdot I, \quad (3.66)$$

pentru porțiunea i-j, respectiv

$$V_{H\lambda} = V_{Hk} + \frac{V_{Hi} - V_{Hk}}{l_{ki}} \cdot I, \quad (3.67)$$

pentru porțiunea k-i. Cu acestea, se obține:

$$\begin{aligned} & \int_{C''_{N\lambda}} [\mu_{p\lambda} \left( \frac{\partial V_H}{\partial n} \right)_\lambda V_{H\lambda} - \mu_0 (M_{pn})_\lambda V_{H\lambda}] dI = \\ & = \mu_{p\lambda} \left[ \left( \frac{\partial V_H}{\partial n} \right)_{ki} \cdot \frac{V_{Hk} + V_{Hi}}{2} \cdot I_{ki} + \left( \frac{\partial V_H}{\partial n} \right)_{ij} \cdot \frac{V_{Hi} + V_{Hj}}{2} \cdot I_{ij} \right] - \\ & - \mu_0 [(M_{pn})_{ki} \cdot \frac{V_{Hk} + V_{Hi}}{2} \cdot I_{ki} + (M_{pn})_{ij} \cdot \frac{V_{Hi} + V_{Hj}}{2} \cdot I_{ij}], \end{aligned} \quad (3.68)$$

unde  $C''_{N\lambda}$  este porțiunea k-i-j din frontieră (v. fig. 3.4), iar  $I_{ij}$  și  $I_{ki}$  sunt lungimile laturilor elementului  $\lambda$ , între nodurile i și j, respectiv k și i. Al treilea termen al ecuației (3.65) se obține prin derivarea în raport cu  $V_{Hi}$  a expresiei (3.68):

$$\frac{\partial \mathcal{F}_{\lambda N}''}{\partial V_{hi}} = \frac{\mu_{p\lambda}}{2} [(\frac{\partial V_h}{\partial n})_{ki} \cdot I_{ki} + (\frac{\partial V_h}{\partial n})_{ij} \cdot I_{ij}] - \frac{1}{2} [(B_{rn})_{ki} \cdot I_{ki} + (B_{rn})_{ij} \cdot I_{ij}], \quad (3.69)$$

unde s-au introdus (analog cu 3.38) notațiile:  $\mu_0(M_{pn})_{ki} = (B_{rn})_{ki}$ ,  $\mu_0(M_{pn})_{ij} = (B_{rn})_{ij}$ .

De asemenea, s-a ținut seama că pe frontieră condițiile Neumann ( $\partial V_h / \partial n$ ,  $\mu_0 M_{pn}$ ) sunt impuse la o problema dată, iar  $\mu_{p\lambda} = const.$  (v. precizările făcute la scrierea relațiilor 3.8 și 3.9).

Deci, dacă se scrie ecuația (3.65) în forma generală (3.56), termenii acesteia sunt:

$$C_i = \frac{\mu_{p\lambda}}{4S_\lambda} (b_i^2 + c_i^2)_\lambda \quad (3.70)$$

$$C_{ij} = \frac{\mu_{p\lambda}}{4S_\lambda} (b_i b_j + c_i c_j)_\lambda \quad (3.71)$$

$$C_{ik} = \frac{\mu_{p\lambda}}{4S_\lambda} (b_i b_k + c_i c_k)_\lambda \quad (3.72)$$

$$TL_i = \frac{1}{2} [(B_{rx})_\lambda (b_i)_\lambda + (B_{ry})_\lambda (c_i)_\lambda] + \frac{\mu_{p\lambda}}{2} [(\frac{\partial V_h}{\partial n})_{ki} I_{ki} + (\frac{\partial V_h}{\partial n})_{ij} I_{ij}] - \frac{1}{2} [(B_{rn})_{ki} I_{ki} + (B_{rn})_{ij} I_{ij}], \quad (3.73)$$

unde s-a ținut seama că nodul i (pentru care s-a scris ecuația) are doar  $N_{vi} = 2$  noduri vecini (j și k), deci sunt doar doi termeni de forma  $C_{ij}$  (v. rel. 3.56).

Pentru nod de colț cu un element adjacent, pornind de la situația din figura 3.4, pot fi considerate și situații particulare: - elementul  $\lambda$  nu are magnetizație permanentă; în acest caz, termenii ecuației nodului sunt:

$$C_i = \frac{\mu_\lambda}{4S_\lambda} (b_i^2 + c_i^2)_\lambda \quad (3.74)$$

$$C_{ij} = \frac{\mu_\lambda}{4S_\lambda} (b_i b_j + c_i c_j)_\lambda \quad (3.75)$$

$$C_{ik} = \frac{\mu_\lambda}{4S_\lambda} (b_i b_k + c_i c_k)_\lambda \quad (3.76)$$

$$TL_i = \frac{\mu_\lambda}{2} [(\frac{\partial V_h}{\partial n})_{ki} \cdot I_{ki} + (\frac{\partial V_h}{\partial n})_{ij} \cdot I_{ij}] \quad (3.77)$$

- porțiunile de frontieră k-i și i-j ale elementului  $\lambda$  sunt cu condiții Neumann nule în ce privește  $\partial V_h / \partial n$  și  $\mu_0 M_{pn} = B_{rn}$ ; în acest caz, termenii  $C_i$ ,  $C_{ij}$  și  $C_{ik}$  au

expresiile (3.70 - 3.72) sau (3.74 - 3.76), după cum elementul  $\lambda$  este cu magnetizație permanentă, respectiv fără magnetizație permanentă, iar  $TL_i = 0$ .

b. *Nod de colț cu un număr oarecare de elemente adiacente.* În cazuri concrete pot apărea noduri situate într-o extremitate a rețelei de discretizare (pe colț), având un număr oarecare de elemente finite adiacente. Procedura de scriere a ecuației pentru un astfel de nod este principal asemănătoare cu cea descrisă la a., cu precizarea că în coeficienții formei generale a ecuației (rel. 3.56) vor apărea termeni corespunzători tuturor elementelor ediacante nodului. În capitolul 4 vor fi explicitate ecuațiile pentru astfel de noduri particolare, care apar în exemplele de calcul considerate.

c. *Nod de margine.* Pentru un nod situat pe frontieră domeniului de studiu, numărul de noduri vecine, respectiv de elemente finite adiacente, au valori particulare. De exemplu, pentru nodul  $i$  din

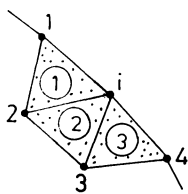


Fig. 3.6

figura 3.6 rezulta:  $N_{vi} = 4$ ,  $M_{vi} = N_{vi} - 1 = 3$ . În astfel de cazuri, coeficienții  $C_i$  și  $C_{ii}$  ai ecuației generale (3.56) se obțin ca pentru un nod din interior (par. 3.2.1), cu particularitatea că  $N_{vi}$  și  $M_{vi}$  nu au valoarea 6. În ceea ce privește termenul liber  $TL_i$ , dacă condițiile Neumann pe frontieră 1-i-4 sunt nule, se obține aceeași formă (rel. 3.59 sau 3.62), iar dacă condițiile Neumann sunt nenule are expresia:

$$TL_i = \sum_{l=1}^{M_{vi}=3} \frac{1}{2} [(B_{rx})_l (b_l)_i + (B_{ry})_l (c_l)_i] + \frac{\mu_{p3}}{2} \left( \frac{\partial V_H}{\partial n} \right)_{4i} \cdot I'_{4i} + \frac{\mu_{p1}}{2} \left( \frac{\partial V_H}{\partial n} \right)_{i1} \cdot I_{i1} - \frac{1}{2} [(B_{rx})_{4i} \cdot I'_{4i} + (B_{ry})_{i1} \cdot I_{i1}] . \quad (3.78)$$

Se precizează că relația (3.78) se deduce printr-un procedeu similar celui utilizat la obținerea relației (3.73).

d. *Nod din suprafața de separație magnet-intrefier.* Acest caz este similar cu unul din cele anterior discutate, cu precizarea că în coeficienții ecuației (3.56) termenii de formă  $(B_{rx})_i$  și  $(B_{ry})_i$  se vor introduce numai pentru elementele adiacente care sunt magnetizate permanent. În mod asemănător se pune problema și dacă nodul pentru care

se scrie ecuația se găsește în suprafața de separație magnet-jug feromagnetic.

Se face precizarea că, pentru exemplele de calcul cuprinse în capitolul 4, se vor trata explicit, cu detaliile necesare, ecuațiile pentru toate nodurile cu poziții particulare.

În concluzie, ecuația cu forma generală (3.56) se scrie pentru toate nodurile cu potențial magnetic scalar necunoscut din rețea ce discretizează domeniul în care se analizează problema de câmp, formele sale concrete ținând seama de particularitățile fiecărui nod. Se obține astfel un sistem de ecuații algebrice, care, prin rezolvare, permite determinarea potențialelor magnetice scalare ale tuturor nodurilor rețelei. Apoi, pe baza relației (3.26), se poate calcula potențialul magnetic scalar în orice punct al domeniului de studiu. După acestea, utilizând relațiile (1.14), (3.22) și (3.33) se pot determina componentele intensității câmpului magnetic în fiecare element finit:

$$(H_x)_\lambda = - \left( \frac{\partial V_H}{\partial x} \right)_\lambda = (-\alpha_2)_\lambda = - \frac{1}{2S_\lambda} (b_i V_{Hi} + b_j V_{Hj} + b_k V_{Hk})_\lambda \quad (3.79)$$

$$(H_y)_\lambda = - \left( \frac{\partial V_H}{\partial y} \right)_\lambda = (-\alpha_3)_\lambda = - \frac{1}{2S_\lambda} (c_i V_{Hi} + c_j V_{Hj} + c_k V_{Hk})_\lambda . \quad (3.80)$$

Componentele inducției magnetice se scriu astfel:

- în subdomeniile fără magnetizație permanentă cu relațiile

$$(B_x)_\lambda = \mu_\lambda (H_x)_\lambda ; \quad (B_y)_\lambda = \mu_\lambda (H_y)_\lambda \quad (3.81)$$

- în subdomeniile cu magnetizație permanentă cu relațiile

$$(B_x)_\lambda = \mu_{p\lambda} (H_x)_\lambda + (B_{rx})_\lambda ; \quad (B_y)_\lambda = \mu_{p\lambda} (H_y)_\lambda + (B_{ry})_\lambda . \quad (3.82)$$

S-au stabilit astfel expresii de calcul pentru mărimele de stare ale câmpului magnetic în toate elementele finite ale domeniului, deci problema de câmp poate fi rezolvată (v. cap. 4). Dacă se cunosc inducția magnetică  $\bar{B}_\lambda$  și intensitatea câmpului magnetic  $\bar{H}_\lambda$ , pentru orice element finit  $\lambda$ , se pot determina și alte mărimi ce prezintă interes, cum ar fi: fluxuri magnetice prin anumite suprafete, căderi de tensiuni magnetice, forțe (cupluri) ce acționează asupra unor conductoare (bobine) parcuse de curent și situate în zone cu întrefier etc.

**Capitolul 4**  
**EXEMPLE DE CALCUL NUMERIC ȘI UNELE**  
**ASPECTE DE OPTIMIZARE REZULTATE**

În acest capitol, pe baza metodologiei expuse în capitolul 3, se va rezolva numeric problema de câmp magnetic pentru sisteme fizice concrete, cu magnet permanent ca sursă de câmp. Desigur, rezolvarea problemei de câmp nu este scopul final. Dacă mărurile de stare ale câmpului magnetic se pot determina în orice punct, atunci este posibil să se rezolve o gamă foarte mare de probleme ce apar în tehnica. Se vor aborda două categorii de exemple: cazul în care domeniul unde se rezolvă problema de câmp nu conține zone cu magnetizație permanentă (deci este situat în exteriorul magnetului permanent), respectiv cazul când domeniul conține și magnetul permanent.

#### **4.1. CALCULUL CÂMPULUI ÎN EXTERIORUL MAGNETULUI**

Sunt situații când nu interesează mărurile de stare ale câmpului magnetic în puncte situate în interiorul magnetului permanent, ci doar într-un domeniu restrâns în exteriorul său. Păstrând geometria magnetului permanent și materialul din care este construit acesta, se poate pune problema optimizării geometriei jugurilor feromagnetice sau se poate face o analiză a influenței elementelor componente ale circuitului magnetic asupra performanțelor acestuia.

Se consideră un releu magnetoelectric cilindric (fig. 4.1) pentru care, într-o primă fază, se cere să se stabilească influența calității materialului din care este construit jugul (inelul) feromagnetic asupra curentului de acționare al releeului (sensibilitatea releeului). Curentul străbate bobina releeului, iar valoarea sa pentru care releul acționează depinde de inducția magnetică din întrefierul  $\delta$ . Desigur, dacă se utilizează un inel feromagnetic din material de calitate foarte bună, inducția magnetică în întrefier este mai mare, curentul de acționare mai mic, deci o sensibilitate mai bună. Releul va fi, însă, mai scump. Se pune deci problema stabilirii distribuției câmpului magnetic, considerând materialul inelului feromagnetic de diferite calități. Pe baza acesteia se poate aprecia

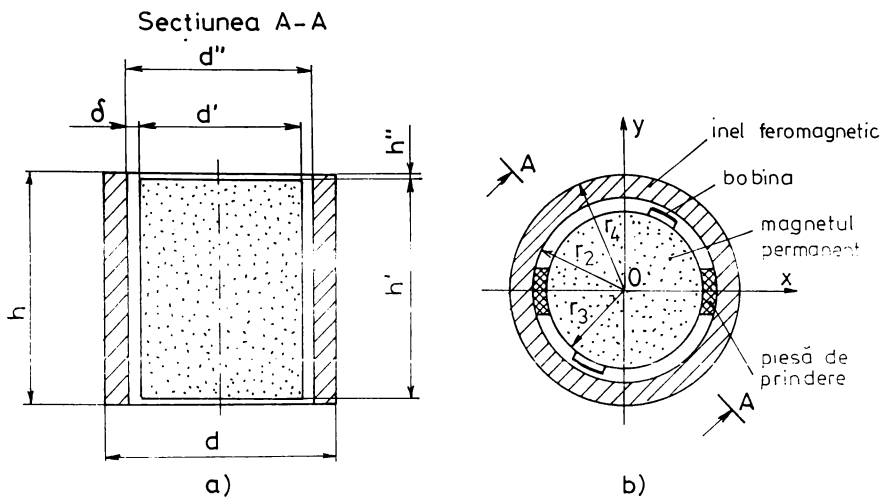


Fig. 4.1

influența calității materialului, adică se poate alege o variantă optimă.

#### 4.1.1. Condiții pe frontieră

După cum s-a precizat în capitolul 3, condițiile pe frontieră trebuie stabilite pentru fiecare caz concret în parte. Dacă se ține seama de simetria releului analizat și se consideră câmpul plan-paralel, domeniul în care trebuie rezolvată problema de câmp magnetic se reduce la un sfert din suprafața secțiunii transversale prin releu (fig. 4.2), în zona întrefierului 1 și a inelului feromagnetic 2. În ce privește direcția de magnetizare a magnetului permanent, se face precizarea că, varianta optimă este după axa Oy. Cu o astfel de magnetizare, bobina releului - plasată în apropierea axei Oy - va fi situată într-un câmp magnetic mai puternic, deci releul va fi mai sensibil.

Într-o primă variantă, piesa de prindere a magnetului permanent se consideră realizată dintr-un material neferomagnetic (textolit, material plastic, Al). Ulterior (v. par. 4.2) se va analiza separat influența unei piese de prindere din material feromagnetic. Prin

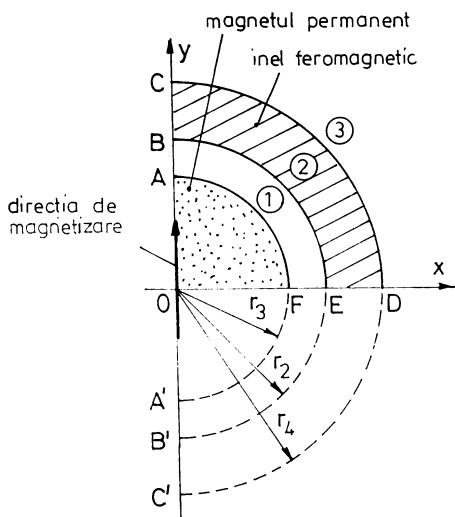


Fig. 4.2

liniile de câmp magnetic se închid prin zonele 1 și 2, zona feromagnetică 2 scurtcircuitând magnetic zona 3. Se consideră, deci, că linia OABCDC'B'A'O este o linie de câmp magnetic (se are în vedere și direcția de magnetizare), deci pe porțiunile AB, BC și CD din frontieră domeniului componenta normală a inducției magnetice este nulă, adică rezultă  $\partial V_H / \partial n = 0$ .

- Pe porțiunile DE și EF liniile de câmp sunt perpendiculare pe frontieră, deci potențialul magnetic scalar  $V_H = \text{constant}$  (condiții Dirichlet); pentru simplitate se alege această constantă nulă.

- Pentru porțiunea FA, condițiile pe frontieră nu au valori particulare, care să poată fi intuite. Înțând seama de particularitatea exemplului considerat, pe această zonă se pot măsura componentele normale ale inducției magnetice ( $B_n$ ), dacă sistemul este realizat.

Pe baza acestora se determină condițiile Neumann pe frontieră FA:  $\partial V_H / \partial n = -B_n / \mu_0$ .

Dacă nu se pot determina condiții pe frontieră prin măsurare, rezolvarea problemei se face într-un alt mod (v. par. 4.2). În figura 4.3 sunt reprezentate valorile componentei

urmăre, domeniul în care se determină distribuția câmpului magnetic este în interiorul conturului ABCDEFA, care nu conține magnetul permanent.

Pentru stabilirea condițiilor pe frontieră se fac următoarele precizări:

Zona inelului feromagnetic 2 are o permeabilitate magnetică mare în raport cu zona intrefierului 1, respectiv zona 3 (care este exteriorul releei), ceea ce materialul inelului este de calitate modestă (poate fi un oțel obișnuit); se face observația că în relee, inducția magnetică are valori relativ mici (v. tab. 4.2 - 4.5), deci nu se ajunge la saturarea materialului feromagnetic al inelului.

În această situație, se consideră că

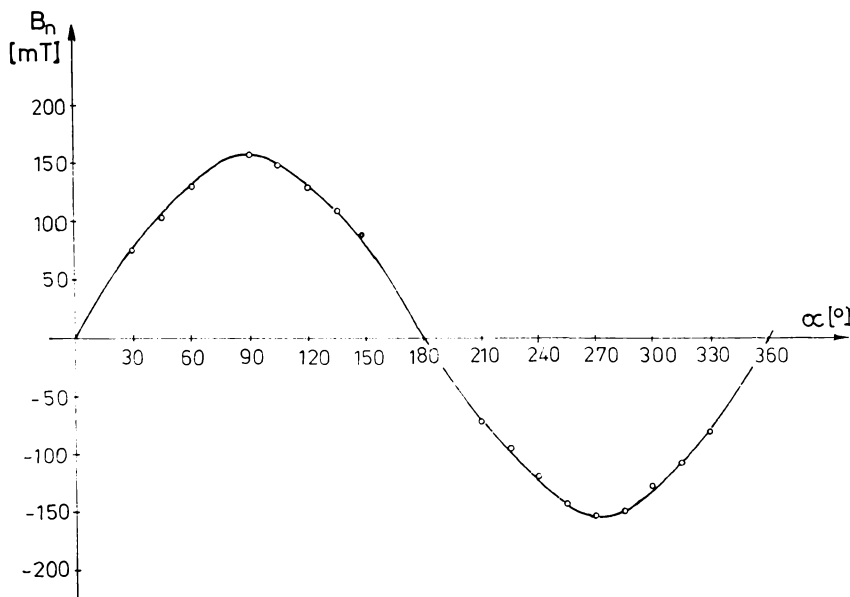


Fig. 4.3

normale a inducției magnetice în întrefier, la suprafața magnetului, pentru un relee EAW (Germania). S-a utilizat un teslametru cu sonda Hall de clasa de precizie 2,5 , iar componentele normale  $B_n$  s-au măsurat prin așezarea sondei teslametrului într-un plan tangent la megnetu permanent cilindric, la jumătatea generatoarei (la  $h/2$ ). Originea unghiului  $\alpha$  s-a stabilit în axa de prindere a magnetului permanent, adică axa Ox (v. fig. 4.1.a și fig. 4.4). Se constată că variația  $B_n(\alpha)$  este apropiată de o sinusoidă. Este interesant faptul că, pentru un magnet cilindric omogen (fără goluri de aer, impurități sau ciobituri), cu direcție de magnetizare după axa Oy (fig. 4.4) și  $B_m = \text{constant}$  în orice punct al său, rezultă și prin calcul că  $B_n(\alpha)$  este o funcție sinusoidală. În acest sens, se consideră o fâșie infinitezimală după direcția de magnetizare, de lățime  $AD = dx$ . Lungimea arcului elementar  $\widehat{AE}$  este

$$\widehat{AE} = r' \cdot d\alpha = \frac{d'}{2} \cdot d\alpha . \quad (4.1)$$

Coarda AE, determinată de unghiul infinitezimal  $d\alpha$ , se poate considera după direcția

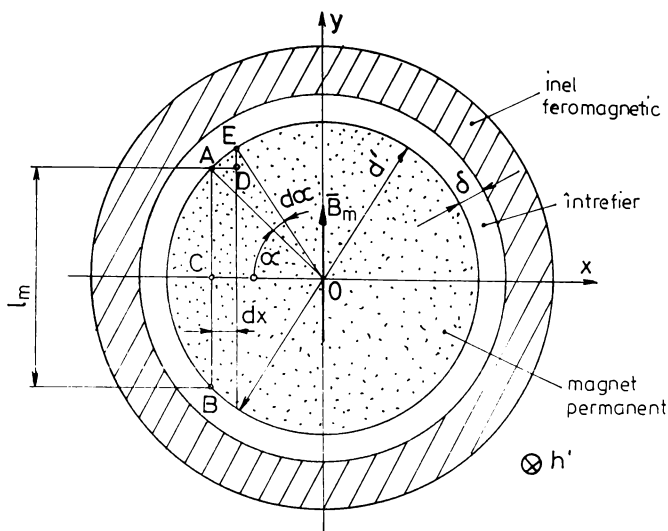


Fig. 4.4

tangente în A, deci perpendiculară pe raza OA. Rezultă că

$$\widehat{AOC} = \widehat{AED} = \alpha , \quad (4.2)$$

că unghiuri cu laturi perpendiculare. Lungimea coardei infinitezimale AE se poate approxima cu lungimea arcului  $\widehat{AE}$ , deci

$$dx = \left( \frac{d'}{2} \cdot da \right) \cdot \sin \alpha . \quad (4.3)$$

Dacă se înmulțește relația (4.3) cu  $h'$  (înălțimea magnetului cilindric) și se notează

$dS_m = h' \cdot dx$  (aria fâșiei infinitezimale de magnet în secțiune perpendiculară pe direcția de magnetizare), respectiv cu  $dS = h \widehat{AE}$  (aria suprafeței de separație dintre magnet și întrefier, pentru zona delimitată de unghiul  $da$ ), se obține

$$dS_m = dS \cdot \sin \alpha . \quad (4.4)$$

Fluxurile magnetice prin suprafețele infinitezimale  $dS_m$  și  $dS$  sunt

$$d\phi_m = B_m \cdot dS_m ; \quad d\phi = B_n \cdot dS , \quad (4.5)$$

unde s-a notat cu  $B_n$  componenta normală (după direcție radială) a inducției

magnetică în întrefier, la suprafața magnetului. Datorită geometriei reieșului și a direcției de magnetizare, liniile de câmp magnetic trec de la magnet la inelul feromagnetic practic numai prin întrefier (v. și fig. 4.1). Deci, considerând câmp plan-paralel și sesizând că prin suprafața (h' DE) fluxul magnetic este nul, pe baza legii fluxului magnetic rezultă că  $d\phi_m = d\phi$ . În aceste condiții, din relațiile (4.4, 4.5), rezultă

$$B_n = B_m \cdot \sin \alpha , \quad (4.6)$$

adică o variație sinusoidală a componentei normale  $B_n$  a inducției magnetice în întrefier, la suprafața magnetului.

#### 4.1.2. Discretizarea domeniului în elemente finite

Domeniul cuprins în interiorul conturului ABCDEFA (fig. 4.2) se discretizează în elemente finite de formă triunghiulară, conform rețelei din figura 4.5. La discretizare se vede că liniile de separație între subzone ale domeniului ocupate cu materiale diferite să fie constituite din succesiuni de laturi ale elementelor finite, adică fiecare element finit să conțină un singur material. De asemenea, la stabilirea dimensiunilor elementelor finite, care pot fi diferite între ele, se vede, pe baza experienței, o anticipare calitativă a spectrului câmpului magnetic. Se va realiza o rețea mai deasă (elemente finite de dimensiuni mai mici) acolo unde se intuiște o variație mai pronunțată a câmpului magnetic. Toate nodurile și elementele finite care apar în rețea se numerotează, iar prin programul de calcul realizat (v. par. 4.1.3) se identifică matricile nodurilor, respectiv ale elementelor finite adiacente, pentru toate nodurile rețelei. Elementele finite (1 - 36) sunt situate în inelul feromagnetic, iar (37 - 54) în întrefier.

#### 4.1.3. Organogramă și program de calcul

Valorile inducției magnetice măsurate în întrefier, respectiv calculate în întrefier și inelul feromagnetic (v. tab. 4.1 - 4.4) sunt relativ mici. În această situație, punctele de funcționare sunt situate sub cotul curbei de magnetizare, pe porțiunea ce se poate

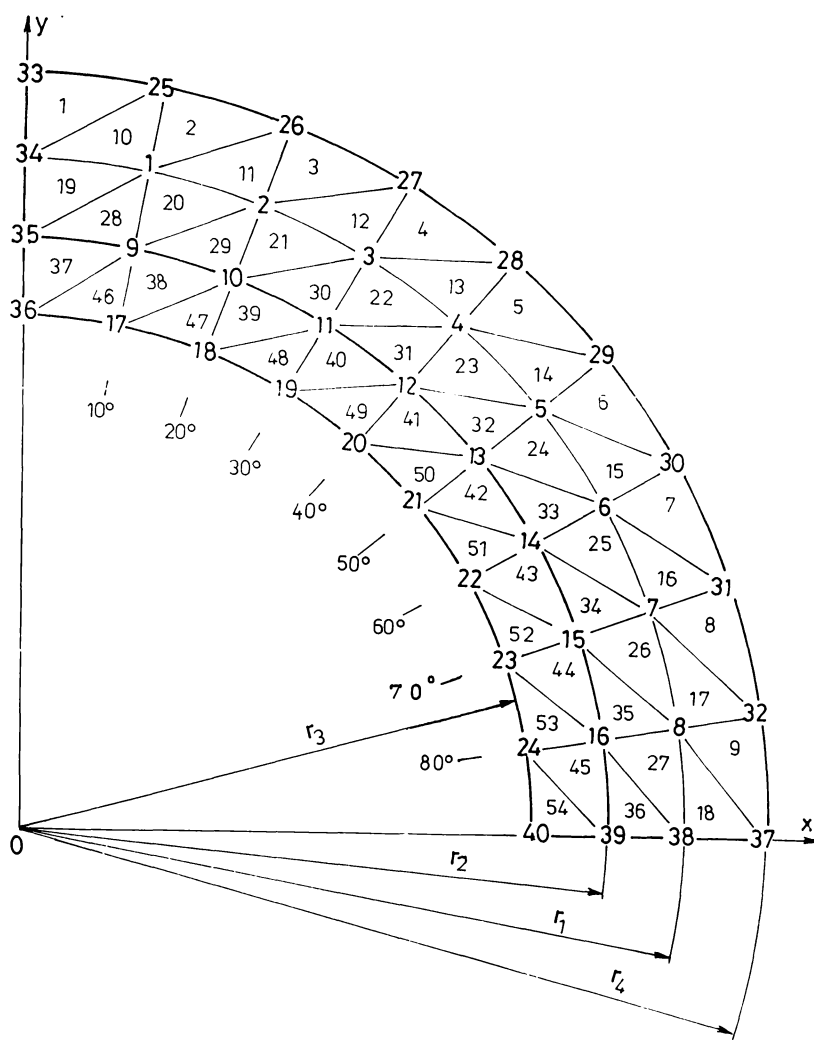


Fig. 4.5

aproxima cu o dreaptă, adică permeabilitatea magnetică este  $\mu \approx$  constant. Desigur, pentru magneți permanenți cu inducție remanentă mai mare, care vor conduce la inducții mai mari și în inelul feromagnetic, aceasta aproximație nu mai este satisfăcătoare. În astfel de cazuri trebuie luată în considerare și neliniaritatea materialului feromagnetic (v. par. 4.2).

Pentru cazul considerat ( $\mu = \text{constant}$ ), organograma este prezentată în figura 4.6, iar programul de calcul (MEFMGST2) în Anexa 2. Se face precizarea că pentru nodurile interioare (1 - 16), coeficienții ecuației (3.54) au formele generale (3.58 - 3.60), în care indicele 1 primește valorile concrete corespunzătoare numerotărilor făcute în rețeaua de discretizare (fig. 4.5). În ceea ce privește scrierea ecuației (3.54) pentru nodurile de pe frontiera domeniului, se urmărește paragraful 3.2.2.

Așteaz, pentru nodul 33, cu un element finit adjacent se scrie ecuația

$$C_{33} \cdot V_{H33} + C_{33,34} \cdot V_{H34} + C_{33,25} \cdot V_{H25} = TL_{33} \quad (4.7)$$

unde:

$$C_{33} = \frac{\mu_1}{4 \cdot S_1} \cdot [(y_{34} - y_{25})^2 + (x_{25} - x_{34})^2] \quad (4.8)$$

$$C_{33,34} = \frac{\mu_1}{4 \cdot S_1} \cdot [(y_{34} - y_{25}) \cdot (y_{25} - y_{33}) + (x_{25} - x_{34}) \cdot (x_{33} - x_{25})] \quad (4.9)$$

$$C_{33,25} = \frac{\mu_1}{4 \cdot S_1} \cdot [(y_{34} - y_{25}) \cdot (y_{33} - y_{34}) + (x_{25} - x_{34}) \cdot (x_{34} - x_{33})] \quad (4.10)$$

$$TL_{33} = 0 \quad (4.11)$$

La scrierea relațiilor (4.8 - 4.11) se ține seama de formele generale (3.68 - 3.71) pentru noduri de colț, în care s-a particularizat  $\lambda = 1$ ,  $i = 33$ ,  $j = 34$ ,  $k = 25$ . De asemenea, s-a avut în vedere că elementul finit 1 este fără magnetizație permanentă, iar frontierele (25 - 33) și (33 - 34) sunt cu condiții Neumann nule.

Pentru nodul 36, cu două elemente adiacente, se scrie ecuația

$$C_{36} \cdot V_{H36} + C_{36,17} \cdot V_{H17} + C_{36,9} \cdot V_{H9} + C_{36,35} \cdot V_{H35} = TL_{36}, \quad (4.12)$$

unde:

$$C_{36} = \frac{\mu_{46}}{4 \cdot S_{46}} [(y_{17} - y_9)^2 + (x_9 - x_{17})^2] + \frac{\mu_{37}}{4 \cdot S_{37}} [(y_9 - y_{35})^2 + (x_{35} - x_9)^2] \quad (4.13)$$

$$C_{36,17} = \frac{\mu_{46}}{4 \cdot S_{46}} \cdot [(y_{17} - y_9) \cdot (y_9 - y_{36}) + (x_9 - x_{17}) \cdot (x_{36} - x_9)] \quad (4.14)$$

$$C_{36,9} = \frac{\mu_{46}}{4 \cdot S_{46}} [(y_{17} - y_9) \cdot (y_{36} - y_{17}) + (x_9 - x_{17}) \cdot (x_{17} - x_{36})] + \frac{\mu_{37}}{4 \cdot S_{37}} [(y_9 - y_{35}) \cdot (y_{35} - y_{36}) + (x_{35} - x_9) \cdot (x_{36} - x_{35})] \quad (4.15)$$

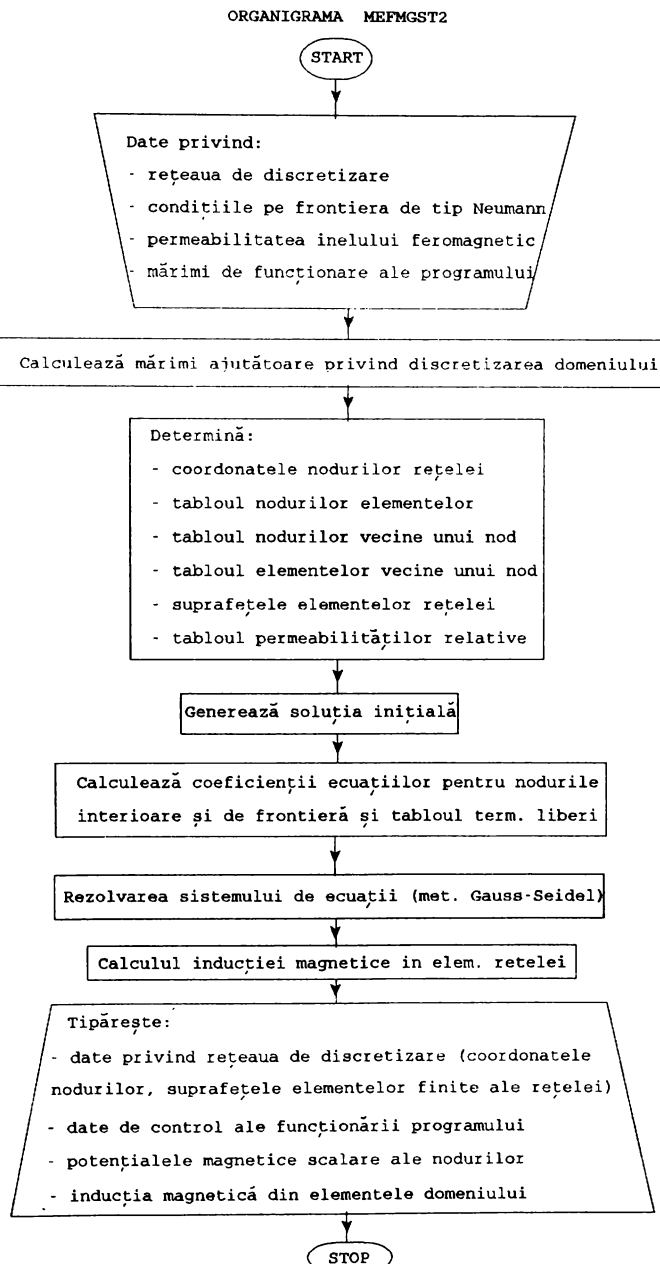


Fig. 4.6

$$C_{36,35} = \frac{\mu_{37}}{4 \cdot S_{37}} \cdot [(y_9 - y_{35}) \cdot (y_{36} - y_9) + (x_{35} - x_9) \cdot (x_9 - x_{36})] \quad (4.16)$$

$$TL_{36} = \frac{\mu_{46}}{2} \cdot \left( \frac{\partial V_H}{\partial n} \right)_{36,17} \cdot I_{36,17} + \frac{\mu_{37}}{2} \cdot \left( \frac{\partial V_H}{\partial n} \right)_{36,35} \cdot I_{36,35} \quad (4.17)$$

Pentru nodurile (17 - 32, 34, 35), coeficienții ecuației (3.54) se scriu prin procedee similare, în conformitate cu precizările făcute la paragraful 3.2.2, aliniatele c, d.

Pentru nodurile (37 - 40), situate pe porțiunea de frontieră cu condiții Dirichlet, deci cu potențial magnetic scalar cunoscut, nu se scriu ecuații.

Desigur, în programul numeric MEFMGST2 sunt scrise relații de calcul pentru coeficienții ecuației (3.54) cu referire la toate nodurile cu potențial magnetic necunoscut. Sunt cuprinse atât nodurile interioare ale rețelei - pentru care sunt valabile relațiile generale (3.58 - 3.60) -, cât și nodurile de frontieră cu condiții Neumann. Doar pentru cele din urmă, datorită particularităților ce intervin, s-au facut mai sus unele precizări suplimentare.

#### 4.1.4. Rezultate de calcul

În scopul determinării influenței calității materialului din care este construit inelul feromagnetic, iar apoi a asimilării în producția internă a releeului cu magnet permanent cilindric, s-a considerat o paleta relativ largă de valori pentru permeabilitatea relativă a inelului, adică  $\mu_r = 100; 200; 300; 400; 500; 600; 700; 800; 900; 1000$ . Dimensiunile pentru cele două variante (v. fig. 4.1 și 4.5) analizate sunt:

- varianta EAW (Germania):  $h = 26 \text{ mm}$ ;  $h' = 25 \text{ mm}$ ;  $\delta = 1,75 \text{ mm}$ ;

$r_1 = 14,5 \text{ mm}$ ;  $r_2 = 12,75 \text{ mm}$ ;  $r_3 = 11 \text{ mm}$ ;  $r_4 = 16,25 \text{ mm}$ ; suprafețele elementelor finite ale rețelei sunt cuprinse între  $1,67 \text{ mm}^2$  și  $2,47 \text{ mm}^2$ ;

- varianta indigenă realizată (CIRE București, Laborator Deva):  $h = h' = 20 \text{ mm}$ ;  $\delta = 2 \text{ mm}$ ;  $r_1 = 16,0 \text{ mm}$ ;  $r_2 = 14,5 \text{ mm}$ ;  $r_3 = 12,5 \text{ mm}$ ;  $r_4 = 17,5 \text{ mm}$ ; suprafețele elementelor finite ale rețelei sunt cuprinse între  $1,89 \text{ mm}^2$  și  $2,52 \text{ mm}^2$ .

Se face precizarea că varianta realizată la Deva pe baza unei colaborări contractuale [115, 117, 120, 121], conține magnet permanent de tip ALNICO, produs de S.C.Sinterom Cluj - Napoca, iar sistemul de prindere este din material neferomagnetic.

În tabelele (4.1 ÷ 4.4) sunt date valorile inducției magnetice din elementele finite ale domeniului, pentru varianta EAW, respectiv cea indigenă. Deoarece între cele zece variante considerate pentru permeabilitate nu sunt diferențe mari, în tabele sunt prezentate datele numai pentru două valori ale permeabilității relative ale inelului feromagnetic:  $\mu_r = 100$  și  $\mu_r = 1000$ . Tabelele conțin atât componentele după axe, cât și modulul inducției magnetice din elementele finite, elemente care se pot identifica pe baza indicilor utilizati și a numerelor din figura 4.5.

Dacă se compară rezultatele obținute pentru diverse valori ale permeabilităților relative ale inelului feromagnetic ( $\mu_r = 100 \div 1000$ ) se constată că diferențele sunt relativ reduse. Această situație se poate explica și calitativ, prin ponderea relativ mare pe care o are întrefierul. De exemplu, pentru un tub de câmp din zona mediană, lungimea totală a întrefierului este  $\delta_{total} = 3,5$  mm (varianta EAW), respectiv  $\delta_{total} = 4$  mm (varianta indigenă), în timp ce lungimea tubului corespunzător inelului feromagnetic este  $l_{med} = \pi \cdot r_{med} = \pi \cdot 14,5 = 45,6$  mm, respectiv  $l_{med} = \pi \cdot 16 = 50,3$  mm. Deci, dacă se compara  $\delta_{total}$  cu  $l_{med} / \mu_r$ , pentru  $\mu_r = (100 \div 1000)$ , rezultă că porțiunea tubului de câmp din întrefier, are o reluctanță magnetică mai mare de (7,67 ÷ 76,7) ori (releu EAW), respectiv (7,95 ÷ 79,5) ori (releu indigen), decât a porțiunii din inel. În acest context este evidentă ponderea scăzută a inelului feromagnetic.

O altă comparație care se poate face este între valorile inducției magnetice în releul EAW și cele din releul indigen. Pentru această primă variantă de releu indigen, în zona din întrefier unde este situată bobina se constată o inducție magnetică ceva mai mică decât pentru releul EAW. Elementele esențiale care influențează valorile inducției magnetice sunt calitatea magnetului permanent și dimensiunea întrefierului. La varianta indigenă, întrefierul total este cu 0,5 mm mai mare. Deoarece în timpul exploatarii releului inelul feromagnetic se poate oxida, se recomandă acoperirea acestuia cu un strat protector. Prin oxidarea în interior (spre magnet) apare un strat de oxizi care poate să conduca la blocarea bobinei releului, deci nesiguranță în funcționare, mai ales că, din motivele expuse mai sus, întrefierul trebuie să fie cât mai mic posibil. Se face precizarea că, dacă acoperirea se realizează cu material neferomagnetic, din punct de vedere magnetic s-a obținut un întrefier echivalent mare, fără ca distanța dintre magnet și partea interioară a inelului acoperit să fie mai mare.

Tabelul 4.1. Inducția magnetică B [mT]; varianta EAW;  $\mu_r = 100$ .

$B_{x_1} = 40$	$B_{x_2} = 117$	$B_{x_3} = 183$	$B_{x_4} = 231$	$B_{x_5} = 254$	$B_{x_6} = 249$
$B_{y_1} = 21$	$B_{y_2} = 1$	$B_{y_3} = -45$	$B_{y_4} = -111$	$B_{y_5} = -191$	$B_{y_6} = -274$
$B_1 = 45$	$B_2 = 117$	$B_3 = 189$	$B_4 = 256$	$B_5 = 317$	$B_6 = 370$
$B_{x_7} = 217$	$B_{x_8} = 160$	$B_{x_9} = 84$	$B_{x_{10}} = 44$	$B_{x_{11}} = 125$	$B_{x_{12}} = 189$
$B_{y_7} = 351$	$B_{y_8} = 413$	$B_{y_9} = 452$	$B_{y_{10}} = 14$	$B_{y_{11}} = 24$	$B_{y_{12}} = 87$
$B_7 = 413$	$B_8 = 443$	$B_9 = 460$	$B_{10} = 46$	$B_{11} = 127$	$B_{12} = 208$
$B_{x_{13}} = 229$	$B_{x_{14}} = 239$	$B_{x_{15}} = 217$	$B_{x_{16}} = 166$	$B_{x_{17}} = 91$	$B_{x_{18}} = 0$
$B_{y_{13}} = 170$	$B_{y_{14}} = 262$	$B_{y_{15}} = 352$	$B_{y_{16}} = 432$	$B_{y_{17}} = 490$	$B_{y_{18}} = 518$
$B_{13} = 285$	$B_{14} = 354$	$B_{15} = 414$	$B_{16} = 463$	$B_{17} = 498$	$B_{18} = 518$
$B_{x_{19}} = 50$	$B_{x_{20}} = 148$	$B_{x_{21}} = 232$	$B_{x_{22}} = 292$	$B_{x_{23}} = 322$	$B_{x_{24}} = 317$
$B_{y_{19}} = 87$	$B_{y_{20}} = 61$	$B_{y_{21}} = 4$	$B_{y_{22}} = -79$	$B_{y_{23}} = -178$	$B_{y_{24}} = -288$
$B_{19} = 100$	$B_{20} = 160$	$B_{21} = 232$	$B_{22} = 303$	$B_{23} = 368$	$B_{24} = 425$
$B_{x_{25}} = 276$	$B_{x_{26}} = 205$	$B_{x_{27}} = 110$	$B_{x_{28}} = 56$	$B_{x_{29}} = 160$	$B_{x_{30}} = 234$
$B_{y_{25}} = -380$	$B_{y_{26}} = -459$	$B_{y_{27}} = -508$	$B_{y_{28}} = 77$	$B_{y_{29}} = 30$	$B_{y_{30}} = -50$
$B_{25} = 470$	$B_{26} = 503$	$B_{27} = 520$	$B_{28} = 96$	$B_{29} = 163$	$B_{30} = 248$
$B_{x_{31}} = 294$	$B_{x_{32}} = 308$	$B_{x_{33}} = 281$	$B_{x_{34}} = 216$	$B_{x_{35}} = 120$	$B_{x_{36}} = 0$
$B_{y_{31}} = -155$	$B_{y_{32}} = -272$	$B_{y_{33}} = 388$	$B_{y_{34}} = -490$	$B_{y_{35}} = 565$	$B_{y_{36}} = -605$
$B_{31} = 332$	$B_{32} = 411$	$B_{33} = 479$	$B_{34} = 536$	$B_{35} = 578$	$B_{36} = 605$
$B_{x_{37}} = 13$	$B_{x_{38}} = 39$	$B_{x_{39}} = 62$	$B_{x_{40}} = 78$	$B_{x_{41}} = 87$	$B_{x_{42}} = 87$
$B_{y_{37}} = 146$	$B_{y_{38}} = 140$	$B_{y_{39}} = 127$	$B_{y_{40}} = 106$	$B_{y_{41}} = 82$	$B_{y_{42}} = 55$
$B_{37} = 147$	$B_{38} = 145$	$B_{39} = 141$	$B_{40} = 132$	$B_{41} = 120$	$B_{42} = 103$
$B_{x_{43}} = 78$	$B_{x_{44}} = 61$	$B_{x_{45}} = 35$	$B_{x_{46}} = 14$	$B_{x_{47}} = 42$	$B_{x_{48}} = 65$
$B_{y_{43}} = 31$	$B_{y_{44}} = 10$	$B_{y_{45}} = -3$	$B_{y_{46}} = 144$	$B_{y_{47}} = 134$	$B_{y_{48}} = 114$
$B_{43} = 84$	$B_{44} = 62$	$B_{45} = 36$	$B_{46} = 145$	$B_{47} = 140$	$B_{48} = 131$
$B_{x_{49}} = 80$	$B_{x_{50}} = 85$	$B_{x_{51}} = 80$	$B_{x_{52}} = 64$	$B_{x_{53}} = 39$	$B_{x_{54}} = 0$
$B_{y_{49}} = 88$	$B_{y_{50}} = 58$	$B_{y_{51}} = 27$	$B_{y_{52}} = 6$	$B_{y_{53}} = 21$	$B_{y_{54}} = 39$
$B_{49} = 119$	$B_{50} = 103$	$B_{51} = 84$	$B_{52} = 64$	$B_{53} = 44$	$B_{54} = 39$

Tabelul 4.2. Inducția magnetică  $B$  [mT]; varianta EAW;  $\mu_r = 1000$ .

$Bx_1 = 40$	$Bx_2 = 116$	$Bx_3 = 182$	$Bx_4 = 230$	$Bx_5 = 253$	$Bx_6 = 243$
$By_1 = 22$	$By_2 = 1$	$By_3 = -45$	$By_4 = -111$	$By_5 = -190$	$By_6 = 273$
$B_1 = 45$	$B_2 = 116$	$B_3 = 188$	$B_4 = 255$	$B_5 = 316$	$B_6 = 369$
$Bx_7 = 216$	$Bx_8 = 159$	$Bx_9 = 84$	$Bx_{10} = 44$	$Bx_{11} = 124$	$Bx_{12} = 188$
$By_7 = 350$	$By_8 = 412$	$By_9 = 450$	$By_{10} = 13$	$By_{11} = 24$	$By_{12} = 87$
$B_7 = 41$	$B_8 = 442$	$B_9 = 458$	$B_{10} = 46$	$B_{11} = 126$	$B_{12} = 207$
$Bx_{13} = 228$	$Bx_{14} = 238$	$Bx_{15} = 216$	$Bx_{16} = 166$	$Bx_{17} = 91$	$Bx_{18} = 0$
$By_{13} = 169$	$By_{14} = 260$	$By_{15} = 351$	$By_{16} = 430$	$By_{17} = 488$	$By_{18} = 516$
$B_{13} = 283$	$B_{14} = 353$	$B_{15} = 412$	$B_{16} = 461$	$B_{17} = 496$	$B_{18} = 516$
$Bx_{19} = 51$	$Bx_{20} = 147$	$Bx_{21} = 231$	$Bx_{22} = 292$	$Bx_{23} = 321$	$Bx_{24} = 316$
$By_{19} = 88$	$By_{20} = 62$	$By_{21} = 5$	$By_{22} = -77$	$By_{23} = -177$	$By_{24} = -281$
$B_{19} = 101$	$B_{20} = 160$	$B_{21} = 231$	$B_{22} = 302$	$B_{23} = 367$	$B_{24} = 423$
$Bx_{25} = 276$	$Bx_{26} = 205$	$Bx_{27} = 110$	$Bx_{28} = 56$	$Bx_{29} = 159$	$Bx_{30} = 242$
$By_{25} = -379$	$By_{26} = -457$	$By_{27} = -507$	$By_{28} = 78$	$By_{29} = 31$	$By_{30} = -49$
$B_{25} = 468$	$B_{26} = 501$	$B_{27} = 518$	$B_{28} = 97$	$B_{29} = 162$	$B_{30} = 247$
$Bx_{31} = 293$	$Bx_{32} = 307$	$Bx_{33} = 280$	$Bx_{34} = 216$	$Bx_{35} = 120$	$Bx_{36} = 0$
$By_{31} = -153$	$By_{32} = -270$	$By_{33} = -386$	$By_{34} = -488$	$By_{35} = -564$	$By_{36} = -603$
$B_{31} = 331$	$B_{32} = 409$	$B_{33} = 477$	$B_{34} = 534$	$B_{35} = 576$	$B_{36} = 603$
$Bx_{37} = 13$	$Bx_{38} = 38$	$Bx_{39} = 60$	$Bx_{40} = 76$	$Bx_{41} = 85$	$Bx_{42} = 85$
$By_{37} = 147$	$By_{38} = 141$	$By_{39} = 128$	$By_{40} = 108$	$By_{41} = 84$	$By_{42} = 59$
$B_{37} = 148$	$B_{38} = 146$	$B_{39} = 141$	$B_{40} = 132$	$B_{41} = 120$	$B_{42} = 103$
$Bx_{43} = 76$	$Bx_{44} = 59$	$Bx_{45} = 35$	$Bx_{46} = 14$	$Bx_{47} = 41$	$Bx_{48} = 63$
$By_{43} = 35$	$By_{44} = 15$	$By_{45} = 2$	$By_{46} = 145$	$By_{47} = 135$	$By_{48} = 116$
$B_{43} = 84$	$B_{44} = 61$	$B_{45} = 35$	$B_{46} = 146$	$B_{47} = 141$	$B_{48} = 132$
$Bx_{49} = 78$	$Bx_{50} = 83$	$Bx_{51} = 73$	$Bx_{52} = 62$	$Bx_{53} = 39$	$Bx_{54} = 0$
$By_{49} = 90$	$By_{50} = 61$	$By_{51} = 32$	$By_{52} = 6$	$By_{53} = -15$	$By_{54} = -32$
$B_{49} = 119$	$B_{50} = 103$	$B_{51} = 84$	$B_{52} = 63$	$B_{53} = 41$	$B_{54} = 32$

Tabelul 4.3. Inducția magnetică B [mT]; varianta indigenă;  $\mu_r = 100$ .

$Bx_1 = 49$	$Bx_2 = 143$	$Bx_3 = 224$	$Bx_4 = 282$	$Bx_5 = 310$	$Bx_6 = 304$
$By_1 = 20$	$By_2 = -5$	$By_3 = 61$	$By_4 = 142$	$By_5 = -239$	$By_6 = -341$
$B_1 = 53$	$B_2 = 143$	$B_3 = 232$	$B_4 = 316$	$B_5 = 392$	$B_6 = 457$
$Bx_7 = 265$	$Bx_8 = 195$	$Bx_9 = 103$	$Bx_{10} = 52$	$Bx_{11} = 149$	$Bx_{12} = 226$
$By_7 = 436$	$By_8 = 512$	$By_9 = 560$	$By_{10} = 11$	$By_{11} = 34$	$By_{12} = 110$
$B_7 = 510$	$B_8 = 548$	$B_9 = 569$	$B_{10} = 524$	$B_{11} = 153$	$B_{12} = 251$
$Bx_{13} = 273$	$Bx_{14} = 285$	$Bx_{15} = 259$	$Bx_{16} = 198$	$Bx_{17} = 109$	$Bx_{18} = 0$
$By_{13} = 208$	$By_{14} = 313$	$By_{15} = 427$	$By_{16} = 521$	$By_{17} = 590$	$By_{18} = 625$
$B_{13} = 343$	$B_{14} = 427$	$B_{15} = 499$	$B_{16} = 558$	$B_{17} = 600$	$B_{18} = 625$
$Bx_{19} = 59$	$Bx_{20} = 172$	$Bx_{21} = 260$	$Bx_{22} = 340$	$Bx_{23} = 374$	$Bx_{24} = 367$
$By_{19} = 80$	$By_{20} = 50$	$By_{21} = -17$	$By_{22} = -113$	$By_{23} = 229$	$By_{24} = -351$
$B_{19} = 99$	$B_{20} = 179$	$B_{21} = 232$	$B_{22} = 358$	$B_{23} = 438$	$B_{24} = 508$
$Bx_{25} = 320$	$Bx_{26} = 237$	$Bx_{27} = 127$	$Bx_{28} = 63$	$Bx_{29} = 180$	$Bx_{30} = 274$
$By_{25} = -464$	$By_{26} = -556$	$By_{27} = -613$	$By_{28} = 69$	$By_{29} = 16$	$By_{30} = 75$
$B_{25} = 564$	$B_{26} = 605$	$B_{27} = 626$	$B_{28} = 94$	$B_{29} = 181$	$B_{30} = 284$
$Bx_{31} = 332$	$Bx_{32} = 347$	$Bx_{33} = 315$	$Bx_{34} = 243$	$Bx_{35} = 134$	$Bx_{36} = 0$
$By_{31} = -194$	$By_{32} = -326$	$By_{33} = -457$	$By_{34} = -572$	$By_{35} = -657$	$By_{36} = -700$
$B_{31} = 384$	$B_{32} = 476$	$B_{33} = 555$	$B_{34} = 621$	$B_{35} = 670$	$B_{36} = 700$
$Bx_{37} = 12$	$Bx_{38} = 36$	$Bx_{39} = 56$	$Bx_{40} = 72$	$Bx_{41} = 80$	$Bx_{42} = 80$
$By_{37} = 132$	$By_{38} = 127$	$By_{39} = 114$	$By_{40} = 96$	$By_{41} = 73$	$By_{42} = 49$
$B_{37} = 133$	$B_{38} = 132$	$B_{39} = 127$	$B_{40} = 120$	$B_{41} = 108$	$B_{42} = 94$
$Bx_{43} = 71$	$Bx_{44} = 55$	$Bx_{45} = 32$	$Bx_{46} = 13$	$Bx_{47} = 38$	$Bx_{48} = 60$
$By_{43} = 26$	$By_{44} = 8$	$By_{45} = -4$	$By_{46} = 131$	$By_{47} = 121$	$By_{48} = 103$
$B_{43} = 76$	$B_{44} = 56$	$B_{45} = 33$	$B_{46} = 131$	$B_{47} = 127$	$B_{48} = 119$
$Bx_{49} = 78$	$Bx_{50} = 78$	$Bx_{51} = 73$	$Bx_{52} = 59$	$Bx_{53} = 35$	$Bx_{54} = 0$
$By_{49} = 79$	$By_{50} = 51$	$By_{51} = 24$	$By_{52} = -1$	$By_{53} = -21$	$By_{54} = 37$
$B_{49} = 108$	$B_{50} = 93$	$B_{51} = 77$	$B_{52} = 59$	$B_{53} = 41$	$B_{54} = 37$

Tabelul 4.4. Inducția magnetică  $B$  [mT]; varianta indigenă;  $\mu_r = 1000$ .

$Bx_1 = 49$	$Bx_2 = 142$	$Bx_3 = 223$	$Bx_4 = 281$	$Bx_5 = 309$	$Bx_6 = 303$
$By_1 = 20$	$By_2 = -5$	$By_3 = 61$	$By_4 = 142$	$By_5 = 239$	$By_6 = 340$
$B_1 = 53$	$B_2 = 142$	$B_3 = 231$	$B_4 = 315$	$B_5 = 390$	$B_6 = 455$
$Bx_7 = 264$	$Bx_8 = 194$	$Bx_9 = 103$	$Bx_{10} = 53$	$Bx_{11} = 148$	$Bx_{12} = 225$
$By_7 = 435$	$By_8 = 511$	$By_9 = 558$	$By_{10} = 10$	$By_{11} = 34$	$By_{12} = 110$
$B_7 = 509$	$B_8 = 547$	$B_9 = 568$	$B_{10} = 54$	$B_{11} = 152$	$B_{12} = 250$
$Bx_{13} = 272$	$Bx_{14} = 284$	$Bx_{15} = 258$	$Bx_{16} = 198$	$Bx_{17} = 108$	$Bx_{18} = 0$
$By_{13} = 208$	$By_{14} = 317$	$By_{15} = 425$	$By_{16} = 520$	$By_{17} = 589$	$By_{18} = 623$
$B_{13} = 342$	$B_{14} = 425$	$B_{15} = 497$	$B_{16} = 556$	$B_{17} = 599$	$B_{18} = 623$
$Bx_{19} = 59$	$Bx_{20} = 171$	$Bx_{21} = 269$	$Bx_{22} = 339$	$Bx_{23} = 373$	$Bx_{24} = 357$
$By_{19} = 81$	$By_{20} = 51$	$By_{21} = -15$	$By_{22} = -112$	$By_{23} = -228$	$By_{24} = -349$
$B_{19} = 100$	$B_{20} = 179$	$B_{21} = 269$	$B_{22} = 357$	$B_{23} = 437$	$B_{24} = 505$
$Bx_{25} = 320$	$Bx_{26} = 237$	$Bx_{27} = 127$	$Bx_{28} = 64$	$Bx_{29} = 180$	$Bx_{30} = 273$
$By_{25} = -463$	$By_{26} = -554$	$By_{27} = -612$	$By_{28} = 70$	$By_{29} = 17$	$By_{30} = 74$
$B_{25} = 562$	$B_{26} = 603$	$B_{27} = 625$	$B_{28} = 95$	$B_{29} = 181$	$B_{30} = 283$
$Bx_{31} = 331$	$Bx_{32} = 346$	$Bx_{33} = 316$	$Bx_{34} = 243$	$Bx_{35} = 134$	$Bx_{36} = 0$
$By_{31} = -192$	$By_{32} = -324$	$By_{33} = -455$	$By_{34} = -570$	$By_{35} = -655$	$By_{36} = -698$
$B_{31} = 383$	$B_{32} = 474$	$B_{33} = 554$	$B_{34} = 620$	$B_{35} = 668$	$B_{36} = 698$
$Bx_{37} = 12$	$Bx_{38} = 34$	$Bx_{39} = 54$	$Bx_{40} = 69$	$Bx_{41} = 77$	$Bx_{42} = 77$
$By_{37} = 132$	$By_{38} = 128$	$By_{39} = 116$	$By_{40} = 98$	$By_{41} = 76$	$By_{42} = 53$
$B_{37} = 133$	$B_{38} = 132$	$B_{39} = 128$	$B_{40} = 120$	$B_{41} = 108$	$B_{42} = 93$
$Bx_{43} = 69$	$Bx_{44} = 54$	$Bx_{45} = 31$	$Bx_{46} = 13$	$Bx_{47} = 37$	$Bx_{48} = 57$
$By_{43} = 31$	$By_{44} = 14$	$By_{45} = 2$	$By_{46} = 131$	$By_{47} = 122$	$By_{48} = 105$
$B_{43} = 76$	$B_{44} = 55$	$B_{45} = 31$	$B_{46} = 132$	$B_{47} = 127$	$B_{48} = 119$
$Bx_{49} = 71$	$Bx_{50} = 75$	$Bx_{51} = 70$	$Bx_{52} = 57$	$Bx_{53} = 34$	$Bx_{54} = 0$
$By_{49} = 82$	$By_{50} = 55$	$By_{51} = 29$	$By_{52} = 5$	$By_{53} = 14$	$By_{54} = -30$
$B_{49} = 108$	$B_{50} = 93$	$B_{51} = 76$	$B_{52} = 57$	$B_{53} = 37$	$B_{54} = 30$

În această situație, dimensiunea de calcul a întrefierului include și grosimea stratului de acoperire, pe lângă zona (de aer) în care se deplasează bobina releeului.

## 4.2. CALCULUL CÂMPULUI ÎN MAGNET ȘI EXTERIORUL SĂU

Pentru cazul în care se pune problema proiectării unui nou sistem cu magneti permanenți, în faza de calcul nu este posibil să se determine condiții pe frontieră prin măsurare, sistemul nefiind realizat fizic. Într-o astfel de situație este necesar ca domeniul în care se analizează problema de câmp să conțină și magneții permanenți, ale căror caracteristici trebuie cunoscute. Deci, în aceste cazuri se vor calcula mărimele de stare ale câmpului atât în magneții permanenți, cât și în exteriorul acestora, adică în întrefier și jugurile feromagnetice.

Această modalitate de abordare permite determinarea variantei optime prin calcul. Se pot analiza influențele tuturor elementelor de geometrie sau de material, fără să fie necesar să se realizeze fizic sistemul în diversele etape intermediare ale concepției. Se obține astfel o proiectare rapidă, precisă și economică.

### 4.2.1. Precizări privind condițiile pe frontieră

În acest caz, ținând seama de simetria problemei și considerând câmpul plan-paralel, domeniul de studiu conține și un sfert din suprafața secțiunii transversale prin magnetul permanent, suplimentar față de cazul prezentat la paragraful 4.1. De asemenea, pentru determinarea variantei optime a sistemului de prindere, între mangetul permanent și inel se consideră o piesă feromagnetică ale cărei dimensiuni se vor stabili după o analiză separată.

Deci, domeniul în care trebuie rezolvată problema de câmp este cel delimitat de conturul OABCDEFO (fig. 4.7). Acesta cuprinde magnetul permanent 0, întrefierul 1, inelul feromagnetic 2 și piesa de prindere a magnetului.

Așa cum s-a precizat la paragraful 4.1.1, pe porțiunile AB, BC și CD din frontieră sunt condiții Neumann nule, respectiv pe porțiunile DE și EF sunt condiții Dirichlet nule.

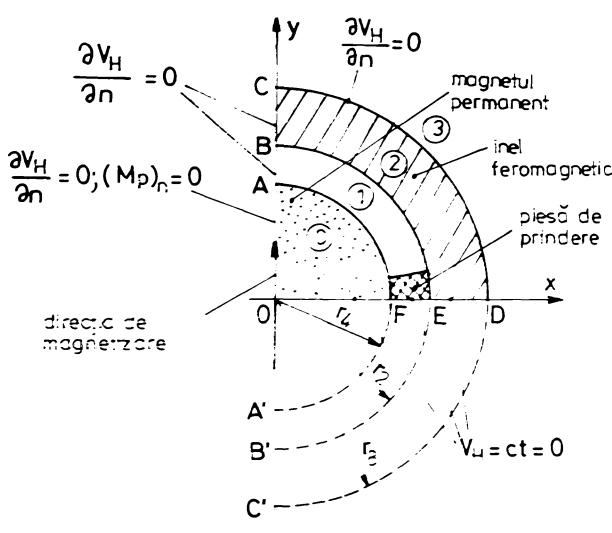


Fig. 4.7

S-a reușit astfel să se identifice un contur al domeniului pentru care, pe porțiuni, se pot stabili condiții pe frontieră, de tip Neumann sau Dirichlet. Nu va fi necesar să se apeleze la stabilirea condițiilor pe frontieră prin măsurare, deci metoda de calcul poate fi utilizată în faza de proiectare. În schimb, prin includerea mangetului în domeniul de studiu, în ecuații apar termeni suplimentari prin care se ține seama de caracteristicile magnetului, care trebuie cunoscute.

#### 4.2.2. Rețeaua elementelor finite

Domeniul în care trebuie rezolvată problema de câmp magnetic s-a împărțit în elemente finite de forma triunghiulară, conform rețelei din figura 4.8.

La stabilirea formei concrete a rețelei s-au avut în vedere și observațiile de principiu prezentate în paragraful 4.1.2. În acest caz, în scopul obținerii unei precizii mai bune, numarul elementelor finite din zona intrefierului s-a dublat (față de rețeaua din fig.4.5)

Desigur, direcția de magnetizare s-a considerat după axa Oy, din motivele expuse la paragraful amintit mai sus. Pentru această situație, pe porțiunea FO din frontieră  $V_d = 0$ , iar pe zona OA și componenta normală a magnetizației permanente  $M_{pn} = 0$ .

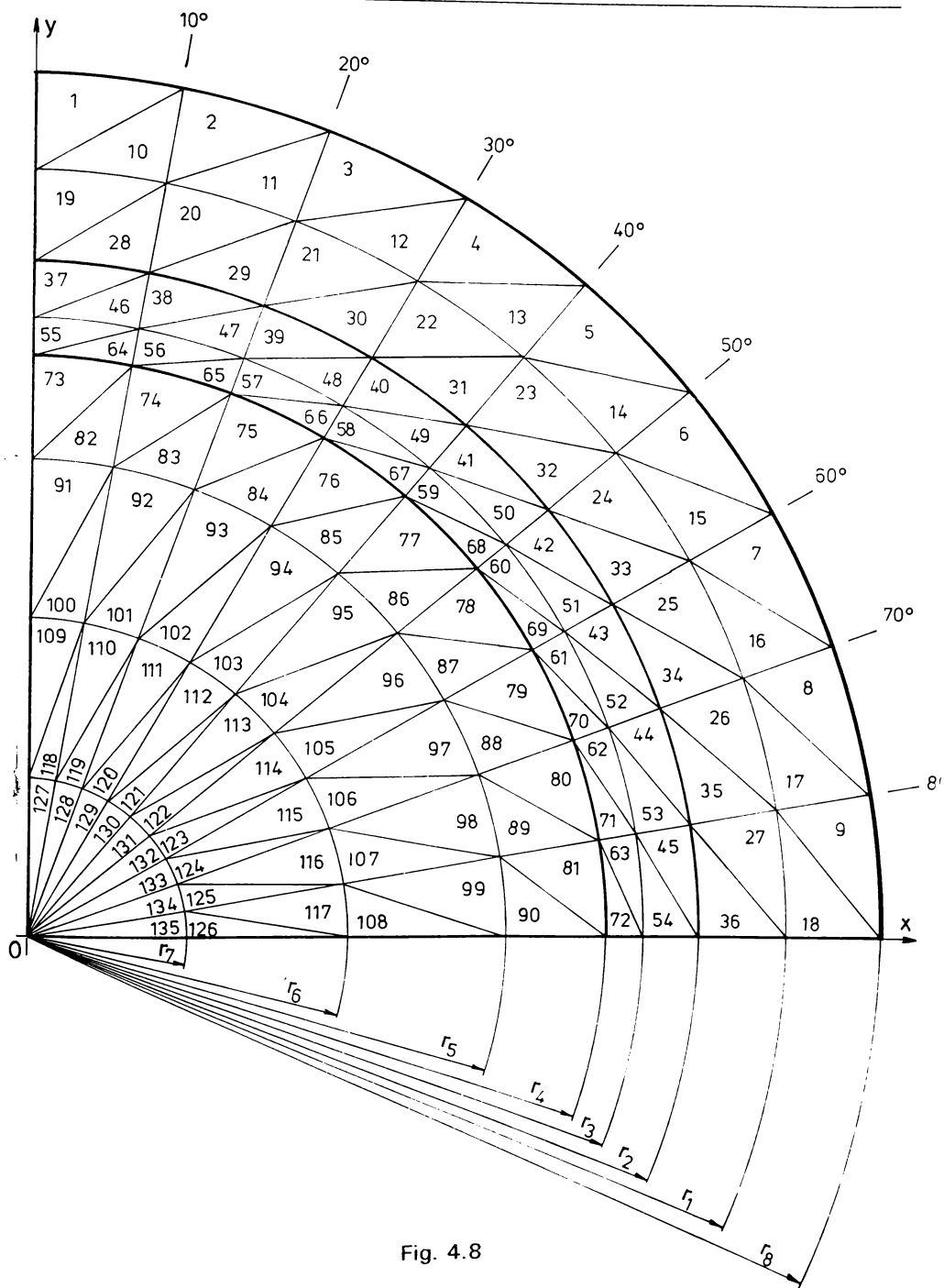


Fig. 4.8

Elementele finite (1 - 36) sunt situate în inelul feromagnetic, (37 - 72) în întrefier și piesa de prindere, iar (73 - 135) în magnetul permanent. Din motive legate de claritatea desenului, în figura 4.8. nu s-a trecut numerotarea nodurilor, introducându-se doar o numerotare a elementelor finite, la care se va face referire ulterior.

#### 4.2.3. Organigrame și programe de calcul

Organigramele și programele de calcul sunt concepute pentru magneți permanenți liniari, respectiv neliiniari. Inelul feromagnetic se consideră din material a cărui curba de magnetizare este neliiniară.

a. *Magnet permanent liniar.* Se știe faptul că unii magneți permanenți au o curba de demagnetizare ce se poate aproxima cu o dreaptă. În acest caz, permeabilitatea magnetică  $\mu_p$  este practic constantă.

Organograma pentru rezolvarea problemei de câmp în astfel de cazuri este prezentată în figura 4.9. Deoarece inelul feromagnetic s-a considerat neliiniar, se impune o rezolvare iterativă în raport cu permeabilitatea magnetică relativă din elementele finite ale inelului. Soluția corectă se consideră atunci când permeabilitățile relative rămân practic nemodificate pentru două iterări succesive.

Programul de calcul elaborat (MEFMAG03 - metoda elementelor finite pentru câmp magnetic, varianta 03) permite o analiză asupra sistemului de prindere al magnetului. De asemenea, pe lângă rezolvarea problemei de câmp, se calculează și cuplul activ al bobinei releului. Acest program este prezentat în Anexa 3.

b. *Magnet permanent neliiniar.* În cazul magneților permanenți la care curba de demagnetizare este neliiniară, permeabilitatea magnetică  $\mu_p$  nu este constantă. Deci, pe lângă ciclul iterativ corespunzător neliiniarității inelului feromagnetic, mai este necesar încă unul, prin care se ține seama de neliiniaritatea magnetului permanent.

Organograma este prezentată în figura 4.10, iar programul de calcul (MEFMAG08) în Anexa 4.

Se face precizarea că, în programele din anexe, pentru mărimele de intrare s-au dat valori numerice concrete, specifice releului cu magnet cilindric, iar rezultatele de calcul prezentate la paragraful 4.2.4 corespund acestora.

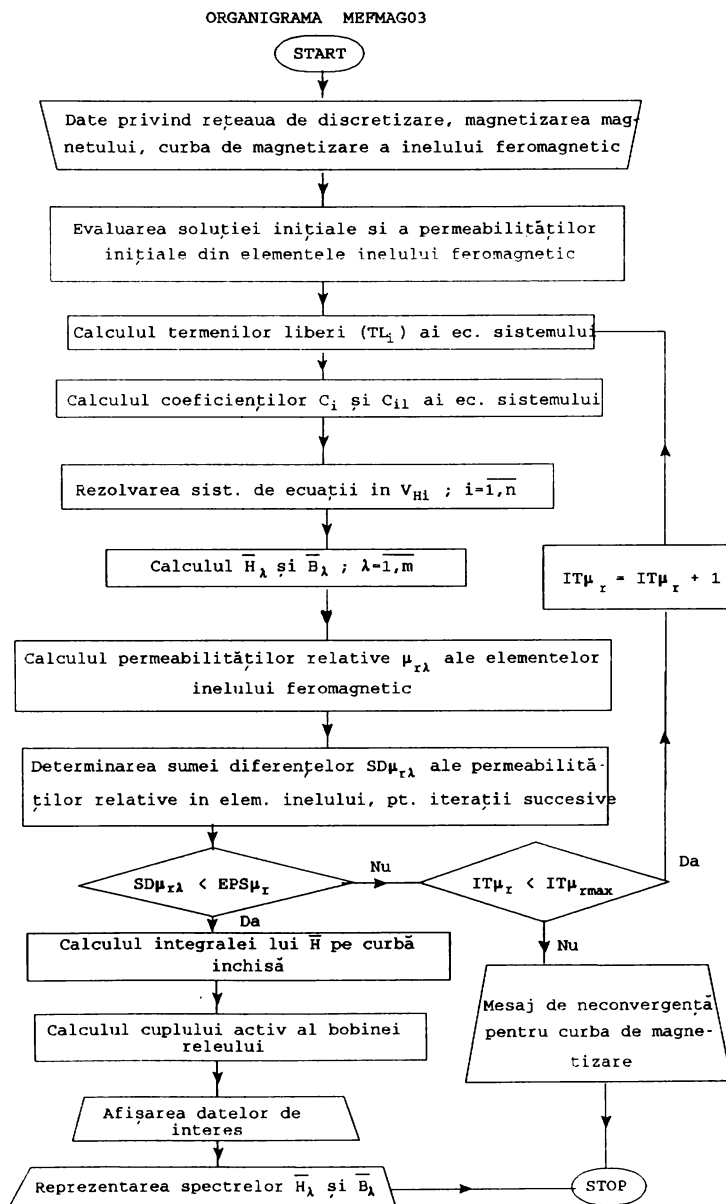


Fig. 4.9

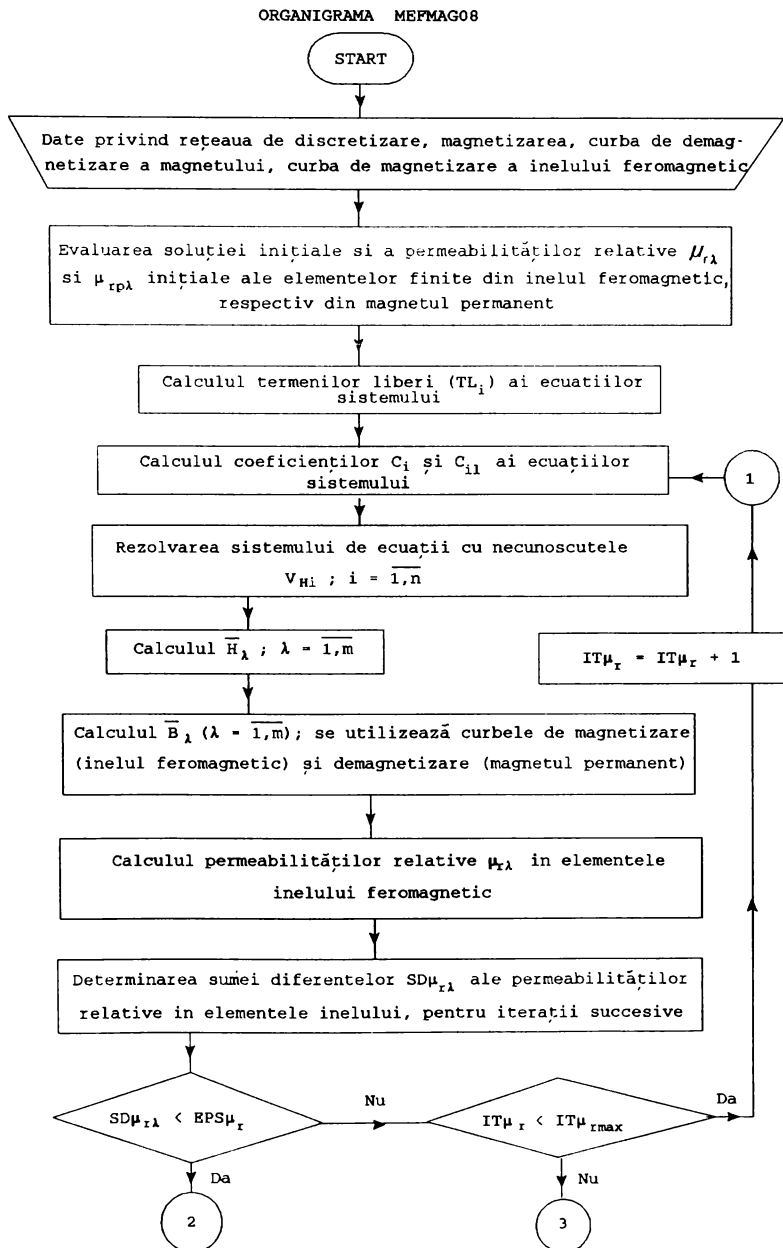


Fig. 4.10

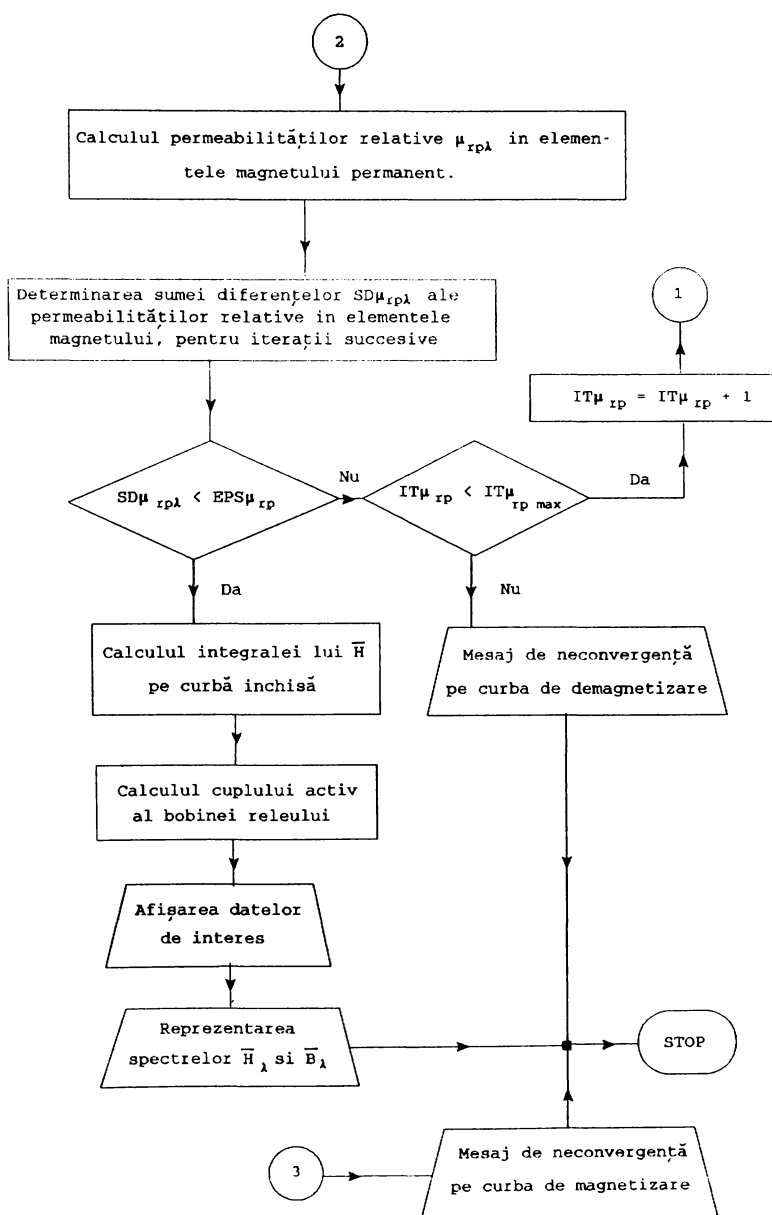


Fig. 4.10 - continuare

Programele pot fi, însă, adaptate ușor și pentru alte cazuri, adică sisteme cu altă geometrie, alte materiale componente, altă magnetizare pentru magnetul permanent etc.

#### 4.2.4. Rezultate de calcul

a. Pentru stabilirea valorilor optime privind dimensiunile și calitatea materialului pieselor de prindere ale magnetului (v. fig. 4.1.a) s-a utilizat programul MEFMAG03. În principiu, se pune problema dacă este avantajos un material feromagnetic sau unul neferomagnetic. De asemenea, dacă s-ar adopta varianta cu material feromagnetic, se impune stabilirea dimensiunilor acestuia, știut fiind faptul că un astfel de material influențează spectrul câmpului magnetic, deci, implicit, parametrii releeului.

Dacă materialul din care se confectionează piesele de prindere este neferomagnetic, nu se pune problema modificării spectrului câmpului, în raport cu varianta în care acestea lipsesc. În cazul în care piesele de prindere sunt din material feromagnetic (de exemplu OL 37, ca și inelul) se vor avea în vedere două variante: piese de prindere separate, respectiv sistem turnat ce include piesele de prindere și inelul feromagnetic. În ceea ce privește prima variantă, dacă piesele sunt așezate între magnet și inel practic fără întrefier - printr-o prelucrare bună a suprafețelor în contact - atunci aceasta nu difera semnificativ de varianta a doua. Se are în vedere și faptul că piesele de prindere sunt plasate în axa neutru a releeului (perpendiculară pe direcția de magnetizare - axa Oy), prin acestea închizându-se un flux magnetic foarte mic.

În concluzie, se impune calculul inducției magnetice din relee pentru diverse dimensiuni ale pieselor de prindere feromagnetice. Cazul cu dimensiuni nule corespunde situației în care se utilizează piese din material neferomagnetic.

Analiza s-a efectuat pentru un relee cu următoarele date de intrare în program:

- magnet permanent uniform magnetizat, după axa Oy, cu inducția remanentă  $B_r = 0,16 \text{ T}$ ;
- dimensiunile pentru razele din figura 4.8 sunt:  $r_1 = 14,5 \text{ mm}$ ;  $r_2 = 12,75 \text{ mm}$ ;  
 $r_3 = 11,75 \text{ mm}$ ;  $r_4 = 11 \text{ mm}$ ;  $r_5 = 9 \text{ mm}$ ;  $r_6 = 6 \text{ mm}$ ;  $r_7 = 3 \text{ mm}$ ;  
 $r_8 = 16,25 \text{ mm}$ ; suprafețele elementelor finite ale retelei sunt cuprinse între

$0,72 \text{ mm}^2$  și  $2,50 \text{ mm}^2$ ;

- inelul feromagnetic și piesa de prindere sunt confectionate din OL 37, având curba neliniară de magnetizare reprezentată în figura 2.12. Modelarea analitică a acesteia s-a realizat prin ecuațiile:

$$\begin{aligned} B &= c_1 H + c_2 H^2 && , \quad H \leq H_1 \\ B &= c_1 H + c_2 H^2 + c_3 (H - H_1)^2 + c_4 (H - H_1)^3 && , \quad H_1 < H \leq H_2 \\ B &= c_1 H + c_2 H^2 + c_3 (H - H_1)^2 + c_4 (H - H_1)^3 + c_5 (H - H_2)^2 + \\ &\quad + c_6 (H - H_2)^3 + c_7 (H - H_2)^4 && , \quad H_2 < H \leq H_3 \\ B &= B_3 + c_8 (H - H_3)^{1/2} && , \quad H_3 < H \leq H_4 \\ B &= B_4 + c_9 (H - H_4) && , \quad H > H_4 \end{aligned} \quad (4.18)$$

unde:  $H_1 = 660 \text{ A/m}$ ;  $B_1 = 0,2 \text{ T}$ ;  $H_2 = 1450 \text{ A/m}$ ;  $B_2 = 0,8 \text{ T}$ ;

$H_3 = 6200 \text{ A/m}$ ;  $B_3 = 1,7 \text{ T}$ ;  $H_4 = 22800 \text{ A/m}$ ;  $B_4 = 2 \text{ T}$ ;

$c_1 = 1,2444 \cdot 10^{-4}$ ;  $c_2 = 0,2706 \cdot 10^{-6}$ ;  $c_3 = 0,6215 \cdot 10^{-6}$ ;

$c_4 = -0,684 \cdot 10^{-9}$ ;  $c_5 = 0,5126 \cdot 10^{-6}$ ;  $c_6 = 0,699 \cdot 10^{-9}$ ;

$c_7 = 2,5034 \cdot 10^{-15}$ ;  $c_8 = 2,64 \cdot 10^{-2}$ ;  $c_9 = 4,89 \cdot 10^{-6}$ ;

(unitățile de măsură pentru coeficienți rezultă din relațiile 4.18).

Cu aceste funcții se realizează (v. tab. 4.5) o aproximare bună a curbei de magnetizare ridicată experimental, mai ales pentru valori care prezintă importanță în cazul releeului ( $B < 1,2 \text{ T}$ ; v. tab. 4.10).

Tabelul 4.5

H [A/m]		500	600	700	900	1200	1400	1600	2400	3000	22800
B [mT]	exp.	130	170	220	360	615	770	900	1200	1360	2000
	analit.	130	172	221	357	612	767	887	1200	1300	2000
Eroare [%]	0	1,2	0,3	0,7	0,4	0,3	1,4	0	4,4	0	

Deoarece interesează în mod deosebit inducția magnetică din zona în care se plasează bobina releeului, din rezultatele programului de calcul, în tabelul 4.6 sunt redate doar valorile obținute pentru elementele finite 37, 38, 46, 47, 55, 56, 64, 65 (v. fig. 4.8).

Tabelul 4.6

MU1 ---- MU2	Elem. finit Ind.mag. mT	37	38	46	47	55	56	64	65
0	Bx	11	32	12	33	13	37	13	38
---	By	121	116	119	109	131	125	129	118
0	B	122	120	120	114	132	130	130	124
44	Bx	11	31	12	33	13	37	13	38
----	By	12	115	117	109	131	124	126	117
45	B	121	119	119	113	131	130	129	123
43	Bx	11	31	12	32	13	37	13	33
----	By	119	114	117	107	120	123	127	115
45	B	120	118	118	112	130	128	128	124
42	Bx	11	31	11	32	13	37	13	33
----	By	117	111	115	103	123	121	125	111
45	B	118	115	115	105	128	126	125	118
41	Bx	10	29	11	32	13	38	14	39
----	By	113	106	109	93	123	115	120	102
45	B	113	110	110	98	124	121	120	109
40	Bx	9	26	12	31	14	42	15	44
----	By	104	95	97	65	115	104	109	77
45	B	105	98	98	72	116	112	110	89
39	Bx	8	18	14	32	17	55	22	65
----	By	85	66	67	11	99	77	83	23
45	B	86	69	69	34	101	95	85	69

Semnificațiile notațiilor din tabelul 4.6 sunt: MU1 - numărul elementului finit din întrefier, în imediata apropiere a inelului feromagnetic, cu care începe piesa de prindere feromagnetică; MU2 - numărul elementului finit din întrefier, în imediata apropiere a inelului feromagnetic, cu care se termină piesa de prindere feromagnetică. Aceasta cuprinde toată zona dintre MU1 și MU2, situată între magnet și inel. De exemplu, pentru MU1 = 44 și MU2 = 45, piesa de prindere ocupă elementele finite numerotate cu 44, 45, 53, 54, 62, 63, 71 și 72. Prima linie a tabelului, pentru care s-a notat MU1 / MU2 = 0 / 0, corespunde cazului cu piesă de prindere neferomagnetică. Componentele după axe (Bx, By) și modulul inducției magnetice (B) sunt determinate cu mai multe zecimale (în tesla) din care în tabel s-au reținut numai trei dintre acestea; deci modulul B cu trei cifre nu este determinat din Bx și By cu trei cifre seninificative.

Dacă se analizează datele din tabelul 4.6 se constată:

a1. Pe măsură ce piesa de prindere feromagnetică are dimensiuni tot mai mari, inducția

magnetică în elementele întrefierului este tot mai mică. Cea mai pronunțată scădere apare atunci când piesa are dimensiuni maxime. De exemplu,  $B(64) = 130 \text{ mT}$  cu piesă de prindere neferomagnetică, respectiv  $B(64) = 85 \text{ mT}$  cu piesă de prindere feromagnetică de dimensiuni maxime ( $MU1 = 39$ ;  $MU2 = 45$ ), adică o scădere de 34,6 %. De asemenea, se schimbă și direcția vectorului  $\vec{B}$ , în unele din elementele considerate rezultând componentă negativă după axa Oy. Desigur, atât modificarea valorii, cât și a direcției vectorului inducție magnetică este diferență de la element la element.

a2. În elementele întrefierului din imediata apropiere a magnetului permanent, inducția magnetică este mai mare decât în elementele aflate în apropierea inelului feromagnetic (pentru același unghi). De exemplu, pentru  $MU1 = 44$  și  $MU2 = 45$  rezulta:

$$B(55) = 131 \text{ mT} > B(37) = 121 \text{ mT}; \quad B(64) = 129 \text{ mT} > B(46) = 119 \text{ mT}$$

În sensul amintit, nu este potrivită comparația între elementele 37 și 46, respectiv între 55 și 64, poziționarea lor fiind diferită după unghi.

a3. În concluzie, pentru a obține o inducție magnetică mai mare în zona unde este situată bobina releului, se recomandă piese de prindere din material neferomagnetic.

b. În cazul în care  $MU1 = 37$  și  $MU2 = 45$ , întrefierul este nul, iar magnetul este cuprins într-un inel feromagnetic ce scurtează circuitul polii acestuia (o variantă de calcul). Este situația ce se recomandă pentru evitarea demagnetizării magnetilor atunci când nu sunt folosiți. În acest caz, coeficienții de demagnetizare după axa Oy (  $k_{dmy} = H_{my}/M_{my}$  ; direcția de magnetizare este după axa Oy), în toate elementele finite din magnetul permanent, au valori cuprinse în intervalul [0,008 - 0,011]. Într-adevăr, câmpul demagnetizant ar avea efect neglijabil. Este interesant de precizat că, în aceleasi condiții, dar cu o piesă de prindere neferomagnetică - deci cu întrefier - coeficientul de demagnetizare este aproximativ 0,137, adică de [12,5 - 17,1] ori mai mare.

c. În continuare se prezintă rezultatele problemei de câmp pentru un caz în care releul se consideră neliniar, atât în zona inelului feromagnetic cât și în zona magnetului permanent. Ca un exemplu de calcul, în magnet se consideră o componentă permanentă a magnetizației după axa Oy (  $\mu_0 M_{py} = B_{ry} = 0,745 \text{ T}$  ) și una după axa Ox (  $\mu_0 M_{px} = B_{rx} = 0,0745 \text{ T}$  ). Componenta  $\mu_0 M_{px}$  se consideră nula în elementele finite 73, 91, 109, 127, unde s-au luat condiții Neumann nule. Dimensiunile sunt cele considerate la paragraful 4.2.4.a, iar piesa de prindere este neferomagnetică. Inelul este

construit din OL 37, curba sa de magnetizare fiind modelată analitic prin ecuațiile (4.18). Magnetul permanent este din ALNICO 13/5, având curba de demagnetizare (fig. 1.13) furnizată de producător (Sinterom Cluj-Napoca). Modelarea analitică a acesteia s-a realizat cu ecuațiile:

$$\begin{aligned} B &= B_r - c_{m1}H &&, H \leq H_{m1} \\ B &= B_r - c_{m1}H - c_{m2}(H - H_{m1})^2 &&, H_{m1} < H \leq H_{m2} \\ B &= B_r - c_{m1}H - c_{m2}(H - H_{m1})^2 - c_{m3}(H - H_{m2})^3 &&, H_{m2} < H \leq H_{m3} \\ B &= c_{m4}(H_{C_B} - H) &&, H_{m3} < H , \end{aligned} \quad (4.19)$$

unde:  $B_r = 0,745$  T;  $H_{C_B} = 50$  kA/m;  $H_{m1} = 20$  kA/m;  $H_{m2} = 33,5$  kA/m;

$H_{m3} = 46,5$  kA/m;

$$c_{m1} = 5,7500 \cdot 10^{-6} \text{ H/m} ; \quad c_{m2} = 0,2875 \cdot 10^{-9} \text{ H/m}$$

$$c_{m3} = 3,4456 \cdot 10^{-14} \text{ Hm/A}^2 ; \quad c_{m4} = 57,1430 \cdot 10^{-6} \text{ H/m} .$$

În relațiile (4.19), intensitatea câmpului magnetic este o mărime pozitivă. Cu funcțiile analitice date mai sus se obține o aproximare bună a curbei de demagnetizare, pe întreg domeniul (v. tab. 4.7).

Tabelul 4.7

H [kA/m]		5	10	15	20	25	30	35	40	45	47,5
B [mT]	cat.	715	690	656	630	590	540	480	402	260	145
	analit.	716	687,5	658,7	630	594	544	479	391	254	143
Eroare [%]		0,14	0,36	0,41	0	0,7	0,7	0,2	2,7	2,3	1,38

În tabelele 4.8, 4.9, și 4.10 sunt prezentate valorile numerice obținute (cu MEFMAG08) pentru permeabilitățile relative, intensitatea câmpului magnetic și inducția magnetică din elementele finite ale domeniului în care s-a rezolvat problema de câmp. Indicii mărimilor corespund numerotării elementelor finite din figura 4.8.

Din tabelul 4.8 se poate sesiza că permeabilitatea relativă - diferită de la element la element - este de ordinul sutelor în inelul feromagnetic (elementele 1 - 36) și de ordinul unităților în magnetul permanent (elementele 73 - 135).

Tabelul 4.8. Permeabilitățile relative PR(I)

PR 1 = 170,27	PR 2 = 237,56	PR 3 = 302,10	PR 4 = 361,44
PR 5 = 406,57	PR 6 = 433,77	PR 7 = 440,80	PR 8 = 440,46
PR 9 = 438,87	PR 10 = 172,69	PR 11 = 252,95	PR 12 = 333,86
PR 13 = 394,16	PR 14 = 430,46	PR 15 = 440,84	PR 16 = 439,27
PR 17 = 433,94	PR 18 = 429,58	PR 19 = 238,39	PR 20 = 311,04
PR 21 = 369,47	PR 22 = 412,14	PR 23 = 436,29	PR 24 = 441,08
PR 25 = 324	PR 26 = 334	PR 27 = 431,93	PR 28 = 441,08
PR 29 = 437,74	PR 30 = 427,	PR 31 = 415,69	PR 32 = 461,7
PR 33 = 324	PR 34 = 334	PR 35 = 415,69	PR 36 = 461,7
PR 37 = 324	PR 38 = 334	PR 39 = 415,69	PR 40 = 461,7
PR 41 = 1,00	PR 42 = 1,00	PR 43 = 1,00	PR 44 = 1,00
PR 45 = 1,00	PR 46 = 1,00	PR 47 = 1,00	PR 48 = 1,00
PR 49 = 1,00	PR 50 = 1,00	PR 51 = 1,00	PR 52 = 1,00
PR 53 = 1,00	PR 54 = 1,00	PR 55 = 1,00	PR 56 = 1,00
PR 57 = 1,00	PR 58 = 1,00	PR 59 = 1,00	PR 60 = 1,00
PR 61 = 1,00	PR 62 = 1,00	PR 63 = 1,00	PR 64 = 1,00
PR 65 = 1,00	PR 66 = 1,00	PR 67 = 1,00	PR 68 = 1,00
PR 69 = 1,00	PR 70 = 1,00	PR 71 = 1,00	PR 72 = 1,00
PR 73 = 8,01	PR 74 = 7,67	PR 75 = 7,78	PR 76 = 7,85
PR 77 = 7,93	PR 78 = 8,05	PR 79 = 8,23	PR 80 = 8,57
PR 81 = 9,30	PR 82 = 7,77	PR 83 = 7,69	PR 84 = 7,72
PR 85 = 7,80	PR 86 = 7,92	PR 87 = 8,05	PR 88 = 8,19
PR 89 = 8,29	PR 90 = 8,36	PR 91 = 7,72	PR 92 = 7,51
PR 93 = 7,56	PR 94 = 7,64	PR 95 = 7,74	PR 96 = 7,86
PR 97 = 8,01	PR 98 = 8,20	PR 99 = 8,39	PR 100 = 7,57
PR101 = 7,46	PR102 = 7,47	PR103 = 7,52	PR104 = 7,57
PR105 = 7,62	PR106 = 7,66	PR107 = 7,69	PR108 = 7,71
PR109 = 7,22	PR110 = 7,14	PR111 = 7,18	PR112 = 7,26
PR113 = 7,36	PR114 = 7,47	PR115 = 7,58	PR116 = 7,67
PR117 = 7,72	PR118 = 7,18	PR119 = 7,05	PR120 = 7,03
PR121 = 7,05	PR122 = 7,06	PR123 = 7,06	PR124 = 7,04
PR125 = 7,02	PR126 = 7,01	PR127 = 6,23	PR128 = 6,21
PR129 = 6,28	PR130 = 6,41	PR131 = 6,57	PR132 = 6,73
PR133 = 6,86	PR134 = 6,97	PR135 = 7,01	-

În ceea ce privește tabloul intensității câmpului magnetic, respectiv al inducțiilor magnetice, se remarcă o "evoluție normală", atât sub aspectul valorilor cât și al modificării direcțiilor, de la element la element. De altfel, pentru a urmări mai ușor acest aspect, în figurile 4.11 și 4.12 sunt reprezentate la scară spectrele vectorilor  $\vec{H}$ , respectiv  $\vec{B}$ . Originile vectorilor sunt reprezentate în elementele finite la care se referă.

În figura 4.11, la reprezentarea spectrului vectorilor  $\vec{H}$  s-au utilizat trei coeficienți de scară:  $k_{Hf} = 10^3 \frac{\text{A/m}}{1\text{ cm}}$ , pentru inelul feromagnetic;  $k_{Hi} = 2 \cdot 10^5 \frac{\text{A/m}}{1\text{ cm}}$ , pentru întrefier;  $k_{Hm} = 10^5 \frac{\text{A/m}}{1\text{ cm}}$ , pentru magnetul permanent. S-au adoptat trei coeficienți de scară pentru a obține o reprezentare rezonabilă, ținând cont că ordinul de mărime al intensității câmpului magnetic în cele trei zone este diferit.

În figura 4.12, la reprezentarea spectrului vectorilor  $\vec{B}$  s-a utilizat coeficientul de scară  $k_B = 1,0 \frac{1}{1\text{ cm}}$ .

O mărime care ține seama de toate elementele analizate din releu - și de care depinde în mod direct sensibilitatea acestuia - este cuplul activ ce acționează asupra bobinei plasată în întrefier. Din motive legate de siguranță în acționare, bobina este situată în zona elementelor finite 38, 47, 56 și 65, urmând ca atunci când releul acționează aceasta să se deplaseze într-un câmp mai puternic, în zona elementelor finite 37, 46, 55 și 64. Expresia cuplului activ [10, 89] este data de relația

$$C = B_p \cdot N \cdot I \cdot S_e , \quad (4.20)$$

unde:  $B_p$  - valoarea medie a componentelor radiale ale inducției magnetice din elementele întrefierului, ocupate de bobina releului (rezultă din programul de calcul);

$N$  - numărul de spire ale bobinei releului;

$I$  - intensitatea curentului prin bobină;

$S_e$  - suprafața echivalentă de calcul a spirelor bobinei.

Pentru cazul în discuție, din programul de calcul rezultă  $B_p = 0,2956$  T. Dacă se modifică  $N$  și  $S_e$ , păstrând aceleași materiale pentru magnetul permanent și inelul feromagnetic, se obțin diverse valori pentru cuplul activ (la I dat), deci sensibilități diferite ale releului. Sau, în condițiile de mai sus și un cuplu rezistent dat (realizat cu resort), curentul de acționare  $I$  al releului va avea diverse valori.

d. Programul MEFMAG08 s-a rulat și pentru cazul în care inelul feromagnetic neliniar este construit din oțel electrotehnic, deci, din punct de vedere magnetic, de calitate mai bună decât OL 37, celelalte condiții fiind identice cu cele prezentate la

punctul c. Comparând valorile obținute pentru inducția magnetică din elementele întrefierului, se constată diferențe nesemnificative. Prin urmare, în acest caz nu este justificată economic utilizarea unui inel cu proprietăți feromagnetice superioare, care, evident, este mai scump. Concluzia este întărîta și prin compararea cuplurilor active, rezultând o creștere a valorii acestuia de numai 1,2 %.

e. Desigur, cu adaptări minime, programul MEFMAG08 poate fi utilizat la determinarea distribuției câmpului magnetic și pentru alte variante. Astfel, se pot considera alte geometrii, alte materiale neliniare în structura sistemului neomogen, o altă distribuție a magnetizației permanente (neuniformă, dacă este necesar).

Tabelul 4.9. Intensitatea câmpului magnetic [A/m]

$Hx_1 = 292$	$Hx_2 = 643$	$Hx_3 = 839$	$Hx_4 = 941$
$Hy_1 = 155$	$Hy_2 = 24$	$Hy_3 = -188$	$Hy_4 = -432$
$H_1 = 331$	$H_2 = 643$	$H_3 = 860$	$H_4 = 1035$
$Hx_5 = 972$	$Hx_6 = 934$	$Hx_7 = 811$	$Hx_8 = 602$
$Hy_5 = -706$	$Hy_6 = -1002$	$Hy_7 = -1299$	$Hy_8 = -1548$
$H_5 = 1202$	$H_6 = 1369$	$H_7 = 1532$	$H_8 = 1660$
$Hx_9 = 319$	$Hx_{10} = 333$	$Hx_{11} = 695$	$Hx_{12} = 868$
$Hy_9 = -1704$	$Hy_{10} = 79$	$Hy_{11} = -135$	$Hy_{12} = -390$
$H_9 = 1734$	$H_{10} = 342$	$H_{11} = 708$	$H_{12} = 951$
$Hx_{13} = 932$	$Hx_{14} = 915$	$Hx_{15} = 813$	$Hx_{16} = 622$
$Hy_{13} = -673$	$Hy_{14} = -979$	$Hy_{15} = -1302$	$Hy_{16} = -1603$
$H_{13} = 1150$	$H_{14} = 1339$	$H_{15} = 1535$	$H_{16} = 1719$
$Hx_{17} = 342$	$Hx_{18} = 0$	$Hx_{19} = 372$	$Hx_{20} = 820$
$Hy_{17} = -1836$	$Hy_{18} = -1954$	$Hy_{19} = 529$	$Hy_{20} = 333$
$H_{17} = 1868$	$H_{18} = 1954$	$H_{19} = 647$	$H_{20} = 885$
$Hx_{21} = 1061$	$Hx_{22} = 1189$	$Hx_{23} = 1233$	$Hx_{24} = 1186$
$Hy_{21} = 25$	$Hy_{22} = -306$	$Hy_{23} = -660$	$Hy_{24} = -1041$
$H_{21} = 1061$	$H_{22} = 1228$	$H_{23} = 1399$	$H_{24} = 1578$
$Hx_{25} = 1033$	$Hx_{26} = 769$	$Hx_{27} = 409$	$Hx_{28} = 452$
$Hy_{25} = -1411$	$Hy_{26} = -1722$	$Hy_{27} = -1918$	$Hy_{28} = 398$
$H_{25} = 1749$	$H_{26} = 1886$	$H_{27} = 1961$	$H_{28} = 602$
$Hx_{29} = 921$	$Hx_{30} = 1119$	$Hx_{31} = 1196$	$Hx_{32} = 1176$
$Hy_{29} = 76$	$Hy_{30} = -265$	$Hy_{31} = -630$	$Hy_{32} = -1029$
$H_{29} = 924$	$H_{30} = 1150$	$H_{31} = 1352$	$H_{32} = 1563$
$Hx_{33} = 1051$	$Hx_{34} = 807$	$Hx_{35} = 445$	$Hx_{36} = 0$
$Hy_{33} = -1441$	$Hy_{34} = -1825$	$Hy_{35} = -2125$	$Hy_{36} = -2277$
$H_{33} = 1783$	$H_{34} = 1995$	$H_{35} = 2171$	$H_{36} = 2277$

$Hx_{37} = 20339$ $Hy_{37} = 227705$ $H_{37} = 228611$	$Hx_{38} = 59537$ $Hy_{38} = 218834$ $H_{38} = 226789$	$Hx_{39} = 94851$ $Hy_{39} = 200745$ $H_{39} = 222025$	$Hx_{40} = 120966$ $Hy_{40} = 170418$ $H_{40} = 208986$
$Hx_{41} = 134170$ $Hy_{41} = 131965$ $H_{41} = 188192$	$Hx_{42} = 132539$ $Hy_{42} = 90629$ $H_{42} = 160562$	$Hx_{43} = 115986$ $Hy_{43} = 51884$ $H_{43} = 127062$	$Hx_{44} = 86203$ $Hy_{44} = 20853$ $H_{44} = 88690$
$Hx_{45} = 46166$ $Hy_{45} = 1762$ $H_{45} = 46149$	$Hx_{46} = 21101$ $Hy_{46} = 225612$ $H_{46} = 226018$	$Hx_{47} = 60525$ $Hy_{47} = 213239$ $H_{47} = 115972$	$Hx_{48} = 94854$ $Hy_{48} = 185494$ $H_{48} = 203339$
$Hx_{49} = 116765$ $Hy_{49} = 146569$ $H_{49} = 187291$	$Hx_{50} = 123188$ $Hy_{50} = 101774$ $H_{50} = 159791$	$Hx_{51} = 13082$ $Hy_{51} = 56914$ $H_{51} = 126597$	$Hx_{52} = 87340$ $Hy_{52} = 17732$ $H_{52} = 89121$
$Hx_{53} = 48395$ $Hy_{53} = 10883$ $H_{53} = 49604$	$Hx_{54} = 0$ $Hy_{54} = -24904$ $H_{54} = 24904$	$Hx_{55} = 22922$ $Hy_{55} = 246422$ $H_{55} = 247485$	$Hx_{56} = 66646$ $Hy_{56} = 236083$ $H_{56} = 245310$
$Hx_{57} = 108955$ $Hy_{57} = 215732$ $H_{57} = 241685$	$Hx_{58} = 140102$ $Hy_{58} = 179898$ $H_{58} = 228018$	$Hx_{59} = 155961$ $Hy_{59} = 134548$ $H_{59} = 205978$	$Hx_{60} = 154361$ $Hy_{60} = 85817$ $H_{60} = 176612$
$Hx_{61} = 135362$ $Hy_{61} = 40125$ $H_{61} = 141184$	$Hx_{62} = 100874$ $Hy_{62} = 3178$ $H_{62} = 100924$	$Hx_{63} = 54392$ $Hy_{63} = -20145$ $H_{63} = 58003$	$Hx_{64} = 23696$ $Hy_{64} = 243657$ $H_{64} = 244806$
$Hx_{65} = 67154$ $Hy_{65} = 230947$ $H_{65} = 240512$	$Hx_{66} = 107653$ $Hy_{66} = 198633$ $H_{66} = 225930$	$Hx_{67} = 133352$ $Hy_{67} = 153519$ $H_{67} = 203349$	$Hx_{68} = 141073$ $Hy_{68} = 101654$ $H_{68} = 173882$
$Hx_{69} = 129761$ $Hy_{69} = 49827$ $H_{69} = 138998$	$Hx_{70} = 100431$ $Hy_{70} = 4395$ $H_{70} = 100527$	$Hx_{71} = 55959$ $Hy_{71} = -29033$ $H_{71} = 63043$	$Hx_{72} = 0$ $Hy_{72} = -46260$ $H_{72} = 46260$
$Hx_{73} = -1399$ $Hy_{73} = -43180$ $H_{73} = 43203$	$Hx_{74} = -5918$ $Hy_{74} = -41761$ $H_{74} = 42178$	$Hx_{75} = -4685$ $Hy_{75} = -42277$ $H_{75} = 42536$	$Hx_{76} = -3937$ $Hy_{76} = -42550$ $H_{76} = 42732$
$Hx_{77} = -3439$ $Hy_{77} = -42857$ $H_{77} = 42995$	$Hx_{78} = -3107$ $Hy_{78} = -43208$ $H_{78} = 43320$	$Hx_{79} = -2809$ $Hy_{79} = -43746$ $H_{79} = 43836$	$Hx_{80} = -2398$ $Hy_{80} = -44670$ $H_{80} = 44734$
$Hx_{81} = -1620$ $Hy_{81} = -46402$ $H_{81} = 46430$	$Hx_{82} = -2118$ $Hy_{82} = -42431$ $H_{82} = 42484$	$Hx_{83} = -5858$ $Hy_{83} = -41850$ $H_{83} = 42258$	$Hx_{84} = -4779$ $Hy_{84} = -42064$ $H_{84} = 42335$
$Hx_{85} = -3971$ $Hy_{85} = -42410$ $H_{85} = 42596$	$Hx_{86} = -3442$ $Hy_{86} = -42809$ $H_{86} = 42947$	$Hx_{87} = -3109$ $Hy_{87} = -43228$ $H_{87} = 43339$	$Hx_{88} = -2776$ $Hy_{88} = -43631$ $H_{88} = 43720$

$Hx_{89} = -2051$ $Hy_{89} = -43963$ $H_{89} = 44010$	$Hx_{90} = 0$ $Hy_{90} = -44187$ $H_{90} = 44187$	$Hx_{91} = -2104$ $Hy_{91} = -42276$ $H_{91} = 42328$	$Hx_{92} = -5703$ $Hy_{92} = -41270$ $H_{92} = 41663$
$Hx_{93} = -4554$ $Hy_{93} = -41582$ $H_{93} = 41830$	$Hx_{94} = -3644$ $Hy_{94} = -41943$ $H_{94} = 42101$	$Hx_{95} = -2946$ $Hy_{95} = -42313$ $H_{95} = 42416$	$Hx_{96} = -2364$ $Hy_{96} = -42706$ $H_{96} = 42771$
$Hx_{97} = -1810$ $Hy_{97} = -43181$ $H_{97} = 43219$	$Hx_{98} = -1244$ $Hy_{98} = -43747$ $H_{98} = 43761$	$Hx_{99} = -657$ $Hy_{99} = -44244$ $H_{99} = 44249$	$Hx_{100} = -3108$ $Hy_{100} = -41728$ $H_{100} = 41844$
$Hx_{101} = -5949$ $Hy_{101} = -41074$ $H_{101} = 41502$	$Hx_{102} = -4849$ $Hy_{102} = -41247$ $H_{102} = 41501$	$Hx_{103} = -3912$ $Hy_{103} = -41503$ $H_{103} = 41687$	$Hx_{104} = -3167$ $Hy_{104} = -41749$ $H_{104} = 41663$
$Hx_{105} = -2513$ $Hy_{105} = -41962$ $H_{105} = 42038$	$Hx_{106} = -1835$ $Hy_{106} = -42122$ $H_{106} = 42162$	$Hx_{107} = -1013$ $Hy_{107} = -42225$ $H_{107} = 42237$	$Hx_{108} = 0$ $Hy_{108} = -42294$ $H_{108} = 42294$
$Hx_{109} = -3004$ $Hy_{109} = -40533$ $H_{109} = 40645$	$Hx_{110} = -5650$ $Hy_{110} = -39958$ $H_{110} = 40355$	$Hx_{111} = -4381$ $Hy_{111} = -40244$ $H_{111} = 40482$	$Hx_{112} = -3320$ $Hy_{112} = -40658$ $H_{112} = 40794$
$Hx_{113} = -2504$ $Hy_{113} = -41086$ $H_{113} = 41162$	$Hx_{114} = -1853$ $Hy_{114} = -41500$ $H_{114} = 41542$	$Hx_{115} = -1312$ $Hy_{115} = -41879$ $H_{115} = 41899$	$Hx_{116} = -846$ $Hy_{116} = -42180$ $H_{116} = 42189$
$Hx_{117} = -425$ $Hy_{117} = -42331$ $H_{117} = 42333$	$Hx_{118} = -3603$ $Hy_{118} = -40319$ $H_{118} = 40480$	$Hx_{119} = -6500$ $Hy_{119} = -39473$ $H_{119} = 40005$	$Hx_{120} = -5168$ $Hy_{120} = -39591$ $H_{120} = 39927$
$Hx_{121} = -4075$ $Hy_{121} = -39767$ $H_{121} = 39975$	$Hx_{122} = -3198$ $Hy_{122} = -39898$ $H_{122} = 40026$	$Hx_{123} = -2428$ $Hy_{123} = -39946$ $H_{123} = 40020$	$Hx_{124} = -1667$ $Hy_{124} = -39925$ $H_{124} = 39960$
$Hx_{125} = -858$ $Hy_{125} = -39875$ $H_{125} = 39884$	$Hx_{126} = 0$ $Hy_{126} = -39847$ $H_{126} = 39847$	$Hx_{127} = -3219$ $Hy_{127} = -35931$ $H_{127} = 36075$	$Hx_{128} = -5446$ $Hy_{128} = -35539$ $H_{128} = 35953$
$Hx_{129} = -3592$ $Hy_{129} = -36213$ $H_{129} = 36391$	$Hx_{130} = -2164$ $Hy_{130} = -37038$ $H_{130} = 37101$	$Hx_{131} = -1171$ $Hy_{131} = -37871$ $H_{131} = 37889$	$Hx_{132} = -539$ $Hy_{132} = -38624$ $H_{132} = 38627$
$Hx_{133} = -186$ $Hy_{133} = -39235$ $H_{133} = 39236$	$Hx_{134} = -34$ $Hy_{134} = -39654$ $H_{134} = 39654$	$Hx_{135} = 0$ $Hy_{135} = -39847$ $H_{135} = 39847$	- - -

Tabelul 4.10. Inducția magnetică [T]

$Bx_1 = 0,0625$	$Bx_2 = 0,1919$	$Bx_3 = 0,3185$	$Bx_4 = 0,4272$
$By_1 = 0,0333$	$By_2 = 0,0072$	$By_3 = -0,0712$	$By_4 = -0,1963$
$B_1 = 0,0708$	$B_2 = 0,1920$	$B_3 = 0,3264$	$B_4 = 0,4702$
$Bx_5 = 0,4968$	$Bx_6 = 0,5091$	$Bx_7 = 0,4494$	$Bx_8 = 0,3330$
$By_5 = -0,3607$	$By_6 = -0,5459$	$By_7 = -0,7196$	$By_8 = -0,8566$
$B_5 = 0,6140$	$B_6 = 0,7465$	$B_7 = 0,8483$	$B_8 = 0,9190$
$Bx_9 = 0,1760$	$Bx_{10} = 0,0722$	$Bx_{11} = 0,2208$	$Bx_{12} = 0,2620$
$By_9 = -0,9400$	$By_{10} = -0,0430$	$By_{11} = -0,0430$	$By_{12} = 0,$
$B_9 = 0,9553$	$B_{10} = 0,0742$	$B_{11} = 0,2250$	$B_{12} = 0,3944$
$Bx_{13} = 0,4619$	$Bx_{14} = 0,4942$	$Bx_{15} = 0,4503$	$Bx_{16} = 0,2422$
$By_{13} = -0,3331$	$By_{14} = -0,5453$	$By_{15} = -0,7213$	$By_{16} = 0,$
$B_{13} = 0,5695$	$B_{14} = 0,7246$	$B_{15} = 0,8503$	$B_{16} = 0,9490$
$Bx_{17} = 0,1867$	$Bx_{18} = 0,0000$	$Bx_{19} = 0,1115$	$Bx_{20} = 0,3206$
$By_{17} = -1,0011$	$By_{18} = -1,0549$	$By_{19} = 0,1586$	$By_{20} = 0,1303$
$B_{17} = 1,0184$	$B_{18} = 1,0549$	$B_{19} = 0,1939$	$B_{20} = 0,3461$
$Bx_{21} = 0,4926$	$Bx_{22} = 0,6159$	$Bx_{23} = 0,6759$	$Bx_{24} = 0,6574$
$By_{21} = 0,0114$	$By_{22} = -0,1585$	$By_{23} = -0,3621$	$By_{24} = -0,5768$
$B_{21} = 0,4928$	$B_{22} = 0,6359$	$B_{23} = 0,7668$	$B_{24} = 0,8746$
$Bx_{25} = 0,5693$	$Bx_{26} = 0,4185$	$Bx_{27} = 0,2206$	$Bx_{28} = 0,1299$
$By_{25} = -0,7773$	$By_{26} = -0,9370$	$By_{27} = -1,0346$	$By_{28} = 0,1145$
$B_{25} = 0,9635$	$B_{26} = 1,0262$	$B_{27} = 1,0578$	$B_{28} = 0,1732$
$Bx_{29} = 0,3753$	$Bx_{30} = 0,5543$	$Bx_{31} = 0,6494$	$Bx_{32} = 0,6519$
$By_{29} = 0,0308$	$By_{30} = -0,1315$	$By_{31} = -0,3419$	$By_{32} = -0,5703$
$B_{29} = 0,3766$	$B_{30} = 0,5697$	$B_{31} = 0,7339$	$B_{32} = 0,8661$
$Bx_{33} = 0,5774$	$Bx_{34} = 0,4330$	$Bx_{35} = 0,2327$	$Bx_{36} = 0,0000$
$By_{33} = -0,7918$	$By_{34} = -0,9797$	$By_{35} = -1,1100$	$By_{36} = -1,1667$
$B_{33} = 0,9799$	$B_{34} = 1,0711$	$B_{35} = 1,1341$	$B_{36} = 1,1667$
$Bx_{37} = 0,0256$	$Bx_{38} = 0,0748$	$Bx_{39} = 0,1192$	$Bx_{40} = 0,1520$
$By_{37} = 0,2861$	$By_{38} = 0,2750$	$By_{39} = 0,2523$	$By_{40} = 0,2142$
$B_{37} = 0,2873$	$B_{38} = 0,2850$	$B_{39} = 0,2790$	$B_{40} = 0,2626$
$Bx_{41} = 0,1686$	$Bx_{42} = 0,1666$	$Bx_{43} = 0,1458$	$Bx_{44} = 0,1083$
$By_{41} = 0,1658$	$By_{42} = 0,1139$	$By_{43} = 0,0652$	$By_{44} = 0,0262$
$B_{41} = 0,2365$	$B_{42} = 0,2018$	$B_{43} = 0,1597$	$B_{44} = 0,1115$
$Bx_{45} = 0,0580$	$Bx_{46} = 0,0265$	$Bx_{47} = 0,0761$	$Bx_{48} = 0,1192$
$By_{45} = 0,0022$	$By_{46} = 0,2835$	$By_{47} = 0,2680$	$By_{48} = 0,2331$
$B_{45} = 0,0581$	$B_{46} = 0,2847$	$B_{47} = 0,2785$	$B_{48} = 0,2618$
$Bx_{49} = 0,1467$	$Bx_{50} = 0,1548$	$Bx_{51} = 0,1421$	$Bx_{52} = 0,1098$
$By_{49} = 0,1842$	$By_{50} = 0,1279$	$By_{51} = 0,0715$	$By_{52} = 0,0223$
$B_{49} = 0,2355$	$B_{50} = 0,2008$	$B_{51} = 0,1591$	$B_{52} = 0,1120$

$Bx_{53} = 0,0608$ $By_{53} = -0,0137$ $B_{53} = 0,0623$	$Bx_{54} = 0,0000$ $By_{54} = -0,0313$ $B_{54} = 0,0313$	$Bx_{55} = 0,0288$ $By_{55} = 0,3097$ $B_{55} = 0,3110$	$Bx_{56} = 0,0837$ $By_{56} = 0,2967$ $B_{56} = 0,3083$
$Bx_{57} = 0,1369$ $By_{57} = 0,2711$ $B_{57} = 0,3037$	$Bx_{58} = 0,1761$ $By_{58} = 0,2261$ $B_{58} = 0,2865$	$Bx_{59} = 0,1960$ $By_{59} = 0,1691$ $B_{59} = 0,2588$	$Bx_{60} = 0,1940$ $By_{60} = 0,1078$ $B_{60} = 0,2219$
$Bx_{61} = 0,1701$ $By_{61} = 0,0504$ $B_{61} = 0,1771$	$Bx_{62} = 0,1268$ $By_{62} = 0,0040$ $B_{62} = 0,1268$	$Bx_{63} = 0,0684$ $By_{63} = -0,0253$ $B_{63} = 0,0729$	$Bx_{64} = 0,0298$ $By_{64} = -0,3062$ $B_{64} = 0,3076$
$Bx_{65} = 0,0814$ $By_{65} = 0,2902$ $B_{65} = 0,3042$	$Bx_{66} = 0,1353$ $By_{66} = 0,2496$ $B_{66} = 0,2839$	$Bx_{67} = 0,1676$ $By_{67} = 0,1929$ $B_{67} = 0,2555$	$Bx_{68} = 0,1773$ $By_{68} = 0,1277$ $B_{68} = 0,2483$
$Bx_{69} = 0,1631$ $By_{69} = 0,0626$ $B_{69} = 0,1747$	$Bx_{70} = 0,1262$ $By_{70} = 0,0055$ $B_{70} = 0,1263$	$Bx_{71} = 0,0703$ $By_{71} = -0,0365$ $B_{71} = 0,0792$	$Bx_{72} = 0,0000$ $By_{72} = 0,0581$ $B_{72} = 0,0581$
$Bx_{73} = -0,0141$ $By_{73} = 0,3106$ $B_{73} = 0,3109$	$Bx_{74} = 0,0175$ $By_{74} = 0,3426$ $B_{74} = 0,3430$	$Bx_{75} = 0,0287$ $By_{75} = 0,3315$ $B_{75} = 0,3328$	$Bx_{76} = 0,0357$ $By_{76} = 0,3254$ $B_{76} = 0,3274$
$Bx_{77} = 0,0402$ $By_{77} = 0,3176$ $B_{77} = 0,3202$	$Bx_{78} = 0,0431$ $By_{78} = 0,3081$ $B_{78} = 0,3111$	$Bx_{79} = 0,0454$ $By_{79} = 0,2925$ $B_{79} = 0,2960$	$Bx_{80} = 0,0487$ $By_{80} = 0,2637$ $B_{80} = 0,2682$
$Bx_{81} = 0,0556$ $By_{81} = 0,2030$ $B_{81} = 0,2105$	$Bx_{82} = 0,0538$ $By_{82} = 0,3309$ $B_{82} = 0,3353$	$Bx_{83} = 0,0179$ $By_{83} = 0,3404$ $B_{83} = 0,3409$	$Bx_{84} = 0,0281$ $By_{84} = 0,3370$ $B_{84} = 0,3382$
$Bx_{85} = 0,0356$ $By_{85} = 0,3292$ $B_{85} = 0,3311$	$Bx_{86} = 0,0402$ $By_{86} = 0,3190$ $B_{86} = 0,3215$	$Bx_{87} = 0,0430$ $By_{87} = 0,3075$ $B_{87} = 0,3105$	$Bx_{88} = 0,0459$ $By_{88} = 0,2960$ $B_{88} = 0,2995$
$Bx_{89} = 0,0531$ $By_{89} = 0,2867$ $B_{89} = 0,2916$	$Bx_{90} = 0,0745$ $By_{90} = 0,2807$ $B_{90} = 0,2904$	$Bx_{91} = -0,0204$ $By_{91} = 0,3351$ $B_{91} = 0,3357$	$Bx_{92} = 0,0207$ $By_{92} = 0,3555$ $B_{92} = 0,3561$
$Bx_{93} = 0,0312$ $By_{93} = 0,3499$ $B_{93} = 0,3513$	$Bx_{94} = 0,0395$ $By_{94} = 0,3421$ $B_{94} = 0,3444$	$Bx_{95} = 0,0458$ $By_{95} = 0,3332$ $B_{95} = 0,3364$	$Bx_{96} = 0,0512$ $By_{96} = 0,3232$ $B_{96} = 0,3272$
$Bx_{97} = 0,0563$ $By_{97} = 0,3102$ $B_{97} = 0,3153$	$Bx_{98} = 0,0617$ $By_{98} = 0,2939$ $B_{98} = 0,3003$	$Bx_{99} = 0,0676$ $By_{99} = 0,2788$ $B_{99} = 0,2868$	$Bx_{100} = 0,0449$ $By_{100} = 0,3483$ $B_{100} = 0,3512$
$Bx_{101} = 0,0187$ $By_{101} = 0,3598$ $B_{101} = 0,3603$	$Bx_{102} = 0,0290$ $By_{102} = 0,3577$ $B_{102} = 0,3589$	$Bx_{103} = 0,0375$ $By_{103} = 0,3529$ $B_{103} = 0,3549$	$Bx_{104} = 0,0444$ $By_{104} = 0,3477$ $B_{104} = 0,3505$

$Bx_{105} = 0,0504$	$Bx_{106} = 0,0568$	$Bx_{107} = 0,0647$	$Bx_{108} = 0,0745$
$By_{105} = 0,3429$	$By_{106} = 0,3393$	$By_{107} = 0,3371$	$By_{108} = 0,3355$
$B_{105} = 0,3466$	$B_{106} = 0,3441$	$B_{107} = 0,3433$	$B_{108} = 0,3437$
$Bx_{109} = -0,0273$	$Bx_{110} = 0,0238$	$Bx_{111} = 0,0350$	$Bx_{112} = 0,0442$
$By_{109} = 0,3772$	$By_{110} = 0,3863$	$By_{111} = 0,3820$	$By_{112} = 0,3740$
$B_{109} = 0,3782$	$B_{110} = 0,3870$	$B_{111} = 0,3836$	$B_{112} = 0,3766$
$Bx_{113} = 0,0513$	$Bx_{114} = 0,0571$	$Bx_{115} = 0,0620$	$Bx_{116} = 0,0663$
$By_{113} = 0,3712$	$By_{114} = 0,3552$	$By_{115} = 0,3494$	$By_{116} = 0,3394$
$B_{113} = 0,3734$	$B_{114} = 0,3598$	$B_{115} = 0,3471$	$B_{116} = 0,3443$
$Bx_{117} = 0,0704$	$Bx_{118} = 0,0420$	$Bx_{119} = 0,0169$	$Bx_{120} = 0,0288$
$By_{117} = 0,3713$	$By_{118} = 0,3814$	$By_{119} = 0,3951$	$By_{120} = 0,3951$
$B_{117} = 0,3413$	$B_{118} = 0,3837$	$B_{119} = 0,3955$	$B_{120} = 0,3961$
$Bx_{121} = 0,0084$	$Bx_{122} = 0,0461$	$Bx_{123} = 0,0530$	$Bx_{124} = 0,0597$
$By_{121} = 0,3979$	$By_{122} = 0,3911$	$By_{123} = 0,3908$	$By_{124} = 0,3917$
$B_{121} = 0,3948$	$B_{122} = 0,3938$	$B_{123} = 0,3943$	$B_{124} = 0,3962$
$Bx_{125} = 0,0669$	$Bx_{126} = 0,0745$	$Bx_{127} = -0,0252$	$Bx_{128} = 0,0320$
$By_{125} = 0,3931$	$By_{126} = 0,3938$	$By_{127} = 0,4638$	$By_{128} = 0,4678$
$B_{125} = 0,3988$	$B_{126} = 0,4008$	$B_{127} = 0,4645$	$B_{128} = 0,4689$
$Bx_{129} = 0,0461$	$Bx_{130} = 0,0571$	$Bx_{131} = 0,0648$	$Bx_{132} = 0,0699$
$By_{129} = 0,4591$	$By_{130} = 0,4465$	$By_{131} = 0,4324$	$By_{132} = 0,4185$
$B_{129} = 0,4614$	$B_{130} = 0,4501$	$B_{131} = 0,4372$	$B_{132} = 0,4243$
$Bx_{133} = 0,0729$	$Bx_{134} = 0,0742$	$Bx_{135} = 0,0745$	-
$By_{133} = 0,4065$	$By_{134} = 0,3979$	$By_{135} = 0,3938$	-
$B_{133} = 0,4130$	$B_{134} = 0,4048$	$B_{135} = 0,4008$	-

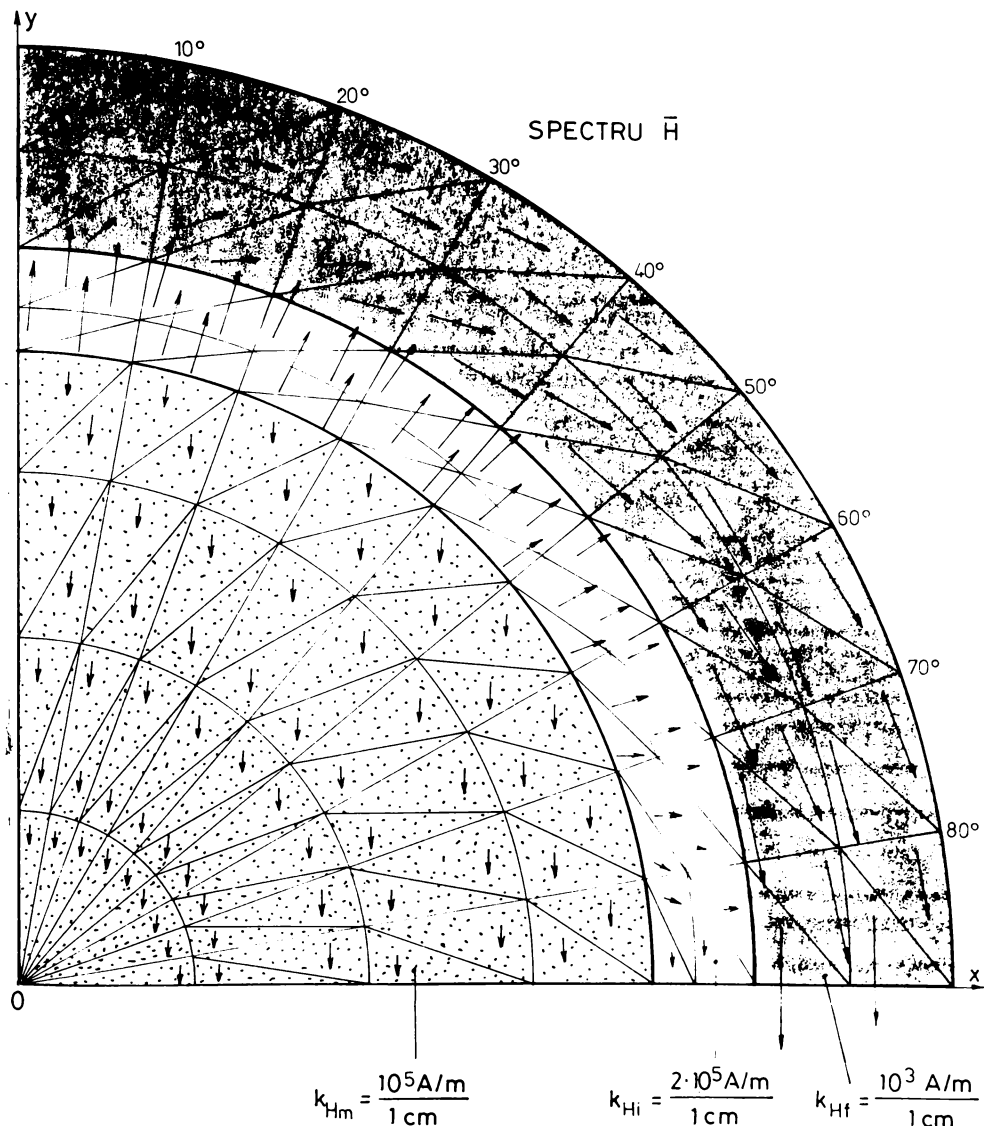


Fig. 4.11

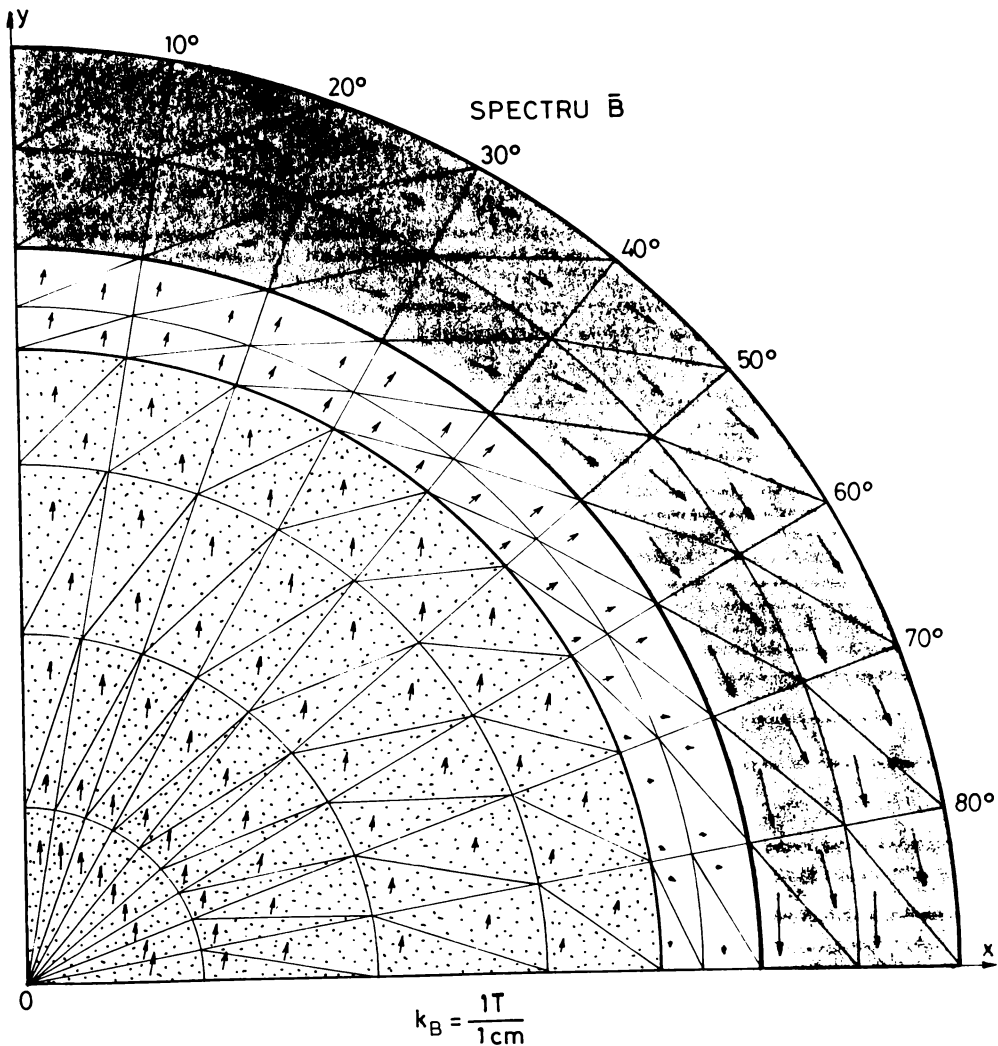


Fig. 4.12

**Capitolul 5**  
**VERIFICĂRI DE CALCUL ȘI EXPERIMENTALE.**  
**REALIZAREA UNUI RELEU CU SENSIBILITATE MĂRITĂ**

În acest capitol sunt prezentate verificările de calcul și experimentale ale rezultatelor numerice obținute prin rezolvarea problemei de câmp magnetic la releu magnet permanent cilindric. Îmbunătățirea performanțelor releului s-a obținut prin utilizarea concluziilor ce decurg din interpretarea rezultatelor numerice de calcul (par. 4.1.4, 4.2.4, și 5.2.1). De asemenea, se prezintă și varianta de releu cu sensibilitate marită realizată practic - corolar ce verifică valabilitatea programelor numerice elaborate.

### **5.1. VERIFICĂRI DE CALCUL ȘI EXPERIMENTALE**

În sistemele cu magneți permanenți ca sursă de câmp  $\oint \vec{H} \cdot d\vec{l} = 0$ , în conformitate cu legea circuitului magnetic. După calcularea lui  $\vec{H}$  în toate elementele finite ale domeniului, se poate verifica relația de mai sus. Programele numerice elaborate conțin instrucțiuni în acest sens, verificarea realizându-se prin intermediul acestora.

Astfel, cu referire la rețeaua de elemente finite prezentată în figura 4.8, s-au ales - pentru exemplificare - două trasee (curbe) închise pentru care se calculează integrala de linie a intensității câmpului magnetic (fig. 5.1): traseul 1 ( $\Gamma_1$ ) și traseul 2 ( $\Gamma_2$ ). Desigur, acestea se pot schimba sau pot fi completate cu altele, la alegere, prin modificarea datelor de intrare ale programelor numerice. Ambele trasee prezentate sunt fixate astfel încât să parcurgă toate cele trei zone specifice ale releului: inelul feromagnetic, întrefierul și magnetul permanent. Un traseu închis de integrare este format din reuniunea segmentelor ce unesc mijloacele laturilor elementelor finite întâlnite pe drumul ales.

În condițiile stabilite la paragraful 3.2, privind aproximarea funcției potențiale  $V_{H_A}$ , în punctele unui element finit intensitatea câmpului magnetic este constantă.

Deci, integrala pe un traseu închis oarecare ( $\Gamma$ ) poate fi calculată cu relația

$$\oint_{\Gamma} \bar{H} \cdot d\bar{l} = \sum_{(\lambda)} \left\{ \oint_{(l_{(\lambda)})} \bar{H}_{(\lambda)} \cdot d\bar{l} \right\} = \sum_{(\lambda)} \left\{ (H_x)_{(\lambda)} \cdot (l_x)_{(\lambda)} + (H_y)_{(\lambda)} \cdot (l_y)_{(\lambda)} \right\}. \quad (5.1)$$

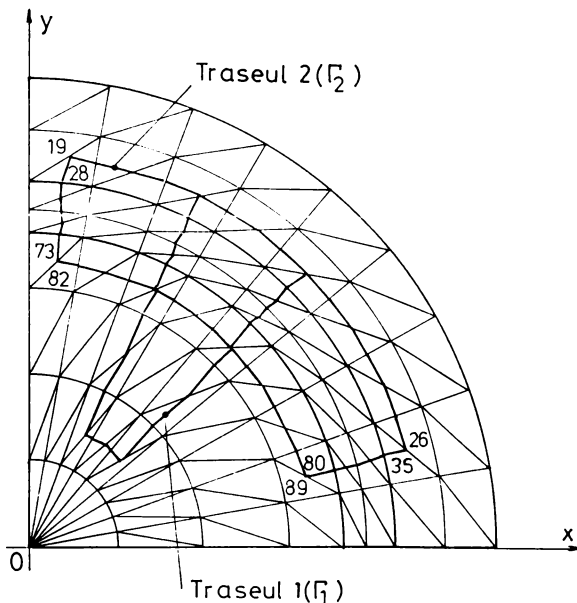


Fig.5.1

Din motive legate de claritatea desenului, în figura 5.1 nu s-a trecut numerotarea pentru toate elementele finite, dar aceasta este identică cu cea precizată în figura 4.8.

Pentru a avea o mărime de comparație în vederea determinării unei erori relative, în program se calculează și suma modulelor căderilor de tensiune magnetică pe segmentele determinate de traseul închis. Astfel, referitor la datele de intrare precizate la paragraful 4.2.4.c, integrala pe curba închisă (GAMA), suma modulelor căderilor de tensiune pe aceeași curbă (GAMAMOD) și ponderea primeia față de a doua (ERRTMAG) au rezultat:

- pentru traseul 1:

$GAMA = -0,719 \cdot 10^4$  A;  $GAMAMOD = 0,1211221 \cdot 10^4$  A;  $ERRTMAG = 0,593 \cdot 10^{-5}$  %;

- pentru traseul 2:

$$\text{GAMA} = -0,134 \cdot 10^3 \text{ A}; \text{ GAMAMOD} = 0,9009033 \cdot 10^3 \text{ A}; \text{ ERRTMAG} = 0,149 \cdot 10^{-4} \text{ %}.$$

Aceste mărimi sunt rezultate ale programelor de calcul, deci sunt accesibile pentru fiecare rulare, valorile de mai sus constituind doar unul din exemplele concrete. Se face precizarea că pentru alte trasee închise considerate, la care GAMAMOD este de ordinul de mărime ( $10^3 - 10^4$ ) A, integrala de linie a intensității câmpului magnetic rezultă, de asemenea, practic nul (adică în medie  $10^3 - 10^5$  A), în toate variantele și sunt abordate în capitolul ... și verifică astfel legea circuitului magnetic cu valoarea unităților ale intensității câmpului din elementele finite ale domeniului de studiu ( $\bar{H}_\lambda$ ;  $\lambda = 1.1m$ ).

Pe lângă verificarea prin calcul prezentată mai sus, rezultatele obținute prin programele numerice au fost verificate și prin determinări experimentale. S-a măsurat inducția magnetică în întrefier, utilizând un teslametru cu sondă Hall. Astfel, în varianta de calcul al câmpului în exteriorul magnetului (par. 4.1) s-a măsurat componenta normală a inducției magnetice la suprafața de separație dintre întrefier și inelul feromagnetic. S-a ales această variantă deoarece componenta normală a inducției magnetice se poate măsura prin așezarea sondei teslametrului strâns lipită de suprafața inelului feromagnetic, pe față acentrică cu înțepătătoare. Pentru varianta indusă în reuniunea de la inel feromagnetic din OL 37, componentele normale se determină pe baza valorilor din tabelele 4.3 sau 4.4, carora le corespund (v. curba de magnetizare din fig. 2.12) valori pentru permeabilitatea relativă între (100 - 1000). Cum între valorile inducției magnetice din elementele întrefierului nu sunt diferențe mari în cele două tabele, la calculul componentei normale se vor utiliza datele din tabelul 4.4. În aceste condiții, rezultatele comparative sunt prezentate în tabelul 5.1, iar evoluția lor grafică în figura 5.2. În elementele finite 44 și 45, din cauza piesei de prindere, nu este acces pentru plasarea sondei teslametrului, deci nu se poate măsura inducția magnetică.

Se face precizarea că la stabilirea valorilor inducției prin măsurare intervin și erori legate de poziționarea sondei teslametrului, cu referire la coordonatele punctului în care se așează centrul placutei Hall, precum și orientarea acesteia în câmp. De asemenea, atunci când se abordează problema erorilor, trebuie avută în vedere și precizia cu care se pot determina mărimele reale de intrare în programul numeric de calcul. Astfel, curba de magnetizare a inelului feromagnetic, respectiv cea de demagnetizare a magnetului

Tabelul 5.1

Elementul Inducția		37	38	39	40	41	42	43
$B_n$ [mT]	măsurat	137	134	127	123	112	92	74
	calculat	133	132	128	120	108	93	76
erorile (%)	-2,9	-1,5	+0,8	-2,1	-3,6	+1,1	+2,7	

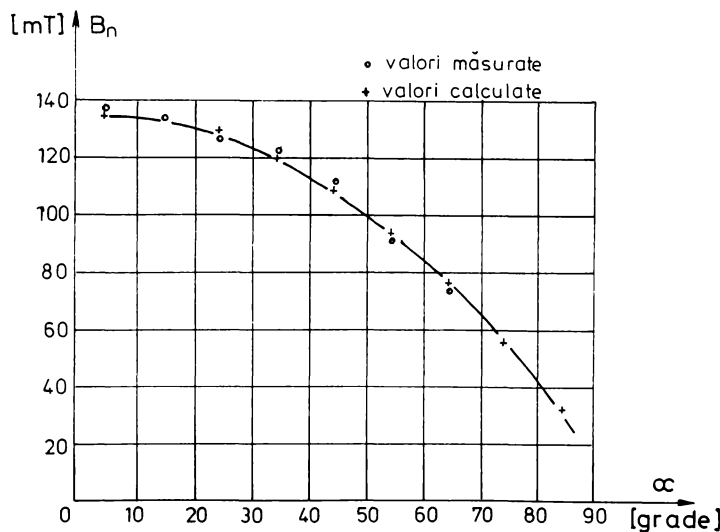


Fig.5.2

permanent se stabilesc utilizând probe de construcție specială și nu elementele în discuție. În acest caz, este evident fapul că pot exista diferențe între curbele reale și cele considerate în programul de calcul, care, în final, să conduca la erori suplimentare. Un alt element care intervine este legat de cunoașterea valorilor reale ale magnetizației permanente în magnetul permanent. Însă, cu o anumita experiență în domeniu, se pot reduce foarte mult aceste erori suplimentare. În acest sens, se va avea în vedere ca

realizarea elementelor componente să se facă din șarje identice cu cele din care s-au construit probele. De asemenea, la magnetizare se vor utiliza numai instalații foarte bine cunoscute și se vor respecta instrucțiunile în materie (v. și par. 1.3).

În ceea ce privește componentele normale ale inducției magnetice, considerate cu trei cifre semnificative, prin programele numerice se obțin - pentru toate elementele finite de la suprafața de separație dintre întrefier și inelul feromagnetic - valori egale cu modulul inducției. Din aceasta rezultă că valoarea inducției magnetice calculați sunt practic perpendiculare pe suprafața inelului feromagnetic, ceea ce este în concordanță cu teorema refracției liniilor de câmp magnetic. Această verificare este satisfăcută pentru toate variantele concrete rulate, inclusiv cea prezentată la paragraful 4.2.4.c. și pentru acest caz, componentele normale pe suprafața inelului feromagnetic, în elementele finite (37 - 45), rezultă identice (la trei cifre semnificative) cu modulele inducției magnetice din aceleași elemente (tab. 4.10).

De asemenea, dacă se urmăresc spectrele vectorilor  $\bar{H}$  și  $\bar{B}$ , reprezentate la scară în figurile 4.11 și 4.12, se constată o distribuție "normală", calitativ intuită înainte de calcule. În acest sens se fac precizările:

- în magnetul permanent, vectorul intensitate a câmpului magnetic  $\bar{H}$  este opus vectorului inducție magnetică  $\bar{B}$ ;
- în întrefier având în vedere și direcția de magnetizare, atât  $\bar{H}$  cât și  $\bar{B}$  au valori din ce în ce mai mici pe măsură ce ne departăm de axa Oy; în apropierea axei Ox rezultă valori practic neglijabile față de valorile din celelalte elemente ale întrefierului;
- în inelul feromagnetic, aşa cum era de așteptat, apare o concentrare de flux magnetic în apropierea axei Ox; cum grosimea inelului este constantă,  $\bar{H}$  și  $\bar{B}$  au valori din ce în ce mai mari în puncte situate mai aproape de axa Ox;
- se știe că intensitatea câmpului magnetic trebuie să aibă valori mai mari în întrefier decât în magnetul permanent, respectiv în inelul feromagnetic. Comparând datele, rezultă în elementele întrefierului (37 - 72) o intensitate a câmpului magnetic cu un ordin de mărime (într-o exprimare medie) mai mare decât în elementele magnetului permanent (73 - 135), respectiv cu două ordine de mărime mai mare decât în elementele inelului feromagnetic (1 - 36). Aceste rapoarte sunt normale dacă comparăm permeabilită-

țile relative din cele trei zone. Asfel, din tabelul 4.8 rezulta o permeabilitate relativă în întregime cu un ordin de mărime mai mică decât în magnet, respectiv cu două ordine de mărime mai mică decât în inelul feromagnetic.

## 5.2. REALIZAREA UNUI RELEU CU SENSIBILITATE MĂRITĂ, CU MAGNET PERMANENT CILINDRIC

În vederea asimilării fabricației în țară a releului magnetolectric cu sensibilitate mare, s-a impus o analiză atentă a influenței tuturor factorilor care pot conduce la un curent de acționare mai mic. În acest sens, păstrând principial geometria cilindrică prezentată în figura 4.1, s-a considerat magnetul permanent de diverse calități, cu curba de magnetizare liniară, respectiv neliniară. De asemenea, s-a ținut seama și de neliniaritatea materialului din care s-a construit inelul feromagnetic. Aceasta, deoarece la magneți de calitate mai bună, în diverse subdomenii ale inelului pot să apara inducții magnetice de valori corespunzătoare zonei pronunțat neliniare a curbei de magnetizare. Pentru a stabili varianta optimă privind materialul și dimensiunile pieselor de prindere a magnetului permanent în raport cu inelul feromagnetic, s-a făcut o analiză și în acest sens. Având în vedere cele de mai sus, s-a rulat un număr mare de variante de calcul, iar pe baza rezultatelor obținute s-au identificat direcțiile care trebuie urmate pentru a obține un releu performant (v. par. 5.2.1). Acționându-se în aceste direcții, s-a realizat releul cu sensibilitate mare (v. par. 5.2.2), utilizându-se în construcția acestuia materiale de calitate comparabilă cu cele din releul aflat în fabricația de serie înainte de aplicarea studiului. Pe lângă verificările cantitative anterior prezentate, s-a obținut astfel și o confirmare globală a corectitudinii metodologiei de calcul utilizate. Acesta este contextul în care se prezintă realeului cu sensibilitate mare în capitolul ce conține verificări de calcul și experimentale.

### 5.2.1 Direcții de creștere a sensibilității realeului

În paragraful 4.2.4 s-a analizat influența pieselor de prindere și calitatea

materialului inelului feromagnetic asupra inducției din întrefier, deci implicit asupra sensibilității releului. Pe lângă concluziile desprinse din acestea (se recomandă un sistem de prindere neferomagnetic), pentru creșterea inducției magnetice în întrefier pot fi avute în vedere și alte posibilități, cum ar fi îmbunătățirea calității materialului din care este confectionat magnetul permanent sau reducerea dimensiunilor întrefierului.

Alegerea unui material superior pentru magnetul permanent conduce la creșterea inducției magnetice în întrefier, deci și a sensibilității releului. Dacă geometria elementelor relee cu dimensiunile și materialul considerate la varianta 4.2.4.a și piesa se prendere neferomagnetică, dar cu un magnet permanent mai bun ( $B_r = 0,3$  T față de  $B_r = 0,16$  T), inducția magnetică în întreținutore și elemente finite în care este situată coildina releeului, valorile inducției sunt date în tabelul 5.2. Valoarea medie a componentelor radiale ale inducției magnetice din elementele întrefierului ocupate de bobina releeului, marime ce intervine în expresia cuplului activ (v. rel. 4.20), este  $B_p = 0,2225$  T, față de  $B_p = 0,1183$  T pentru  $B_r = 0,16$  T. Într-un alt exemplu considerat s-a luat  $B_r = 0,6$  T. Inducția magnetică are valorile din tabelul 5.3, iar componenta radială medie  $B_p = 0,4430$  T.

Tabelul 5.2

Element finit Inducția magnetică	37	38	46	47	55	56	64	65
Bx [mT]	20	59	22	61	24	69	25	71
By [mT]	228	218	224	206	247	235	243	222
B [mT]	229	226	225	215	248	245	244	233

Din exemplele considerate se constată că modificarea calității magnetului permanent - la geometrie aleasă - conduce la modificări semnificative ale inducției magnetice în întrefier, ale cuplului activ, deci ale performanțelor releeului. De exemplu,

dacă se consideră bobina releului cu un număr dat ( $N$ ) de spire, cu o suprafață echivalentă de calculată ( $S_e$ ), în cazul utilizării unui magnet cu  $B_r = 0,3$  T, curentul de acționare al releului (I) se reduce la 53,2 % din curentul de acționare pentru cazul inițial, când  $B_r = 0,16$  T; pentru  $B_r = 0,6$  T, curentul se reduce la 26,7 % față de cazul inițial. Este foarte evident că pe această cale se poate acționa, cu rezultate bune, asupra scăderii curentului de acționare al releului. Dificultatea aplicării practice a acestei variante este legată de posibilitatea de a dispune de magneți permanenti de calitate superioară, la care se adaugă neajunsul unei preț de cost mare. În asemenea condiții, orice altă direcție de acțiune pentru creșterea sensibilității releului nu poate fi neglijată.

Tabelul 5.3

Element finit Inducția magnetică	37	38	46	47	55	56	64	65
Bx [mT]	40	118	43	122	47	138	50	140
By [mT]	455	434	447	410	493	469	484	442
B [mT]	456	450	449	428	495	489	487	464

Reducerea dimensiunilor radiale ale întrefierului are influența favorabilă asupra creșterii inducției magnetice, dar este cu aplicabilitate limitată. Deoarece în întrefier se plasează bobina (mobila) a releului, dimensiunile acestuia nu pot fi reduse sub o anumită limită, strict corelată cu grosimea bobinei. Această variantă merită, totuși, să fie menționată. Astfel, dacă se reduce întrefierul cu numai 0,5 mm (adică  $\delta = 1,25$  mm, față de 1,75 mm, cât era în exemplele anterioare), pentru un magnet cu  $B_r = 0,30$  T, noile valori ale inducției magnetice (tab. 5.4) și cuplul activ (rel. 5.2) sunt mai mari (rezultând componenta  $B_o = 0,2349$  T). Dacă se compară rezultatele obținute, pentru o reducere a întrefierului cu 0,5 mm rezulta o creștere a cuplului activ cu 5,6 %. Prin urmare, trebuie avut în vedere ca bobina releului să fie cat mai plată, pentru a solicita un întrefier minim după direcție radială.

Tabelul 5.4

Element finit Inducția magnetică	37	38	46	47	55	56	64	65
Bx [mT]	22	63	23	64	24	70	25	71
By [mT]	244	233	240	221	258	246	254	233
B [mT]	245	241	241	230	259	256	255	243

$$C = 0,2349 \cdot N \cdot I \cdot S_e \quad (5.2)$$

Analizând expresia cuplului activ ce acționează asupra bobinei (rel. 4.20 și 5.2), se constată că pentru creșterea sensibilității releului se poate acționa nu numai prin intermediul elementelor care conduc la o inducție magnetică în întregier mai mare, deci o componentă  $B_\phi$  mai mare. Astfel, se poate interveni și asupra numărului de spire N și suprafeței  $S_e$  ale bobinei. Însă, o creștere a numărului de spire presupune un întregier mai mare, care conduce la o inducție mai mică. De asemenea, mărirea dimensiunilor geometrice ale bobinei, în vederea creșterii suprafeței  $S_e$ , conduce implicit la mărirea dimensiunilor întregului releu, deci material mai mult și costuri mai mari. Prin urmare, modificarea marimilor constructive N și  $S_e$  sunt efecte contradictorii, iar alegerea lor potrivită se face printr-o optimizare a releului în ansamblu - acțiune posibilă prin rezolvarea problemei de câmp.

### 5.2.2 Variante realizate

Într-o prima etapă a asimilării fabricației în țara a releului cu magnet permanent, în baza unui studiu de principiu [115], la C.I.R.E. București, Laborator Deva s-au realizat relee cu magnet permanent cilindric în mai multe variante privind curentul de acționare. Cel mai mic curent de acționare la care s-a ajuns a fost 50  $\mu$ A. Ulterior, producerea industrială a releului a fost trecută la S.C. Relee S.A. Mediaș.

Deoarece în protecțiile din sistemul energetic național și în alte scheme de automatizare se solicita un releu magnetoelectric cu curent de acționare mai mic de  $50 \mu\text{A}$ , a apărut problema realizării releului cu sensibilitate sporită. Aceasta a constituit tematica unui contract de cercetare [10] între U.T. Timișoara și S.C. Relee Mediaș. Reducerea curentului de acționare sub  $50 \mu\text{A}$  parea o problemă foarte dificilă, deoarece nu era accesibil un material de calitate mult superioară pentru fabricarea magnetului permanent. În aceste condiții, prin determinarea pe cale numerică a câmpului în releu s-au identificat direcțiile în care se poate acționa (v. par. 5.2.1). Pe baza acestora, utilizând un material relativ obișnuit pentru magnetul permanent (ALNICO, produs de Electromagnetică S.A. București) s-a realizat o îmbunătățire substanțială a sensibilității releului. Astfel, în ultima și cea mai bună variantă, prototipul realizat în colaborare cu S.C. Relee S.A. Mediaș are curentul de acționare  $10,1 \mu\text{A}$  - cu resursele antagoniste de același tip -, adică un curent de 4,95 ori mai mic decât al variantei inițiale de  $50 \mu\text{A}$ . De asemenea, cu un coeficient de revenire măsurat  $k_{rev} = 0,9$ , sunt îndeplinite și prevederile normelor în acest domeniu.

## CONCLUZII

Rezultatele acestui studiu pot fi grupate în două direcții principale:

- A. Dezvoltarea calculului numeric al sistemelor cu magneți permanenți;
- B. Analiza și creșterea performanțelor unor sisteme concrete cu magneți permanenți (relee magnetoelectrice), utilizate în protecțiile sistemului energetic sau în alte scheme de automatizare.

Principalele contribuții originale ale autorului în cadrul celor două grupe de probleme sunt:

**A.1.** Definirea unei permeabilități relative pentru magneți permanenți, prin care se ține seama în mod avantajos de neliniaritatea curbei de demagnetizare a zonelor cu magnetizație permanentă, deci o mărime utilă în programele numerice elaborate.

**A.2.** Stabilirea automată, prin program de calcul, a punctului de funcționare, folosind unele scheme echivalente, pentru sisteme cu magneți permanenți ce utilizează materiale liniare sau neliniare. Avantajul conferit de îmbinarea dintre simplitatea și caracterul intuitiv al schemelor echivalente cu rapiditatea și precizia rezultate prin utilizarea calculatorului face ca această abordare a circuitelor magnetice să capete valențe noi.

**A.3.** Pentru determinarea mai exactă a mărimilor de stare ale câmpului magnetic, se dezvoltă și se aplică un calcul numeric bazat pe metoda elementelor finite. În acest context, expresia generală a funcționalei aferente determinării câmpului magneților permanenți se prelucrează și se aduce la o formă adecvată scopului urmărit. Se ia în considerare cazul general, când domeniul în care se rezolvă problema de câmp este neomogen, neliniar și anizotrop, cu și fără magnetizație permanentă. Funcționala se exprimă în raport cu potențialul magnetic scalar și se stabilesc termenii acesteia pentru subdomeniile fără magneți permanenți, respectiv cu magneți permanenți.

**A.4.** Prin procesul de minimizare a funcționalei, se obțin ecuațiile specifice metodei elementelor finite pentru toate tipurile de noduri din rețeaua de discretizare a domeniului de studiu.

**A.5.** Se stabilesc combinațiile de funcții analitice care aproximează curbele de magnetizare neliniare - specifice materialelor din care se confectionează jugurile feromagnetice, respectiv curbele neliniare de demagnetizare - specifice magneților permanenți utilizați.

**A.6.** Elaborarea de programe numerice - în întregime originale - și utilizarea acestora la calculul câmpului magnetic pentru sisteme concrete cu magneți permanenți (relee cu magneți cilindrici). S-au conceput programe numerice de rezolvare a problemei de câmp pentru sisteme liniare și neliniare, în cel de-al doilea caz ținându-se seama atât de neliniaritatea jugurilor feromagnetice cât și aceea a magneților permanenți. Programele elaborate de autor permit determinarea mărimilor de stare ale câmpului magnetic, precum și alte mărimi globale de interes, atât în exteriorul cât și în interiorul magneților permanenți. Posibilitatea determinării prin calcul a mărimilor de stare și în interiorul magnetului permanent permite utilizarea metodei și în faza de proiectare a sistemelor, plecând de la materiale cu proprietăți date, fără a fi nevoie să se măsoare condiții pe frontieră determinată de suprafața magnetului.

**B.1.** Pe baza rezultatelor din programele numerice de calcul - rulate pentru diverse variante - autorul face o analiză detaliată referitoare la materialul și dimensiunile sistemului de prindere al magnetului din releele magnetoelectric cilindric - varianta stabilită în vederea asimilării fabricației în țară. De asemenea, se analizează influența calității materialelor din care se confectionează jugul feromagnetic și magnetul permanent. În același context, se stabilește influența dimensiunilor întrefierului asupra spectrului câmpului și implicit asupra parametrilor releei.

**B.2.** Prin analizarea rezultatelor de calcul obținute, s-au identificat direcțiile esențiale ce trebuie urmate pentru a construi un relee mai performant.

**B.3.** În colaborare cu S.C. Relee S.A. Mediaș, acționând în sensul precizat mai sus, s-a realizat un relee magnetoelectric cilindric cu curent de acționare redus. Releul obținut are o sensibilitate de aproape 5 ori mai bună decât varianta existentă în producție înainte de aplicarea studiului autorului, utilizându-se în construcția acestuia materiale de calitate comparabilă. Astfel, s-a redus curentul de acționare de la  $50 \mu\text{A}$  la  $10,1 \mu\text{A}$ , obținându-se un relee cu sensibilitate mărită și fiabilitate foarte bună.

O altă mențiune se face în legătură cu verificarea rezultatelor numerice obținute cu programele elaborate de autor. Pe de o parte, programele numerice conțin verificări

de calcul, iar pe de altă parte, sunt prezentate verificări experimentale, care se referă la inducția magnetică din punctele întrefierului - zona accesibilă măsurării. Toate verificările făcute confirmă buna precizie a rezultatelor obținute cu programele numerice. De altfel, realizarea reșelui cu sensibilitate mare - plecând de la rezultatele studiului - ar putea fi considerată o confirmare finală globală a programelor numerice elaborate de autor, a metodologiei în ansamblu.

## ANEXA 1

C R2MAG1V1

C

C Rezolvarea circuitelor magnetice neliniare, neomogene si  
C neramificate cu magnet permanent, folosind scheme echivalente.

C

DIMENSION BM(8),HM(8),PM(7),AM(7),BJ(121),HJ(121)  
READ(105,10) C1,C2,C3,C4,C5,C6,C7,C8,C9,C10,C11,B1,B2,B3,B4,B5,  
\* H2,H3,H4,H5,MMAX,JMAX,DELTAB,(BM(I),I = 1,MMAX),(HM(I),I = 1,MMAX)  
\* ALM,ALF,DELT A,PERO

10 FORMAT(11E14.7/9E10.3/2I4/E10.3/8F6.2/8E10.3/4E14.7)

*C Calculul pantei PM si a ordonatei la origine AM pentru*

*C segmentele ce aproximeaza curba de demagnetizare a magnetului*

I=MMAX-1  
DO 15 M=1,I  
PM(M)=(BM(M+1)-BM(M))/(HM(M+1)-HM(M))

15 AM(M)=BM(M)-PM(M)\*HM(M)  
BJ(1)=0.  
HJ(1)=0.  
DO 80 J=1,JMAX  
BJ(J+1)=BJ(J)+DELTAB  
IF(BJ(J+1).LE.B1) GO TO 20  
IF(BJ(J+1).LE.B2) GO TO 30  
IF(BJ(J+1).LE.B3) GO TO 40  
IF(BJ(J+1).LE.B4) GO TO 45  
IF(BJ(J+1).LE.B5) GO TO 46  
GO TO 50

20 H=C1\*BJ(J+1)+C2\*SQRT(BJ(J+1))  
GO TO 60

30 H=C1\*BJ(J+1)+C2\*SQRT(BJ(J+1))+C3\*(BJ(J+1)-B1)+  
\*C4\*(BJ(J+1)-B1)\*\*2  
GO TO 60

40 H=H2+C5\*(BJ(J+1)-B2)+C6\*(BJ(J+1)-B2)\*\*2  
GO TO 60

45 H=H3+C7\*(BJ(J+1)-B3)\*\*2+C8\*(BJ(J+1)-B3)\*\*3  
GO TO 60

46 H=H4+C9\*(BJ(J+1)-B4)+C10\*(BJ(J+1)-B4)\*\*2  
GO TO 60

50 H=H5+C11\*(BJ(J+1)-B5)

60 HJ(J+1)=(H\*ALF+BJ(J+1)\*DELT A/PERO)/ALM

*C Calculul pantei PJ si a ordonatei la origine AJ pentru*

*C segmentele ce aproximeaza curba 3*

PJ=(BJ(J+1)-BJ(J))/(HJ(J+1)-HJ(J))

---

```

AJ=BJ(J)-PJ*HJ(J)
C   Coordonatele punctului de intersectie (I)
K=MMAX-1
DO 80 I=1,K
HI=(AM(I)-AJ)/(PJ-PM(I))
BI=PJ*HI+AJ
IF(BJ(J+1).GE.BI) GO TO 70
GO TO 80
70 IF(BI.GE.BM(I+1)) GO TO 90
80 CONTINUE
GO TO 160
90 JREAL=J+1
WRITE(108,95)
95 FORMAT(//30X,'COORDONATELE PUNCTELOR CURBE!'/30X,
*'NELINIARE PT JUG SI INTREFIER'/29X,31('*'))
I1=1
I2=4
100 WRITE(108,110)(L,BJ(L),L=I1,I2)
110 FORMAT(//4(3X,'BJ',I3,'=',F5.3,5X))
      WRITE(108,120)(L,HJ(L),L=I1,I2)
120 FORMAT(4(3X,'HJ',I3,'=',E10.4))
      IF(I2.EQ.JREAL) GO TO 140
      I1=I2+1
      I2=I2+4
      IF(I2-JREAL) 100,100,130
130 I2=JREAL
GO TO 100
140 HJUG=(HI*ALM-BI*DELTA/PERO)/ALF
      WRITE(108,150) BI,HI,BI,HJUG,BI
150 FORMAT(//10X,'CAMPUL DIN MAGNET:BM=',F5.3,1X,'T'
*30X,'HM=',E10.4,1X,'A/M'//10X,'CAMPUL DIN JUG:BJ=','
*F5.3,1X,'T'/27X,'HJ=',E10.4,1X,'A/M'//10X,
*'INDUCTIA DIN INTREFIER:B0=',F5.3,1X,'T')
      GO TO 180
160 WRITE(108,170)
170 FORMAT(/10X,'FARA INTERSECTIE = EROARE')
180 STOP
END

```

---

**ANEXA 2**

```

C               MEFMGST2
C
C   Calculul campului magnetic intr-un mediu neomogen
C   din exteriorul magnetului permanent
C
C   DIMENSION X(40),Y(40),R(40),ALFA(40),RT(4),ALFAT(10),VH(40),
C   *BX(54),BY(54),B(54),CI(36),CIL(36,6),INDEX(9),IE(54),JE(54),
C   *KE(54),NE(36,6),NN(36,6),TL(40),S(54),PR(54),XV(6),YV(6),SV(6),
C   *PV(6)
C   READ(105,10) NL,NC,ITERM
10  FORMAT(3I4)
     READ(105,20) EPS,PER0,OMEGA,PERR,BNMAX,PERRMA
20  FORMAT(2E12.5/10F8.4)
C***MARIMI AJUTATOARE
    NI = NL * NC
    NLP1 = NL + 1
    NCP1 = NC + 1
    NCM1 = NC - 1
    NLP2 = NL + 2
    NCP2 = NC + 2
    NEC = NI + 2 * NC + NLP2
    N = NLP2 * NCP2
    M = 2 * NLP1 * NCP1
    N2 = NI - NCM1
    NISJ = NI + 1
    NIDJ = NI + NC
    NISS = NIDJ + 1
    NIDS = NIDJ + NC
    NSS = NIDS + 1
    NSJ = N - NL - 2
    NDS = N - NL - 1
    NSJM1 = NSJ - 1
    INDEX0 = 0
    DO 30 I = 1,NCP1
30  INDEX(I) = I
    PI = 3.141593
    WRITE(108,31) N,M,NSS,NISS,NIDS,NDS,NSJ,NISJ,NIDJ,EPS,OMEGA,
    *PER0,PERR
31  FORMAT(//10X,'N = ',I3,2X,'M = ',I3,2X/10X,'NSS = ',I3,2X,'NISS = ',I3,
    *2X,'NIDS = ',I3,2X,'NDS = ',I3/10X,'NSJ = ',I3,2X,'NISJ = ',I3,2X,'NIDJ = '
    *,I3/10X,'EPS = ',E9.3,2X,'OMEGA = ',F5.3,2X,'PER0 = ',E12.5,2X,'PERR = ',
    *F7.3)

```

## C\*\*\*COORDONATELE NODURILOR

READ(105,40)(RT(I),I = 1,NLP2),(ALFAT(I),I = 1,NCP2)

40 FORMAT(4E12.5/10F6.2)

DO 50 JV = 1,NLP2

DO 50 JH = 1,NC

I = (JV-1)\*NC + JH

RI = RT(JV)

50 ALFA(I) = ALFAT(JH + 1)

R(NSS) = RT(4)

R(NDS) = RT(4)

ALFA(NSS) = ALFAT(1)

ALFA(NDS) = ALFAT(10)

DO 51 JV = 1,NLP1

R(NSS + JV) = RT(JV)

R(NDS + JV) = RT(JV)

ALFA(NSS + JV) = ALFAT(1)

51 ALFA(NDS + JV) = ALFAT(10)

DO 52 I = 1,N

A = ALFA(I)\*PI/180

X(I) = R(I)\*SIN(A)

52 Y(I) = R(I)\*COS(A)

WRITE(108,60)INDEX0,(INDEX(I),I = 1,NCP1)

60 FORMAT(//50X,'COORDONATELE NODURILOR X/Y(M)'/49X,32('\*')//8X,  
\*10I10/)

WRITE(108,70)INDEX0,X(NSS),(X(I),I = NISS,NIDS),X(NDS)

70 FORMAT(/7X,I2,2X,10(E10.4))

WRITE(108,80) Y(NSS + JV),(Y(I),I = NISS,NIDS),Y(NDS)

80 FORMAT(11X,10(E10.4))

DO 90 JV = 1,NLP1

LS = (JV-1)\*NC + 1

LD = LS + NCM1

WRITE(108,70) JV,X(NSS + JV),(X(JH),JH = LS,LD),X(NDS + JV)

90 WRITE(108,80) Y(NSS + JV),(Y(JH),JH = LS,LD),Y(NDS + JV)

## C\*\*\*TABLOUL NODURILOR ELEMENTELOR

DO 110 JV = 1,NLP1

KI = (JV-1)\*NC

KL = (JV-1)\*NCP1\*2

DO 110 JH = 1,NCP1

I = KI + JH

L = KL + JH

LJ = L + NCP1

IS = I-NC

IF(JV.EQ.1) IS = NIDJ + JH

IE(L) = I-1

JE(L) = IS

KE(L) = IS-1

IE(LJ) = I-1

JE(LJ) = I

---

```

KE(LJ)=IS
IF(JH.NE.1) GO TO 100
IE(L)=NSS + JV
KE(L)=NIDS + JV
IE(LJ)=NSS + JV
100 IF(JH.NE.NCP1) GO TO 110
JE(L)=NSJ + JV
JE(LJ)=NDS + JV
KE(LJ)=NSJ + JV
110 CONTINUE
WRITE(108,111)(L,IE(L),JE(L),KE(L),L=1,M)
111 FORMAT(//10X,'NODURILE ELEMENTELOR'/9X,22('*')/(4I10))
C***TABLOURILE NODURILOR SI ELEMENTELOR VECINE UNUI NOD:
C      INTERIOR
DO 120 JV=1,NL
KI=(JV-1)*NC
KL=JV*NCP1*2
DO 120 JH=1,NC
I=KI+JH
L=KL+JH
NE(I,1)=L-NCP1
NE(I,2)=L
NE(I,3)=L+NCP1
NE(I,4)=L+1
NE(I,5)=L-NC
NE(I,6)=L-NC*2-1
NN(I,1)=I-1
NN(I,2)=I+NC-1
NN(I,3)=I+NC
NN(I,4)=I+1
NN(I,5)=I-NC+1
120 NN(I,6)=I-NC
DO 121 JH=1,NC
NN(JH,5)=NIDJ+JH+1
121 NN(JH,6)=NIDJ+JH
DO 122 JH=1,NL
IS=(JV-1)*NC+1
ID=IS+NC-1
NN(ID,1)=NSS + JV
NN(ID,2)=NSS + JV + 1
NN(ID,4)=NDS + JV
122 NN(ID,5)=NSJ + JV
C      PE FRONTIERA DE SUS
DO 130 JH=1,NC
I=NIDJ+JH
NE(I,1)=JH
NE(I,2)=JH+NCP1
NE(I,3)=JH+1

```

---

---

NN(I,1) = I-1  
 NN(I,2) = JH-1  
 NN(I,3) = JH  
**130** NN(I,4) = I+1  
 NN(NIDJ + 1,1) = NIDS + 1  
 NN(NIDJ + 1,2) = NIDS + 2  
 NN(NID,4) = NDS  
**C**            PE FRONTIERA DE JOS  
 DO 140 JH = 1,NC  
 I = NI + JH  
 NE(I,1) = M-NC + JH  
 NE(I,2) = M-2 \* NC + JH-1  
 NE(I,3) = M-NC + JH-1  
 NN(I,1) = I + 1  
 NN(I,2) = I + 1-NC  
 NN(I,3) = I-NC  
**140** NN(I,4) = I-1  
 NN(NI + 1,4) = N-NL-2  
 NN(NI + NC,1) = N  
 NN(NI + NC,2) = N-1  
**C**            PE FRONTIERA DIN STANGA  
 NE(NSS,1) = 1  
 NN(NSS,1) = NSS + 1  
 NN(NSS,2) = NISS  
 DO 145 JV = 1,NL  
 I = NSS + JV  
 NE(I,1) = 2 \* JV \* NCP1 + 1  
 NE(I,2) = (2 \* JV - 1) \* NCP1 + 1  
 NE(I,3) = 2 \* (JV - 1) \* NCP1 + 1  
 NN(I,1) = I + 1  
 NN(I,2) = (JV - 1) \* NC + 1  
**145** NN(I,4) = I-1  
 NN(NSS + 1,3) = NISS  
 NN(NSJ-1,3) = 1  
 NE(NSJ,1) = M-NC  
 NE(NSJ,2) = M-NC-NCP1  
 NN(NSJ,1) = NISJ  
 NN(NSJ,2) = NI-NCM1  
 NN(NSJ,3) = NSJ-1  
 WRITE(108,146)  
**146** FORMAT(//30X,'NN(I,L)',30X,'NE(I,L)'/29X,9('\*'),28X,9('\*'))/  
 DO 141 I = 1,NEC  
**141** WRITE(108,142) I,(NN(I,L),L = 1,6),(NE(I,L),L = 1,6)  
**142** FORMAT(10,5X,12I5)  
**C\*\*\*SUPRAFETELE ELEMENTELOR**  
 DO 150 L = 1,M  
 I = IE(L)  
 J = JE(L)

---

---

K = KE(L)

150 S(L) = (X(I)) \* (Y(J)-Y(K)) + X(J) \* (Y(K)-Y(I)) + X(K) \* (Y(I)-Y(J))) / 2  
WRITE(108,160)

160 FORMAT(//45X,'SUPRAFETELE ELEMENTELOR IN M2'/44X,31('\*'))//  
WRITE(108,171)(L,S(L),L = 1,M)

171 FORMAT(9(1X,'S',I2,'= ',E9.3))

C\*\*\*TABLOUL PERMEABILITATILOR RELATIVE

175 CONTINUE  
DO 180 L = 1,36

180 PR(L) = PERR  
DO 190 L = 37,M

190 PR(L) = 1.

C\*\*\*SOLUTIA INITIALA  
DO 240 I = 1,N  
240 VH(I) = 0.  
DELTA = RT(2)-RT(3)  
DO 250 I = NISJ,NIDJ  
A = ALFA(I)\*PI/180  
BN = BNMAX\*COS(A)

, 250 VH(I) = BN\*DELTA/PERO  
VH(NSJ) = BNMAX\*DELTA/PERO

C\*\*\*COEFICIENTII ECUATIILOR NODURILOR INTERIOARE  
DO 350 I = 1,NI  
DO 330 L = 1,6  
IV = NN(I,L)  
LV = NE(I,L)  
XV(L) = X(IV)  
YV(L) = Y(IV)  
PV(L) = PR(LV)

330 SV(L) = S(LV)  
CI(I) = ((YV(6)-YV(1)) \*\* 2 + (XV(1)-XV(6)) \*\* 2) \* PV(1)/SV(1)  
DO 340 L = 2,6

340 CI(I) = CI(I) + ((YV(L-1)-YV(L)) \*\* 2 + (XV(L)-XV(L-1)) \*\* 2) \* PV(L)/SV(L)  
CIL(I,1) = ((YV(6)-YV(1)) \* (Y(I)-YV(6)) + (XV(1)-XV(6)) \* (XV(6)-X(I))) \*  
\* PV(1)/SV(1) + ((YV(1)-YV(2)) \* (YV(2)-Y(I)) + (XV(2)-XV(1)) \*  
\* (X(I)-XV(2))) \* PV(2)/SV(2)  
CIL(I,6) = ((YV(5)-YV(6)) \* (Y(I)-YV(5)) + (XV(6)-XV(5)) \* (XV(5)-X(I))) \*  
\* PV(6)/SV(6) + ((YV(6)-YV(1)) \* (YV(1)-Y(I)) + (XV(1)-XV(6)) \* (X(I)-XV(1)) \*  
\*) \* PV(1)/SV(1)  
DO 350 L = 2,5  
K = L-1  
J = L + 1

350 CIL(I,L) = ((YV(K)-YV(L)) \* (Y(I)-YV(K)) + (XV(L)-XV(K)) \* (XV(K)-X(I))) \*  
\* PV(L)/SV(L) + ((YV(L)-YV(J)) \* (YV(J)-Y(I)) + (XV(J)-XV(L)) \* (X(I)-XV(J)) \*  
\*) \* PV(J)/SV(J)

C\*\*\*COEFICIENTII ECUATIILOR NODURILOR DE FRONTIERA  
DO 390 I = NISJ,NIDS  
DO 370 L = 1,4

---

---

```

IV = NN(I,L)
IF(L.EQ.4) GO TO 360
LV = NE(I,L)
360 XV(L) = X(IV)
YV(L) = Y(IV)
IF(L.EQ.4) GO TO 370
PV(L) = PR(LV)
SV(L) = S(LV)
370 CONTINUE
CI(I) = 0.
DO 380 L = 1,3
380 CI(I) = CI(I) + ((YV(L)-YV(L+1)) ** 2 + (XV(L+1)-XV(L)) ** 2) * PV(L) / SV(L)
CIL(I,1) = ((YV(1)-YV(2)) * (YV(2)-Y(I)) + (XV(2)-XV(1)) * (X(I)-XV(2))) *
* PV(1) / SV(1)
CIL(I,4) = ((YV(3)-YV(4)) * (Y(I)-YV(3)) + (XV(4)-XV(3)) * (XV(3)-X(I))) +
* PV(3) / SV(3)
DO 390 L = 2,3
K = L-1
J = L+1
CIL(I,L) = ((YV(K)-YV(L)) * (Y(I)-YV(K)) + (XV(L)-XV(K)) * (XV(K)-X(I))) *
* PV(K) / SV(K) + ((YV(L)-YV(J)) * (YV(J)-Y(I)) + (XV(J)-XV(L)) * (X(I)-XV(J)) *
*) * PV(L) / SV(L)
390 CONTINUE
C          FRONTIERA DIN STANGA
DO 1390 I = 34,35
DO 1370 L = 1,4
IV = NN(I,L)
IF(L.EQ.4) GO TO 1360
LV = NE(I,L)
360 XV(L) = X(IV)
YV(L) = Y(IV)
IF(L.EQ.4) GO TO 1370
PV(L) = PR(LV)
SV(L) = S(LV)
1370 CONTINUE
CI(I) = 0.
DO 1380 L = 1,3
1380 CI(I) = CI(I) + ((YV(L)-YV(L+1)) ** 2 + (XV(L+1)-XV(L)) ** 2) * PV(L) / SV(L)
CIL(I,1) = ((YV(1)-YV(2)) * (YV(2)-Y(I)) + (XV(2)-XV(1)) * (X(I)-XV(2))) *
* PV(1) / SV(1)
CIL(I,4) = ((YV(3)-YV(4)) * (Y(I)-YV(3)) + (XV(4)-XV(3)) * (XV(3)-X(I))) +
* PV(3) / SV(3)
DO 1390 L = 2,3
K = L-1
J = L+1
CIL(I,L) = ((YV(K)-YV(L)) * (Y(I)-YV(K)) + (XV(L)-XV(K)) * (XV(K)-X(I))) *
* PV(K) / SV(K) + ((YV(L)-YV(J)) * (YV(J)-Y(I)) + (XV(J)-XV(L)) * (X(I)-XV(J)) *
*) * PV(L) / SV(L)

```

---

1390 CONTINUE

C PENTRU NODURILE DE COLT

$$\begin{aligned} CI(NSS) &= (Y(NSS+1)-Y(NISS))^{**2} + (X(NISS)-X(NSS+1))^{**2} \\ CIL(NSS,1) &= (Y(NSS+1)-Y(NISS)) * (Y(NISS)-Y(NSS)) + (X(NISS)-X(NSS+1)) * \\ &* (X(NSS)-X(NISS)) \\ CIL(NSS,2) &= (Y(NSS+1)-Y(NISS)) * (Y(NSS)-Y(NSS+1)) * (X(NISS)-X(NSS+1)) \\ &* (X(NSS+1)-X(NSS)) \\ CI(NSJ) &= ((Y(NISJ)-Y(N2))^{**2} + (X(N2)-X(NISJ))^{**2}) * PR(M-NC) / S(M-NC) + \\ &* ((Y(N2)-Y(NSJM1))^{**2} + (X(NSJM1)-X(N2))^{**2}) * PR(M-2*NC-1) / S(M-2*NC-1) \\ CIL(NSJ,1) &= ((Y(NISJ)-Y(N2)) * (Y(N2)-Y(NSJ)) + (X(N2)-X(NISJ)) * (X(NSJ) \\ &- X(N2))) * PR(M-NC) / S(M-NC) \\ CIL(NSJ,2) &= ((Y(NISJ)-Y(N2)) * (Y(NSJ)-Y(NISJ)) + (X(N2)-X(NISJ)) * (X \\ &- X(NSJ)) * PR(M-NC) / S(M-NC) + ((Y(N2)-Y(NSJM1)) * (Y(NSJM1)-Y(NSJ) \\ &+ (X(NSJM1)-X(N2)) * (X(NSJ)-X(NSJM1))) * PR(M-2*NC-1) / S(M-2*NC-1) \\ CIL(NSJ,3) &= ((Y(N2)-Y(NSJM1)) * (Y(NSJ)-Y(N2)) + (X(NSJM1)-X(N2)) * (X(N2) \\ &- X(NSJ))) * PR(M-2*NC-1) / S(M-2*NC-1) \end{aligned}$$

C\*\*\*TERMENII LIBERI

$$TL(NSJ) = 2 * PR(46) * (BNMAX / PERO) * ((ALFA(NISJ) - ALFA(NSJ)) * PI / 180) * RT \\ * (3)$$
 $L = M-NC\cdot P1$ 

DO 396 I=NISJ,NIDJ

AI=ALFA(I)\*PI/180

IF(I-NISJ)394,393,394

393 AIM1=0.

GO TO 395

394 AIM1=ALFA(I-1)\*PI/180

395 AIP1=ALFA(I+1)\*PI/180

IF(I.EQ.NIDJ) AIP1=ALFA(40)\*PI/180

BN1=BNMAX\*COS(AI)

BN4=BNMAX\*COS(AIM1)

DVH1=BN1/PERO

DVH4=BN4/PERO

AL1=(AIP1-AI)\*RT(3)

AL4=(AI-AIM1)\*RT(3)

 $L = L + 1$ 

396 TL(I)=2\*PR(L+1)\*DVH1\*AL1+2\*PR(L)\*DVH4\*AL4

C\*\*\*REZOLVAREA SISTEMULUI DE ECUATII

ITER=1

400 SD=0.

DO 420 I=1,NI

SCVH=0.

DO 410 L=1,6

410 SCVH=SCVH-CIL(I,L)\*VH(NN(I,L))

VHO=SCVH/CI(I)

DVH=VHO-VH(I)

SD=SD+ABS(DVH)

420 VH(I)=VH(I)+OMEGA\*DVK

DO 440 I=NISJ,NIDJ

---

```

SCVH=0.
DO 430 L=1,4
430 SCVH=SCVH-CIL(I,L)*VH(NN(I,L))
VHO=(TL(I)-SCVH)/CI(I)
440 VH(I)=VH(I)+OMEGA*(VHO-VH(I))
DO 480 I=NISS,NSJM1
SCVH=0.
IF(I.EQ.NSS) GO TO 460
DO 450 L=1,4
450 SCVH=SCVH-CIL(I,L)*VH(NN(I,L))
GO TO 470
460 SCVH=-CIL(NSS,1)*VH(NN(NSS,1))-CIL(NSS,2)*VH(NN(NSS,2))
470 VHO=SCVH/CI(I)
480 VH(I)=VH(I)+OMEGA*(VHO-VH(I))
SCVH=0.
DO 490 L=1,3
490 SCVH=SCVH-CIL(NSJ,L)*VH(NN(NSJ,L))
VHO=(TL(NSJ)+SCVH)/CI(NSJ)
VH(NSJ)=VH(NSJ)+OMEGA*(VHO-VH(NSJ))
IF(SD-EPS) 520,520,500
500 IF(ITER-ITERM) 510,511,511
510 ITER=ITER+1
GO TO 400
511 WRITE(108,512) ITERM,SD
512 FORMAT(//20X,'NU CONVERGE IN ITERM = ',I3,1X,'ITERATII',4X,'SD = ',
*E11.4//)
GO TO 522
520 WRITE(108,521) ITER,SD
521 FORMAT(//10X,'ITER = ',I3,2X,'ITERATII'//10X,'SD = ',E11.4)
522 WRITE(108,530) INDEX0,(INDEX(I),I=1,NCP1)
530 FORMAT(//45X,'POTENTIALELE MAGNETICE SCALARE ALE NODURILOR [A]'*
*44X,50('*')//10X,10I11)
WRITE(108,540) INDEX0,VH(NSS),(VH(I),I=NISS,NIDS),VH(NDS)
540 FORMAT(//11X,I2,10(E11.3))
DO 550 JV=1,NLP1
LS=(JV-1)*NC+1
LD=LS+NCM1
550 WRITE(108,540)JV,VH(NSS+JV),(VH(JH),JH=LS,LD),VH(NDS+JV)
C***CALCULUL INDUCTIEI MAGNETICE
DO 560 L=1,M
BI=Y(JL(L))-Y(KE(L))
BJ=Y(KE(L))-Y(IE(L))
BK=Y(IE(L))-Y(JE(L))
CCI=X(KE(L))-X(JE(L))
CCJ=X(IE(L))-X(KE(L))
CCK=X(JE(L))-X(IE(L))
ALFA2=BI*VH(IE(L))+BJ*VH(JE(L))+BK*VH(KE(L))
ALFA3=CCI*VH(IE(L))+CCJ*VH(JE(L))+CCK*VH(KE(L))

```

---

```
HX = -ALFA2/(2*S(L))
HY = -ALFA3/(2*S(L))
BX(L) = PR(L) * PERO * HX
BY(L) = PR(L) * PERO * HY
560 B(L) = SQRT(BX(L)**2 + BY(L)**2)
        WRITE(108,570)
570 FORMAT(//45X,'INDUCTIA MAGNETICA DIN ELEMENTELE DOMENIULUI [T]'*
        '/44X,50('*'))
        WRITE(108,575) PERR
575 FORMAT(/45X,'PERMEABILITATEA RELATIVA A INELULULUI = ',F6.1)
        I1 = 1
        I2 = 9
580 WRITE(108,581) (L,BX(L),L=I1,I2)
581 FORMAT(//9(3X,'BX',I2,' = ',F5.3))
        WRITE(108,582) (L,BY(L),L=I1,I2)
582 FORMAT(//9(3X,'BY',I2,' = ',F5.3))
        WRITE(108,583) (L,B(L),L=I1,I2)
583 FORMAT(9(3X,'B',I3,' = ',F5.3))
        IF(I2.EQ.M) GO TO 595
        I1 = I2 + 1
        I2 = I2 + 9
        IF(I2-M) 580,580,590
590 I2 = M
        GO TO 580
595 PERR = PERR + 100.
        IF(PERR-PERRMA) 175,175,600
600 STOP
        END
```

## ANEXA 3

```

c               MEFMAG03
c
c***Calculul campului magnetic in releul cu magnet permanent cilindric.
c***Mediul este neomogen, inelul feromagnetic este neliniar .
c***Magnetul permanent se considera liniar si uniform magnetizat.
c***In geometria circuitului magnetic este inclus si umarul
c***feromagnetic de prindere a magnetului permanent.
c***Se determina si expresia cuplului ce actioneaza asupra bobinei.
c
dimension x(81),y(81),r(81),alfa(81),rt(8),alfat(10),
*vh(82),bx(135),by(135),b(135),ci(72),cil(72,6),index(20),
*ie(135),je(135),ke(135),ne(72,6),nn(72,6),tl(72),s(135),
*pr(135),xv(6),yv(6),sv(6),pv(6),hx(135),hy(135),h(135),
*argh(135),argb(135),bro(135),bfi(135),bcp(135)
write(*,9)
9 format(2x,'nl,nc,iterm,mu1,mu2   cu 5i4')
read(*,10)nl,nc,iterm,mu1,mu2
10 format(5i4)
write(*,15)
15 format(2x,'mabj1,mabj2,mbcj1,mbcj2,mcdj1,mcdj2,mdaj1,mdaj2 ',
*' cu 8i5')
read(*,16)mabj1,mabj2,mbcj1,mbcj2,mcdj1,mcdj2,mdaj1,mdaj2
16 format(8i5)
write(*,19)
19 format(2x,'eps,omega,perri,bnmax,br,hc   cu 6e13.6')
read(*,20)eps,omega,perri,bnmax,br,hc
20 format(6e13.6)
write(*,29)
29 format(1x,'c1,c2,c3,c4,c5,c6,c7,c8,c9,b1,b2,b3,b4,h1,h2,h3,h4,
*'epspr,omegaf1,omegaf2,itprrm'/10x, 'cu 6e13.6/3e13.6/4f4.2/'
*'4e13.6/3e13.6/i4')
read(*,30)c1,c2,c3,c4,c5,c6,c7,c8,c9,b1,b2,b3,b4,h1,h2,h3,h4,
*epspr,omegaf1,omegaf2,itprrm
30 format(6e13.6/3e13.6/4f4.2/4e13.6/3e13.6/i4)
per0=0.1256637e-05
pi=3.141593
c***marimi ajutatoare
mf=36
maf=72
ni=nl*nc
nlp1=nl+1
ncp1=nc+1

```

---

```

npas = 2 * ncp1
mabs1 = mabj1 + ncp1
mabs2 = mabj2 + ncp1
mbcs1 = mbcj1 - nc
mbcs2 = mbcj2 - nc
mcds1 = mcdj1 + ncp1
mcds2 = mcdj2 + ncp1
mdas1 = mdaj1 - nc
mdas2 = mdaj2 - nc
ncp2 = nc + 2
nec = ni + nc + nlp1
n = ncp2 * nlp1 + 1
m = ncp1 * (2 * nl + 1)
niss = ni + 1
nids = ni + nc
nss = nids + 1
nsj = nss + nl
nds = nsj + 1
ncm1 = nc - 1
nlm1 = nl - 1
index0 = 0
do 50 i = 1, ncp1

```

50 index(i) = i  
vh(82) = 0.

c vh(82) = marime ajutatoare la rezolvarea sistemului de ecuatii

c\*\*\*cordonatele nodurilor

write(\*,59)

59 format(2x,'rt(i),i = 1,8 cu 8e10.4 / alfat(i),i = 1,10 cu 10f6.2')  
read(\*,60)(rt(i),i = 1,nlp1),(alfat(i),i = 1,ncp2)

60 format(8e10.4/10f6.2)  
do 70 jv = 1, nlp1  
do 70 jh = 1, nc  
i = (jv-1)\*nc + jh  
r(i) = rt(jv)

70 alfa(i) = alfat(jh + 1)  
r(nss) = rt(8)  
r(nds) = rt(8)  
r(n) = 0.

alfa(nss) = alfat(1)

alfa(nds) = alfat(10)

alfa(n) = 0.

do 80 jv = 1, nl

nsspjv = nss + jv

ndspjv = nds + jv

r(nsspjv) = rt(jv)

r(ndspjv) = rt(jv)

alfa(nsspjv) = alfat(1)

80 alfa(ndspjv) = alfat(10)

---

```

do 90 i=1,n
a=alfa(i)*pi/180
x(i)=r(i)*sin(a)
90 y(i)=r(i)*cos(a)
write(*,100)index0,(index(i),i=1,ncp1)
100 format(//24x,'Coordonatele nodurilor x/y[m]'/23x
*32('*')//6x,10i7/)
write(*,110)index0,x(nss),(x(i),i=niss,nids),x(nds)
110 format(/5x,i2,2x,10(f7.5))
write(*,120)y(nss),(y(i),i=niss,nids),y(nds)
120 format(9x,10(f7.5))
do 130 jv=1,nl
ls=(jv-1)*nc+1
ld=ls+ncm1
nsspjv=nss+jv
ndspjv=nds+jv
write(*,110)jv,x(nsspjv),(x(jh),jh=ls,ld),x(ndspjv)
130 write(*,120)y(nsspjv),(y(jh),jh=ls,ld),y(ndspjv)
c ***tabloul nodurilor elementelor
do 150 jv=1,nl
ki=(jv-1)*nc
kl=(jv-1)*ncp1*2
do 150 jh=1,ncp1
i=ki+jh
l=kl+jh
lj=l+ncp1
is=i-nc
if(jv.eq.1)is=ni+jh
ie(l)=i-1
je(l)=is
ke(l)=is-1
ie(lj)=i-1
je(lj)=i
ke(lj)=is
if(jh.ne.1)go to 140
ie(l)=nss+jv
ke(l)=nids+jv
ie(lj)=nss+jv
140 if(jh.ne.ncp1)go to 150
je(l)=nsj+jv
je(lj)=ndsj+jv
ke(lj)=nsj+jv
150 continue
do 160 jh=1,ncp1
l=jh+(m-ncp1)
i=jh+(ni-nc)
ie(l)=n
je(l)=i

```

---

---

160     $ke(l) = i - 1$   
        $l = m - nc$   
        $ke(l) = nss + nl$   
        $l = m$   
        $je(l) = n - 1$

c\*\*\*\*tabloul nodurilor si elementelor vecine unui nod

c\*\*            interior

```

do 170 jv = 1, nlm1
ki = (jv-1) * nc
kl = jv * ncp1 * 2
do 170 jh = 1, nc
i = ki + jh
l = kl + jh
ne(i, 1) = l - ncp1
ne(i, 2) = l
ne(i, 3) = l + ncp1
ne(i, 4) = l + 1
ne(i, 5) = l - nc
ne(i, 6) = l - nc * 2 - 1
nn(i, 1) = i - 1
nn(i, 2) = i + nc - 1
nn(i, 3) = i + nc
nn(i, 4) = i + 1
nn(i, 5) = i - nc + 1

```

170    nn(i, 6) = i - nc  
       do 180 jh = 1, nc  
       nn(jh, 5) = niss + jh

180    nn(jh, 6) = niss + jh - 1  
       do 190 jv = 1, nlm1  
       is = (jv-1) \* nc + 1  
       id = is + nc - 1  
       nn(is, 1) = nss + jv  
       nn(is, 2) = nss + jv + 1  
       nn(id, 4) = nds + jv

190    nn(id, 5) = nsj + jv

c\*\*            pe frontiera de sus

```

do 200 jh = 1, nc
i = ni + jh
ne(i, 1) = jh
ne(i, 2) = jh + ncp1
ne(i, 3) = jh + 1
ne(i, 4) = 0
ne(i, 5) = 0
ne(i, 6) = 0
nn(i, 1) = i - 1
nn(i, 2) = jh - 1
nn(i, 3) = jh
nn(i, 4) = i + 1

```

---

---

```

nn(i,5)=82
200 nn(i,6)=82
nn(niss,1)=nss
nn(niss,2)=nss+1
nn(nids,4)=nd
c**      pentru jv=nl=7 (r=r7)
do 210 jh=1,nc
i=ni-nc+jh
ne(i,1)=m-ncp1+jh
ne(i,2)=m-nc+jh
ne(i,3)=m-2*nc-1+jh
ne(i,4)=m-3*ncp1+1+jh
ne(i,5)=m-2*ncp1+jh
ne(i,6)=0
nn(i,1)=n
nn(i,2)=i+1
nn(i,3)=i-nc+1
nn(i,4)=i-ncp1+1
nn(i,5)=i-1
210 nn(i,6)=82
nn(49,5)=nsj
nn(56,2)=n-1
nn(56,3)=n-2
c      pe frontiera din stinga
do 220 i=1,4
ne(nss,i)=0
220 nn(nss,i)=82
ne(nss,1)=1
nn(nss,1)=ns
nn(nss,2)=niss
do 225 jv=1,nl
i=nss+jv
do 225 l=1,6
ne(i,l)=0
225 nn(i,l)=82
do 230 jv=1,nl
i=nss+jv
ne(i,1)=2*jv*ncp1+1
ne(i,2)=(2*jv-1)*ncp1+1
ne(i,3)=2*(jv-1)*ncp1+1
nn(i,1)=i+1
nn(i,2)=(jv-1)*nc+1
nn(i,3)=(jv-2)*nc+1
230 nn(i,4)=i-1
nn(66,3)=niss
nn(nsj,1)=n
c***suprafetele elementelor
do 240 l=1,m

```

---

```

i=ie(l)
j=je(l)
k=ke(l)
240 s(l)=(x(i)*(y(j)-y(k))+x(j)*(y(k)-y(i))+x(k)*(y(i)-y(j)))/2
      write(*,245)
245 format(//20x,'Suprafetele elementelor [m2]'/19x,31(''')/
      write(*,246)(l,s(l),l=1,m)
246 format(5(1x,'S',i3,'=',e8.2,1x))
c***permeabilitatile relative initiale
do 250 l=1,mf
250 pr(l)=perm
      mfp1=mfp+l
      do 260 l=mfp1,m
260 pr(l)=1
      do 2600 kc=1,4
      l1=mu1+(kc-1)*ncp1
      l2=mu2+(kc-1)*ncp1
      do 2600 i=l1,l2
2600 pr(l)=perri
c***solutia initiala
      do 270 i=1,n
270 vh(i)=0.
      hmax=bnmax*(rt(2)-rt(4))/per0
c** la suprafata magnetului permanent
      vh(69)=vhmax
      iu1=mu1-21
      iu2=iu1+nc
      do 280 i=25,iu2
      a=alfa(i)*pi/180
280 vh(i)=vhmax*cos(a)
c** in intrefier
      vh(68)=vhmax*(rt(2)-rt(3))/(rt(2)-rt(4))
      do 290 i=17,iu1
      a=alfa(i)*pi/180
290 vh(i)=vh(68)*cos(a)
c** in magnetul permanent
      ms=25
      md=32
      do 300 ii=1,3
      ji=69+ii
      li=4+ii
      vh(ji)=vhmax*rt(li)/rt(4)
      ms=ms+nc
      md=md+nc
      do 300 ki=ms,md
      a=alfa(ki)*pi/180
300 vh(ki)=vh(ji)*cos(a)
c***termenii liberi

```

```

do 440 i=1,nec
440 tl(i)=0.
tl(69)=(x(25)-x(70))*br/2
tl(25)=(x(26)-x(69))*br/2
do 450 i=26,31
450 tl(i)=(x(i+1)-x(i-1))*br/2
tl(32)=(x(77)-x(31))*br/2
c***coeficientii ecuatiilor
c** noduri interioare cu 6 elemente vecine
itprr=1
310 do 340 i=1,48
do 320 l=1,6
iv=nn(i,l)
lv=ne(i,l)
xv(i)=x(iv)
yv(l)=y(iv)
pv(l)=per0*pr(iv)
320 sv(l)=s(iv)
ci(i)=((yv(6)-yv(1))**2+(xv(1)-xv(6))**2)*pv(1)/(4*sv(1))
do 330 l=2,6
330 ci(i)=ci(i)+((yv(l-1)-yv(l))**2+(xv(l)-xv(l-1))**2)
* *pv(l)/(4*sv(l))
cil(i,1)=((yv(6)-yv(1))*(y(i)-yv(6))+(xv(1)-xv(6))*(xv(6)-x(i)))*
* pv(1)/(4*sv(1))+((yv(1)-yv(2))*(yv(2)-y(i))+(xv(2)-xv(1))*
* (x(i)-xv(2)))*pv(2)/(4*sv(2))
cil(i,6)=((yv(5)-yv(6))*(y(i)-yv(5))+(xv(6)-xv(5))*(xv(5)-x(i)))*
* pv(6)/(4*sv(6))+((yv(6)-yv(1))*(yv(1)-y(i))+(xv(1)-xv(6))*
* (x(i)-xv(1)))*pv(1)/(4*sv(1))
do 340 l=2,5
k=l-1
j=l+1
340 cil(i,l)=((yv(k)-yv(l))*(y(i)-yv(k))+(xv(l)-xv(k))*(xv(k)-x(i)))*
* *pv(l)/(4*sv(l))+((yv(l)-yv(j))*(yv(j)-y(i))+
* (xv(j)-xv(l))*(x(i)-xv(j)))*pv(j)/(4*sv(j))
c** noduri interioare cu 5 elemente vecine
do 370 i=49,56
do 350 l=1,5
iv=nn(i,l)
lv=ne(i,l)
xv(l)=x(iv)
yv(l)=y(iv)
pv(l)=per0*pr(iv)
350 sv(l)=s(iv)
ci(i)=((yv(5)-yv(1))**2+(xv(1)-xv(5))**2)*pv(1)/(4*sv(1))
do 360 l=2,5
360 ci(i)=ci(i)+((yv(l-1)-yv(l))**2+(xv(l)-xv(l-1))**2)
* *pv(l)/(4*sv(l))
cil(i,1)=((yv(5)-yv(1))*(y(i)-yv(5))+(xv(1)-xv(5))*(xv(5)-x(i)))

```

```

*   *pv(1)/(4*sv(1)) + ((yv(1)-yv(2))*(yv(2)-y(i)) + (xv(2)-xv(1))*  

*   (x(i)-xv(2)))*pv(2)/(4*sv(2))  

cil(i,5) = ((yv(4)-yv(5))*(y(i)-yv(4)) + (xv(5)-xv(4))*(xv(4)-x(i))  

*   *pv(5)/(4*sv(5)) + ((yv(5)-yv(1))*(yv(1)-y(i)) + (xv(1)-xv(5))*  

*   (x(i)-xv(1)))*pv(1)/(4*s  

cil(i,6) = 0.  

do 370 l=2,4  

k=l-1  

j=l+1  

370 cil(i,l) = ((yv(k)-yv(l))*(y(i)-yv(k)) + (xv(l)-xv(k))*(xv(k)-x(i)))*  

*   *pv(l)/(4*sv(l)) + ((yv(l)-yv(j))*(yv(j)-y(i)) +  

*   (xv(j)-xv(l))*(x(i)-xv(j)))*pv(j)/(4*sv(j))  

c ** noduri pe frontiera de sus si frontiera din stanga  

do 420 l=niss,nsj  

if(i.eq.nss)go to 420  

do 390 l=1,4  

iv=nn(i,l)  

if(l.eq.4)go to 380  

lv=ne(i,l)  

380 xv(l)=x(iv)  

yv(l)=y(iv)  

if(l.eq.4)go to 390  

pv(l)=per0*pr(lv)  

sv(l)=s(lv)  

390 continue  

ci(i)=0.  

do 400 l=1,3  

400 ci(i)=ci(i)+((yv(l)-yv(l+1))*2+(xv(l+1)-xv(l))*2)*pv(l)/(4*  

* sv(l))  

cil(i,1) = ((yv(1)-yv(2))*(yv(2)-y(i)) + (xv(2)-xv(1))*(x(i)-xv(2)))*  

* *pv(1)/(4*sv(1))  

cil(i,4) = ((yv(3)-yv(4))*(y(i)-yv(3)) + (xv(4)-xv(3))*(xv(3)-x(i)))*  

* *pv(3)/(4*sv(3))  

do 410 l=2,3  

k=l-1  

j=l+1  

410 cil(i,l) = ((yv(k)-yv(l))*(y(i)-yv(k)) + (xv(l)-xv(k))*  

* (xv(k)-x(i)))*pv(k)/(4*sv(k)) + ((yv(l)-yv(j))*(yv(j)-y(i)) +  

* (xv(j)-xv(l))*(x(i)-xv(j)))*pv(l)/(4*sv(l))  

cil(i,5) = 0.  

cil(i,6) = 0.  

420 continue  

c ** noduri de colt (numai vh(nss) este nenul)  

pv(1)=per0*pr(1)  

ci(nss)=((y(nss+1)-y(niss))*2+(x(niss)-x(nss+1))*2)*pv(1)/  

* (4*s(1))  

cil(nss,1) = ((y(nss+1)-y(niss))*(y(niss)-y(nss)) + (x(niss)  

* x(nss+1))*(x(nss)-x(niss)))*pv(1)/(4*s(1))

```

```

c1l(nss,2)=((y(nss+1)-y(niss))*(y(nss)-y(nss+1))+(x(niss)-
* x(nss+1))*(x(nss+1)-x(nss)))*pv(1)/(4*s(1))
do 430 l=3,6
430 cil(nss,l)=0.
c***rezolvarea sistemului de ecuatii
iter=1
460 sd=0.
do 480 i=1,nec
scvh=0.
do 470 i=1,6
470 scvh=scvh-cil(i,l)*vh(nn(i,l))
vh0=(tl(i)+scvh)/cil(i)
dvh=vh0-vh(i)
sd=sd+abs(dvh)
480 vh(i)=vh(i)+omega*dvh
if(sd-eps)530,530,490
490 if(iter>iterm)500,510,510
500 iter=iter+1
go to 460
510 write(*,520)iter,sd
520 format(//20x,'Nu converge in iteratii ',i3,1x,'iteratii',4x,
* 'SD = ',e11.4/20x,'Sistemul cu necunoscutele VH(i) nu este conv.')
stop
530 continue
write(*,540)itpr,iter,sd
540 format(//10x,'ITPRR = ',i3,2x,'(nr. iteratii pe curba B(H))'
* /10x,'ITER = ',i3,2x,'iteratii'/10x,'SD = ',e11.4)
c***calculul inductiei magnetice
sdprr=0.
do 700 l=1,m
bi=y(je(l))-y(ke(l))
bj=y(ke(l))-y(ie(l))
bk=y(ie(l))-y(je(l))
cci=x(ke(l))-x(je(l))
ccj=x(ie(l))-x(ke(l))
cck=x(je(l))-x(ie(l))
alfa2=bi*vh(ie(l))+bj*vh(je(l))+bk*vh(ke(l))
alfa3=cci*vh(ie(l))+ccj*vh(je(l))+cck*vh(ke(l))
hx(l)=-alfa2/(2*s(l))
hy(l)=-alfa3/(2*s(l))
c**      pentru fier
if(l-mf)600,600,670
600 h(l)=sqrt(hx(l)**2+hy(l)**2)
if(h(l).le.h.1)go to 610
if(h(l).le.h.2)go to 620
if(h(l).le.h.3)go to 630
if(h(l).le.h.4)go to 640
go to 650

```

---

```

610 bl=c1*h(l) + c2*(h(l)**2)
      go to 660
620 bl=c1*h(l) + c2*(h(l)**2) + c3*((h(l)-h1)**2) + c4*((h(l)-h1)**3)
      go to 660
630 bl=c1*h(l) + c2*(h(l)**2) + c3*((h(l)-h1)**2) + c4*((h(l)-h1)**3) +
      * c5*((h(l)-h2)**2) + c6*((h(l)-h2)**3) + c7*((h(l)-h2)**4)
      go to 660
640 bl=b3+c8*((h(l)-h3)**(1/4))
      go to 660
650 bl=b4+c9*(h(l)-h4)
660 prr=bl/(h(l)*per0)
      bx(l)=per0*prr*hx(l)
      by(l)=per0*prr*hy(l)
      sdprr=sdprr+abs(prr-pr(l))
      if(bl>b2)665,666,666
665 pr(l)=pr(l)+omegaf1*(prr-pr(l))
      go to 700
666 pr(l)=pr(l)+omegaf2*(prr-pr(l))
      go to 700
c**      in intrefier
670 if(l-maf)680,680,690
680 h(l)=sqrt(hx(l)**2+hy(l)**2)
      bx(l)=per0*hx(l)
      by(l)=per0*hy(l)
      go to 700
c**      in magnetul permanent
690 h(l)=sqrt(hx(l)**2+hy(l)**2)
      bx(l)=per0*hx(l)
      by(l)=per0*hy(l)+br
700 b(l)=sqrt(bx(l)**2+by(l)**2)
c**      in umarul de prindere (fier)
c      (se corecteaza inductia B din elementele care,initial,au
c      fost considerate intrefier)
      do 7000 kc=1,4
      l1=mu1+(kc-1)*ncp1
      l2=mu2+(kc-1)*ncp1
      do 7000 l=l1,l2
      bi=y(je(l))-y(ke(l))
      bj=y(ke(l))-y(ie(l))
      bk=y(ie(l))-y(je(l))
      cci=x(ke(l))-x(je(l))
      ccj=x(ie(l))-x(ke(l))
      cck=x(je(l))-x(ie(l))
      alfa2=bi*vh(je(l))+bj*vh(ke(l))+bk*vh(ie(l))
      alfa3=cci*vh(ie(l))+ccj*vh(je(l))+cck*vh(ke(l))
      hx(l)=-alfa2/(2*s(l))
      hy(l)=-alfa3/(2*s(l))
6000 h(l)=sqrt(hx(l)**2+hy(l)**2)

```

---

```

if(h(l).le.h1)go to 6100
if(h(l).le.h2)go to 6200
if(h(l).le.h3)go to 6300
if(h(l).le.h4)go to 6400
go to 6500
6100 bl=c1*h(l)+c2*(h(l)**2)
go to 6600
6200 bl=c1*h(l)+c2*(h(l)**2)+c3*((h(l)-h1)**2)+c4*((h(l)-h1)**3)
go to 6600
6300 bl=c1*h(l)+c2*(h(l)**2)+c3*((h(l)-h1)**2)+c4*((h(l)-h1)**3)+  

* c5*((h(l)-h2)**2)+c6*((h(l)-h2)**3)+c7*((h(l)-h2)**4)
go to 6600
6400 bl=b3+c8*((h(l)-h3)**(1/4))
go to 6600
6500 bl=b4+c9*(h(l)-h4)
6600 prr=bl/(h(l)*per0)
bx(l)=per0*prr*hx(l)
by(l)=per0*prr*hy(l)
sdprr=sdprr+abs(prr-pr(l))
if(bl-b2)6650,6660,6660
665 pr(l)=pr(l)+omegaf1*(prr-pr(l))
go to 7000
6660 pr(l)=pr(l)+omegaf2*(prr-pr(l))
7000 b(l)=sqrt(bx(l)**2+by(l)**2)
if(sdprr-epsprr)750,750,710
710 if(itprr-itprrm)720,730,730
720 itprr=itprr+1
write(*,725)sdprr
725 format(10x,'SDPRR = ',e14.7)
go to 310
730 write(*,740)itprrm,sdprr
740 format(/20x,'Nu converge in ITPRRM = ',i3,2x,'iteratii',
* 4x,'SDPRR = ',e11.4/20x,'Nu este convergenta pe curba B(H)')
go to 770
750 write(*,760)itprr,sdprr
760 format(/10x,'ITPRR = ',i3,2x,'iteratii'/10x,'SDPRR = ',e11.4)
770 write(*,780)
780 format(/22x,'Permeabilitatile relative PR(l)'/18x,
* 'ale elementelor din inelul feromagnetic'/17x,41(''))
write(*,790)(l,pr(l),l=1,mf)
790 format(4(4x,'PR(',i2,') = ',f6.1))
c***tensiunea magnetica pe o curba inchisa gama(verificare calcul H)
c**      portiunea a-b
      gamamod=0.
      gama=0.
      do 792 l=mabj1,mabj2,npas
         xa=(x(ie(l))+x(ke(l)))/2
         ya=(y(ie(l))+y(ke(l)))/2

```

---

```

xb = (x(iel) + x(jel))/2
yb = (y(iel) + y(jel))/2
dx = xb-xa
dy = yb-ya
gamamod = gamamod + abs(hx(l) * dx + hy(l) * dy)
792 gama = gama + hx(l) * dx + hy(l) * dy
do 793 l=mabs1,mabs2,npas
xa = (x(jel) + x(kel))/2
ya = (y(jel) + y(kel))/2
xb = (x(iel) + x(jel))/2
yb = (y(iel) + y(jel))/2
dx = xb-xa
dy = yb-ya
gamamod = gamamod + abs(hx(ji) * dx + hy(ji) * dy)
793 gama = gama + hx(ji) * dx + hy(ji) * dy
c** portiunea b-c
do 794 l=mbcj1,mbcj2
xa = (x(iel) + x(ke(l))/2
ya = (y(iel) + y(ke(l))/2
xb = (x(jel) + x(ke(l))/2
yb = (y(jel) + y(ke(l))/2
dx = xb-xa
dy = yb-ya
gamamod = gamamod + abs(hx(l) * dx + hy(l) * dy)
794 gama = gama + hx(l) * dx + hy(l) * dy
do 795 l=mbcs1,mbcs2
xa = (x(iel) + x(ke(l))/2
ya = (y(iel) + y(ke(l))/2
xb = (x(iel) + x(jel))/2
yb = (y(iel) + y(jel))/2
dx = xb-xa
dy = yb-ya
gamamod = gamamod + abs(hx(l) * dx + hy(l) * dy)
795 gama = gama + hx(l) * dx + hy(l) * dy
c** portiunea c-d
do 796 l=mcdj1,mcdj2,npas
xa = (x(iel) + x(jel))/2
ya = (y(iel) + y(jel))/2
xb = (x(iel) + x(ke(l))/2
yb = (y(iel) + y(ke(l))/2
dx = xb-xa
dy = yb-ya
gamamod = gamamod + abs(hx(l) * dx + hy(l) * dy)
796 gama = gama + hx(l) * dx + hy(l) * dy
do 797 l=mcds1,mcds2,npas
xa = (x(iel) + x(jel))/2
ya = (y(iel) + y(jel))/2
xb = (x(jel) + x(ke(l))/2

```

---

```

yb = (y(je(l)) + y(ke(l)))/2
dx = xb-xa
dy = yb-ya
gamamod = gamamod + abs(hx(l) * dx + hy(l) * dy)
797 gama = gama + hx(l) * dx + hy(l) * dy
***** portiunea d-a
do 798 l=mdaj1,mdaj2
xa = (x(je(l)) + x(ke(l)))/2
ya = (y(je(l)) + y(ke(l)))/2
xb = (x(ie(l)) + x(ke(l)))/2
yb = (y(ie(l)) + y(ke(l)))/2
dx = xb-xa
dy = yb-ya
gamamod = gamamod + abs(hx(l) * dx + hy(l) * dy)
798 gama = gama + hx(l) * dx + hy(l) * dy
do 799 l=mdas1,mdas2
xa = (x(ie(l)) + x(je(l)))/2
ya = (y(ie(l)) + y(je(l)))/2
xb = (x(ie(l)) + x(ke(l)))/2
yb = (y(ie(l)) + y(ke(l)))/2
dx = xb-xa
dy = yb-ya
gamamod = gamamod + abs(hx(l) * dx + hy(l) * dy)
799 gama = gama + hx(l) * dx + hy(l) * dy
write(*,7990)gama,gamamod
7990 format(//2x,'Tensiunea magnetica pe o curba inchisa este ',5x,
* 'GAMA = ',e14.7,' A'/2x,'Suma valorilor absolute ale tens.',
* 'magnetice pe '/4x,'elementele prin care trece curba inchisa '
* 'este ',2x,'GAMAMOD = ',e14.7,' A')
errtmag = abs((gama/gamamod)*100.)
write(*,7991)errtmag
7991 format(2x,'Eroarea relativa este ',28x,'ERRTMAG = ',e14.7,1x,'%')
write(*,7995)mabj1,mabj2,mabs1,mabs2,mbcj1,mbcj2,mbcs1,mbcs2,
* mcdj1,mcdj2,mcds1,mcds2,mdaj1,mdaj2,mdas1,mdas2
7995 format(//2x,'Datele traseului de integrare: //,(10x,4i9/))
c***Calculul unghiurilor vectorilor H si B fata de axa ox
do 7996 l= 1,m
argh(l) = (atan(hy(l)/hx(l))) * (180/pi)
7996 argb(l) = (atan(by(l)/bx(l))) * (180/pi)
write(*,8001)
8001 format(//,10x,'Intensitatea cimpului magnetic din elementele ',
* 'domeniului [A/m]'/9x,63('*'))
i1 = 1
i2 = 4
8101 write(*,8201)(l,hx(l),l=i1,i2)
8201 format(4(2x,'HX(',i3,',') = ',e10.3))
write(*,8301)(l,hy(l),l=i1,i2)
8301 format(4(2x,'HY(',i3,',') = ',e10.3))

```

```

write(*,8401)(l,h(l),l=i1,i2)
8401 format(4(2x,'H(' ,i4,') = ',e10.3))
if(i2.eq.m)go to 8601
i1 = i2 + 1
i2 = i2 + 4
if(i2-m)8101,8101,8501
8501 i2=m
go to 8101
8601 continue
c*** calculeaza inductiei in coordonate polare,in elementele intrefierului;
c      din bx(l) si by(l) se determina bro(l) si bfi(l)
      do 7900 k = 2,ncp2
      fi = (95.-alfat(k)) *pi/180
      i1 = 35 + k
      i2 = i1 + ncp1
      i3 = i2 + ncp1
      i4 = i3 + ncp1
      bro(i1) = bx(i1) *cos(fi) + by(i1) *sin(fi)
      bfi(i1) = bx(i1)*sin(fi)-by(i1) *cos(fi)
      bcp(i1) = sqrt(bro(i1)**2 + bfi(i1)**2)
      bro(i2) = bx(i2) *cos(fi) + by(i2) *sin(fi)
      bfi(i2) = bx(i2)*sin(fi)-by(i2) *cos(fi)
      bcp(i2) = sqrt(bro(i2)**2 + bfi(i2)**2)
      bro(i3) = bx(i3) *cos(fi) + by(i3) *sin(fi)
      bfi(i3) = bx(i3)*sin(fi)-by(i3) *cos(fi)
      bcp(i3) = sqrt(bro(i3)**2 + bfi(i3)**2)
      bro(i4) = bx(i4) *cos(fi) + by(i4) *sin(fi)
      bfi(i4) = bx(i4)*sin(fi)-by(i4) *cos(fi)
7900 bcp(i4) = sqrt(bro(i4)**2 + bfi(i4)**2)
      write(*,8000)
8000 format(///,16x,'Inductia magnetica din elem.intrefierului [T]/
* 15x,47('*'))
      i1 = 37
      i2 = 41
8100 write(*,8200)(l,bro(l),l=i1,i2)
8200 format(5(2x,'BRO(' ,i2,') = ',f5.3))
      write(*,8300)(l,bfi(l),l=i1,i2)
8300 format(5(2x,'BFI(' ,i2,') = ',f5.3))
      write(*,8400)(l,bcp(l),l=i1,i2)
8400 format(5(2x,'BCP(' ,i2,') = ',f5.3))
      if(i2.eq.maf)go to 8600
      i1 = i2 + 1
      i2 = i2 + 5
      if(i2-maf)8100,8100,8500
8500 i2 = maf
go to 8100
8600 continue
c*** expresia cuplului ce actioneaza asupra bobinei

```

```

bromed1 = (bro(37) + bro(38) + bro(46) + bro(47) +
*      bro(55) + bro(56) + bro(64) + bro(65))/8
bromed2 = (bro(38) + bro(39) + bro(47) + bro(48) +
*      bro(56) + bro(57) + bro(65) + bro(66))/8
c expresia cuplului se va scrie,dupa tiparirea valorilor inductiei,
c in functie de bromed1,respectiv bromed2
  write(*,800)
800 format(///,16x,'Inductia magnetica din elem. domeniului [T]'/
* 15x,45('*'))
  i1 = 1
  i2 = 5
810 write(*,820)(l,bx(l),l=i1,i2)
820 format(/5(2x,'BX(',i3,',') = ',f5.3))
  write(*,830)(l,by(l),l=i1,i2)
830 format(5(2x,'BY(',i3,',') = ',f5.3))
  write(*,840)(l,b(l),l=i1,i2)
840 forrnat(5(2x,'B(',i4,',') = ',f5.3))
  if(i2.eq.m)go to 860
  i1 = i2 + 1
  i2 = i2 + 5
  if(i2-m)810,810,850
850 i2=m
  go to 810
860 continue
  write(*,870)
870 format(///,15x,'Unghurile vectorilor H si B fata de ',
* 'axa Ox [grade]'/14x,55('*'))
  i1 = 1
  i2 = 4
880 write(*,890)(l,argh(l),l=i1,i2),(l,argb(l),l=i1,i2)
890 format(/4(1x,'ARGH(',i3,',') = ',f6.2)/4(1x,'ARGB(',i3,',') = ',f6.2))
  if(i2.eq.m)go to 910
  i1 = i2 + 1
  i2 = i2 + 4
  if(i2-m)880,880,900
900 i2=m
  go to 880
910 continue
  write(*,920)bromed1,bromed2
920 format(//,15x,'CUPLUL MEDIU'/14x,14('*'))/5x,'Varianta 1: C1 = ',
* f7.5,'*N*I*Sa'/5x,'Varianta 2: C2 = ',f7.5,'*N*I*Sa'//15x,
* 'N-nr. de spire ale bobinei'/15x,'I-curentul din bobina'
* 15x,'Sa-suprafata activa a sprei')
  stop
end

```

## ANEXA 4

```

c                                     MEFMAG08
c
c***Calculul campului magnetic in releul cu magnet permanent cilindric.
c***Mediul este neomogen, inelul feromagnetic este neliniar,
c***magnetul permanent este neliniar.
c***Se determina si expresia cuprului de actioneaza asupra bobinelor
c***si se reprezinta spectrul vectorilor B si H.
c
    include 'fgraph.fi'
    include 'fgraph.fd'
    dimension x(81),y(81),r(81),alfa(81),rt(8),alfat(10),
    *vh(82),bx(135),by(135),b(135),ci(72),cil(72,6),index(20),
    *ie(135),je(135),ke(135),ne(72,6),nn(72,6),tl(72),s(135),
    *pr(135),xv(6),yv(6),sv(6),pv(6),hx(135),hy(135),h(135),
    *argh(135),argb(135),bro(135),bfi(135),bcp(135),xcg(135),
    *ycg(135),xbg(135),ybg(135),xhg(135),yhg(135),brx(135),bry(135),
    *brxv(6),bryv(6)
    integer*2 dummy
    record /wxycord/k1
c*****datele suplimentare
    write(*,1)
1   format(2x,'br0  cu f10.5')
    read(*,6)br0
    hc0=.5e05
    hm1=.2e05
    hm2=.335e05
    hm3=.465e05
    cm1=.575e-05
    cm2=.2875e-09
    cm3=.34456e-13
    cm4=.57143e-04
    itprrpm=25
    akbnmax=2.
    write(*,5)
5   format(5x,'omegap,epsrrp,perrip,akx  cu 4 f10.5')
    read(*,6)omegap,epsrrp,perrip,akx
6   format(6f10.5)
    eps=0.1e00
    omega=0.1853e01
    perri=0.3e03
    scab=0.0025
    scah1=0.1e-05

```

```
scah2 = 0.5e-08
scah3 = 2.e-08
epsprr = 10.
omegaf1 = 0.523
omegaf2 = 0.523
itprrm = 100
per0 = 0.1256637e-05
pi = 3.141593
nl = 7
nc = 8
iterm = 300
mabj1 = 30
mabj2 = 102
mbcj1 = 120
mbcj2 = 121
mc dj1 = 32
mc dj2 = 104
mdaj1 = 30
mdaj2 = 31
bnmax = br0/akbnmax
hc = -.1273e + 06
c1 = .12444e-03
c2 = .2706e-06
c3 = .6215e-06
c4 = -.684e-09
c5 = .5126e-06
c6 = .699e-09
c7 = .25034e-14
c8 = .264e-01
c9 = .489e-05
b1 = .2
b2 = .8
b3 = 1.7
b4 = 2.
h1 = .66e + 03
h2 = .145e + 04
h3 = .62e + 04
h4 = .228e + 05
rt(1) = .145e-01
rt(2) = .1275e-01
rt(3) = .1175e-01
rt(4) = .11e-01
rt(5) = .9e-02
rt(6) = .6e-02
rt(7) = .3e-02
rt(8) = .1625e-01
alfat(1) = 0.
alfat(2) = 10.
```

---

```

alfat(3) = 20.
alfat(4) = 30.
alfat(5) = 40.
alfat(6) = 50.
alfat(7) = 60.
alfat(8) = 70.
alfat(9) = 80.
alfat(10) = 90.

***MARIMI AJUTATOARE
mf = 36
mfp1 = mf + 1
maf = 72
mafp1 = maf + 1
ni = nl * nc
nlp1 = nl + 1
ncp1 = nc + 1
npas = 2 * ncp1
mabs1 = mabj1 + ncp1
mabs2 = mabj2 + ncp1
mbcs1 = mbcj1 - nc
mbcs2 = mbcj2 - nc
mcds1 = mcdj1 + ncp1
mcds2 = mcdj2 + ncp1
mdas1 = mdaj1 - nc
mdas2 = mdaj2 - nc
ncp2 = nc + 2
nec = ni + nc + nlp1
n = ncp2 * nlp1 + 1
m = ncp1 * (2 * nl + 1)
niss = ni + 1
nids = ni + nc
nss = nids + 1
nsj = nss + nl
nds = nsj + 1
ncm1 = nc - 1
nlm1 = nl - 1
index0 = 0
do 50 i = 1, ncp1
50 index(i) = i
vh(82) = 0.

vh(82) = marime ajutatoare la rezolvarea sistemului de ecuatii

***COORDONATELE NODURILOR
do 70 jv = 1, nlp1
do 70 jh = 1, nc
i = (jv - 1) * nc + jh
r(i) = rt(jv)
70 alfa(i) = alfat(jh + 1)
r(nss) = rt(8)

```

---

---

```

r(nds) = rt(8)
r(n) = 0.
alfa(nss) = alfat(1)
alfa(nds) = alfat(10)
alfa(n) = 0.
do 80 jv = 1,nl
nsspjv = nss + jv
ndspjv = nds + jv
r(nsspjv) = rt(jv)
r(ndspjv) = rt(jv)
alfa(nsspjv) = alfat(1)
80 alfa(ndspjv) = alfat(10)
do 90 i = 1,n
a = alfa(i)*pi/180
x(i) = r(i)*sin(a)
90 y(i) = r(i)*cos(a)
write(*,110) index0,(indexi),i=1,ncp1
100 format(/i24x,'Coordonatele nodurilor x/y|m|'/23x,
*32('*')//6x,10i7)
write(*,110) index0,x(nss),(x(i),i=niss,nids),x(nds)
110 format(/5x,i2,2x,10(f7.5))
write(*,120)y(nss),(y(i),i=niss,nids),y(nds)
120 format(9x,10(f7.5))
do 130 jv = 1,nl
ls = (jv-1)*nc + 1
ld = ls + ncm1
nsspjv = nss + jv
ndspjv = nds + jv
write(*,110) jv,x(nsspjv),(x(jh),jh=ls,ld),x(ndspjv)
130 write(*,120)y(nsspjv),(y(jh),jh=ls,ld),y(ndspjv)
***TABLOUL NODURILOR ELEMENTELOR
do 150 jv = 1,nl
ki = (jv-1)*nc
kl = (jv-1)*ncp1*2
do 150 jh = 1,ncp1
i = ki + jh
l = kl + jh
lj = l + ncp1
is = i - nc
if(jv.eq.1)is = ni + jh
ie(l) = i - 1
je(l) = is
ke(l) = is - 1
ie(lj) = i - 1
je(lj) = i
ke(lj) = is
if(jh.ne.1)go to 140
ie(l) = nss + jv

```

```

ke(l) = nids + jv
ie(lj) = nss + jv
140 if(jh.ne.ncp1)go to 150
je(l) = nsj + jv
je(lj) = nds + jv
ke(lj) = nsj + jv
150 continue
do 160 jh = 1,ncp1
l = jh + (m-ncp1)
i = jh + (ni-nc)
ie(l) = n
je(l) = i
160 ke(l) = i-1
! - m - nc
ke(l) = nss + nl
l = m
je(l) = n-1
c***TABLOURILE NODURILOR SI ELEMENTELOR VECINE UNUI NOD
c**      interior
do 170 jv = 1,nlm1
ki = (jv-1) * nc
kl = jv * ncp1 * 2
do 170 jh = 1,nc
i = ki + jh
l = kl + jh
ne(i,1) = l-ncp1
ne(i,2) = l
ne(i,3) = l + ncp1
ne(i,4) = l + 1
ne(i,5) = l-nc
ne(i,6) = l-nc*2-1
nn(i,1) = i-1
nn(i,2) = i + nc-1
nn(i,3) = i + nc
nn(i,4) = i + 1
nn(i,5) = i-nc + 1
170 nn(i,6) = i-nc
do 180 jh = 1,nc
nn(jh,5) = niss + jh
180 nn(jh,6) = niss + jh-1
do 190 jv = 1,nlm1
is = (jv-1) * nc + 1
id = is + nc-1
nn(is,1) = niss + jv
nn(is,2) = nss + jv + 1
nn(id,4) = nds + jv
190 nn(id,5) = nsj + jv
c**      pe frontiera de sus

```

---

```
do 200 jh=1,nc
i=ni+jh
ne(i,1)=jh
ne(i,2)=jh+ncp1
ne(i,3)=jh+1
ne(i,4)=0
ne(i,5)=0
ne(i,6)=0
nn(i,1)=i-1
nn(i,2)=jh-1
nn(i,3)=jh
nn(i,4)=i+1
nn(i,5)=82
?00 nn(i,6)=82
nn(niss,1)=nss
nn(niss,2)=nss+1
nn(nds,4)=nds
**      pentru JV = NL = 7 (R = r7)
do 210 jh=1,nc
i=ni-nc+jh
ne(i,1)=m-ncp1+jh
ne(i,2)=m-nc+jh
ne(i,3)=m-2*nc-1+jh
ne(i,4)=m-3*ncp1+1+jh
ne(i,5)=m-2*ncp1+jh
ne(i,6)=0
nn(i,1)=n
nn(i,2)=i+1
nn(i,3)=i-nc+1
nn(i,4)=i-ncp1+1
nn(i,5)=i-1
?10 nn(i,6)=82
nn(49,5)=nsj
nn(56,2)=n-1
nn(56,3)=n-2
**      pe frontieră din stinga
do 220 i=1,6
ne(nss,i)=0
?20 nn(nss,i)=82
ne(nss,1)=1
nn(nss,1)=nss+1
nn(nss,2)=niss
do 225 JV=1,nl
i=nss+jv
do 225 l=1,6
ne(i,l)=0
?25 nn(i,l)=82
do 230 JV=1,nl
```

---

```

i=nss+jv
ne(i,1)=2*jv*ncp1+1
ne(i,2)=(2*jv-1)*ncp1+1
ne(i,3)=2*(jv-1)*ncp1+1
nn(i,1)=i+1
nn(i,2)=(jv-1)*nc+1
nn(i,3)=(jv-2)*nc+1
'30 nn(i,4)=i-1
nn(66,3)=niss
nn(nsj,1)=n
***SUPRAFETELE ELEMENTELOR
do 240 l=1,m
i=ie(l)
j=je(l)
k=ke(l)
'40 s(l)=(x(i)*(y(j)-y(k))+x(j)*(y(k)-y(i))+x(k)*(y(i)-y(j)))/2
write(*,245)
'45 format(//20x,'Suprafetele elementelor [m2]'/19x,31('*'))/
write(*,246)(l,s(l),l=1,m)
'46 format(5(1x,'S',i3,',',e8.2,1x))
***PERMEABILITATILE RELATIVE INITIALE
do 250 l=1,mf
'50 pr(l)=perri
do 260 l=mfp1,maf
'60 pr(l)=1.
do 265 l=mafp1,m
'65 pr(l)=perrip
***SOLUTIA INITIALA
do 270 i=1,n
'70 vh(i)=0.
vhmax=bnmax*(rt(2)-rt(4))/per0
**      la suprafata magnetului permanent
vh(69)=vhmax
do 280 i=25,32
a=alfa(i)*pi/180
'80 vh(i)=vhmax*cos(a)
**      in intrefier
vh(68)=vhmax*(rt(2)-rt(3))/(rt(2)-rt(4))
do 290 i=17,24
a=alfa(i)*pi/180
'90 vh(i)=vh(68)*cos(a)
**      in magnetul permanent
ms=25
md=32
do 300 ii=1,3
ji=69+ii
li=4+ii
vh(ji)=vhmax*rt(li)/rt(4)

```

---

---

$ms = ms + nc$   
 $md = md + nc$   
 $do \ 300 \ ki = ms, md$   
 $a = alfa(ki) * pi / 180$   
**300**  $vh(ki) = vh(ji) * cos(a)$   
**c\*\*\*VALORI PT. BRX(L) si BRY(L)**  
 $do \ 303 \ l = 1, maf$   
 $brx(l) = 0.$   
**303**  $bry(l) = 0.$   
 $do \ 304 \ l = maf, 1, m$   
 $brx(l) = br0 / akx$   
**304**  $bry(l) = br0$   
**c\*\* Corectie brx(l) pt elementele adiacente axei oy, unde s-au**  
**c\*\* considerat conditii Neumann nule in functionala (magnetizare)**  
**c\* permanenta Mpn = 0**  
 $do \ 305 \ l = 73, 127, 18$   
**305**  $brx(l) = 0.$   
**c\*\*\*TERMENII LIBERI**  
 $do \ 307 \ i = 1, nec$   
**307**  $tl(i) = 0.$   
**c** termenii liberi sunt nenuli numai pt. ecuatiiile nodurilor din magnet  
**c sau de la suprafata acestuia**  
**c inafara magnetului, magnetizarile BRX si BRY = 0**  
**c\*\* noduri interioare magnetului cu 6 elemente vecine(nodurile 33-48)**  
 $do \ 442 \ i = 33, 48$   
 $do \ 441 \ l = 1, 6$   
 $iv = nn(i, l)$   
 $lv = ne(i, l)$   
 $xv(l) = x(iv)$   
 $yv(l) = y(iv)$   
 $brxv(l) = brx(iv)$   
**441**  $bryv(l) = bry(iv)$   
 $tl(i) = 0.5 * (brxv(1) * (yv(6) - yv(1)) + bryv(1) * (xv(1) - xv(6)))$   
 $do \ 442 \ l = 2, 6$   
**442**  $tl(i) = tl(i) + 0.5 * (brxv(l) * (yv(l-1) - yv(l)) +$   
 $* bryv(l) * (xv(l) - xv(l-1)))$   
**c\*\* noduri interioare magnetului cu 5 elemente vecine; nodurile(49-56)**  
 $do \ 444 \ i = 49, 56$   
 $do \ 443 \ l = 1, 5$   
 $iv = nn(i, l)$   
 $lv = ne(i, l)$   
 $xv(l) = x(iv)$   
 $yv(l) = y(iv)$   
 $brxv(l) = brx(iv)$   
**443**  $bryv(l) = bry(iv)$   
 $tl(i) = 0.5 * (brxv(1) * (yv(5) - yv(1)) + bryv(1) * (xv(1) - xv(5)))$   
 $do \ 444 \ l = 2, 5$   
**444**  $tl(i) = tl(i) + 0.5 * (brxv(l) * (yv(l-1) - yv(l)) +$

---

```

*bryv(l) * (xv(l)-xv(l-1))
c** la suprafata de separatie magnet-intrefier;nodurile(25-32)
do 447 i=25,32
do 445 j=1,4
iv = nn(i,j)
xv(j) = x(iv)
445 yv(j) = y(iv)
do 446 l=2,4
lv = ne(i,l)
brxv(l) = b(x{lv})
446 bryv(l) = bry(lv)
447 tl(i) = 0.5 *(brxv(2) * (yv(1)-yv(2)) + bryv(2) * (xv(2)-xv(1)) +
*brxv(3) * (yv(2)-yv(3)) + bryv(3) * (xv(3)-xv(2)) +
*brxv(4) * (yv(3)-yv(4)) + bryv(4) * (xv(4)-xv(3)))
c** pe axa oy din magnet;nodurile(69-72)
tl(69) = 0.5 *(brxv(73) * (y(70)-y(25)) + bryv(73) * (x(25)-x(70)))
do 450 l=70,72
do 448 j=1,4
iv = nn(i,j)
xv(j) = x(iv)
448 yv(j) = y(iv)
do 449 l=1,3
lv = ne(i,l)
brxv(l) = brx(lv)
449 bryv(l) = bry(lv)
450 tl(i) = 0.5 *(brxv(1) * (yv(1)-yv(2)) + bryv(1) * (xv(2)-xv(1)) +
*brxv(2) * (yv(2)-yv(3)) + bryv(2) * (xv(3)-xv(2)) +
*brxv(3) * (yv(3)-yv(4)) + bryv(3) * (xv(4)-xv(3)))
write(*,451)(i,tl(i),i=1,nec)
451 format(//35x,'TL(l)'/34x,7('*')//5(1x,'TL',i2,' ',e9.3))
read(*,*)

****COEFICIENTII ECUATIILOR
c** noduri interioare cu 6 elemente vecine
itprrp = 1
309 itprr = 1
310 do 340 i=1,48
do 320 l=1,6
iv = nn(i,l)
lv = ne(i,l)
xv(l) = x(iv)
yv(l) = y(iv)
pv(l) = per0*pr(lv)
320 sv(l) = s(lv)
ci(i) = ((yv(6)-yv(1))**2 + (xv(1)-xv(6))**2)*pv(1)/(4*sv(1))
do 330 l=2,6
330 ci(i) = ci(i) + ((yv(l-1)-yv(l))**2 + (xv(l)-xv(l-1))**2) *
**pv(l)/(4*sv(l))
cil(i,1) = ((yv(6)-yv(1)) * (y(i)-yv(6)) + (xv(1)-xv(6)) * (xv(6)-x(i))) *

```

```

*pv(1)/(4*sv(1)) + ((yv(1)-yv(2))*(yv(2)-y(i)) + (xv(2)-xv(1))* 
*(xi(i)-xv(2)))*pv(2)/(4*sv(2))
cil(i,6) = ((yv(5)-yv(6))*(y(i)-yv(5)) + (xv(6)-xv(5))*(xv(5)-x(i)))* 
*pv(6)/(4*sv(6)) + ((yv(6)-yv(1))*(yv(1)-y(i)) + (xv(1)-xv(6))* 
*(xi(i)-xv(1)))*pv(1)/(4*sv(1))
do 340 l=2,5
k=l-1
j=l+1
340 cil(i,l) = ((yv(k)-yv(l))*(y(i)-yv(k)) + (xv(l)-xv(k))*(xv(k)-x(i)))* 
*pv(l)/(4*sv(l)) + ((yv(l)-yv(j))*(yv(j)-y(i)) + 
*(xv(j)-xv(l))*(x(i)-xv(j)))*pv(j)/(4*sv(j))
c** noduri interioare cu 5 elemente vecine
do 370 i=49,56
do 350 l=1,5
iv=nn(i,l)
lv=ne(i,l)
xv(l)=x(iv)
yv(l)=y(iv)
pv(l)=per0*pr(lv)
350 sv(l)=s(lv)
ci(i)=(yv(5)-yv(1))**2+(xv(1)-xv(5))**2*pv(1)/(4*sv(1))
do 360 l=2,5
360 ci(i)=ci(i)+((yv(l-1)-yv(l))**2+(xv(l)-xv(l-1))**2)* 
*pv(l)/(4*sv(l))
cil(i,1) = ((yv(5)-yv(1))*(y(i)-yv(5)) + (xv(1)-xv(5))*(xv(5)-x(i)))* 
*pv(1)/(4*sv(1)) + ((yv(1)-yv(2))*(yv(2)-y(i)) + (xv(2)-xv(1))* 
*(xi(i)-xv(2)))*pv(2)/(4*sv(2))
cil(i,5) = ((yv(4)-yv(5))*(y(i)-yv(4)) + (xv(5)-xv(4))*(xv(4)-x(i)))* 
*pv(5)/(4*sv(5)) + ((yv(5)-yv(1))*(yv(1)-y(i)) + (xv(1)-xv(5))* 
*(xi(i)-xv(1)))*pv(1)/(4*sv(1))
cil(i,6)=0.
do 370 l=2,4
k=l-1
j=l+1
370 cil(i,l) = ((yv(k)-yv(l))*(y(i)-yv(k)) + (xv(l)-xv(k))*(xv(k)-x(i)))* 
*pv(l)/(4*sv(l)) + ((yv(l)-yv(j))*(yv(j)-y(i)) + 
*(xv(j)-xv(l))*(x(i)-xv(j)))*pv(j)/(4*sv(j))
c** noduri pe frontiera de sus si frontiera din stanga
do 420 i=niss,nsj
if(i.eq.nss) go to 420
do 390 l=1,4
iv=nn(i,l)
if(l.eq.4) go to 380
lv=ne(i,l)
380 xv(l)=x(iv)
yv(l)=y(iv)
if(l.eq.4) go to 390
pv(l)=per0*pr(lv)

```

---

```

sv(l) = s(lv)
390 continue
ci(i) = 0.
do 400 l=1,3
400 ci(i) = ci(i) + ((yv(l)-yv(l+1))**2 + (xv(l+1)-xv(l))**2)*pv(l)/(4*
*sv(l))
ci(i,1) = ((yv(1)-yv(2))*(yv(2)-y(i)) + (xv(2)-xv(1))*(x(i)-xv(2)))
**pv(1)/(4*sv(1))
ci(i,4) = ((yv(3)-yv(4))*(y(i)-yv(3)) + (xv(4)-xv(3))*(xv(3)-x(i)))
**pv(3)/(4*sv(3))
do 410 l=2,3
k = l-1
j = l + 1
410 cil(i,l) = ((yv(k)-yv(l))*(y(i)-yv(k)) + (xv(l)-xv(k))*(
*(xv(k)-x(i)))*pv(k)/(4*sv(k)) + ((yv(l)-yv(j))*(yv(j)-y(i)) +
*(xv(j)-xv(l))*(x(i)-xv(j)))*pv(l)/(4*sv(l))
cil(i,5) = 0.
cil(i,6) = 0.
420 continue
c** noduri de colt (numai vh(nss) este nenul)
pv(1)=per0*pr(1)
ci(nss) = ((y(nss+1)-y(niss))**2 + (x(niss)-x(nss+1))**2)*pv(1)/
*(4*s(1))
cil(nss,1) = ((y(nss+1)-y(niss))*(y(niss)-y(nss)) + (x(niss)-
*x(nss+1))*(x(nss)-x(niss)))*pv(1)/(4*s(1))
cil(nss,2) = ((y(nss+1)-y(niss))*(y(nss)-y(nss+1)) + (x(niss)-
*x(nss+1))*(x(nss+1)-x(nss)))*pv(1)/(4*s(1))
do 430 l=3,6
430 cil(nss,l) = 0.
c***REZOLVAREA SISTEMULUI DE ECUATII
iter = 1
460 sd = 0.
do 480 i=1,nec
scvh = 0.
do 470 l=1,6
470 scvh = scvh - cil(i,l)*vh(nn(i,l))
vh0 = (tl(i) + scvh)/ci(i)
dvh = vh0 - vh(i)
sd = sd + abs(dvh)
480 vh(i) = vh(i) + omega*dvh
if(sd-eps)530,530,490
490 if(iter-iterm)500,510,510
500 iter = iter + 1
go to 460.
510 write(*,520)iterm,sd
520 format(//20x,'Nu converge in iter = ',i3,1x,'iterati',4x,
*'SD = ',e11.4/20x,'Sistemul cu necunoscutele VH(i) nu este conv.')
stop

```

---

---

530 continue  
 write(\*,540)itprr,iter,sd  
 540 format(//10x,'ITPRR = ',i3,2x,'(nr. iteratii pe curba B(H))'  
 '/10x,'ITER = ',i3,2x,'iteratii'/10x,'SD = ',e11.4)  
 :\*\*\*CALCULUL INDUCTIEI MAGNETICE  
 :\*\* calcul H(l)  
 do 550 l=1,m  
 bi = y(je(l))-y(ke(l))  
 bj = y(ke(l))-y ie(l))  
 bk = y ie(l))-y(je(l))  
 cci = x(ke(l))-x(je(l))  
 ccj = x ie(l))-x(ke(l))  
 cck = x(je(l))-x ie(l))  
 alfa2 = bi \* vh ie(l)) + bi \* vh ie(l)) + bk \* vh ke(l))  
 alfa3 = cci \* vh ie(l)) + ccj \* vh ie(l)) + cck \* vh ke(l))  
 hx(l) = -alfa2/(2\*s(l))  
 550 hy(l) = -alfa3/(2\*s(l))  
 :\*\* calcul B(l)  
 sdprr = 0.  
 do 672 l=1,maf  
 :\*\* pentru fier  
 if(l-mf)600,600,670  
 600 h(l) = sqrt(hx(l)\*\*2 + hy(l)\*\*2)  
 if(h(l).le.h1)go to 610  
 if(h(l).le.h2)go to 620  
 if(h(l).le.h3)go to 630  
 if(h(l).le.h4)go to 640  
 go to 650  
 610 bl = c1 \* h(l) + c2 \* (h(l)\*\*2)  
 go to 660  
 620 bl = c1 \* h(l) + c2 \* (h(l)\*\*2) + c3 \* ((h(l)-h1)\*\*2) + c4 \* ((h(l)-h1)\*\*3)  
 go to 660  
 630 bl = c1 \* h(l) + c2 \* (h(l)\*\*2) + c3 \* ((h(l)-h1)\*\*2) + c4 \* ((h(l)-h1)\*\*3) +  
 \*c5 \* ((h(l)-h2)\*\*2) + c6 \* ((h(l)-h2)\*\*3) + c7 \* ((h(l)-h2)\*\*4)  
 go to 660  
 640 bl = b3 + c8 \* ((h(l)-h3)\*\*(1/4))  
 go to 660  
 650 bl = b4 + c9 \* (h(l)-h4)  
 660 prr = bl/(h(l)\*per0)  
 bx(l) = per0\*prr\*hx(l)  
 by(l) = per0\*prr\*hy(l)  
 sdprr = sdprr + abs(prr-pr(l))  
 if(bl-b2)665,666,666  
 665 pr(l) = pr(l) + omegaf1 \* (prr-pr(l))  
 go to 672  
 666 pr(l) = pr(l) + omegaf2 \* (prr-pr(l))  
 go to 672  
 :\*\* in intrefier

---

```

670 h(l) = sqrt(hx(l) ** 2 + hy(l) ** 2)
bx(l) = per0 * hx(l)
by(l) = per0 * hy(l)
672 b(l) = sqrt(bx(l) ** 2 + by(l) ** 2)
if(sdprr-epsprr)677,677,673
673 if(itprr-itprrm)674,675,675
674 itprr = itprr + 1
write(*,67400)sdprr
67400 format(10x,'SDP RRR = ',e14.7)
go to 310
675 write(*,676)itprr,sdprr
676 format(//20x,'NU CONVERGE IN ITPRR = ',i3,2x,'ITERATII',
*4x,'SDP RRR = ',e11.4/20x,'NU ESTE CONVERGENTA PE CURBA DE '
*'MAGNETIZARE B(H)')
go to 770
677 write(*,678)itprrp,itprr,sdprr
678 format(//10x,'ITP RRP = ',i2,2x,'ITERATII'
*10x,'ITP RRR = ',i3,2x,'ITERATII',10x,'SDP RRR = ',E11.4)
c**           in magnetul permanent
sdprrp = 0.
do /00 l=mafpl,m
h(l) = sqrt(hx(l) ** 2 + hy(l) ** 2)
if(h(l).le.hm1) go to 685
if(h(l).le.hm2) go to 686
if(h(l).le.hm3) go to 687
go to 688
685 bl = br0-cm1 * h(l)
go to 689
686 bl = br0-cm1 * h(l)-cm2 * ((h(l)-hm1) ** 2)
go to 689
687 bl = br0-cm1 * h(l)-cm2 * ((h(l)-hm1) ** 2)-
*cm3*((h(l)-hm2) ** 3)
go to 689
688 bl = cm4*(hc0-h(l))
689 prrp = (abs(bl-br0))/(per0*h(l))
bx(l) = per0*prrp*hx(l) + brx(l)
by(l) = per0*prrp*hy(l) + bry(l)
sdprrp = sdprrp + abs(prrp-pr(l))
pr(l) = pr(l) + omegap*(prrp-pr(l))
b(l) = sqrt(bx(l) ** 2 + by(l) ** 2)
700 continue
i1 = 1
i2 = 4
701 write(*,702)(l,brx(l),l=i1,i2)
702 format(4(2x,'BRX(',i3,') = ',f5.3))
write(*,703)(l,bry(l),l=i1,i2)
703 format(4(2x,'BRY(',i3,') = ',f5.3))
if(i2.eq.m) go to 706

```

---

```

i1=i2+1
i2=i2+4
if(i2-m)701,701,705
705 i2=m
go to 701
706 continue
if(sdprrp-epsprrp)750,750,710
710 if(itprrp-itprrpm)720,730,730
720 write(*,725)sdprrp,itprrp
725 format(10x,'SDPRRP = ',e14.7,5x,'ITPRRP = ',i2)
itprrp = itprrp + 1
go to 309
730 write(*,740)itprrp,sdprrp
740 format(//2x,'Nu converge in ITPRRPM = ',i3,2x,'iteratii'
*2x,'SDPRRP = ',e11.4/2x,'Nu este convergenta pe curba de'
*' demagnetizare')
go to 770
750 write(*,750)itprrp,sdprrp
760 format(//20x,'PROBLEMA ESTE REZOLVATA'/19X,25('*')
*///10x,'ITPRRP = ',i3,2x,'iteratii (pe curba de demagnetizare)'
*/10x,'SDPRRP = ',e11.4)
770 write(*,780)
780 format(//22x,'Permeabilitatile relative PR(l)'/
*21x,33('*'))
write(*,790)(l,pr(l),l=1,m)
790 format(4(3x,'PR(',i3,') = ',f6.2))
open(4,file ='pr(l).txt',status ='new')
c***Tensiunea magnetica pe o curba inchisa GAMA (VERIFICARE CALCUL H)
c**      portiunea a-b
gamamod=0.
gama=0.
do 792 l=mabj1,mabj2,npas
xa=(x(ie(l))+x(ke(l)))/2
ya=(y(ie(l))+y(ke(l)))/2
xb=(x(ie(l))+x(je(l)))/2
yb=(y(ie(l))+y(je(l)))/2
dx=xb-xa
dy=yb-ya
gamamod=gamamod+abs(hx(l)*dx+hy(l)*dy)
792 gama=gama+hx(l)*dx+hy(l)*dy
do 793 l=mabs1,mabs2,npas
xa=(x(je(l))+x(ke(l)))/2
ya=(y(je(l))+y(ke(l)))/2
xb=(x(ie(l))+x(je(l)))/2
yb=(y(ie(l))+y(je(l)))/2
dx=xb-xa
dy=yb-ya
gamamod=gamamod+abs(hx(l)*dx+hy(l)*dy)

```

793 gama = gama + hx(l) \* dx + hy(l) \* dy  
 c\*\* portiunea b-c

```

do 794 l=mbcj1,mbcj2
xa = (x(ie(l)) + x(ke(l)))/2
ya = (y(ie(l)) + y(ke(l)))/2
xb = (x(je(l)) + x(ke(l)))/2
yb = (y(je(l)) + y(ke(l)))/2
dx = xb-xa
dy = yb-ya
gamamod = gamamod + abs(hx(l) * dx + hy(l) * dy)
c** = gama + hx(l) * dx + hy(l) * dy
do 795 l=mbcs1,mbcs2
xa = (x(ie(l)) + x(ke(l)))/2
ya = (y(ie(l)) + y(ke(l)))/2
xb = (x(ie(l)) + x(je(l)))/2
yb = (y(ie(l)) + y(je(l)))/2
dx = xb-xa
dy = yb-ya
gamamod = gamamod + abs(hx(l) * dx + hy(l) * dy)
```

795 gama = gama + hx(l) \* dx + hy(l) \* dy  
 c\*\* portiunea c-d

```

do 796 l=mcdj1,mcdj2,npas
xa = (x(ie(l)) + x(je(l)))/2
ya = (y(ie(l)) + y(je(l)))/2
xb = (x(ie(l)) + x(ke(l)))/2
yb = (y(ie(l)) + y(ke(l)))/2
dx = xb-xa
dy = yb-ya
gamamod = gamamod + abs(hx(l) * dx + hy(l) * dy)
```

796 gama = gama + hx(l) \* dx + hy(l) \* dy  
 do 797 l=mcds1,mcds2,npas

```

xa = (x(ie(l)) + x(je(l)))/2
ya = (y(ie(l)) + y(je(l)))/2
xb = (x(je(l)) + x(ke(l)))/2
yb = (y(je(l)) + y(ke(l)))/2
dx = xb-xa
dy = yb-ya
gamamod = gamamod + abs(hx(l) * dx + hy(l) * dy)
```

797 gama = gama + hx(l) \* dx + hy(l) \* dy  
 c\*\* portiunea d-a

```

do 798 l=mdaj1,mdaj2
xa = (x(je(l)) + x(ke(l)))/2
ya = (y(je(l)) + y(ke(l)))/2
xb = (x(ie(l)) + x(ke(l)))/2
yb = (y(ie(l)) + y(ke(l)))/2
dx = xb-xa
dy = yb-ya
gamamod = gamamod + abs(hx(l) * dx + hy(l) * dy)
```

---

```

798 gama = gama + hx(l) * dx + hy(l) * dy
do 799 l=mdas1,mdas2
xa = (x(ie(l)) + x(je(l)))/2
ya = (y(ie(l)) + y(je(l)))/2
xb = (x(ie(l)) + x(ke(l)))/2
yb = (y(ie(l)) + y(ke(l)))/2
dx = xb-xa
dy = yb-ya
gamamod = gamamod + abs(hx(l) * dx + hy(l) * dy)
799 gama = gama + hx(l) * dx + hy(l) * dy
write(*,7990)gama,gamamod
7990 format(//2x,'Tensiunea magnetica pe o curba inchisa este ',5x,
*'GAMA = ',e14.7,' A'/2x,'Suma valorilor absolute ale tens. ',
*'magnetice pe '/4x,'elementele prin care trece curba inchisa '
*'este ',2x,'GAMAMOD = ',e14.7,' A')
errtmag = abs((gama/gamamod)*100.)
write(*,7991)errtmag
7991 format(2x,'Eroarea relativa este ',23x,'ERRTMAG = ',e14.7,1x,'%')
write(*,7995)mabj1,mabj2,mabs1,mabs2,mbcj1,mbcj2,mbcs1,mbcs2,
*mcdj1,mcdj2,mcds1,mcds2,mdaj1,mdaj2,mdas1,mdas2
7995 format(//2x,'Datele traseului de integrare://,(10x,4i9/))
c***CALCULUL UNGHIURILOR VECTORILOR H SI B FATA DE AXA OX
do 7996 l=1,m
argh(l) = (atan(hy(l)/hx(l))) * (180/pi)
7996 argb(l) = (atan(by(l)/bx(l))) * (180/pi)
write(*,8001)
8001 format(//,10x,'Intensitatea cimpului magnetic din elementele ',
*'domeniului [A/m]'/9x,63('*'))
i1 = 1
i2 = 4
8101 write(*,8201)(l,hx(l),l=i1,i2)
8201 format(/4(2x,'HX(',i3,',') = ',e10.3))
write(*,8301)(l,hy(l),l=i1,i2)
8301 format(4(2x,'HY(',i3,',') = ',e10.3))
write(*,8401)(l,h(l),l=i1,i2)
8401 format(4(2x,'H(',i4,',') = ',e10.3))
if(i2.eq.m)go to 8601
i1 = i2 + 1
i2 = i2 + 4
if(i2-m)8101,8101,8501
8501 i2=m
go to 8101
8601 continue
open(5,file = 'H(l).txt',status = 'new')
write(5,86020)
86020 format(/4x,'Intensitatea campului magnetic din elem. domeniului'
*,',[A/m]'/3x,58('*'))
i1 = 1

```

---

```

i2=4
86010 write(5,86011)(l,hx(l),l=i1,i2)
86011 format(/4(2x,'HX',i3,'=',f8.0))
     write(5,86012)(l,hy(l),l=i1,i2)
86012 format(4(2x,'HY',i3,'=',f8.0))
     write(5,86013)(l,h(l),l=i1,i2)
86013 format(4(2x,'H',i4,'=',f8.0))
     if(i2.eq.m)go to 86015
     i1 = i2 + 1
     i2 = i2 + 4
     if(i2>m)86010,86010,86014
86014 i2 = m
     go to 86010
86015 continue
C***CALCULUL INDUCTIE IN COORDONATE POLARE,IN INTREFIER;
C      din bx(l) si by(l) se determina bro(l) si bfi(l)
      do 7900 k = 2,ncp2
      fi = (95.-alfat(k))*pi/180
      l1 = 35 + k
      l2 = l1 + ncp1
      l3 = l2 + ncp1
      l4 = l3 + ncp1
      bro(l1) = bx(l1)*cos(fi) + by(l1)*sin(fi)
      bfi(l1) = bx(l1)*sin(fi)-by(l1)*cos(fi)
      bcp(l1) = sqrt(bro(l1)**2 + bfi(l1)**2)
      bro(l2) = bx(l2)*cos(fi) + by(l2)*sin(fi)
      bfi(l2) = bx(l2)*sin(fi)-by(l2)*cos(fi)
      bcp(l2) = sqrt(bro(l2)**2 + bfi(l2)**2)
      bro(l3) = bx(l3)*cos(fi) + by(l3)*sin(fi)
      bfi(l3) = bx(l3)*sin(fi)-by(l3)*cos(fi)
      bcp(l3) = sqrt(bro(l3)**2 + bfi(l3)**2)
      bro(l4) = bx(l4)*cos(fi) + by(l4)*sin(fi)
      bfi(l4) = bx(l4)*sin(fi)-by(l4)*cos(fi)
      bcp(l4) = sqrt(bro(l4)**2 + bfi(l4)**2)
      write(*,8000)
7900 format(///,16x,'Inductia magnetica din elem.intrefierului [T]/
*15x,47('*'))
      i1 = 37
      i2 = 41
8100 write(*,8200)(l,bro(l),l=i1,i2)
8200 format(/5(2x,'BRO',i2,'=',f5.3))
     write(*,8300)(l,bfi(l),l=i1,i2)
8300 format(5(2x,'BFI',i2,'=',f5.3))
     write(*,8400)(l,bcp(l),l=i1,i2)
8400 format(5(2x,'BCP',i2,'=',f5.3))
     if(i2.eq.maf)go to 8600
     i1 = i2 + 1
     i2 = i2 + 5

```

```

        if(i2-maf)8100,8100,8500
8500 i2=maf
      go to 8100
8600 continue
c***EXPRESIA CUPLULUI CE ACTIONEZA ASUPRA BOBINEI
  bromed1 = (bro(37) + bro(38) + bro(46) + bro(47) +
  *bro(55) + bro(56) + bro(64) + bro(65))/8
  bromed2 = (bro(38) + bro(39) + bro(47) + bro(48) +
  *bro(56) + bro(57) + bro(65) + bro(66))/8
  write(*,800)
800 format(///,16x,'Inductia magnetica din elem. domeniului [T]/
  *15x,45('''))
  i1 = 1
  i2 = 4
810 write(*,820)(l,bx(l),l=i1,i2)
820 format(/4(2x,'BX',i3,'=',f6.3))
  write(*,830)(l,by(l),l=i1,i2)
830 format(4(2x,'BY',i3,'=',f6.3))
  write(*,840)(l,b(l),l=i1,i2)
840 format(4(2x,'B',i4,'=',f6.3))
  if(i2.eq.m)go to 860
  i1 = i2 + 1
  i2 = i2 + 4
  if(i2-m)810,810,850
850 i2=m
      go to 810
860 continue
  open(6,file = 'B(l).txt',status = 'new')
  write(6,87020)
87020 format(10x,'Inductia magnetica din elem. domeniului [T]',
  */9x,45('''))
  i1 = 1
  i2 = 4
87010 write(6,87011)(l,bx(l),l=i1,i2)
87011 format(/4(3x,'BX',i3,'=',f7.4))
  write(6,87012)(l,by(l),l=i1,i2)
87012 format(4(3x,'BY',i3,'=',f7.4))
  write(6,87013)(l,b(l),l=i1,i2)
87013 format(4(3x,'B',i4,'=',f7.4))
  if(i2.eq.m)go to 87015
  i1 = i2 + 1
  i2 = i2 + 4
  if(i2-m)87010,87010,87014
87014 i2=m
      go to 87010
87015 continue
  write(*,870)
870 format(///,15x,'Unghiurile vectorilor H si B fata de ',

```

```

*'axa Ox [grade]'/14x,55('*'))
i1 = 1
i2 = 4
880 write(*,890)(l,argh(l),l=i1,i2),(l,argb(l),l=i1,i2)
890 format(/4(1x,'ARGH(',i3,')=',f6.2)/4(1x,'ARGB(',i3,')=',f6.2))
if(i2.eq.m)go to 910
i1 = i2 + 1
i2 = i2 + 4
if(i2-m)880,880,900
900 i2 = m
go to 230
910 continue
write(*,920)bromed1,bromed2
920 format(//,15x,'CUPUL MEDIU'/14x,14('*')//5x,'Varianta 1: C1 =',
*f7.5,'*N*I*Sa'/5x,'Varianta 2: C2 = ',f7.5,'*N*I*Sa'//15x,
'*'N-nr. de spire ale bobinei'/15x,'I-curentul din bobina'/
*15x,'Sa-suprafata activa a spirei')
c****MATRICILE COORDONATELOR ORIGINILOR SI VIDEULUIOR VECTORILOR B SI H
do 930 l = 1,m
  xcg(l) = (x(ie(l)) + x(je(l)) + x(ke(l)))/3
  ycg(l) = (y(ie(l)) + y(je(l)) + y(ke(l)))/3
  xbg(l) = xcg(l) + scab*bx(l)
  ybg(l) = ycg(l) + scab*by(l)
930 continue
do 940 l = 1,mf
  xhg(l) = xcg(l) + scah1*hx(l)
  yhg(l) = ycg(l) + scah1*hy(l)
940 continue
do 950 l = (mf + 1),maf
  xhg(l) = xcg(l) + scah2*hx(l)
  yhg(l) = ycg(l) + scah2*hy(l)
950 continue
do 955 l = mafp1,m
  xhg(l) = xcg(l) + scah3*hx(l)
  yhg(l) = ycg(l) + scah3*hy(l)
955 continue
r8 = 16.25 *0.001
r2 = 12.75 *0.001
r3 = 11.*0.001
c deschidere fereastra pt grafic vectori B
  dummy = setvideomode($vres16color)
  call setviewport(70,0,530,460)
  dummy = rectangle($gborder,0,0,460,460)
  dummy = setwindow(.true.,0,0,r8,r8)
c trasare domeniul pt grafic vectori B
  dummy = ellipse_w($gborder,-r8,-r8,r8,r8)
  dummy = ellipse_w($gborder,-r2,-r2,r2,r2)
  dummy = ellipse_w($gborder,-r3,-r3,r3,r3)

```

```
c trasare vectori B din elementele finite ale domeniului
write(*,960)
960 format(50x,'Spectrul B')
do i=1,m
call cimp(xcg(i),ycg(i),xbg(i),ybg(i))
end do
dummy=setvideomode($defaultmode)
c deschidere fereastra pt grafic vectori H
dummy=setvideomode($vres16color)
call setviewport(70.0,530,460)
dummy=rectangle($gborder,0.0,460,460)
dummy=setwindow(.true.,0.,0.,r8,r8)
c trasare domeniu pt grafic vectori H
dummy=ellipse_w($gborder,-r8,-r8,r8)
dummy=ellipse_w($gborder,-r2,-r2,r2,r2)
dummy=ellipse_w($gborder,-r3,-r3,r3,r3)
c trasare vectori H din elementele finite ale domeniului
write(*,970)
970 format(/50x,'Spectrul H')
do i=1,m
call cimp(xcg(i),ycg(i),xhg(i),vhg(i))
end do
dummy=setvideomode($defaultmode)
stop
end

subroutine cimp(x,y,x1,y1)
include "fgraph.fd"
integer*2 dummy
record /wxycoord/k1
data fc/1./
c x,y - coordonata origine
c x1,y1 - coordonata virf
c fc - factor de scara
call moveto_w(x,y,k1)
x1=x1*fc
y1=y1*fc
dummy=lineto_w(x1,y1)
end
```

## BIBLIOGRAFIE

1. Andronescu, P.  
Bazele electrotehnicii, vol.I,II. Editura didactică și pedagogică, București, 1972.
2. Alhamadi, M.A., Demerdash, N.A.  
A coupled vector-scalar potential method for permanent magnet modeling in large-scale 3D-FE magnetic field computations. IEEE Transactions on Mag., vol.29, no.6, 1993, p.(2401-2403).
3. Angot, A.  
Complemente de matematici pentru inginerii din electrotehnica și telecomunicații (traducere din limba franceză). Editura tehnică, București, 1965.
4. Apetrei, C., Stoia, D., Rădulescu, M.M.  
Finite element technique to design impulse magnetizers for permanent magnet DC servomotors. Rev. Roum. Sci. Tech. Electr. et Energ., nr.3, 1989, p.(345-350).
5. Ayoub, M., Roy, F., Bouillault, F., Razek, A.  
Numerical modelling of 3D magnetostatic saturated structures with a hybrid FEM-BEM technique. IEEE Transactions on Mag., vol.28, no.2, 1992, p.(1052-1055).
6. Bachmann, K.H §.a.  
Mică enciclopedie matematică (traducere din limba germană). Editura tehnică, București, 1980.
7. Bere, I.  
Magnetul permanent într-un sistem neliniar. Sesiunea de comunicări științifice, Reșița, 1991.
8. Bere, I.  
Punctele de funcționare ale magneților permanenți în sisteme neliniare. Buletinul U.T. Timișoara, Electrotehnica, tom 36(50), 1991, p.(1-4).
9. Bere, I.  
Metoda elementelor finite aplicată la calculul câmpului într-un releu cu magnet permanent. Buletinul U.T. Timișoara, Electrotehnica, tom 37(51), 1992, p.(1-4).
10. Bere, I.  
Studiul distribuției câmpului magnetic în releul cu magnet permanent cilindric, în vederea optimizării fabricației acestuia. Protocol la contractul de cercetare științifica nr.77/1992 între U.T. Timișoara și S.C.Relee S.A.Mediaș.

**11. Bere, I.**

Influența calității materialului asupra spectrului câmpului într-un releu cu magnet permanent. *Analele Universității din Oradea, fascicola Electrotehnica*, 1993, p.(102-105).

**J12. Bere, I.**

Calculation of the magnetic field distribution in nonhomogeneous system with permanent linear magnet. *I.C.A.T.E. '93. Proceedings, Session A-B*, p.(17-20) Craiova, 1993.

**13. Bere, I.**

Despre unii parametri de material necesari rezolvării problemei de câmp la sistem cu caracteristică neliniară. *Buletinul U.T. Timișoara, Electrotehnica, Electronică și Telecomunicații*, tom 38(52), 1993, p.(28-31).

**14. Bere, I.**

Asupra funcționalei metodelor finite aplicată la calculul câmpului în sisteme cu magneti permanenți. *Analele Universității din Oradea, fascicola Electrotehnica*, 1994, p.(12-16).

**15. Bere, I.**

Direcții de îmbunătățire a sensibilității releului magnetoelectric cilindric. *Analele Universității din Oradea fascicola Electrotehnica*, 1994,p.(17-22).

**16. Bere, I.**

Rezolvarea problemei de câmp la sisteme neomogene ce conțin magnet permanent cu caracteristică neliniară. *Buletinul U.T. Timișoara, Electrotehnica, Electronică și Telecomunicații*, tom 39(53), 1994,p.(20-25).

**17. Binner, A., Roth, S., Stiller, C.**

Calculation of Demagnetisation Curves of Nd Fe B - Magnets Using the Finite-Element-Method. *IEEE Transaction on Mag.*, vol.30, no.2, 1994, p.(622-624).

**18. Bleaney, B.**

*Electricity and Magnetism* vol.I,II. Oxford University Press, 1993.

**19. Bogoevici, N.**

Bazele electrotehnicii, Partea a II a, vol.3, I.P.T.V. Timișoara, 1979.

**20. Bucur, C.M.**

Metode numerice. Editura Facla, Timișoara, 1973.

**21. Burzo, E.**

Magneți permanenti, vol.I,II. Editura Academiei, Bucuresti, 1986-1987.

22. Buta, A.  
Expresie pentru aproximarea curbei de magnetizare utilizată la calculul regimurilor de funcționare a generatorului sincron. Buletinul I.P.T.V. Timișoara, tom 24(38), 1979, p.(96-101).
23. Cedighian, S.  
Ferite. Editura tehnica, București, 1966.
24. Cedighian, S.  
Materiale magnetice. Editura tehnica, București, 1967.
25. Chari, M.V.K.  
Finite element solution of magnetic and electric field problems in electrical machines and devices. Report no.76 CRD 112, General Electric, may 1976, p.(1-25).
26. Chari, M.V.K., Silvester, P.P.  
Finite Elements in Electrical and Magnetic Field Problems. John Wiley and Sons, Chichester, 1980.
27. Constantin, E., Radu, D.  
Proiectarea asistată de calculator a electromagnețiilor elevatori. Buletinul I.P.T.V. Timișoara, tom 34(48), 1989, p.(13-16).
28. Constantinescu, F., Hăntila, F.A.  
A numerical method for the calculation of the stationary magnetic field in nonlinear and inhomogeneous media. Rev. Roum. Sci. Tech. Electr. et Energ., nr.1, 1980, p.(3-16).
29. Costache, Gh., Della-Giacomo E.  
Nonlinear magnetic problems treated by the finite element method. Rev. Roum. Sci. Tech. Elecr. et Energ., nr.4, 1976, p.(481-487).
30. Coulomb, J.L.  
Analyse tridimensionnelle des champs électriques et magnétiques par la méthode des éléments finis. Thèse, Inst. National Polytechnique de Grenoble, 1981.
31. Craciunescu, A., Fransua, Al., Slaiher, S.  
Physical modelling of the magnetic field of permanent magnets in axial airgap electrical machines. Rev. Roum. Sci. Tech. Electr. et Energ., 1974, p.(449-460).
32. Daba, D., Radu, D.  
Electrotehnica. U.T. Timișoara, 1991.
33. D'Angelo, J., Chari, M.V.K., Campbell, P.  
Three dimensional finite element solution for a permanent magnet axial-field machine. IEEE Transactions on PAS, vol.102, no.1, 1983, p.(83-90).

34. Démidovitch, B., Maron, I.  
Éléments de calcul numérique. Edition Mir, Moscova, 1979.
35. De Sabata, I.  
Bazele electrotehnicii, vol.II. I.P.T.V. Timișoara, 1974.
36. Dimo, P.  
Programare în FORTRAN. Editura didactică și pedagogică, București, 1971.
37. Dordea, T.  
Mașini electriči. Editura didactică și pedagogică, București, 1977.
38. Dorn, W., Mc Cracken D.  
Metode numerice cu programare în FORTRAN 4 (traducere din limba engleză) Editura tehnica, București, 1976.
39. Dumitrescu, I.  
Simularea câmpurilor potențiale. Editura Academiei, București, 1983.
40. Dumitru, V.  
Programarea neliniară. Editura Academiei, București, 1975.
41. Erdélyi, E.A., Fuchs, E.F.  
Nonlinear Magnetic Field Analysis of DC Machines. Part I: Theoretical Fundamentals. IEEE Transactions on PAS, vol.89, no.7, 1970, p.(1546-1554).
42. Erdélyi, E.A., Fuchs, E.F., Binkley, H.P.  
Nonlinear Magnetic Field Analysis of DC Machines. Part III: Equipotential plots drawer by computer. IEEE Transactions on PAS, vol.89, no.7, 1970, p.(1565-1574).
43. Fogia, A., Sabonnadiere, J.C., Silvester, P.P.  
Finite element solution of saturated traveling magnetic field problems. IEEE Transactions on PAS, vol.94, no.3, 1975, p.(866-871).
44. Forray, M.I.  
Calculul variational în știință și tehnică. Editura tehnica, București, 1975.
45. Fuchs, E.F., Erdélyi, E.A.  
Nonlinear Magnetic Field Analysis of DC Machines. Part II: Application of the improved-treatment. IEEE Transactions on PAS, vol.89, no.7, 1970, p.(1555-1564).
46. Furlani, E.P.  
A Method for Predicting the Field in Permanent-Magnet Axial-Field Motors. IEEE Transactions on Mag., vol.28, no.5, 1992, p.(2061-2066).

47. Furlani, E.P., Reznik, S., Janson, W.  
A Three-Dimensional Field Solution for Bipolar Cylinders. IEEE Transactions on Mag., vol.30, no.5, 1994, p.(2916-2919).
48. Găvruta, P., Lipovan, O., Năslău, P., Sturz, I.  
Metode numerice. I.P.T.V. Timișoara, 1989.
49. Godunov, S.K., Reabenki, V.S.  
Scheme de calcul cu diferențe finite (traducere din limba rusă). Editura tehnică, București, 1977.
50. Guerin, C., Tanneau, G., Meunier, G., Brunotte, X., Albertini, B.  
Three Dimensional Magnetostatic Finite Elements for Gaps and Iron Shells Using Magnetic Scalar Potential. IEEE Transactions on Mag., vol.30, no.5, 1994, p.(2885-2888).
51. Hatafuku, H., Takahashi, S.  
Effect of Annealing on Magnetisation Process of Ni<sub>3</sub> Fe Alloy. IEEE Transactions on Mag., vol.28, no.6, 1992, p.(3345-3349).
52. Hănțila, F.I.  
Mathematical models of the relation between B and H for nonlinear media. Rev. Roum. Sci. Tech. Electr. et Energ., nr.3, 1974, p.(429-448).
53. Hănțila, F.I.  
A method of solving stationary magnetic field in nonlinear media. Rev. Roum. Sci. Tech. Electr. et Energ., nr.3, 1975, p.(397-407).
54. Hănțila, F.I.  
Contribuții asupra teoriei mașinilor de curent continuu cu magneți permanenți.  
Teză de doctorat. I.P. București, 1976.
55. Hănțila, F.I.  
Calculul câmpului electromagnetic cu ajutorul calculatorului. Politehnica University Bucharest, 1993.
56. Holzinger, C.S.  
Computation of magnetic field within three dimensional highly nonlinear media.  
IEEE Transactions on Mag., 1970, p.(60-67).
57. Ifrim, A., Noțingher, P.  
Materiale electrotehnice. Editura didactică și pedagogică, București, 1979.
58. Ixaru, L.G.  
Metode numerice pentru ecuații diferențiale cu aplicații. Editura Academiei, București, 1979.

- 
59. Jurcă, I., Jian, I., Holban, S., Crețu, VI. și alii.  
Programarea calculatoarelor. I.P.T.V. Timișoara, 1989.
60. Kameari, A.  
Three dimensional eddy current calculation using finite element method with A-V in conductor and  $\Omega$  in vacuum. IEEE Transactions on Mag., vol.24, no.1, 1988, p.(118-121).
61. Key, J.E.  
Computer program for solution of large sparse, unsymmetric system of linear equation. Intern. journal for numerical networks in eng., 1973, p.497.
62. Kladas, A.G., Tegopoulos, J.A.  
A new scalar potential formulation for 3-D magnetostatics necessitating no source field calculation. IEEE Transactions on Mag., vol.28, no.2, 1992, p.(1103-1106).
63. Krstajic, B., Andjelic, Z., Milojkovic, S., Babic, S., Salom, S.  
Nonlinear 3D magnetostatic field calculation by the integral equation method with surface and volume magnet charges. IEEE Transactions on Mag., vol.28, no.2, 1992, p.(1088-1091).
64. Logeais, E., Yonnel, J.P., Coulomb, J.L., Meunier, G., Gitosusastro,S.  
Comparation between 3D, 2D finite element methods and analytical calculations for electromagnetic problems. IEEE Transactions on Mag., vol.24, no.1, 1988, p.(66-69).
65. Luis, F., Burriel, R., Garcia, L.M., Bartolomé, J., Tomey, E., Fruchart, D., Soubeiroux, J.L., Miraglia, S., Fruchart, R., Gignoux, D.  
Structural and magnetic characterization of Nd  $Fe_{10,2-x} Co_x Mo_{1,8}$ . IEEE Transactions on Mag., vol.30, no.2, 1994, p.(583-585).
66. Lou, Z., Demerdash, N.A.  
A Finite-Element Ballooning Model for 2D Eddy Current Open Boundary Problems for Aerospace Applications. IEEE Transactions on Mag., vol.28, no.5, 1992, p.(2241-2243).
67. Magele, Ch., Stögnér, H., Preis, K.  
Comparison of different finite element formulations for 3D magnetostatics problems. IEEE Transactions on Mag., vol.24, no.1, 1988, p.(31-34).
68. Marinescu, M., Marinescu, N.  
Theoretical background and numerical computation of incomplete exterior multipole systems with rare-earth permanent magnets. Büro für Magnettechnic, Univ. Heidelberg, Frankfurt, p.(1-14).
69. Masanori, K., Yoshitumi, I.  
Surface Magnetic Charge Distributions and Demagnetizing Factors of Circular Cylinders. IEEE Transactions on Mag., vol.28, no.3, 1992.

70. Meichle, L.S., Victora, R.H.  
Temperature Dependence of Coercitivity at Recording Frequencies: Barium Ferrite versus Oxide. IEEE Transactions on Mag., vol.28, no.6, 1992, p.(3393-3397).
71. Mesquita, R.C., Bastos, J.P.A.  
An incomplete gauge formulation for 3D model finite-element magnetostatics. IEEE Transactions on mag., vol.28, no.2, 1992, p.(1044-1047).
72. Mîndru, Gh., Rădulescu, M.M.  
Model matematic variațional de câmp electromagnetic în medii neliniare. Conferința Națională de Electrotehnica și Electroenergetică, Timișoara, vol.2, 1982, p.(227-235).
73. Mîndru, Gh., Rădulescu, M.M.  
Analiza numerică a câmpului electromagnetic. Editura Dacia, Cluj-Napoca, 1986.
74. Mocanu, C.I.  
Teoria câmpului electromagnetic. Editura didactică și pedagogică, București, 1981.
75. Mocanu, C.I.  
Dirichlet and Neumann boundary value problems for  $\operatorname{div}(\eta \operatorname{grad})$  and  $\operatorname{curl}(v \operatorname{curl})$ - $\operatorname{div}$  equations. Part I. Rev. Roum. Sci. Tech. Electr. et Energ., nr.2, 1991, p.(137-148).
76. Mocanu, C.I.  
Intrinsic formulation of the scalar and vector potential methods for steady-state magnetic field problems. Part II. Rev. Roum. Sci. Tech. Electr. et Energ., nr.3, 1991, p.(279-289).
77. Mohr, A.  
Die Ankerquerfeldbeanspruchung von Permanent-magnetsegmenten in kleinen Gleichstrommotoren aus der Sicht von Theorie und Praxis. Sonderdruck aus etz Archiv Bd.5(1983), VDE-Verag GmbH-Berlin-Offenbach, p.(1-8).
78. Mohr, A.  
Einfluß der B,H-Kennlinienform auf die Bemessung von Permanentmagnetsegmenten kleiner Gleichstrommotoren, etz Archiv Bd.5(1983), p.(249-255).
79. Moraru, A., Craciunescu, A.  
Determination of the magnetization state of a non-uniformly magnetized permanent magnet. Rev. Roum. Sci. Tech. Electr. et Energ., nr.2, 1974, p.(271-281).
80. Moraru, A.  
Metoda pentru calculul câmpului magnetic și al forțelor electrodinamice în zona frontală a turbogeneratoarelor. Conferința Națională de Electrotehnica și Electroenergetică, Timișoara, vol.2, 1982, p.(267-276).

81. Mur, G.  
Compatibility Relations and the Finite-Element Formulation of Electromagnetic Field Problems. IEEE Transactions on Mag., vol.30, no.5, 1994, p.(2972-2975).
82. Nasar, S.A., Xiong, G.Y.  
Determination of the field of a permanent-magnet disc machine, using the concept of magnetic charge, University of Kentucky, 1987.
83. Neagoe, C., Ossart, F.  
Analysis of Convergence in Nonlinear Magnetostatic Finite Elements Problems. IEEE Transactions on Mag., vol.30, no.5, 1994, p.(2865-2868).
84. Nicolaide, A.  
Finite Element Method with Automatic Mesh Generation. Rev. Roum. Sci. Tech. Electr. et Energ., tom 28, 1983, p.(3-14).
85. Nicolaide, A.  
Utilizarea metodei elementelor finite cu realizare automată a conexiunilor rețelei pentru calculul caracteristicii de magnetizare a unui turbogenerator. EEA Electrotehnica, nr.1, 1985, p.(1-8).
86. Nicolaide, A.  
Bazele fizice ale electrotehnicii. vol.I, II. Editura Scrisul românesc, Craiova, 1986.
87. Pascariu, I.  
Elemente finite. Concepții-aplicații. Editura militară, București, 1985.
88. Petrilă, T., Gheorghiu, C.I.  
Metode element finit și aplicații. Editura Academiei, București, 1987.
89. Pop, E., Chivu, M.  
Măsurări electrice și magnetice . vol.I,II. I.P.T.V. Timișoara, 1971.
90. Popovici, P., Cira, O.  
Rezolvarea numerică a ecuațiilor neliniare. Editura Signata, Timișoara, 1992.
91. Preis, K., Bardi, I., Biro, O., Magele, C., Renhart, W., Richter, K.R., Vrisk, G.  
Numerical analysis of 3D magnetostatic fields. IEEE Transactions on Mag., vol.27, no.5, 1991, p.(3798-3803).
92. Purcell, E.  
Electricitate și magnetism (traducere din limba engleză). Editura didactică și pedagogică, București, 1982.
93. Radu, D.  
Contribuții privind calculul electromagnetic al bobinelor criogenice și supraconductoare. Teză de doctorat. I.P.T.V. Timișoara, 1985.

94. Radu, D.  
Determinarea câmpului magnetic și a forței portante la electromagneți elevatori pentru țevi feromagnetice, prin metoda elementelor finite. Buletin I.P.T.V. Timișoara, Electrotehnica, tom 32(46), 1987, p.(11-16).
95. Raduleț, R.  
Bazele electrotehnicii. Probleme, vol.I. Editura didactică și pedagogică, București, 1981.
96. Renhart, W., Stögner, H., Preis, K.  
Calculation of 3D eddy current problems by finite element method using either an electric or a magnetic vector potential. IEEE Transactions on Mag., vol.24, no.1, 1988, p.(122-125).
97. Salon, S.J., D'Angelo, J.  
Applications of the hybrid finite element-boundary element method in electromagnetics. IEEE Transactions on Mag., vol.24, no.1, 1988, p.(80-85).
98. Schiop, A.  
Analiza unor metode de discretizare. Editura Academiei, București, 1978.
99. Schulz, F., Despi, I., Mânz, D., Rușet, V.  
FORTRAN 77, Editura Mirton, Timișoara, 1992.
100. Schüler, K., Brinkmann, K.  
Dauermagnete. Springer-Verlag, Berlin, 1970.
101. Silvester, P.P., Chari, M.V.K.  
Finite element solution of saturable magnetic field problems. IEEE Transactions on PAS, vol.89, no.7, 1970, p.(1642-1651).
102. Silvester, P.P., Chari, M.V.K.  
Finite Element Analysis of Magnetically Saturated D-C Machines. IEEE Transactions on PAS, vol.90, no.5, 1971, p.(2362-2372).
103. Silvester, P.P., Cabayan, H.S., Browne, B.T.  
Eficient techniques for finite-element analysis of electric machines. IEEE Transactions on PAS, 1973, p.1274.
104. Silvester, P.P., Ferrara, R.L.  
Finite elements for electrical engineers. Cambridge Univ. Press, Cambridge, 1983.
105. Simion, E., Vădan, I., Bălan, H., Tîrnovan, R.  
Analysis by finite element method of the magnetic field in an electrodynamic vibrator. I.C.A.T.E'93. Proceedings session A-B, Craiova, 1993, p.(155-160).
106. Slivinskaja, A.G., Gordon, A.V.  
Postojannye magnity. Izdatel'stvo Energija, Moscova, Leningrad, 1965.

107. Smoleanski, M.L.  
Tabele de integrale nedefinite(traducere din limba rusă). Editura tehnica, Bucureşti, 1972.
108. Soran, I.F.  
Studiul configurației câmpului magnetic în întrefierul mașinii de inducție și influența ei asupra parametrilor de pornire. Teză de doctorat, I.P.T.V. Timișoara, 1979.
109. Soran , I.F.  
Utilizarea metodei elementelor de frontieră pentru rezolvarea unei probleme de tip Laplace. CNEE Timișoara, vol.2, 1982, p.(357-366).
110. Soran, I.F.  
L'amélioration de la convergence des schémas itératifs pour la résolution des problèmes de champ magnétique non linéaire. Rev. Roum. Sci. Tech. Electr. et Energ., nr.4, 1983, p.(363-371).
111. Stoia, D., Moiseanu, A., Rădulescu, M.M.  
Finite-element magnetic field analysis of permanent-magnet DC motors. Rev. Roum. Sci. Tech. Electr. et Energ., nr.3, 1984, p.(307-314).
112. Șabac, I.Gh.  
Matematici speciale, vol.I. Editura didactica și pedagogica, Bucureşti, 1981.
113. Șabac, I.Gh., Cocârlan, P., Stănișăla, O., Topală, A.  
Matematici speciale, vol.II. Editura didactica și pedagogica, Bucureşti, 1983.
114. Șora, C.  
Bazele electrotehnicii. Editura didactica și pedagogica, Bucureşti, 1982.
115. Șora, C., Bere, I.  
Studiul experimental al repartiției fluxului magnetic la relee magnetoelectrice cu magnet paralelipipedic și cilindric. Tema 2 din Protocol la contractul de cercetare științifică nr.24/1985 între I.P.T.V. Timișoara și C.I.R.E. Bucureşti, Laborator Deva.
116. Șora, C., Toader, D., Dobre, S., Bere, I., Barbulescu, E., Hristea, VI.  
Unele considerații privind circuitul magnetic la relee magnetoelectrice utilizate în protecții. In lucrările S.N.R.E. Pitești 1986, p.(169-178).
117. Șora, C., Dobre, S., Bere, I.  
Studiul și stabilirea tehnologiei optime de demagnetizare-remagnetizare a magnetilor permanenți din relee magnetoelectrice. Tema B din Protocol la contractul de cercetare științifica nr.63/1986 între I.P.T.V. Timișoara și C.I.R.E. Bucureşti, Laborator Deva.

118. Șora, C.  
Calculus aspects for permanent magnets. Equivalent circuits. Buletinul I.P.T.V. Timișoara, Electrotehnica, tom 33(47), 1988, p.(1-6).
119. Șora, C., Dimitriu, S.  
Equivalent scheme for permanent magnets. Buletinul I.P.T.V. Timișoara, Electrotehnica, tom 34(48), 1989, p.(1-6).
120. Șora, C., Bere, I.  
Releul magnetoelectric din protecția de distanță. Aspecte privind asimilarea fabricației în țară. Tema B din Protocol la contractul de cercetare științifică nr.65/1989 între I.P.T.V. Timișoara și C.I.R.E. București, Laborator Deva.
121. Șora, C., Bere, I.  
Studiu de sinteză privind rezultatele experimentului de înlocuire a circuitului magnetic la relee magnetoelectrice de fabricație EAW. Tema A din Protocol la contractul de cercetare științifică nr.4/1990 între I.P.T.V. Timișoara și D.G.T.D.E.E. București.
122. Teodorescu, N., Olariu, V.  
Ecuatii diferențiale și cu derivate parțiale. Editura tehnica, București, 1979.
123. Timotin, A., Marinescu, M.  
Fluxul de dispersie al unui circuit magnetic cu magnet permanent. Studii și cercetări de electrotehnica și energetică, București, 1970, p.53.
124. Țugulea, A., Timotin, A.  
Condițiile de unicitate în determinarea câmpurilor electrostatice și magnetice cvasistacionare în materiale neliniare cu polarizare reversibilă. Studii și cercetări de energetică și electrotehnica, tom 53, nr.3, p.(531-537).
125. Vetreș, I.  
Contribuții asupra stabilității expresiei funcționalei în cadrul metodei elementelor finite. Buletinul I.P.T.V. Timișoara, Electrotehnica, tom 33(47), 1988, p.(7-10).
126. Vișan, I., Georgescu, C.  
Depanarea programelor FORTRAN. Editura militară, București, 1986.
127. Vonsovski, S.V.  
Magnetismul (traducere din limba rusă). Editura științifica și enciclopedică, București, 1981.
128. Vraciu, G., Popa, A.  
Metode numerice cu aplicații în tehnica de caicul. Editura Scrisul românesc, Craiova, 1982.
129. Zienkiewicz, O.C.  
The finite element method in engineering science. Mc Graw-Hill, London, 1971.

130. Wexler, A.  
Finite-element analysis of inhomogeneous anisotropic reluctance machine rotor. IEEE Transactions on PAS, vol.92, no.1, 1973, p.(145-149).
131. Widger, G.F.T.  
Representation of Magnetisation Curves over Extensive Range by Rational-Fraction Approximations. IEEE Transactions on Mag., vol.116, no.1, 1969, p.156.
132. Wiener, U.  
Măsurări electrice industriale, vol.II. Măsurarea mărimilor magnetice. Editura tehnică, Bucureşti, 1969.
133. \* \* \*  
Catalog de magneţi permanenţi turnaţi. Sinterom Cluj-Napoca, 1986.
134. \* \* \*  
Produktprogramm Permanentmagnete, Philips Bauelemente, 1988.